

М. И. Шабунин
Ю. В. Сидоров

Теория функций комплексного переменного



Лаборатория
ЗНАНИЙ

М. И. Шабунин
Ю. В. Сидоров

Теория функций комплексного переменного

5-е издание, электронное

Рекомендовано

Учебно-методическим объединением высших учебных заведений Российской Федерации по образованию в области прикладных математики и физики в качестве учебного пособия для студентов высших учебных заведений, обучающихся по направлению «Прикладные математика и физика», а также для других математических и естественнонаучных направлений и специальностей и по смежным направлениям и специальностям в области техники и технологий



Москва
Лаборатория знаний
2020

УДК 517.9
ББК 22.161.1
Ш13

Шабунин М. И.

Ш13 Теория функций комплексного переменного / М. И. Шабунин, Ю. В. Сидоров. — 5-е изд., электрон. — М. : Лаборатория знаний, 2020. — 303 с. — Систем. требования: Adobe Reader XI ; экран 10". — Загл. с титул. экрана. — Текст : электронный.

ISBN 978-5-00101-916-9

В учебнике рассматриваются методы теории функций комплексного переменного, которые часто применяются в прикладных задачах: операции с функциями комплексного переменного, разложения в ряды, конформные отображения, вычисление интегралов с помощью вычетов, основы операционного исчисления. В книге разобрано большое количество примеров, помогающих читателю глубже освоить теорию и приобрести навыки решения практических задач.

Студентам физико-математических и инженерно-физических специальностей университетов и вузов с расширенной математической подготовкой.

**УДК 517.9
ББК 22.161.1**

Деривативное издание на основе печатного аналога: Теория функций комплексного переменного / М. И. Шабунин, Ю. В. Сидоров. — 4-е изд. — М. : Лаборатория знаний, 2018. — 300 с. : ил. — ISBN 978-5-00101-135-4.

В соответствии со ст. 1299 и 1301 ГК РФ при устранении ограничений, установленных техническими средствами защиты авторских прав, правообладатель вправе требовать от нарушителя возмещения убытков или выплаты компенсации

ISBN 978-5-00101-916-9

© Лаборатория знаний, 2015

ПРЕДИСЛОВИЕ

Настоящая книга написана на основе многолетнего опыта преподавания теории функций комплексного переменного (ТФКП) в Московском физико-техническом институте (государственном университете). Она является учебником для студентов высших технических учебных заведений с углубленным курсом математики и может оказаться полезной для самостоятельного изучения курса ТФКП.

Основное внимание в книге уделяется методам ТФКП, которые находят широкое применение в прикладных задачах (разложение в ряды, вычисление интегралов с помощью вычетов, конформные отображения).

При изложении материала особое внимание уделено тому, чтобы помочь читателю успешно овладеть основами ТФКП. С этой целью в книге разобрано большое число примеров, которые дают возможность читателю не только глубоко усвоить теоретический материал, но и приобрести необходимые навыки в решении задач.

Первая глава содержит сведения о комплексных числах, кривых и областях на комплексной плоскости, непрерывных функциях комплексного переменного и об интегрировании этих функций.

Во второй главе введено одно из основных понятий ТФКП — понятие регулярной функции, изложены основные свойства регулярных функций, доказаны интегральная теорема и интегральная формула Коши, рассмотрены ряды Лорана и особые точки однозначного характера.

Третья глава посвящена многозначным аналитическим функциям. В ней подробно изучены аналитические свойства и приведены основные формулы для вычисления значений важнейших элементарных функций. Особое внимание уделено вопросу о выделении регулярных ветвей многозначных аналитических функций.

В четвертой главе изложена теория вычетов и ее приложения. Рассмотрено много важных типов интегралов от однозначных и неоднозначных аналитических функций.

В пятой главе рассматриваются свойства конформных отображений, подробно изучаются отображения, задаваемые элементарными функциями, дается решение задачи Дирихле с помощью конформных отображений.

Шестая глава содержит краткие сведения о преобразовании Лапласа и его применении к решению дифференциальных уравнений.

Во втором издании, как и в первом, в числе авторов указан Ю. В. Сидоров, с которым мы обсуждали структуру книги. К сожалению, Юрий Викторович не смог принять участие в работе над книгой в связи с продолжительной болезнью и кончиной в начале 2001 г. Меня связывало с ним многолетнее сотрудничество и совместная работа над многими учебниками и учебными пособиями, в том числе и над учебником по ТФКП (авторы Ю. В. Сидоров, М. В. Федорюк, М. И. Шабунин), на который имеется много ссылок в данном учебнике.

Во второе издание внесены существенные изменения: подробно изучено понятие аргумента, переработан материал, связанный с обратной функцией и теоремой единственности, заменены многие примеры (особенно из раздела «Особые точки»), переработана глава о многозначных функциях, много внимания уделено выделению регулярных ветвей.

Выражаю искреннюю благодарность своим коллегам по кафедре высшей математики МФТИ и, в первую очередь, профессору Е. С. Половинкину, за конструктивную критику первого издания книги и предложения по ее переработке.

М. И. Шабунин

ГЛАВА 1

ВВЕДЕНИЕ

§ 1. Комплексные числа

1. Определение комплексного числа

Комплексными числами называются пары (x, y) действительных чисел x и y , если для них определены понятие равенства и операции сложения и умножения следующим образом:

1. Два комплексных числа (x_1, y_1) и (x_2, y_2) считаются *равными* тогда и только тогда, когда $x_1 = x_2$ и $y_1 = y_2$.
2. *Суммой* двух комплексных чисел (x_1, y_1) и (x_2, y_2) называется комплексное число $(x_1 + x_2, y_1 + y_2)$.
3. *Произведением* двух комплексных чисел (x_1, y_1) и (x_2, y_2) называется комплексное число $(x_1x_2 - y_1y_2, x_1y_2 + x_2y_1)$.

Для обозначения равенства, суммы, произведения и других операций над комплексными числами применяются те же знаки, что и для действительных чисел. Таким образом, по определению комплексного числа

$$(x_1, y_1) = (x_2, y_2), \quad \text{если} \quad x_1 = x_2 \quad \text{и} \quad y_1 = y_2; \quad (1)$$

сумма и произведение двух комплексных чисел соответственно равны

$$(x_1, y_1) + (x_2, y_2) = (x_1 + x_2, y_1 + y_2), \quad (2)$$

$$(x_1, y_1) \cdot (x_2, y_2) = (x_1x_2 - y_1y_2, x_1y_2 + x_2y_1). \quad (3)$$

Множество комплексных чисел, в котором введено равенство, а также операции сложения и умножения по формулам (1)–(3), обозначают \mathbb{C} . Напомним, что множество натуральных чисел обозначают \mathbb{N} , множество целых чисел — буквой \mathbb{Z} , а множество действительных чисел — буквой \mathbb{R} .

Из формул (2), (3) получаются, в частности, равенства

$$(x_1, 0) + (x_2, 0) = (x_1 + x_2, 0), \quad (x_1, 0) \cdot (x_2, 0) = (x_1x_2, 0),$$

которые показывают, что операции над комплексными числами $(x, 0)$ совпадают с операциями над действительными числами x . Поэтому комплексные числа $(x, 0)$ отождествляются с действительными числами: $(x, 0) = x$.

Комплексное число $(0, 1)$ называется *мнимой единицей* и обозначается буквой i , т. е. $i = (0, 1)$. По формуле (3) находим

$$i^2 = i \cdot i = (0, 1)(0, 1) = (-1, 0) = -1,$$

а по формулам (2) и (3) получается равенство

$$(x, y) = (x, 0) + (0, 1)(y, 0) = x + iy.$$

Таким образом, каждое комплексное число можно записать в *алгебраической форме*: $(x, y) = x + iy$.

Комплексные числа $0 + iy = iy$ называют *чисто мнимыми*. В частности, число $0 + i \cdot 0 = 0$ является единственным числом, которое одновременно и действительное, и чисто мнимое.

С помощью алгебраической формы комплексного числа соотношения (1)–(3) записываются так:

$$x_1 + iy_1 = x_2 + iy_2, \quad \text{если} \quad x_1 = x_2 \quad \text{и} \quad y_1 = y_2, \quad (4)$$

$$(x_1 + iy_1) + (x_2 + iy_2) = (x_1 + x_2) + i(y_1 + y_2), \quad (5)$$

$$(x_1 + iy_1) \cdot (x_2 + iy_2) = (x_1x_2 - y_1y_2) + i(x_1y_2 + x_2y_1). \quad (6)$$

Комплексное число $x + iy$ принято обозначать одной буквой z , т. е. $z = x + iy$. Число x называется *действительной частью*, а число y — *мнимой частью* комплексного числа $z = x + iy$. Для этих чисел приняты следующие обозначения*:

$$x = \operatorname{Re}(x + iy) = \operatorname{Re}z, \quad y = \operatorname{Im}(x + iy) = \operatorname{Im}z.$$

Здесь, как и всюду в дальнейшем, если не оговорено противное, в записи $z = x + iy$ предполагается, что x и y — действительные числа.

2. Комплексно сопряженные числа

Комплексное число $x - iy$ называется *сопряженным* с комплексным числом $z = x + iy$ и обозначается \bar{z} , т. е.

$$\bar{z} = \overline{x + iy} = x - iy. \quad (7)$$

* Обозначения Re и Im являются сокращениями французских слов *Reel* (действительный) и *Imaginaire* (мнимый).

Из этого определения следует, что операция сопряжения перестановочна с арифметическими операциями над комплексными числами:

$$\overline{z_1 \pm z_2} = \overline{z_1} \pm \overline{z_2}, \quad \overline{z_1 z_2} = \overline{z_1} \cdot \overline{z_2},$$

$$\overline{(z^n)} = (\overline{z})^n, \quad n \in \mathbb{N}.$$

Из (7) получается также, что для любого комплексного числа z справедливо равенство $\overline{\overline{z}} = z$, а равенство $\overline{z} = z$ выполняется только тогда, когда z — действительное число.

Пример 1. Если $P(z) = a_0 z^n + a_1 z^{n-1} + \dots + a_n$ — многочлен с действительными коэффициентами, то по свойствам операции сопряжения получаем:

$$\overline{P(z)} = a_0 (\overline{z})^n + a_1 (\overline{z})^{n-1} + \dots + a_n = P(\overline{z}).$$

Если $P(z_0) = 0$, то $P(\overline{z_0}) = \overline{P(z_0)} = 0$, т. е. если число z_0 является корнем многочлена с действительными коэффициентами, то и комплексно сопряженное число $\overline{z_0}$ также является корнем этого многочлена.

3. Модуль комплексного числа

Число $\sqrt{x^2 + y^2}$ называется *модулем* комплексного числа $z = x + iy$ и обозначается $|z|$, т. е.

$$|z| = |x + iy| = \sqrt{x^2 + y^2}. \quad (8)$$

Из этого определения следует, что $|z| \geq 0$, причем $|z| = 0$ только тогда, когда $z = 0$. Модуль действительного числа совпадает с абсолютной величиной этого числа. Из (8) получаются также следующие равенства:

$$|z_1 z_2| = |z_1| |z_2|;$$

$$|z^n| = |z|^n, \quad n \in \mathbb{N};$$

$$|\overline{z}| = |z|, \quad z\overline{z} = |z|^2. \quad (9)$$

4. Свойства арифметических операций над комплексными числами

Из формул (4)–(6) следует, что операции сложения и умножения комплексных чисел обладают следующими свойствами.

1. Коммутативность:

$$z_1 + z_2 = z_2 + z_1, \quad z_1 z_2 = z_2 z_1.$$

2. Ассоциативность:

$$(z_1 + z_2) + z_3 = z_1 + (z_2 + z_3), \quad (z_1 z_2) z_3 = z_1 (z_2 z_3).$$

3. Дистрибутивность:

$$z_1(z_2 + z_3) = z_1 z_2 + z_1 z_3.$$

Поэтому операции сложения и умножения над комплексными числами $x + iy$ обладают формально такими же свойствами, как если бы число i было действительным. В частности, нет необходимости запоминать формулы (5) и (6), их можно получить по обычным правилам алгебры. Например, (6) получается из равенства

$$(x_1 + iy_1)(x_2 + iy_2) = x_1 x_2 + ix_1 y_2 + ix_2 y_1 + i^2 y_1 y_2,$$

где $i^2 = -1$.

Числа нуль и единица в множестве комплексных чисел обладают теми же свойствами, что и в множестве действительных чисел. А именно, для любого комплексного числа z имеют место равенства:

$$z + 0 = z, \quad z \cdot 1 = z.$$

4. Вычитание. Операция сложения комплексных чисел обладает обратной операцией, которую, как обычно, называют *вычитанием*. Это означает, что для любых двух комплексных чисел z_1 и z_2 существует, и притом только одно, число z , удовлетворяющее уравнению

$$z + z_2 = z_1. \tag{10}$$

Это число называется *разностью* чисел z_1 и z_2 и обозначается $z_1 - z_2$. В частности, разность $0 - z$ обозначается $-z$.

Из (4), (5) следует, что для любых комплексных чисел $z_1 = x_1 + iy_1$ и $z_2 = x_2 + iy_2$ уравнение (10) имеет единственный корень $z = (x_1 - x_2) + i(y_1 - y_2)$. Таким образом,

$$z_1 - z_2 = (x_1 + iy_1) - (x_2 + iy_2) = (x_1 - x_2) + i(y_1 - y_2). \quad \bullet$$

5. Деление. Операция умножения комплексных чисел обладает обратной операцией, которую, как обычно, называют *делением*. Это

означает, что для любых двух комплексных чисел z_1 и $z_2 \neq 0$ существует, и притом только одно, число z , удовлетворяющее уравнению

$$zz_2 = z_1. \quad (11)$$

Это число называется частным чисел z_1 и z_2 и обозначается $z_1 : z_2$ или $\frac{z_1}{z_2}$.

О Докажем, что уравнение (11) имеет единственный корень для любых комплексных чисел z_1 и z_2 , если $z_2 \neq 0$. Умножая обе части уравнения (11) на число $\overline{z_2}$ и используя формулу (9), получаем $z|z_2|^2 = z_1\overline{z_2}$, откуда умножением на число $\frac{1}{|z_2|^2}$ находим $z = \frac{z_1\overline{z_2}}{|z_2|^2}$.

Таким образом,

$$\frac{z_1}{z_2} = \frac{z_1\overline{z_2}}{z_2\overline{z_2}} = \frac{z_1\overline{z_2}}{|z_2|^2}, \quad z_2 \neq 0. \quad (12)$$

Если $z_1 = x_1 + iy_1$, $z_2 = x_2 + iy_2$, то формулу (12) можно записать так:

$$\frac{z_1}{z_2} = \frac{x_1 + iy_1}{x_2 + iy_2} = \frac{(x_1 + iy_1)(x_2 - iy_2)}{x_2^2 + y_2^2} = \frac{x_1x_2 + y_1y_2}{x_2^2 + y_2^2} + i\frac{x_2y_1 - x_1y_2}{x_2^2 + y_2^2}.$$

Эту формулу можно не запоминать — достаточно помнить, что она получается умножением числителя и знаменателя на число, сопряженное со знаменателем.

5. Геометрическая интерпретация комплексного числа

Пусть на плоскости задана прямоугольная система координат. Комплексное число $z = x + iy$ изображается точкой плоскости с координатами (x, y) , и эта точка обозначается той же буквой z (рис. 1).

Такое соответствие между комплексными числами и точками плоскости является взаимно однозначным. При этом действительные числа изображаются точками оси абсцисс, а чисто мнимые — точками оси ординат. Поэтому ось абсцисс называется *действительной осью*, а ось ординат — *мнимой осью*. Плоскость, на которой изображаются комплексные числа, называется *комплексной плоскостью*.

Отметим, что точки z и $-z$ симметричны относительно точки 0, а точки z и \overline{z} симметричны относительно действительной оси: если $z = x + iy$, то $-z = (-x) + i(-y)$, а $\overline{z} = x + i(-y)$ (рис. 1).

Комплексное число z изображается также вектором с началом в точке 0 и концом в точке z (рис. 1). Такое соответствие между комплексными числами и векторами комплексной плоскости с началом в точке 0 также является взаимно однозначным. Поэтому вектор, изображающий комплексное число z , обозначается той же буквой z .

Из формулы (8) и рис. 1 видно, что *длина вектора z равна $|z|$* и имеют место неравенства

$$|\operatorname{Re} z| \leq |z|, \quad |\operatorname{Im} z| \leq |z|.$$

С помощью векторной интерпретации наглядно иллюстрируются сложение и вычитание комплексных чисел. Из формулы (5) следует, что число $z_1 + z_2$ изображается вектором, построенным по обычному правилу сложения векторов z_1 и z_2 (рис. 2). Вектор $z_1 - z_2$ строится как сумма векторов z_1 и $-z_2$ (рис. 2).

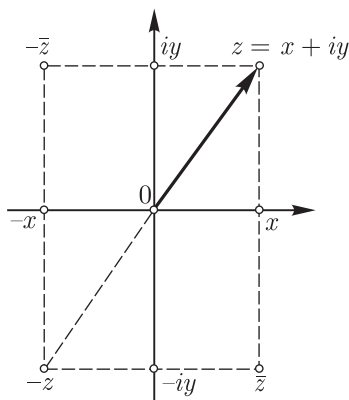


Рис. 1

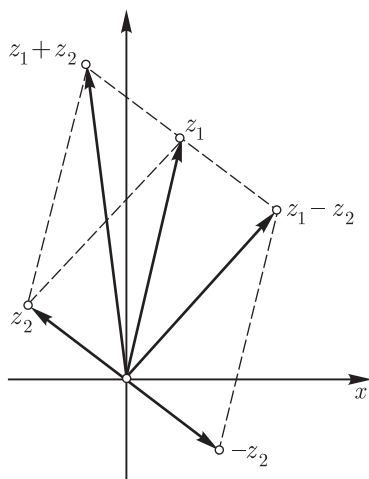


Рис. 2

Из рис. 2 видно, что *расстояние между точками z_1 и z_2 равно длине вектора $z_1 - z_2$, т. е. равно $|z_1 - z_2|$* .

Пример 2. Множество точек z , удовлетворяющих уравнению $|z - z_0| = R$ есть окружность радиуса R с центром в точке z_0 , так как $|z - z_0|$ — расстояние между точками z и z_0 .

Пример 3. Множество точек z , удовлетворяющих уравнению $|z - z_1| = |z - z_2|$ есть множество точек, равноудаленных от точек z_1 и z_2 . Следовательно, это уравнение прямой, перпендикулярной отрезку, соединяющему точки z_1 , z_2 , и проведенной через его середину.

Неравенства треугольника. Для любых комплексных чисел z_1 и z_2 выполняются неравенства

$$||z_1| - |z_2|| \leq |z_1 + z_2| \leq |z_1| + |z_2|. \quad (13)$$

О Длины сторон треугольника с вершинами в точках 0 , z_1 , $z_1 + z_2$ равны $|z_1|$, $|z_2|$ и $|z_1 + z_2|$ (рис. 2). Следовательно, неравенства (13) являются известными из элементарной геометрии неравенствами для длин сторон треугольника. ●

Следствие. Для любых комплексных чисел z_1, z_2, \dots, z_n выполняется неравенство

$$\left| \sum_{k=1}^n z_k \right| \leq \sum_{k=1}^n |z_k|.$$

6. Тригонометрическая форма комплексного числа

Положение точки $z = x + iy$ на комплексной плоскости однозначно определяется не только декартовыми координатами x , y , но и полярными координатами r , φ (рис. 3), где $r = |z|$ — расстояние от точки 0 до точки z , а φ — угол между действительной осью и вектором z , отсчитываемый от положительного направления действительной оси. При этом если отсчет ведется против часовой стрелки, то величина угла считается положительной, а если по часовой стрелке — отрицательной. Этот угол называется *аргументом* комплексного числа z ($z \neq 0$) и обозначается так*: $\varphi = \arg z$. Для числа $z = 0$ аргумент не определяется, поэтому во всех дальнейших рассуждениях, связанных с понятием аргумента, предполагается, что $z \neq 0$.

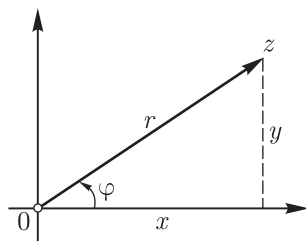


Рис. 3

Из рис. 3 видно, что

$$x = r \cos \varphi, \quad y = r \sin \varphi. \quad (14)$$

Следовательно, любое комплексное число $z \neq 0$ можно представить в виде

$$z = r(\cos \varphi + i \sin \varphi). \quad (15)$$

Запись комплексного числа в виде (15) называется *тригонометрической формой* комплексного числа.

* Обозначение \arg является сокращением французского слова *argument* (аргумент).

Из формул (14) получается, что если $z = x + iy$, $\varphi = \arg z$, то

$$\cos \varphi = \frac{x}{\sqrt{x^2 + y^2}}, \quad \sin \varphi = \frac{y}{\sqrt{x^2 + y^2}}. \quad (16)$$

Таким образом, для нахождения аргумента комплексного числа $z = x + iy$ нужно решить систему уравнений (16).

Система (16) имеет бесконечно много решений, и все эти решения задаются формулой $\varphi = \varphi_0 + 2\pi k$, $k = 0, \pm 1, \pm 2, \dots$, где φ_0 — одно из решений системы (16). Таким образом, аргумент комплексного числа определяется неоднозначно: если φ_0 — одно из значений аргумента комплексного числа z , то все значения аргумента этого числа находятся по формуле

$$\arg z = \varphi_0 + 2\pi k, \quad k = 0, \pm 1, \pm 2, \dots \quad (17)$$

Из системы (16) получается, что аргумент φ комплексного числа $z = x + iy$ удовлетворяет уравнению

$$\operatorname{tg} \varphi = \frac{y}{x}, \quad x \neq 0. \quad (18)$$

Следует иметь в виду, что не все корни уравнения (18) являются решениями системы (16).

7. Показательная форма комплексного числа

Пусть $|z| = 1$, $\varphi = \arg z$. Тогда по формуле (15) имеем $z = \cos \varphi + i \sin \varphi$. Это комплексное число обозначается символом $e^{i\varphi}$, т. е. функция $e^{i\varphi}$ для любого действительного числа φ определяется формулой Эйлера

$$e^{i\varphi} = \cos \varphi + i \sin \varphi. \quad (19)$$

В частности $e^{2\pi i} = 1$, $e^{\pi i} = -1$, $e^{\pi i/2} = i$, $e^{-\pi i/2} = -i$ (рис. 4). Отметим, что $|e^{i\varphi}| = 1$ для любого действительного числа φ . Из (19) заменой φ на $(-\varphi)$ получается равенство

$$e^{-i\varphi} = \cos \varphi - i \sin \varphi. \quad (20)$$

Сложением и вычитанием равенств (19) и (20) получаются *формулы Эйлера*

$$\cos \varphi = \frac{1}{2}(e^{i\varphi} + e^{-i\varphi}), \quad \sin \varphi = \frac{1}{2i}(e^{i\varphi} - e^{-i\varphi}),$$

с помощью которых тригонометрические функции выражаются через показательную функцию.

Функция $e^{i\varphi}$ обладает обычными свойствами показательной функции, как если бы число i было действительным. Отметим основные из

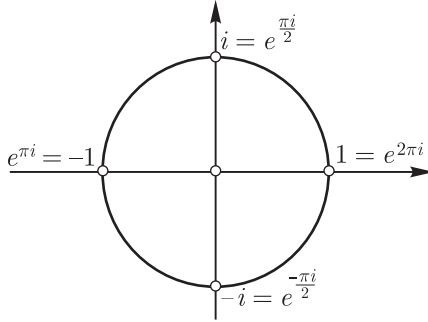


Рис. 4

них:

$$e^{i\varphi_1} \cdot e^{i\varphi_2} = e^{i(\varphi_1 + \varphi_2)}, \quad (21)$$

$$\frac{e^{i\varphi_1}}{e^{i\varphi_2}} = e^{i(\varphi_1 - \varphi_2)}, \quad (22)$$

$$(e^{i\varphi})^n = e^{in\varphi}, \quad n \in \mathbb{Z}. \quad (23)$$

Докажем, например, равенство (21):

$$\begin{aligned} e^{i\varphi_1} e^{i\varphi_2} &= (\cos \varphi_1 + i \sin \varphi_1)(\cos \varphi_2 + i \sin \varphi_2) = \\ &= (\cos \varphi_1 \cos \varphi_2 - \sin \varphi_1 \sin \varphi_2) + i(\sin \varphi_1 \cos \varphi_2 + \cos \varphi_1 \sin \varphi_2) = \\ &= \cos(\varphi_1 + \varphi_2) + i \sin(\varphi_1 + \varphi_2) = e^{i(\varphi_1 + \varphi_2)}. \end{aligned}$$

Аналогично проверяется равенство (22). Равенство (23) получается из (21) и (22) по индукции.

Из (23) и (19) получается *формула Муавра*

$$(\cos \varphi + i \sin \varphi)^n = \cos n\varphi + i \sin n\varphi, \quad n \in \mathbb{Z}.$$

Из формул (15) и (19) следует, что любое комплексное число $z \neq 0$ можно представить в виде

$$z = re^{i\varphi}, \quad (24)$$

где $r = |z|$, $\varphi = \arg z$. Запись комплексного числа в виде (24) называется *показательной формой* комплексного числа.

С помощью равенств (21) и (22) получаются формулы умножения и деления комплексных чисел, записанных в показательной форме:

$$z_1 z_2 = r_1 e^{i\varphi_1} r_2 e^{i\varphi_2} = r_1 r_2 e^{i(\varphi_1 + \varphi_2)}, \quad (25)$$

$$\frac{z_1}{z_2} = \frac{r_1 e^{i\varphi_1}}{r_2 e^{i\varphi_2}} = \frac{r_1}{r_2} e^{i(\varphi_1 - \varphi_2)}, \quad (26)$$

а из равенства (23) — формула возведения в целую степень:

$$z^n = (r e^{i\varphi})^n = r^n e^{in\varphi}, \quad n \in \mathbb{Z}. \quad (27)$$

Из формул (25)–(27) получаются, в частности, формулы (9), а также следующие свойства аргумента:

$$\text{если } \varphi_1 = \arg z_1, \varphi_2 = \arg z_2, \text{ то } \varphi_1 + \varphi_2 = \arg(z_1 z_2); \quad (28)$$

$$\text{если } \varphi_1 = \arg z_1, \varphi_2 = \arg z_2, \text{ то } \varphi_1 - \varphi_2 = \arg \frac{z_1}{z_2}; \quad (29)$$

$$\text{если } \varphi_1 = \arg z, \text{ то } n\varphi = \arg(z^n), n = 0, \pm 1, \pm 2, \dots; \quad (30)$$

$$\text{если } \varphi_1 = \arg z, \text{ то } -\varphi = \arg \bar{z}. \quad (31)$$

Сформулируем правило равенства комплексных чисел, записанных в тригонометрической или показательной форме: если $\varphi_1 = \arg z_1$, $\varphi_2 = \arg z_2$, то равенство $z_1 = z_2$ имеет место только тогда, когда

$$|z_1| = |z_2| \quad \text{и} \quad \varphi_1 = \varphi_2 + 2\pi k, \quad (32)$$

где k — некоторое целое число.

8. Извлечение корня

Рассмотрим уравнение

$$z^n = a, \quad (33)$$

где $a \neq 0$ — комплексное число, n — натуральное число. Пусть $a = \rho e^{i\theta}$, $z = r e^{i\varphi}$. Тогда

$$r^n e^{in\varphi} = \rho e^{i\theta}.$$

Из этого уравнения с помощью правила (32) находим $r^n = \rho$, $n\varphi = \theta + 2k\pi$, откуда $r = \sqrt[n]{\rho}$, $\varphi_k = (\theta + 2k\pi)/n$ и

$$z_k = \sqrt[n]{\rho} e^{(\theta + 2k\pi)i/n}, \quad k \in \mathbb{Z}. \quad (34)$$

Среди этих чисел ровно n различных, получаемых, например, при $k = 0, 1, 2, \dots, n-1$. На комплексной плоскости эти точки расположены в вершинах правильного n -угольника, вписанного в окружность радиуса $\sqrt[n]{\rho}$ с центром в точке 0 (рис. 5).

Замечание. Комплексное число z называется *корнем n -й степени из числа a* (обозначается $\sqrt[n]{a}$), если $z^n = a$. Выше показано, что при $a \neq 0$ имеется ровно n различных корней n -й степени из числа a .

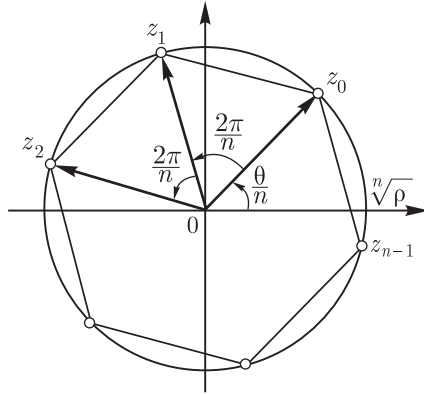


Рис. 5

§ 2. Последовательности и ряды комплексных чисел

1. Предел последовательности

Определение предела последовательности $\{z_n\}$ комплексных чисел $z_1, z_2, \dots, z_n, \dots$ формально такое же, как и определение предела последовательности действительных чисел.

Определение 1. Комплексное число z_0 называется *пределом последовательности* $\{z_n\}$, если для любого $\varepsilon > 0$ существует такой номер $N = N(\varepsilon)$, что для всех $n > N$ выполняется неравенство

$$|z_n - z_0| < \varepsilon. \quad (1)$$

При этом пишут $\lim_{n \rightarrow \infty} z_n = z_0$.

Другими словами, число z_0 называется пределом последовательности $\{z_n\}$, если

$$\lim_{n \rightarrow \infty} |z_n - z_0| = 0. \quad (2)$$

Последовательность, имеющая предел, называется *сходящейся*.

Геометрический смысл неравенства (1) заключается в том, что точка z_n лежит в круге радиуса ε с центром в точке z_0 (рис. 6). Этот круг, т. е. множество точек z , удовлетворяющих неравенству $|z_n - z_0| < \varepsilon$, где $\varepsilon > 0$, называется ε -окрестностью точки z_0 . Следовательно, точка z_0 является пределом последовательности $\{z_n\}$, если в любой окрестности точки z_0 содержатся все члены этой последовательности, за исключением, быть может, их конечного числа.

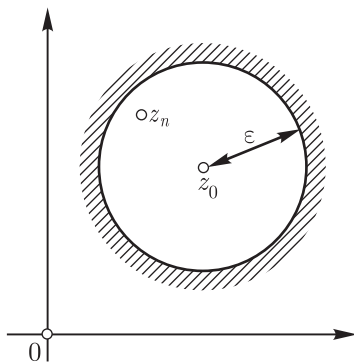


Рис. 6

Таким образом, определение предела последовательности $\{z_n\}$ является обычным определением предела последовательности точек плоскости, сформулированным в терминах комплексных чисел.

Пусть $z_n = x_n + iy_n$, $n = 0, 1, 2, \dots$. В курсе математического анализа доказывается

Теорема 1. *Существование предела $\lim_{n \rightarrow \infty} z_n = z_0$ равносильно существованию двух пределов: $\lim_{n \rightarrow \infty} x_n = x_0$, $\lim_{n \rightarrow \infty} y_n = y_0$.*

Из этой теоремы и свойств сходящихся последовательностей действительных чисел получаются следующие свойства сходящихся последовательностей комплексных чисел:

если $\lim_{n \rightarrow \infty} z_n = z_0$ и $\lim_{n \rightarrow \infty} \zeta_n = \zeta_0$, где $\zeta_n = \xi_n + i\eta_n$, $n = 0, 1, 2, \dots$,

то $\lim_{n \rightarrow \infty} (z_n \pm \zeta_n) = z_0 \pm \zeta_0$, $\lim_{n \rightarrow \infty} (z_n \cdot \zeta_n) = z_0 \cdot \zeta_0$,

$\lim_{n \rightarrow \infty} \frac{z_n}{\zeta_n} = \frac{z_0}{\zeta_0}$, если $\zeta_n \neq 0$ при $n = 0, 1, 2, \dots$.

Точно так же, как и в курсе математического анализа, доказывается

Критерий Коши. *Последовательность $\{z_n\}$ сходится тогда и только тогда, когда для любого $\varepsilon > 0$ существует такой номер N , что для всех $n > N$ и $m > N$ выполняется неравенство $|z_n - z_m| < \varepsilon$.*

Последовательность комплексных чисел $\{z_n\}$ называется *ограниченной*, если существует такое число R , что $|z_n| < R$ для всех номеров n .

Из геометрической интерпретации предела последовательности получается, что всякая сходящаяся последовательность ограничена. Обратное утверждение, вообще говоря, неверно.

Сформулируем свойства сходящихся последовательностей комплексных чисел, связанные со свойствами последовательностей модулей и аргументов этих чисел.

1. Из определения предела последовательности $\{z_n\}$ и неравенства $||z_n| - |z_0|| \leq |z_n - z_0|$ получается следующее свойство:
если $\lim_{n \rightarrow \infty} z_n = z_0$, то $\lim_{n \rightarrow \infty} |z_n| = |z_0|$.
2. Пусть $z_n = r_n e^{i\varphi_n}$, где $r_n = |z_n|$, $\varphi_n = \arg z_n$, $n = 0, 1, 2, \dots$. Из формулы $z_n = r_n \cos \varphi_n + i r_n \sin \varphi_n$ и теоремы 1 получается следующее достаточное условие сходимости последовательности $\{z_n\}$:
если $\lim_{n \rightarrow \infty} r_n = r_0$ и $\lim_{n \rightarrow \infty} \varphi_n = \varphi_0$, то $\lim_{n \rightarrow \infty} z_n = r_0 e^{i\varphi_0}$.

Рассмотрим ряд

$$\sum_{k=1}^{\infty} z_k, \quad (3)$$

составленный из комплексных чисел. Этот ряд называется *сходящимся*, если сходится последовательность его частичных сумм $s_n = \sum_{k=1}^n z_k$.

При этом предел s последовательности $\{s_n\}$ называют *суммой ряда* (3) и пишут $s = \sum_{k=1}^{\infty} z_k$.

Ряд (3) называется *абсолютно сходящимся*, если сходится ряд

$$\sum_{k=1}^{\infty} |z_k|.$$

Если $z_n = x_n + i y_n$, $n = 1, 2, \dots$, то по теореме 1 исследование свойств ряда (3) сводится к исследованию свойств рядов $\sum_{n=1}^{\infty} x_n$

и $\sum_{n=1}^{\infty} y_n$.

2. Расширенная комплексная плоскость

Понятие «бесконечность» вводится с помощью следующего определения.

Определение 2. Последовательность комплексных чисел $\{z_n\}$ называют *сходящейся к бесконечности* и пишут

$$\lim_{n \rightarrow \infty} z_n = \infty, \quad (4)$$

если

$$\lim_{n \rightarrow \infty} |z_n| = \infty. \quad (5)$$

Это определение формально совпадает с соответствующим определением для действительных чисел, так как соотношение (5) означает, что для любого $R > 0$ существует такой номер N , что для всех $n > N$ выполняется неравенство

$$|z_n| > R. \quad (6)$$

Геометрически неравенство (6) означает, что точка z_n лежит вне круга радиуса R с центром в точке O (рис. 7). Это множество называется *окрестностью бесконечности*. Следовательно, точка $z = \infty$ является пределом последовательности $\{z_n\}$, если в любой окрестности точки $z = \infty$ содержатся все члены этой последовательности, за исключением, быть может, их конечного числа.

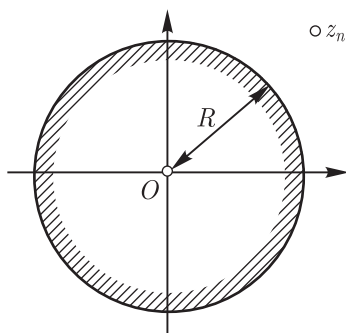


Рис. 7

Таким образом, «числу» $z = \infty$ ставится в соответствие символическая бесконечно удаленная точка. Комплексная плоскость, дополненная бесконечно удаленной точкой, называется *расширенной комплексной плоскостью* и обозначается $\overline{\mathbb{C}}$. Приведем геометрическую интерпретацию расширенной комплексной плоскости.

Рассмотрим сферу S , касающуюся комплексной плоскости в точке O (рис. 8). Обозначим через P точку сферы S , диаметрально противоположную точке O . Каждой точке z комплексной плоскости поставим в соответствие точку M , которая является точкой пересечения сферы S с отрезком, соединяющим точки z и P (рис. 8). При этом последовательности $\{z_n\}$, сходящейся к бесконечности, соответствует последовательность точек сферы S , сходящаяся к точке P . Поэтому точке $z = \infty$ поставим в соответствие точку P .

Такое соответствие между точками расширенной комплексной плоскости и точками сферы S является взаимно однозначным. Оно на-

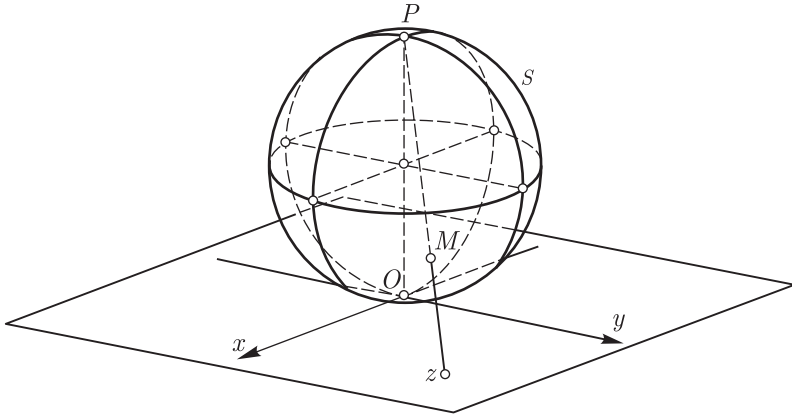


Рис. 8

зывается *стереографической проекцией*, а сфера S называется *сферой Римана*.

Комплексные числа (включая $z = \infty$) можно изображать точками сферы Римана. При этом сходящиеся последовательности комплексных чисел изображаются на сфере Римана сходящимися последовательностями точек.

При стереографической проекции окружности переходят в окружности, угол между пересекающимися кривыми на плоскости равен углу между образами этих кривых на сфере Римана.

Теорема 2. *Расширенная комплексная плоскость компактна, т. е. из любой последовательности комплексных чисел можно выделить сходящуюся (может быть, к бесконечности) подпоследовательность.*

Эта теорема доказывается в курсе математического анализа.

§ 3. Кривые и области на комплексной плоскости

1. Непрерывные кривые

Пусть на конечном отрезке $\alpha \leq t \leq \beta$ заданы две непрерывные функции $\xi(t)$ и $\eta(t)$. Тогда на этом отрезке задана непрерывная комплекснозначная функция действительного переменного:

$$z = \sigma(t) = \xi(t) + i\eta(t), \quad \alpha \leq t \leq \beta.$$

В этом случае говорят, что задана непрерывная кривая*

$$z = \sigma(t), \quad \alpha \leq t \leq \beta, \quad (1)$$

а уравнение (1) называется *параметрическим уравнением* этой кривой. При этом, если $z_1 = \sigma(t_1)$ и $z_2 = \sigma(t_2)$, где $\alpha \leq t_1 < t_2 \leq \beta$, то говорят, что точка z_2 кривой (1) следует за точкой z_1 (или: точка z_1 предшествует точке z_2). Таким образом, кривая (1) является *упорядоченным множеством точек комплексной плоскости*. Другими словами, кривая (1) всегда считается ориентированной в направлении возрастания параметра t . *Направление* движения точки z вдоль кривой (1), соответствующее возрастанию параметра t , называется *положительным*. Точка $a = \sigma(\alpha)$ называется *началом* (или начальной точкой) кривой (1), а точка $b = \sigma(\beta)$ — ее *концом* (или конечной точкой).

Пусть кривая γ задана уравнением (1). Тогда на комплексной плоскости точки $z = \sigma(t)$, $\alpha \leq t \leq \beta$, образуют некоторое множество $M(\gamma)$. Это множество отличается от самой кривой, во-первых, тем, что кривая является упорядоченным множеством точек.

Пример 1. Кривая $z = \cos t$, $\pi \leq t \leq 2\pi$ является отрезком $[-1, 1]$, ориентированным в направлении от точки $z = -1$ к точке $z = 1$ (рис. 9).



Рис. 9

Пример 2. Кривая $z = e^{it}$, $0 \leq t \leq \pi$ является полуокружностью $|z| = 1$, $\operatorname{Im} z \geq 0$, ориентированной против часовой стрелки (рис. 10).

Второе отличие кривой γ от множества $M(\gamma)$ состоит в том, что различным точкам кривой может отвечать одна и та же точка плоскости: если $\sigma(t_1) = \sigma(t_2)$ при $t_1 \neq t_2$, то точки $z_1 = \sigma(t_1)$ и $z_2 = \sigma(t_2)$ являются различными на кривой γ , но как точки плоскости они совпадают. Такие точки называются *точками самопересечения кривой* (1). Исключением является совпадение начала и конца кривой: если $\sigma(\alpha) = \sigma(\beta)$, то эта точка не считается самопересечением кривой (1).

Кривая, не имеющая точек самопересечения, называется *простой кривой*. Кривая, у которой начало и конец совпадают, называется *замкнутой кривой*.

* В дальнейшем для краткости слово «непрерывная» опускается.

Кривые в примерах 1 и 2 являются простыми незамкнутыми (рис. 9 и 10).

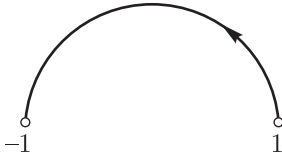


Рис. 10

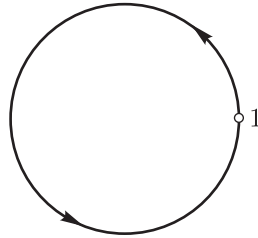


Рис. 11

Пример 3. Кривая $z = e^{it}$, $0 \leq t \leq 2\pi$ является окружностью $|z| = 1$, ориентированной против часовой стрелки, с началом и концом в точке $z = 1$. Это пример простой замкнутой кривой (рис. 11).

Пример 4. Кривая $z = \sigma(t)$, $-\frac{\pi}{2} \leq t \leq 2\pi$, где

$$\sigma(t) = \begin{cases} e^{it}, & -\frac{\pi}{2} \leq t \leq \pi, \\ \frac{3t}{\pi} - 4, & \pi \leq t \leq 2\pi, \end{cases}$$

является незамкнутой с самопересечением в точке $z = 1$ (рис. 12). При этом точки $z_1 = \sigma(0)$ и $z_2 = \sigma(5\pi/3)$ являются различными на данной кривой, хотя как точки плоскости они совпадают: $z_1 = z_2 = 1$.

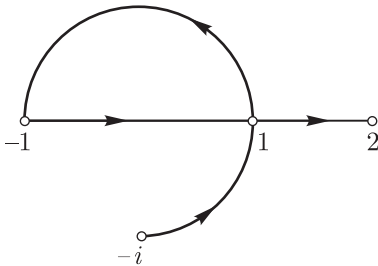


Рис. 12

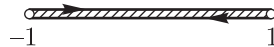


Рис. 13

Пример 5. Кривая $z = \cos t$, $-\pi \leq t < \pi$, является отрезком $[-1, 1]$, проходимым дважды: сначала от точки $z = -1$ к точке $z = 1$, затем от точки $z = 1$ к точке $z = -1$ (рис. 13). Это пример замкнутой кривой, у которой каждая точка интервала $(-1, 1)$ является точкой самопересечения.

Замечание. Две кривые $z = \sigma_1(t)$, $\alpha_1 \leq t \leq \beta_1$, и $z = \sigma_2(\tau)$, $\alpha_2 \leq \tau \leq \beta_2$, считаются совпадающими, если существует действительная функция $t = s(\tau)$, непрерывная и возрастающая на отрезке $\alpha_2 \leq \tau \leq \beta_2$, такая, что $s(\alpha_2) = \alpha_1$, $s(\beta_2) = \beta_1$ и $\sigma_1(s(\tau)) \equiv \sigma_2(\tau)$ при $\alpha_2 \leq \tau \leq \beta_2$.

Совпадающим кривым отвечает одно и то же множество точек плоскости.

Уравнение любой кривой $z = \sigma_1(t)$, $\alpha_1 \leq t \leq \beta_1$, можно записать в виде $z = \sigma_2(\tau)$, $0 \leq \tau \leq 1$, например, с помощью замены $t = \alpha + (\beta - \alpha)\tau$; $\sigma_1(t) = \sigma_1(\alpha + (\beta - \alpha)\tau) = \sigma_2(\tau)$. Таким образом, не теряя общности, уравнение кривой можно записывать с помощью комплекснозначной функции, определенной на отрезке $[0, 1]$.

Пример 6. Уравнение кривой, рассмотренной в примере 1, можно записать в виде $z = t$, $-1 \leq t \leq 1$, или в виде $z = 2t - 1$, $0 \leq t \leq 1$.

2. Кусочно-гладкие кривые

Рассмотрим кривую γ , заданную уравнением $z = \sigma(t)$, $\alpha \leq t \leq \beta$. Обозначим через γ^{-1} кривую, полученную из кривой γ изменением ориентации на противоположную. Тогда уравнение кривой γ^{-1} можно записать в виде $z = \sigma(-t)$, $-\beta \leq t \leq -\alpha$. Часть кривой γ , проходимая от точки $z_1 = \sigma(t_1)$ до точки $z_2 = \sigma(t_2)$, где t_1 и t_2 принадлежат отрезку $[\alpha, \beta]$, называется *дугой кривой* γ .

Пусть $\alpha = t_0 < t_1 < t_2 < \dots < t_n = \beta$ и γ_k — дуга кривой γ , проходимая от точки $z_{k-1} = \sigma(t_{k-1})$ до точки $z_k = \sigma(t_k)$ ($k = 1, 2, \dots, n$). Тогда будем говорить, что кривая γ *разбита на дуги* $\gamma_1, \gamma_2, \dots, \gamma_n$ или кривая γ *состоит из дуг* $\gamma_1, \gamma_2, \dots, \gamma_n$. Этот факт будем обозначать так: $\gamma = \gamma_1 \gamma_2 \dots \gamma_n$. Ломаная с последовательными вершинами в точках $z_k = \sigma(t_k)$, $k = 0, 1, \dots, n$, называется *ломаной, вписанной в кривую* γ (рис. 14).

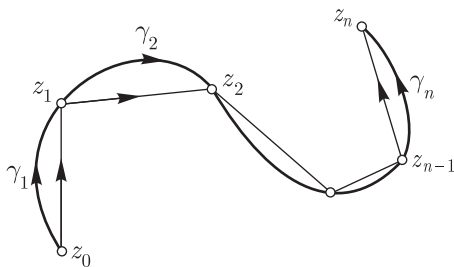


Рис. 14

Рассмотрим совокупность всех ломаных, вписанных в кривую γ . Если множество длин этих ломаных ограничено, то кривая γ называется *спрямляемой*, а точная верхняя грань этого множества называется *длиной кривой* γ .

Кривая называется *гладкой*, если ее уравнение можно записать в виде $z = \sigma(t) = \xi(t) + i\eta(t)$, $\alpha \leq t \leq \beta$, где функции $\xi(t)$ и $\eta(t)$ непрерывно дифференцируемы на отрезке $[\alpha, \beta]$, т. е. на этом отрезке функция $\sigma(t)$ имеет непрерывную производную $\sigma'(t) = \xi'(t) + i\eta'(t)$ и $\sigma'(t) \neq 0$, причем если кривая замкнута, то должно выполняться равенство $\sigma'(\alpha) = \sigma'(\beta)$.

Кривая называется *кусочно-гладкой*, если ее можно разбить на конечное число гладких кривых. Простейшим примером кусочно-гладкой кривой является ломаная.

Уравнение кусочно-гладкой кривой можно записать в виде $z = \sigma(t)$, $\alpha \leq t \leq \beta$, где функция $\sigma(t)$ непрерывна и кусочно-непрерывно дифференцируема на отрезке $[\alpha, \beta]$ и на этом отрезке $\sigma'(t) \neq 0$. Всюду в дальнейшем уравнение кусочно-гладкой кривой будем записывать только с помощью таких функций.

Геометрический смысл производной комплекснозначной функции состоит в следующем: если кривая γ задана уравнением $z = \sigma(t)$, $\alpha \leq t \leq \beta$, и в некоторой точке $t_0 \in [\alpha, \beta]$ существует $\sigma'(t_0) \neq 0$, то кривая γ в точке $z_0 = \sigma(t_0)$ имеет касательный вектор $\sigma'(t_0)$. Следовательно, кусочно-гладкая кривая во всех точках имеет касательную, кроме, быть может, конечного числа точек, в которых существует предельное положение касательной слева и справа. Эти исключительные точки называются *угловыми точками кривой*.

Из курса математического анализа известно, что кусочно-гладкая кривая γ : $z = \sigma(t)$, $\alpha \leq t \leq \beta$, спрямляема и ее длина $l(\gamma)$ выражается формулой

$$l(\gamma) = \int_{\alpha}^{\beta} |\sigma'(t)| dt,$$

так как $|\sigma'(t)| dt = dl$ — элемент длины кривой γ .

Всюду в дальнейшем будем рассматривать только кусочно-гладкие кривые.

Введем понятие неограниченной кривой. Пусть на луче $t \geq \alpha$ задана непрерывная комплекснозначная функция $z = \sigma(t)$ и $\sigma(+\infty) = \infty$,

т. е. $\lim_{t \rightarrow +\infty} \sigma(t) = \infty$. Тогда говорят, что задана *неограниченная кривая*

$$z = \sigma(t), \quad \alpha \leq t < +\infty, \quad (2)$$

а уравнение (2) называется *параметрическим уравнением* этой кривой. Неограниченная кривая (2) называется *кусочно-гладкой*, если для каждого конечного $\beta > \alpha$ кривая $z = \sigma(t)$, $\alpha \leq t \leq \beta$, является кусочно-гладкой.

Аналогично определяются неограниченные кривые в случае, когда параметр t пробегает полуось $-\infty < t \leq \alpha$ или всю числовую ось.

Уравнение неограниченной кривой (2) можно записать в виде $z = \sigma_1(\tau)$, $\alpha \leq \tau \leq \beta_1$, где $\sigma_1(\tau) \rightarrow \infty$ при $\tau \rightarrow \beta_1$ (β_1 — конечное число). Для определенности уравнение такой кривой будем записывать только в виде (2).

3. Области

Множество D точек комплексной плоскости называется *областью*, если это множество:

открытое, т. е. для каждой точки, принадлежащей D , существует окрестность этой точки, принадлежащая D ;

связное, т. е. любые две точки, принадлежащие D , можно соединить кривой, все точки которой принадлежат D .

Граничной точкой области D называется точка, в любой окрестности которой есть точки, принадлежащие D , и точки, не принадлежащие D . Множество граничных точек называется *границей этой области*. Область D , дополненная всеми своими граничными точками, называется *замыканием области D* и обозначается \bar{D} .

Всюду в дальнейшем будем рассматривать **только** такие области, границы которых состоят из конечного числа кусочно-гладких кривых и изолированных точек.

Кроме того, будем считать, что все граничные кривые области D ориентированы так, что при движении точки вдоль граничной кривой в направлении этой ориентации область D остается слева. Поясним это на примерах.

Пример 7. Границей области $0 < |z - z_0| < \varepsilon$, $\varepsilon > 0$, является точка $z = z_0$ и окружность $|z - z_0| = \varepsilon$, ориентированная против часовой стрелки и проходимая один раз (рис. 15). Эту область будем называть так: «круг $|z - z_0| < \varepsilon$ с выколотой точкой z_0 » или «проколота окрестность точки z_0 ».

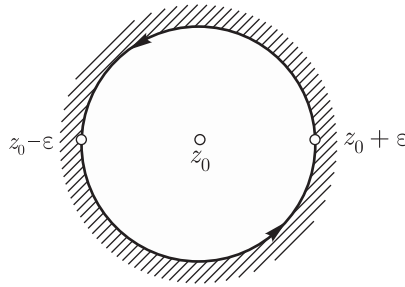


Рис. 15

Пример 8. Область $|z| < 1$, $0 < \arg z < 2\pi$ будем изображать, как указано на рис. 16, и называть так: «*круг $|z| < 1$ с разрезом по отрезку $[0, 1]$* ». Граничная кривая Γ этой области состоит из следующих частей: отрезок $[0, 1]$, проходимый от точки $z = 1$ до точки $z = 0$ — нижний берег разреза; отрезок $[0, 1]$, проходимый от точки $z = 0$ до точки $z = 1$ — верхний берег разреза; окружность $|z| = 1$, проходимая против часовой стрелки один раз. Отметим, что каждой точке полуинтервала $(0, 1]$ соответствуют две различные точки кривой Γ .

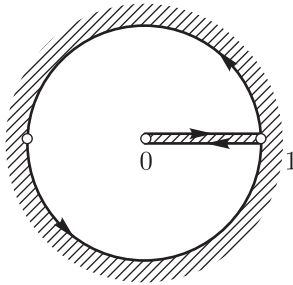


Рис. 16

Пример 9. Граница Γ области $1 < |z| < 2$ состоит из двух кривых:

$\Gamma = \Gamma_1 \cup \Gamma_2$, где Γ_1 — окружность $|z| = 2$, ориентированная против часовой стрелки,

Γ_2 — окружность $|z| = 1$, ориентированная по часовой стрелке.

Область D называется *ограниченной*, если существует такой круг K : $|z| < R$, что $D \subset K$. Примерами ограниченных областей являются области на рис. 15–17.

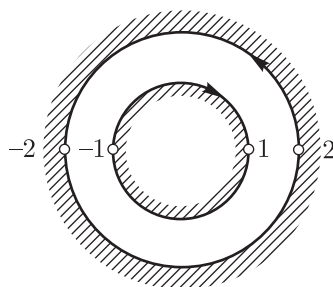


Рис. 17

Пример 10. Следующие области являются неограниченными (рис. 18):

- а) $1 < |z| < \infty$;
- б) верхняя полуплоскость $\text{Im } z > 0$ с разрезом по отрезку $[0, i]$;
- в) полоса $|\text{Im } z| < 1$;
- г) полуполоса $|\text{Im } z| < 1, \text{Re } z > 0$ с разрезом по отрезку $[1, 2]$.

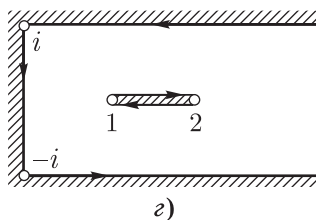
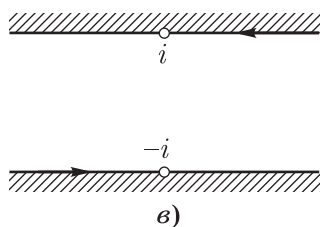
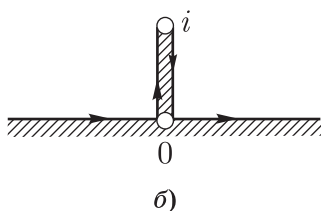
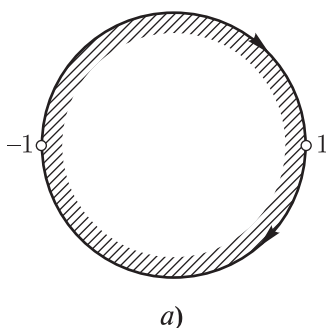


Рис. 18

Область D на комплексной плоскости называется *односвязной*, если любую замкнутую кривую, лежащую в D , можно непрерывно деформировать в точку, оставаясь в области D . Непрерывную деформацию

кривой достаточно понимать наглядно геометрически (рис. 19–21), но можно дать и строгое аналитическое определение (см. п. 4, § 3).

Примерами односвязных областей являются области на рис. 16 и 18 (б, в), а неодносвязными являются области на рис. 15, 17, 18 (а, г).

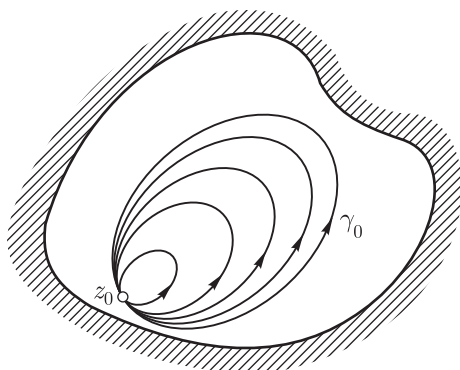


Рис. 19

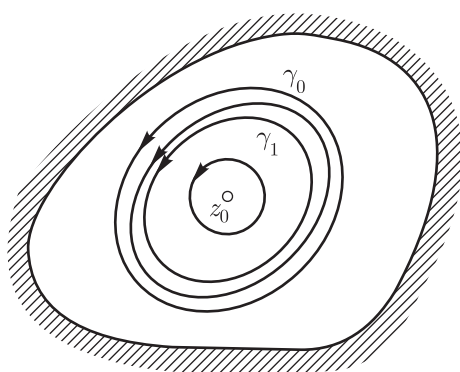


Рис. 20

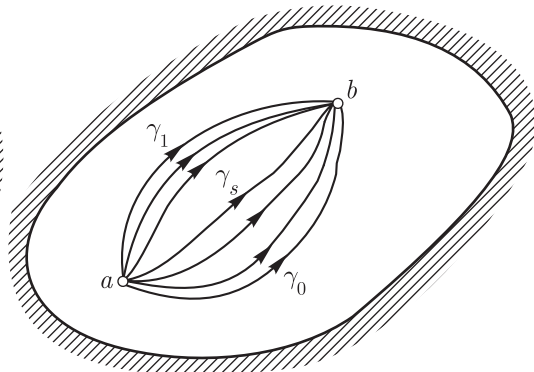


Рис. 21

Замечание. В односвязной области любые две кривые с общим началом и общим концом можно непрерывно деформировать друг в друга, оставаясь в области (рис. 21).

Область D на комплексной плоскости является односвязной только тогда, когда внутренность любой простой замкнутой кривой, лежащей в D , целиком принадлежит области D . Образно односвязную область можно представить как лист бумаги произвольной формы, может быть, с разрезами по краям, но без «дырок» внутри.

Ограниченная область является односвязной, если ее граница состоит только из одной замкнутой кривой.

4. Непрерывная деформация кривой

Пусть кривые $\gamma_0: z = \sigma_0(t)$, $0 \leq t \leq 1$, и $\gamma_1: z = \sigma_1(t)$, $0 \leq t \leq 1$, лежат в области D и имеют общее начало в точке $a = \sigma_0(0) = \sigma_1(0)$ и общий конец в точке $b = \sigma_0(1) = \sigma_1(1)$ (рис. 21).

Будем говорить, что кривую γ_0 можно непрерывно деформировать в кривую γ_1 , оставаясь в области D , если существует функция $\sigma(t, s)$, непрерывная в квадрате $0 \leq t \leq 1$, $0 \leq s \leq 1$ и удовлетворяющая следующим условиям:

- а) при каждом фиксированном $s \in [0, 1]$ кривая $\gamma_s: z = \sigma(t, s)$, $0 \leq t \leq 1$, лежит в области D ;
- б) $\sigma(t, 0) \equiv \sigma_0(t)$, $\sigma(t, 1) \equiv \sigma_1(t)$, $0 \leq t \leq 1$;
- в) $\sigma(0, s) \equiv a$, $\sigma(1, s) \equiv b$, $0 \leq s \leq 1$.

В частности, если кривая γ_0 замкнутая, т. е. $a = b$, а кривая γ_1 — это только одна точка $a = b = z_0 \in D$, т. е. $\sigma_1(t) \equiv z_0$, $0 \leq t \leq 1$, то будем говорить, что кривую γ_0 можно непрерывно деформировать в точку, оставаясь в области D (рис. 20). При этом можно отказаться от условия в) (рис. 19, 20).

§ 4. Непрерывные функции комплексного переменного

Пусть на множестве E определена комплекснозначная функция $w = f(z)$, т. е. каждой точке $z = x + iy \in E$ поставлено в соответствие комплексное число $w = u + iv$. Тогда говорят, что задано отображение множества E во множество E' и пишут $E' = f(E)$. Эту функцию можно представить в виде $f(z) = u(x, y) + iv(x, y)$, где $u(x, y) = \operatorname{Re} f(x + iy)$, $v(x, y) = \operatorname{Im} f(x + iy)$. Таким образом, комплекснозначную функцию комплексного переменного можно рассматривать как пару действительных функций двух действительных переменных.

1. Предел функции

Пусть функция $f(z)$ определена в проколотой окрестности точки z_0 , т. е. в кольце $K: 0 < |z - z_0| < R$. Формально так же, как и для действительной функции действительного переменного, сформулируем

два эквивалентных определения предела функции $f(z)$: по Коши и по Гейне.

Определение предела по Коши. Комплексное число A называется пределом по Коши функции $f(z)$ при z , стремящемся к z_0 (в точке z_0), если для любого $\varepsilon > 0$ существует такое $\delta > 0$, что для всех z , удовлетворяющих условию: $0 < |z - z_0| < \delta$, выполняется неравенство $|f(z) - A| < \varepsilon$.

При этом пишут $\lim_{z \rightarrow z_0} f(z) = A$ или $f(z) \rightarrow A$ при $z \rightarrow z_0$.

Определение предела по Гейне. Комплексное число A называется пределом по Гейне функции $f(z)$ в точке z_0 , если для любой последовательности $\{z_n\}$, $z_n \in K$, $n = 1, 2, \dots$, сходящейся к z_0 , последовательность $\{f(z_n)\}$ сходится к A , т. е. из условия $\lim_{n \rightarrow \infty} z_n = z_0$ следует, что $\lim_{n \rightarrow \infty} f(z_n) = A$.

Из теоремы 1, § 2 следует, что существование предела $\lim_{z \rightarrow z_0} f(z)$, где $f(z) = u(x, y) + iv(x, y)$, $z_0 = x_0 + iy_0$, равносильно существованию двух пределов $\lim_{\substack{x \rightarrow x_0 \\ y \rightarrow y_0}} u(x, y)$ и $\lim_{\substack{x \rightarrow x_0 \\ y \rightarrow y_0}} v(x, y)$, причем

$$\lim_{z \rightarrow z_0} f(z) = \lim_{\substack{x \rightarrow x_0 \\ y \rightarrow y_0}} u(x, y) + i \lim_{\substack{x \rightarrow x_0 \\ y \rightarrow y_0}} v(x, y).$$

Отсюда, а также из определения предела функции по Гейне и свойств сходящихся последовательностей комплексных чисел получаются следующие свойства пределов функций:

если существуют пределы

$$\lim_{z \rightarrow z_0} f(z) = A \quad \text{и} \quad \lim_{z \rightarrow z_0} g(z) = B,$$

то существуют пределы

$$\lim_{z \rightarrow z_0} [f(z) \pm g(z)] = A \pm B, \quad \lim_{z \rightarrow z_0} [f(z)g(z)] = AB,$$

$$\lim_{z \rightarrow z_0} \frac{f(z)}{g(z)} = \frac{A}{B}, \quad \text{где } B \neq 0.$$

2. Непрерывность функции в точке и в области

Определение 1. Функция $f(z)$, определенная в окрестности точки z_0 , называется непрерывной в точке z_0 , если

$$\lim_{z \rightarrow z_0} f(z) = f(z_0).$$

Это определение эквивалентно следующему: функция $f(z) = u(x, y) + iv(x, y)$ называется непрерывной в точке $z_0 = x_0 + iy_0$, если функции $u(x, y)$ и $v(x, y)$ непрерывны в точке (x_0, y_0) .

Определение 2. Функция $f(z)$ называется непрерывной в области, если она непрерывна в каждой точке этой области.

Из свойств пределов функции вытекают следующие свойства непрерывных функций. Пусть функции $f(z)$ и $g(z)$ непрерывны (в точке или в области). Тогда (в этой точке или области) непрерывны функции $f(z) \pm g(z)$ и $f(z)g(z)$, а функция $\frac{f(z)}{g(z)}$ непрерывна в тех точках, в которых $g(z) \neq 0$.

Суперпозиция непрерывных функций также является непрерывной функцией: если функция $f(z)$ непрерывна в точке z_0 , а функция $F(\xi)$ непрерывна в точке $\xi_0 = f(z_0)$, то функция $F(f(z))$ непрерывна в точке z_0 .

Пример 1. Функции z , $\operatorname{Re} z$, $\operatorname{Im} z$, \bar{z} , $|z|$ непрерывны во всей комплексной плоскости.

Пример 2. Многочлен $P(z) = a_0 z^n + a_1 z^{n-1} + \dots + a_n$ с комплексными коэффициентами является непрерывной функцией во всей комплексной плоскости.

Пример 3. Рациональная функция $R(z) = \frac{P(z)}{Q(z)}$, где $P(z)$, $Q(z)$ — многочлены, непрерывна во всех точках комплексной плоскости, в которых $Q(z) \neq 0$.

3. Непрерывность функции на кривой

Пусть задана кривая

$$\gamma : z = \sigma(t) = \xi(t) + i\eta(t), \quad \alpha \leq t \leq \beta, \quad (1)$$

и пусть на отрезке $[\alpha, \beta]$ заданы две действительные функции $u(t)$ и $v(t)$. Тогда будем говорить, что на кривой γ задана функция

$$w = f(t) = u(t) + iv(t), \quad \alpha \leq t \leq \beta. \quad (2)$$

Определение 3. Функция (2) называется непрерывной на кривой (1), если на отрезке $[\alpha, \beta]$ непрерывны функции $u(t)$ и $v(t)$, причем, если кривая (1) замкнутая, то должно выполняться равенство $f(\alpha) = f(\beta)$.

Обозначим $M(\gamma)$ множество точек z комплексной плоскости, таких, что $z = \sigma(t)$, $\alpha \leq t \leq \beta$. Если кривая γ простая, то соотношение (2) определяет на $M(\gamma)$ однозначную функцию $w = f(z) = f(\sigma(t)) = f_1(t)$. В общем случае, когда кривая γ имеет точки самопересечения, функция (2), как функция от z , может оказаться неоднозначной на $M(\gamma)$. Однако и в этом случае вместо записи (2) для краткости будем писать $w = f(z) = f(\sigma(t))$.

Справедливы следующие утверждения:

- 1) если функция $f(z)$ непрерывна в области D , то она непрерывна на каждой кривой, лежащей в области D ;
- 2) если функция $f(z)$ определена в области D и непрерывна на каждой кривой, лежащей в области D , то функция $f(z)$ непрерывна в области D .

4. Непрерывность функции в области вплоть до границы

Рассмотрим сначала ограниченную область D , у которой граница Γ состоит из конечного числа простых замкнутых кривых $\Gamma_1, \Gamma_2, \dots, \Gamma_n$ (рис. 22). В этом случае будем писать $\Gamma = \Gamma_1 \cup \Gamma_2 \cup \dots \cup \Gamma_n$.

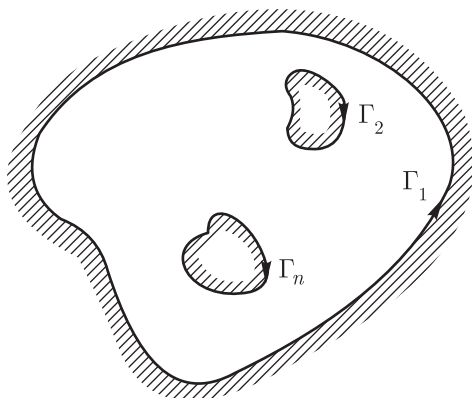


Рис. 22

Пусть функция $f(z) = u(x, y) + iv(x, y)$ непрерывна в области D , т. е. в этой области непрерывны функции $u(x, y)$, $v(x, y)$. И пусть функции $u(x, y)$, $v(x, y)$ можно доопределить на границе Γ так, что получатся функции, непрерывные в \overline{D} . В таком случае всегда будем считать, что функция $f(z)$ определена в \overline{D} по формуле $f(z) = u(x, y) + iv(x, y)$, и называть ее *непрерывной в области D вплоть до ее границы Γ* . Отметим, что в этом случае функция $f(z)$ непрерывна на каждой граничной кривой Γ_k , $k = 1, 2, \dots, n$.

Пример 4. Пусть D — полукруг $|z| < 2$, $\operatorname{Im} z > 0$ (рис. 23). Рассмотрим в этой области функцию $f(z) = \sqrt{z} = \sqrt{r}e^{\frac{i\varphi}{2}}$, где $z = re^{i\varphi}$, $0 < \varphi < \pi$.

Эту функцию можно записать в виде $f(z) = u(x, y) + iv(x, y)$, где

$$u(x, y) = \sqrt{r} \cos \frac{\varphi}{2} = \sqrt[4]{x^2 + y^2} \cos \left(\frac{1}{2} \operatorname{arctg} \frac{y}{x} \right),$$

$$v(x, y) = \sqrt{r} \sin \frac{\varphi}{2} = \sqrt[4]{x^2 + y^2} \sin \left(\frac{1}{2} \operatorname{arctg} \frac{y}{x} \right).$$

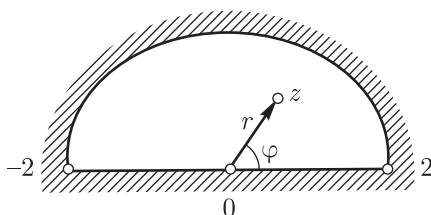


Рис. 23

Так как функции $u(x, y)$, $v(x, y)$ непрерывны в области D , то функция $f(z)$ также непрерывна в этой области. По условленной договоренности считаем, что эта функция доопределена на граничной кривой своими предельными значениями изнутри области по формулам: $f(ze^{i\varphi}) = \sqrt{2}e^{\frac{i\varphi}{2}}$ при $0 \leq \varphi \leq \pi$, $f(x) = \sqrt{x}$ при $0 \leq x \leq 2$, $f(x) = i\sqrt{|x|}$ при $-2 \leq x \leq 0$. Поэтому функция $f(z)$ непрерывна в \overline{D} .

Пример 5. Пусть D — круг $|z| < 2$ с разрезом по отрезку $[0, 2]$ (рис. 24). Рассмотрим в этой области функцию $f(z) = \sqrt{r}e^{\frac{i\varphi}{2}}$, где $z = re^{i\varphi}$, $0 < \varphi < 2\pi$. Так же, как и в примере 4, можно доказать, что функция $f(z)$ непрерывна в области D . Впрочем, и геометрически видно, что $r = |z|$ и полярный угол φ (рис. 24) являются непрерывными функциями от (x, y) . Доопределим функцию $f(z)$ на граничной кривой области D формулами: $f(re^{i\varphi}) = \sqrt{2}e^{\frac{i\varphi}{2}}$, при $0 < \varphi < \pi$, на верхнем берегу разреза $f(x + i0) = \lim_{\substack{z \rightarrow x \\ \operatorname{Im} z > 0}} f(z) = \sqrt{x}$ при $0 \leq x \leq 2$, на нижнем берегу разреза $f(x - i0) = \lim_{\substack{z \rightarrow x \\ \operatorname{Im} z < 0}} f(z) = -\sqrt{x}$ при $0 \leq x \leq 2$.

Получилась функция, которая не является непрерывной в \overline{D} , так как на разных берегах разреза она принимает разные значения: ее нельзя «склеить» вдоль разреза так, чтобы она оставалась непрерывной. В этом случае функцию $f(z)$ будем называть непрерывной в области D вплоть до ее границы.

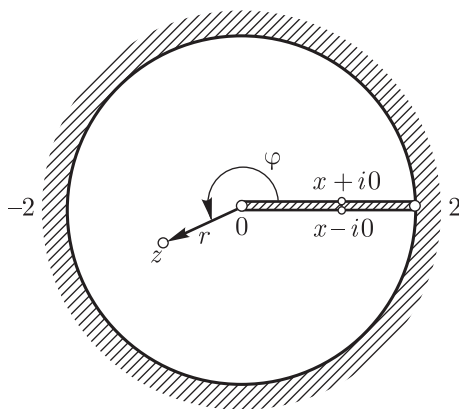


Рис. 24

«Разрежем» (разобьем) область D примера 5 отрезком $[-2, 0]$ на две области: D_1 — верхний полукруг $|z| < 2$, $\operatorname{Im} z > 0$ (рис. 23) и D_2 — нижний полукруг $|z| < 2$, $\operatorname{Im} z < 0$. Тогда функция $f(z)$ примера 5 непрерывна в $\overline{D_1}$ и в $\overline{D_2}$.

Определение 4. Непрерывная в ограниченной области D функция $f(z)$ называется непрерывной в области D вплоть до ее границы, если область D можно разбить на конечное число областей D_k , $k = 1, 2, \dots, n$, так, что функция $f(z)$ непрерывна в $\overline{D_k}$, $k = 1, 2, \dots, n$.

Это определение эквивалентно следующему: функция $f(z)$ является непрерывной в ограниченной области D вплоть до ее границы, если для каждой подобласти $D_1 \subset D$, граница которой является простой кривой, функция $f(z)$ непрерывна в $\overline{D_1}$.

5. Показательная, тригонометрические и гиперболические функции

1) Показательная функция

Функция e^z для комплексных $z = x + iy$ определяется формулой

$$e^z = e^{x+iy} = e^x(\cos y + i \sin y). \quad (3)$$

Из формулы (3) следует, что

$$\operatorname{Re} e^z = e^x \cos y, \quad \operatorname{Im} e^z = e^x \sin y, \quad |e^z| = e^x, \quad \arg e^z = y.$$

Поэтому функция e^z непрерывна на всей комплексной плоскости.

Функция e^z обладает следующими свойствами:

$$e^{z_1} e^{z_2} = e^{z_1+z_2}, \quad \frac{e^{z_1}}{e^{z_2}} = e^{z_1-z_2}, \quad e^{z+2\pi i} = e^z.$$

Функция e^z принимает все комплексные значения, кроме нуля, т. е. уравнение $e^z = A$ имеет корни при любом $A \neq 0$. Действительно, если $A \neq 0$ и $A = |A|e^{i\alpha}$, где $\alpha = \arg A$, то равенство $e^z = A$ можно записать в виде

$$e^x \cdot e^{iy} = |A|e^{i\alpha},$$

откуда следует, что

$$e^x = |A|, \quad x = \ln |A|, \quad y = \alpha + 2k\pi, \quad k \in \mathbb{Z}.$$

Введем обозначение $\text{Arg } A = \arg A + 2k\pi$, $k \in \mathbb{Z}$, где $\arg A$ — одно из значений аргумента числа A , $A \neq 0$. Если $e^z = A$, $A \neq 0$, то комплексное число z называется *логарифмом числа A* и обозначается $\text{Ln } A$.

Тогда множество корней уравнения $e^z = A$ можно записать в виде

$$z = \text{Ln } A = \ln |A| + i \text{Arg } A. \quad (4)$$

Действительная часть числа z (формула (4)), т. е. $\ln |A|$, определяется однозначно, а мнимая часть, т. е. $\text{Arg } A$ — неоднозначно в виде $\text{Arg } A = \arg A + 2k\pi$, $k \in \mathbb{Z}$, $\arg A$ — одно из значений аргумента числа A .

В частности, уравнение $e^z = 1$ имеет корни $z_k = 2k\pi i$, $k \in \mathbb{Z}$, а уравнение $e^z = -1$ — корни $z_k = (2k+1)\pi i$, $k \in \mathbb{Z}$.

2) Тригонометрические функции

Функции $\sin z$, $\cos z$, $\text{tg } z$ и $\text{ctg } z$ для комплексных z определяются формулами

$$\sin z = \frac{1}{2i} (e^{iz} - e^{-iz}), \quad (5)$$

$$\cos z = \frac{1}{2} (e^{iz} + e^{-iz}), \quad (6)$$

$$\text{tg } z = \frac{\sin z}{\cos z}, \quad \text{ctg } z = \frac{\cos z}{\sin z}. \quad (7)$$

Отметим, что все формулы элементарной тригонометрии, справедливые для действительных значений x , остаются в силе и для всех $z \in \mathbb{C}$.

Это можно доказать, используя формулы (3), (5)–(7) и теорему единственности (§ 14).

Например,

$$\begin{aligned} \sin 2z &= 2 \sin z \cos z, & \cos 2z &= \cos^2 z - \sin^2 z, \\ \sin(-z) &= -\sin z, & \cos(-z) &= \cos z. \end{aligned}$$

Заметим еще, что функции $\sin z$ и $\cos z$ принимают все комплексные значения, а функции $\text{tg } z$ и $\text{ctg } z$ — все значения кроме $\pm i$.

Покажем, что

$$|\sin z| \sim \frac{e^{|y|}}{2}, \quad |\cos z| \sim \frac{e^{|y|}}{2} \quad \text{при } y \rightarrow \infty \quad (8)$$

равномерно относительно x .

Действительно, по свойствам модуля комплексного числа,

$$\frac{1}{2} |e^y - e^{-y}| \leq |\sin z| \leq \frac{1}{2} (|e^{iz}| + |e^{-iz}|) = \frac{1}{2} (e^y + e^{-y}),$$

$$\frac{1}{2} |e^y - e^{-y}| \leq |\cos z| \leq \frac{1}{2} (e^y + e^{-y}),$$

откуда следуют асимптотические равенства (8).

Пример 6. Найдем корни уравнений $\sin z = 0$, $\cos z = 0$. Уравнение $\sin z = \frac{e^{iz} - e^{-iz}}{2i} = 0$ равносильно уравнению $e^{2iz} = 1$, откуда $2iz = 2k\pi i$, $z = k\pi$, $k \in \mathbb{Z}$. Аналогично, уравнение $\cos z = \frac{e^{iz} + e^{-iz}}{2} = 0$ равносильно уравнению $e^{2iz} = -1$, откуда $2iz = (\pi + 2k\pi)i$, $z = \frac{\pi}{2} + k\pi$, $k \in \mathbb{Z}$. Таким образом, на множестве \mathbb{C} уравнения $\sin z = 0$ и $\cos z = 0$ имеют те же корни, что и на множестве \mathbb{R} .

Функция $\operatorname{tg} z = \frac{\sin z}{\cos z}$ определена при $z \neq \frac{\pi}{2} + k\pi$, $k \in \mathbb{Z}$, а функция $\operatorname{ctg} z = \frac{\cos z}{\sin z}$ определена при $z \neq k\pi$, $k \in \mathbb{Z}$.

Пример 7. Найдем все решения уравнения $\sin z + \cos z = \frac{3\sqrt{2}}{4}i$.

1) Используя формулы тригонометрии, запишем уравнение в виде

$$\sqrt{2} \cos \left(z - \frac{\pi}{4} \right) = \frac{3\sqrt{2}}{4}i \quad \text{или} \quad \cos \left(z - \frac{\pi}{4} \right) = \frac{3}{4}i,$$

откуда, полагая $e^{i(z - \frac{\pi}{4})} = t$, получаем по формуле (6)

$$t + \frac{1}{t} = \frac{3}{2}i \quad \text{или} \quad 2t^2 - 3it + 2 = 0.$$

Это уравнение имеет корни $t_1 = 2i$, $t_2 = -\frac{i}{2}$.

Если $e^{i(z - \frac{\pi}{4})} = 2i$, то по формуле (4) находим

$$i \left(z - \frac{\pi}{4} \right) = \ln 2 + i \left(\frac{\pi}{2} + 2k\pi \right), \quad \text{откуда} \quad z = \frac{3\pi}{4} + 2k\pi - i \ln 2, \quad k \in \mathbb{Z}.$$

Если $e^{i(z-\frac{\pi}{4})} = -\frac{i}{2}$, то $i\left(z - \frac{\pi}{4}\right) = -\ln 2 + i\left(-\frac{\pi}{2} + 2k\pi\right)$, откуда

$$z = -\frac{\pi}{4} + 2k\pi + i \ln 2, \quad k \in \mathbb{Z}.$$

Ответ: $\frac{3\pi}{4} + 2k\pi - i \ln 2$, $-\frac{\pi}{4} + 2k\pi + i \ln 2$, $k \in \mathbb{Z}$.

Пример 8. Найдем все решения уравнения

$$\operatorname{tg} z = \frac{2}{\sqrt{3}} - i.$$

Используя определение тангенса и формулы (5), (6), получаем

$$\frac{e^{iz} - e^{-iz}}{i(e^{iz} + e^{-iz})} = \frac{2}{\sqrt{3}} - i.$$

Полагая $e^{2iz} = t$, запишем уравнение в виде $\frac{t-1}{t+1} = 1 - \frac{2}{t+1} = 1 + \frac{2i}{\sqrt{3}}$,

откуда $t = -1 + i\sqrt{3}$, т. е. $e^{2iz} = -1 + i\sqrt{3} = 2e^{\frac{2\pi i}{3}}$.

По формуле (4) получаем

$$2iz = \ln 2 + i\left(\frac{2\pi}{3} + 2k\pi\right), \quad z = -\frac{i}{2} \ln 2 + \frac{\pi}{3} + \pi k, \quad k \in \mathbb{Z}.$$

Ответ: $\frac{\pi}{3} + \pi k - \frac{i}{2} \ln 2$, $k \in \mathbb{Z}$.

3) Гиперболические функции

Функции $\operatorname{sh} z$, $\operatorname{ch} z$, $\operatorname{th} z$ и $\operatorname{cth} z$ определяются формулами

$$\operatorname{sh} z = \frac{1}{2}(e^z - e^{-z}), \quad \operatorname{ch} z = \frac{1}{2}(e^z + e^{-z}), \quad (9)$$

$$\operatorname{th} z = \frac{\operatorname{sh} z}{\operatorname{ch} z}, \quad \operatorname{cth} z = \frac{\operatorname{ch} z}{\operatorname{sh} z}. \quad (10)$$

Из формул (9)–(10) следует, что

$$\operatorname{sh} z = -i \sin iz, \quad \operatorname{ch} z = \cos iz. \quad (11)$$

$$\operatorname{th} z = -i \operatorname{tg} iz, \quad \operatorname{cth} z = i \operatorname{ctg} iz. \quad (12)$$

Поэтому функция $\operatorname{th} z$ определена при $z \neq \left(\frac{\pi}{2} + \pi k\right)i$, $k \in \mathbb{Z}$, а функция $\operatorname{cth} z$ при $z \neq \pi ki$, $k \in \mathbb{Z}$.

Из равенств (11) следует, что уравнение $\operatorname{sh} z = 0$ имеет корни $z_k = k\pi i$, $k \in \mathbb{Z}$, а уравнение $\operatorname{ch} z = 0$ — корни $z_k = \left(\frac{\pi}{2} + k\pi\right)i$, $k \in \mathbb{Z}$.

Отметим, что все формулы для гиперболических функций, справедливые при действительных z , остаются верными и для $z \in \mathbb{C}$.

Замечание. Приведенные в п. 5 формулы для функции e^z , тригонометрических и гиперболических функций будут доказаны в § 14.

§ 5. Интегрирование функций комплексного переменного

1. Определение интеграла

Пусть γ — гладкая или кусочно-гладкая кривая, заданная уравнением

$$z = \sigma(t) = \xi(t) + i\eta(t), \quad \alpha \leq t \leq \beta. \quad (1)$$

Пусть на отрезке $\Delta = [\alpha, \beta]$ выбраны точки τ_k такие, что

$$\alpha = \tau_0 < \tau_1 < \dots < \tau_{n-1} < \tau_n = \beta.$$

Эти точки задают разбиение T отрезка Δ . Число $l(T) = \max_{1 \leq k \leq n} (\tau_k - \tau_{k-1})$ назовем *мелькостью разбиения* T , $\Delta_k = [\tau_{k-1}, \tau_k]$ — *отрезком разбиения* T .

Пусть $t_k \in \Delta_k$, $\zeta_k = \sigma(t_k)$, $k = \overline{1, n}$. Разбиению T отрезка Δ соответствует разбиение кривой γ на дуги γ_k , где γ_k — дуга с начальной точкой $z_{k-1} = \sigma(\tau_{k-1})$ и конечной точкой $z_k = \sigma(\tau_k)$ (см. рис. 25), а точке $t_k \in \Delta_k$ соответствует точка $\zeta_k \in \gamma_k$. Пусть $\zeta = (\zeta_1, \dots, \zeta_k)$.

Составим интегральную сумму

$$\sum_T (f; \zeta) = \sum_{k=1}^n f(\zeta_k)(z_k - z_{k-1}) \quad (2)$$

для функции f , соответствующую разбиению T и выборке ζ .

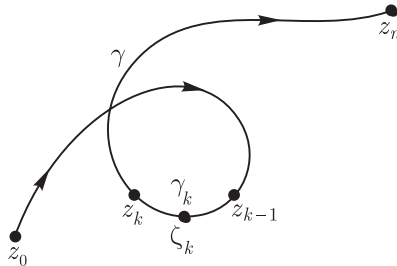


Рис. 25

Если существует конечный предел J суммы (2) при $l(T) \rightarrow 0$, не зависящий от разбиения T и выборки ζ , то этот предел (число J)

называется *интегралом* от функции $f(z)$ по кривой γ и обозначается

$$\int_{\gamma} f(z) dz.$$

Пусть $z = x+iy$, $f(z) = u(x, y) + iv(x, y)$, $z_k = x_k + iy_k$, $\Delta x_k = x_k - x_{k-1}$, $\Delta y_k = y_k - y_{k-1}$, $\zeta_k = \xi_k + i\eta_k$. Тогда

$$\begin{aligned} \sum_T(f; \zeta) &= \sum_{k=1}^n f(\zeta_k)(z_k - z_{k-1}) = \\ &= \sum_{k=1}^n (u(M_k) + iv(M_k))(\Delta x_k + i\Delta y_k), \end{aligned} \quad (3)$$

где $M_k = (\xi_k, \eta_k) \in \gamma_k$.

Выделяя в правой части равенства (3) действительную и мнимую части, получаем

$$\begin{aligned} \sum_T(f; \zeta) &= \\ &= \sum_{k=1}^n (u(M_k)\Delta x_k - v(M_k)\Delta y_k) + i \sum_{k=1}^n (u(M_k)\Delta y_k + v(M_k)\Delta x_k) = \\ &= \sum_T^{(1)}(\zeta) + i \sum_T^{(2)}(\zeta), \end{aligned} \quad (4)$$

где $\sum_T^{(1)}(\zeta)$ и $\sum_T^{(2)}(\zeta)$ — интегральные суммы, соответствующие криволинейным интегралам второго рода J_1 и J_2 , где

$$J_1 = \int_{\gamma} u dx - v dy, \quad J_2 = \int_{\gamma} v dx + u dy.$$

Если $f = u + iv$ — непрерывная на кривой γ функция, то u и v — непрерывные функции. В курсе математического анализа [9] доказывается, что если $l(T) \rightarrow 0$, то существуют пределы интегральных сумм $\sum_T^{(1)}(\zeta)$ и $\sum_T^{(2)}(\zeta)$, равные соответственно J_1 и J_2 .

Таким образом, справедлива следующая теорема.

Теорема. Если γ — кусочно-гладкая кривая, а функция $f(z) = u(x, y) + iv(x, y)$ непрерывна на кривой γ , то существует интеграл от функции $f(z)$ по кривой γ , причем

$$\int_{\gamma} f(z) dz = \int_{\gamma} u dx - v dy + i \int_{\gamma} v dx + u dy. \quad (5)$$

Если кривая γ задана уравнением $z = \sigma(t) = \xi(t) + i\eta(t)$, $\alpha \leq t \leq \beta$, то в формуле (3) $dx = \xi'(t)dt$, $dy = \eta'(t)dt$ и, следовательно,

$$\begin{aligned} \int_{\gamma} f(z)dz &= \int_{\alpha}^{\beta} (u\xi' - v\eta')dt + i \int_{\alpha}^{\beta} (v\xi' + u\eta')dt = \\ &= \int_{\alpha}^{\beta} (u + iv)(\xi' + i\eta')dt = \int_{\alpha}^{\beta} f(\sigma(t))\sigma'(t)dt. \end{aligned} \quad (6)$$

Пример 1. Пусть $f(z) \equiv 1$, a и b — соответственно начало и конец кривой γ . Тогда интегральная сумма (1) равна

$$\sum_{k=1}^n (z_k - z_{k-1}) = z_1 - z_0 + z_2 - z_1 + \dots + z_n - z_{n-1} = z_n - z_0 = b - a,$$

откуда $\int_{\gamma} dz = b - a$. Таким образом, $\int_{\gamma} dz$ зависит только от начальной и конечной точек кривой γ и не зависит от пути интегрирования. В этом случае вместо $\int_{\gamma} dz$ можно писать $\int_a^b dz$. В частности, если $a = b$, то $\int_{\gamma} dz = 0$, т. е. интеграл $\int_{\gamma} dz$ по любой замкнутой кривой равен нулю.

Пример 2. Вычислим интеграл $I_n = \int_{C_{\rho}} (z - z_0)^n dz$, где n — целое число, C_{ρ} — окружность $|z - z_0| = \rho$, $\rho > 0$, ориентированная против часовой стрелки.

Уравнение окружности C_{ρ} запишем в виде $z = z_0 + \rho e^{it}$, $0 \leq t \leq 2\pi$. Тогда $dz = i\rho e^{it} dt$ и по формуле (6) находим

$$I_n = i\rho^{n+1} \cdot \int_0^{2\pi} e^{it(n+1)} dt,$$

откуда при $n = -1$ получаем $I_{-1} = 2\pi i$, а при $n \neq -1$ по формуле Ньютона–Лейбница находим

$$I_n = \frac{\rho^{n+1}}{n+1} e^{it(n+1)} \Big|_{t=0}^{t=2\pi} = 0.$$

Таким образом,

$$\int_{|z-z_0|=\rho} (z - z_0)^n dz = \begin{cases} 0, & n = 0, 1, \pm 2, \pm 3, \dots, \\ 2\pi i, & n = -1. \end{cases}$$

2. Свойства интегралов

Из формулы (5) и свойств криволинейных интегралов следует, что интегралы от функций комплексного переменного обладают следующими свойствами:

$$1) \int_{\gamma} [af(z) + bg(z)]dz = a \int_{\gamma} f(z)dz + b \int_{\gamma} g(z)dz,$$

где a и b — любые комплексные числа (линейность интеграла);

$$2) \int_{\gamma} f(z)dz = - \int_{\gamma^{-1}} f(z)dz,$$

т. е. при изменении ориентации кривой интеграл меняет знак;

$$3) \int_{\gamma_1 \cup \gamma_2} f(z)dz = \int_{\gamma_1} f(z)dz + \int_{\gamma_2} f(z)dz.$$

Имеет место также следующее свойство:

если ряд $f(z) = \sum_{n=1}^{\infty} f_n(z)$, составленный из непрерывных на кривой γ функций $f_n(z)$ ($n = 1, 2, \dots$), сходится равномерно на γ , то его можно почленно интегрировать, т. е.

$$\int_{\gamma} f(z)dz = \sum_{n=1}^{\infty} \int_{\gamma} f_n(z)dz.$$

3. Оценки интегралов

Лемма 1. Пусть функция $f(z)$ непрерывна на кривой γ . Тогда имеет место оценка

$$\left| \int_{\gamma} f(z)dz \right| \leq \int_{\gamma} |f(z)||dz|, \quad (7)$$

где $|dz| = \sqrt{(dx)^2 + (dy)^2} = ds$ — элемент длины кривой γ .

○ Имеем

$$\left| \sum_{k=1}^n f(\zeta_k)(z_k - z_{k-1}) \right| \leq \sum_{k=1}^n |f(\zeta_k)||z_k - z_{k-1}|,$$

откуда, переходя к пределу, получаем оценку (7). ●

Следствие. Из неравенства (7) получается оценка

$$\left| \int_{\gamma} f(z)dz \right| \leq M \cdot l(\gamma),$$

где $M = \max_{z \in \gamma} |f(z)|$, $l(\gamma)$ — длина кривой γ .

Лемма 2. Пусть функция $f(z)$ непрерывна в области D и кривая γ лежит в D . Тогда интеграл от $f(z)$ по γ можно с любой точностью приблизить интегралом от $f(z)$ по ломаной, лежащей в области D , т. е. для любого $\varepsilon > 0$ существует ломаная C (близкая к кривой γ), лежащая в области D , такая, что

$$\left| \int_{\gamma} f(z) dz - \int_C f(z) dz \right| < \varepsilon. \quad (8)$$

Покажем, как можно доказать лемму 2.

О Если функция $f(z)$ непрерывна в области D , то при непрерывной деформации кривой интеграл от функции $f(z)$ изменяется непрерывно. Это означает следующее: пусть непрерывная деформация кривой γ_0 в области D осуществляется кривыми $\gamma_s : z = \sigma(t, s)$, $0 \leq t \leq 1$, $s \geq 0$ (см. п. 4, § 3). Тогда интеграл

$$\int_{\gamma_s} f(z) dz = \int_0^1 f(\sigma(t, s)) \sigma'_t(t, s) dt$$

является непрерывной функцией параметра s .

Если параметр s мало отличается от нуля, то кривую γ_s естественно назвать «близкой» к кривой γ_0 . В частности, можно выбрать ломаную γ_s , близкую к кривой γ_0 , откуда и получается оценка (8). ●

Лемма 3. Пусть D — ограниченная односвязная область, Γ — ее граница. Если функция $f(z)$ непрерывна в области D вплоть до границы, то интеграл от $f(z)$ по Γ можно с любой точностью приблизить интегралом от $f(z)$ по замкнутой ломаной, лежащей в области D .

Доказательство леммы 3 выходит за рамки нашего курса.

Рассмотрим неодносвязную область. Пусть граница Γ ограниченной области D состоит из кривых $\Gamma_1, \Gamma_2, \dots, \Gamma_n$. Если функция $f(z)$ непрерывна в области D вплоть до границы, то интеграл от $f(z)$ по Γ определяется формулой

$$\int_{\Gamma} f(z) dz = \sum_{k=1}^n \int_{\Gamma_k} f(z) dz.$$

Из леммы 3 получается

Следствие. Если функция $f(z)$ непрерывна в области D вплоть до границы, то интеграл от $f(z)$ по границе области D можно с любой точностью приблизить суммой интегралов от $f(z)$ по замкнутым ломаным, лежащим в области D .

§ 6. Функция $\operatorname{Arg} z$

Функция $\operatorname{Ln} z$ была определена в § 4 формулой

$$\operatorname{Ln} z = \ln |z| + i \operatorname{Arg} z,$$

где $z \neq 0$, $\operatorname{Arg} z = \arg z + 2k\pi i$ ($k \in \mathbb{Z}$), $\arg z$ — одно из значений аргумента числа z .

В гл. 3 будет показано, что все элементарные многозначные функции выражаются через логарифмическую функцию, которая является многозначной (ее мнимая часть $\operatorname{Arg} z$ является многозначной функцией).

Поэтому необходимо исследовать функцию $\operatorname{Arg} z$.

1. Полярные координаты

Декартовы и полярные координаты точки $z = x + iy \in \mathbb{C}$ связаны формулами

$$x = r \cos \varphi, \quad y = r \sin \varphi, \quad (1)$$

где $r = \sqrt{x^2 + y^2} = |z|$.

Если по заданным полярным координатам (r, φ) декартовы координаты (x, y) определяются однозначно формулами (1), то φ (аргумент числа z) из системы уравнений

$$\cos \varphi = \frac{x}{\sqrt{x^2 + y^2}}, \quad \sin \varphi = \frac{y}{\sqrt{x^2 + y^2}} \quad (2)$$

определяется неоднозначно с точностью до $2k\pi$, где $k \in \mathbb{Z}$.

Это обстоятельство является существенным при исследовании многозначных функций (например, функций $\operatorname{Ln} z$, $\sqrt[n]{z}$).

Пусть D_0 — плоскость с разрезом l по полуоси $(-\infty, 0]$ (см. рис. 26). Если считать, что точки положительной полуоси Ox $(0; +\infty)$ имеют аргумент, равный нулю, то аргумент точки $z_0 \in D_0$ равен углу, образованному лучом $z = te^{i\varphi_0}$ ($0 \leq t < +\infty$), проходящим через точку z_0 из точки $z = 0$, с полуосью $(0; +\infty)$.

Точки верхнего берега l^+ разреза l имеют аргумент π , а точки нижнего берега l^- разреза l имеют аргумент $-\pi$. В этом случае аргумент каждой внутренней и граничной точки области D_0 однозначно определяется значением аргумента в одной точке (например, в точке x , где $0 < x < +\infty$). Функция $\varphi(z) = \arg z$ непрерывна в области D_0 , ее называют однозначной непрерывной ветвью функции $\operatorname{Arg} z$.

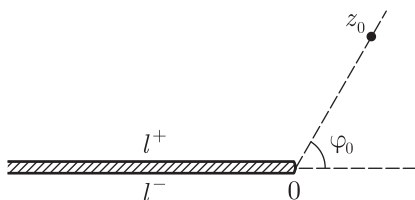


Рис. 26

В области D_0 существует бесконечно много однозначных непрерывных ветвей $\varphi_k(z)$ функции $\operatorname{Arg} z$. Они описываются формулами

$$\varphi_k(z) = \varphi(z) + 2k\pi, \quad k \in \mathbb{Z},$$

где $\varphi(z)$ — указанная выше ветвь функции $\operatorname{Arg} z$ такая, что

$$-\pi < \varphi(z) < \pi.$$

Функцию $\varphi(x) = \arg z$ можно выразить через обратные тригонометрические функции. Например, $\arg z = \operatorname{arctg} \frac{y}{x}$ при $x > 0$,

$\arg z = \pi + \operatorname{arctg} \frac{y}{x}$ при $x < 0$, $y > 0$. Однако в случае произвольной области нельзя получить простую формулу для представления непрерывной ветви $\arg z$ функции $\operatorname{Arg} z$ через обратные тригонометрические функции, так как эти функции меняются в пределах от $-\frac{\pi}{2}$ до $\frac{\pi}{2}$,

а аргумент может меняться в любых пределах.

Более удобным является интегральное представление функции $\arg z$.

2. Приращение аргумента вдоль кривой

Пусть кривая γ не проходит через точку $z = 0$. Угол поворота вектора z при движении точки z вдоль кривой γ от начальной до конечной точки этой кривой назовем *приращением аргумента z вдоль кривой γ* и обозначим его $\Delta_\gamma \arg z$ (см. рис. 27).

Пример 1. а) Если γ — отрезок прямой с началом в точке $1-i$ и концом в точке $1+i$, то $\Delta_\gamma \arg z = \frac{\pi}{2}$;

б) если γ_+ — полуокружность $|z| = 1$, $\operatorname{Im} z \geq 0$, ориентированная против часовой стрелки, то $\Delta_{\gamma_+} \arg z = \pi$ (см. рис. 28).

в) если γ_- — полуокружность $|z| = 1$, $\operatorname{Im} z \leq 0$, ориентированная по часовой стрелке, то $\Delta_{\gamma_-} \arg z = -\pi$ (см. рис. 28).

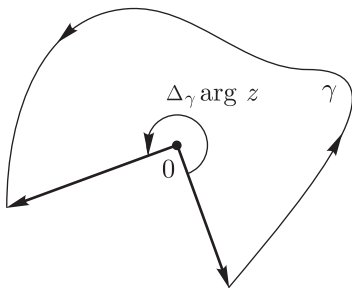


Рис. 27

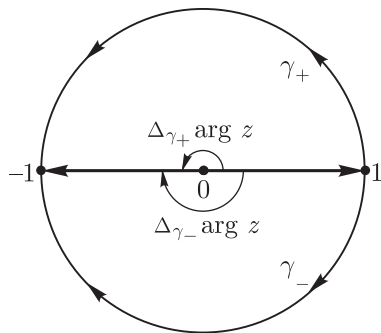


Рис. 28

Выведем формулу для $\Delta_\gamma \arg z$. Из формул (1) имеем

$$dx = \cos \varphi dr - r \sin \varphi d\varphi, \quad dy = \sin \varphi dr + r \cos \varphi d\varphi, \quad (3)$$

откуда $r d\varphi = -\sin \varphi dx + \cos \varphi dy$. Следовательно,

$$d\varphi = d \arg z = \frac{-y dx + x dy}{x^2 + y^2}. \quad (4)$$

Рассмотрим интеграл $\int_\gamma d \arg z$. Этот интеграл равен разности значений аргумента z в конечной и начальной точках кривой γ , т. е. равен приращению аргумента вдоль кривой: $\Delta_\gamma \arg z$. Следовательно,

$$\Delta_\gamma \arg z = \int_\gamma \frac{-y dx + x dy}{x^2 + y^2}. \quad (5)$$

Формулу (5) можно записать в виде

$$\Delta_\gamma \arg z = \operatorname{Im} \int_\gamma \frac{d\zeta}{\zeta}, \quad (6)$$

так как $\operatorname{Im} \frac{dz}{z} = \operatorname{Im} \frac{dx + i dy}{x + iy} = \operatorname{Im} \frac{-y dx + x dy}{x^2 + y^2}$, а переменную интегрирования в (6) можно обозначить любой буквой.

Если кривая γ задана уравнением

$$z = z(t) = x(t) + iy(t), \quad \alpha \leq t \leq \beta,$$

или уравнением

$$z = r(t)e^{i\varphi(t)}, \quad \alpha \leq t \leq \beta,$$

то

$$\Delta_\gamma \arg z = \int_\gamma d\varphi = \varphi(\beta) - \varphi(\alpha) = \operatorname{Im} \int_\alpha^\beta \frac{z'(t)}{z(t)} dt.$$

Рассмотрим свойства приращения аргумента.

1. Пусть кривую γ можно непрерывно деформировать в кривую γ_1 , не проходя через точку $z = 0$ (т.е. кривые γ и γ_1 гомотопны в области $0 < |z| < \infty$) (см. рис. 29). Тогда имеет место равенство

$$\Delta_\gamma \arg z = \Delta_{\gamma_1} \arg z. \quad (7)$$

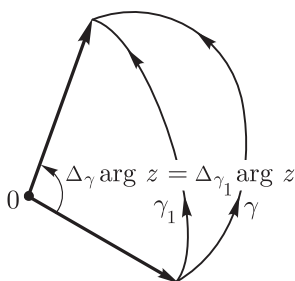


Рис. 29

Доказательство. Рассмотрим интеграл

$$\int_{\gamma} P dx + Q dy, \quad (8)$$

где функции $P(x, y)$, $Q(x, y)$, $\frac{\partial P}{\partial y}$ и $\frac{\partial Q}{\partial x}$ непрерывны в области D , и кривая γ лежит в области D . В курсе математического анализа [5] доказана

Теорема. Если область D односвязна, то для того, чтобы интеграл (8) по любой замкнутой кривой γ , лежащей в области D , равнялся нулю, необходимо и достаточно, чтобы во всей области D выполнялось равенство

$$\frac{\partial P}{\partial y} = \frac{\partial Q}{\partial x}. \quad (9)$$

Следствие. Если в области D (может быть, не односвязной) выполняется равенство (9) и кривую γ можно непрерывно деформировать в кривую γ_1 , оставаясь в области D (т.е. кривые γ и γ_1 гомотопны в области D), то имеет место равенство

$$\int_{\gamma} P dx + Q dy = \int_{\gamma_1} P dx + Q dy. \quad (10)$$

Положим в (10)

$$P(x, y) = \frac{-y}{x^2 + y^2}, \quad Q(x, y) = \frac{x}{x^2 + y^2}.$$

Непосредственной проверкой убеждаемся, что эти функции удовлетворяют условию (9) в области $0 < |z| < \infty$. Таким образом, из (5) и (10) получаем равенство (7). ●

Формула (7) следует также из геометрического смысла приращения аргумента вдоль кривой (см. рис. 29).

Из свойства 1 вытекает, в частности, свойство

2. Если замкнутая кривая γ не проходит через точку $z = 0$ и эту кривую можно непрерывно деформировать в точку, не проходя через точку $z = 0$ (т. е. кривая γ гомотопна нулю в области $0 < |z| < \infty$), то имеет место равенство

$$\Delta_\gamma \arg z = 0. \quad (11)$$

Заметим, что равенство (7) выполняется не для любых кривых γ и γ_1 с общим началом и общим концом (ср. пример 1, б и в). Также и равенство (11) справедливо не для любой замкнутой кривой γ .

Пример 2. Если γ — окружность $|z| = 1$, ориентированная против часовой стрелки и проходимая один раз, то $\Delta_\gamma \arg z = 2\pi$.

Отметим еще два свойства приращения аргумента:

3. Если кривая γ не проходит через точку $z = 0$, то

$$\Delta_\gamma \arg z = -\Delta_{\gamma^{-1}} \arg z. \quad (12)$$

4. Если кривая $\gamma = \gamma_1 \cup \gamma_2$ не проходит через точку $z = 0$, то

$$\Delta_{\gamma_1 \cup \gamma_2} \arg z = \Delta_{\gamma_1} \arg z + \Delta_{\gamma_2} \arg z. \quad (13)$$

Эти свойства вытекают из формулы (6) и свойств интегралов (§ 5).

3. Непрерывные ветви функции $\operatorname{Arg} z$

Пусть D — односвязная область, не содержащая точек $z = 0$ и $z = \infty$. Зафиксируем точку $z_0 \in D$ и выберем $\arg z_0$ — одно из значений аргумента z_0 . Положим

$$\arg z = \arg z_0 + \Delta_\gamma \arg z, \quad (14)$$

где кривая γ с началом в точке z_0 и концом в точке z лежит в области D .

По свойству 1 п. 2 приращение аргумента $\Delta_\gamma \arg z$ не зависит от кривой γ , так как в односвязной области любые кривые с общим началом и общим концом можно непрерывно деформировать друг в друга, оставаясь в области D (п. 4, § 3). Следовательно, функция (14)

однозначна в области D . Эта функция непрерывна в области D , так как ее можно написать в виде

$$\arg z = \arg z_0 + \int_{z_0}^z \frac{-y dx + x dy}{x^2 + y^2}. \quad (15)$$

Таким образом, функция (14) является *однозначной непрерывной ветвью многозначной функции $\operatorname{Arg} z$ в области D* .

Очевидно, таких ветвей бесконечно много:

$$(\arg z)_k = \arg z_0 + \Delta_\gamma \arg z + 2k\pi, \quad k \in \mathbb{Z}, \quad (16)$$

т. е. многозначная функция $\operatorname{Arg} z$ в области D распадается на однозначные непрерывные ветви (16). Отсюда следует, что непрерывная ветвь функции $\operatorname{Arg} z$ в области D полностью определяется своим значением в одной точке $z_0 \in D$.

Пример 3. Пусть D_0 — вся комплексная плоскость с разрезом по лучу $(-\infty, 0)$. Положим $z_0 = 1$, $\arg 1 = 0$. Тогда

$$\arg z = \Delta_\gamma \arg z, \quad (17)$$

где кривая γ с началом в точке $z_0 = 1$ и концом в точке z лежит в области D_0 (см. рис. 30). Очевидно, функция (17) совпадает с функцией $\varphi(z)$, рассмотренной в п. 1. В частности, имеем:

$$\begin{aligned} \arg x &= 0, & \text{если } x > 0, \\ \arg(iy) &= \frac{\pi}{2}, & \text{если } y > 0, \\ \arg(iy) &= -\frac{\pi}{2}, & \text{если } y < 0 \text{ и т. д.} \end{aligned}$$

В формуле (14) точка z_0 может быть граничной точкой области D .

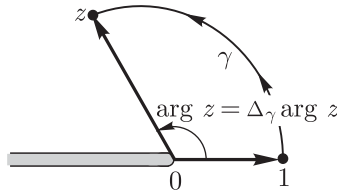


Рис. 30

Пример 4. Пусть D_1 — вся комплексная плоскость с разрезом по лучу $[0, +\infty)$. Пусть $z_0 = 1$ — точка верхнего берега разреза,

$\arg z_0 = \arg 1 = 0$. Тогда

$$\arg z = \Delta_\gamma \arg z, \quad (18)$$

где кривая γ с началом в точке $z_0 = 1$ и концом в точке z лежит в области D_1 (см. рис. 31). В частности, имеем:

$$\arg(iy) = \frac{\pi}{2}, \quad \text{если } y > 0,$$

$$\arg x = \pi, \quad \text{если } x < 0,$$

$$\arg(iy) = \frac{3\pi}{2}, \quad \text{если } y < 0$$

и т. д. (ср. пример 3).

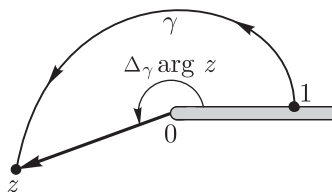


Рис. 31

Найдем значения функции (18) на верхнем и нижнем берегах разреза. При $x > 0$ имеем $\arg(x + i0) = \lim_{y \rightarrow +0} \arg(x + iy) = 0$, аналогично $\arg(x - i0) = 2\pi$. Следовательно, функцию (18) нельзя «склеить» вдоль луча $(0, +\infty)$ так, чтобы эта функция осталась непрерывной. (Функцию (17) также нельзя склеить непрерывно вдоль луча $(-\infty, 0)$.) Отсюда, в частности, следует, что в области $0 < |z| < \infty$ нельзя выделить непрерывную ветвь функции $\text{Arg } z$.

Из формулы (14) видно, что для того, чтобы функция (14) была однозначна в области D , необходимо и достаточно, чтобы приращение аргумента $\Delta_\gamma \arg z$ не зависело от кривой γ , т. е. чтобы для любой замкнутой кривой γ , лежащей в области D , имело место равенство $\Delta_\gamma \arg z = 0$. Другими словами, в области D не должно быть простых замкнутых кривых, содержащих внутри себя точку $z = 0$, т. е. нужно, чтобы в области D нельзя было обойти вокруг точки $z = 0$ (одновременно вокруг точки $z = \infty$). Такой областью является, например, вся комплексная плоскость с разрезом по неограниченной кривой, соединяющей точки $z = 0$ и $z = \infty$. В такой области и в любой ее подобласти многозначная функция $\text{Arg } z$ допускает выделение однозначных непрерывных ветвей.

Заметим, что значения функции (17) изменяются в пределах от $-\pi$ до π : $-\pi < \arg z < \pi$, $z \in D_0$, а значения функции (18) — от 0 до

2π : $0 < \arg z < 2\pi$, $z \in D_1$. Но в случае произвольной области непрерывная ветвь функции $\text{Arg } z$ может меняться в любых пределах.

Пример 5. Пусть D_2 — вся комплексная плоскость с разрезом по кривой $z = \frac{t}{\pi} e^{it}$, $0 \leq t < \infty$. Положим $\arg 5 = 2\pi$. Тогда

$$\arg z = 2\pi + \Delta_\gamma \arg z,$$

где кривая γ с началом в точке $z_0 = 5$ и концом в точке z лежит в области D_2 (см. рис. 32). В частности, вычисляя значения приращения аргумента, находим: $\arg(-6) = 3\pi$, $\arg 7 = 4\pi$, $\arg(-4) = \pi$, $\arg 3 = 0$, $\arg(-2) = -\pi$, $\arg 1 = -2\pi$ и т. д.

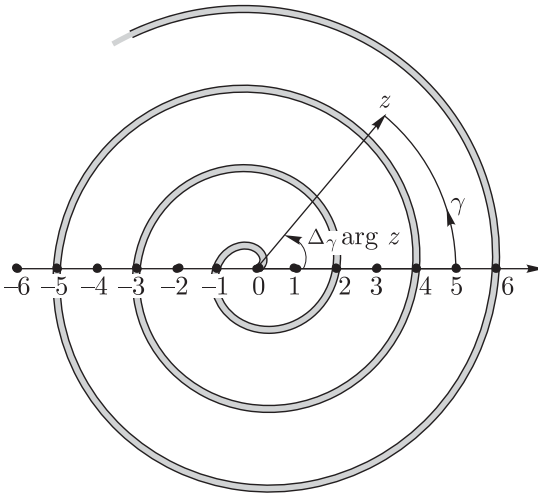


Рис. 32

РЕГУЛЯРНЫЕ ФУНКЦИИ

§ 7. Дифференцируемые функции. Условия Коши–Римана

1. Производная

Определение 1. Пусть функция $f(x)$ определена в некоторой окрестности точки z_0 (в круге $|z - z_0| < \rho$) и пусть существует конечный предел отношения $\frac{f(z_0 + \Delta z) - f(z_0)}{\Delta z} = \frac{\Delta f}{\Delta z}$ при $\Delta z \rightarrow 0$. Тогда этот предел называется производной функции f в точке z_0 и обозначается $f'(z_0)$.

Это означает, что для любого $\varepsilon > 0$ существует число $\delta = \delta(\varepsilon) > 0$ такое, что для любых Δz , удовлетворяющих условию $0 < |\Delta z| < \delta$, справедливо неравенство $\left| \frac{\Delta f}{\Delta z} - f'(z_0) \right| < \varepsilon$, откуда следует, что

$$\Delta f = f'(z_0)\Delta z + \alpha(\Delta z), \quad (1)$$

$$\text{где } \frac{\alpha(\Delta z)}{\Delta z} \rightarrow 0 \text{ при } \Delta z \rightarrow 0. \quad (2)$$

Утверждение (2) записывают так

$$\alpha(\Delta z) = o(\Delta z). \quad (3)$$

Равенство (3) эквивалентно условию $\frac{\alpha(\Delta z)}{|\Delta z|} \rightarrow 0$ при $\Delta z \rightarrow 0$, а функцию $\alpha(\Delta z)$ в записях (2) и (3) называют о-малой функцией.

Пример 1. Докажем, что функции $f(z) = C = \text{const}$ и $f(z) = z^n$, $n \in \mathbb{N}$, имеют производные в каждой точке z , и найдем их производные.

1) Если $f(z) = C$, то $\frac{\Delta f}{\Delta z} = \frac{C - C}{\Delta z} \rightarrow 0$ при $\Delta z \rightarrow 0$, т. е. $C' = 0$.

$$\begin{aligned} 2) \text{ Если } f(z) = z^n, \text{ то } \frac{f(z + \Delta z) - f(z)}{\Delta z} &= \frac{(z + \Delta z)^n - z^n}{\Delta z} = \\ &= \frac{nz^{n-1}\Delta z + o(\Delta z)}{\Delta z} \rightarrow nz^{n-1} \text{ при } \Delta z \rightarrow 0, \text{ т. е.} \end{aligned}$$

$$(z^n)' = nz^{n-1}. \quad (4)$$

Определение 2. Функция $f(z)$ называется дифференцируемой в точке z , если она определена в некоторой окрестности точки и в этой окрестности справедливо равенство

$$f(z + \Delta z) - f(z) = A\Delta z + o(\Delta z), \quad (5)$$

и $A = A(z)$ не зависит от Δz .

Из равенства (5) следует, что функция $f(z)$, дифференцируемая в точке z , имеет производную в точке z и $f'(z) = A$. Обратно, если функция $f(z)$ имеет производную в точке z , то из равенства (1) следует, что она дифференцируема в точке z . Поэтому функцию, имеющую производную в точке, называют дифференцируемой в этой точке.

Функция $f(x)$ называется дифференцируемой в области, если она дифференцируема в каждой точке этой области. Операцию нахождения производной функции называют дифференцированием этой функции.

Из определения производной и свойств предела функции следует, что правила дифференцирования функций комплексного переменного формально такие же, как и для функций действительного переменного.

1. Если функции $f(z)$ и $g(z)$ дифференцируемы в точке z , то их сумма, произведение и частное (если $g(z) \neq 0$) также дифференцируемы в точке z и справедливы формулы

$$(Af + Bg)' = Af' + Bg'; \quad (f \cdot g)' = f' \cdot g + f \cdot g'. \quad (6)$$

$$\left(\frac{f}{g}\right)' = \frac{f' \cdot g - f \cdot g'}{g^2}, \quad (7)$$

где A и B — комплексные числа.

2. Суперпозиция дифференцируемых функций также является дифференцируемой функцией: если функция $f(z)$ дифференцируема в точке z , а функция $F(\zeta)$ дифференцируема в точке $\zeta = f(z)$, то функция $\widehat{F}(z) = F(f(z))$ также дифференцируема в точке z и

$$\widehat{F}'(z) = F'(\zeta)|_{\zeta=f(z)} \cdot f'(z). \quad (8)$$

Пример 2. Из формул (4), (6) и (7) следует, что многочлен

$$\mathcal{P}(z) = a_0 z^n + a_1 z^{n-1} + \dots + a_{n-1} z + a_n$$

является дифференцируемой функцией во всей комплексной плоскости, а рациональная функция $R(z) = \frac{P(z)}{Q(z)}$, где $P(z)$ и $Q(z)$ — многочлены, дифференцируема в точках z , в которых $Q(z) \neq 0$, причем формулы дифференцирования формально такие же, как если бы эти функции были действительными, например: $(3z^4 - 2iz^2 + 4i)' = 12z^3 - 4iz$,

$$\left(\frac{z^2 + 2i}{z^2 - 3i} \right)' = \frac{(z^2 + 2i)'(z^2 - 3i) - (z^2 + 2i)(z^2 - 3i)'}{(z^2 - 3i)^2} = \frac{-10iz}{(z^2 - 3i)^2}.$$

Замечание. Напомним, что непрерывность функции $f(z) = u(x, y) + iv(x, y)$ в точке $z = x + iy$ эквивалентна непрерывности функций $u(x, y)$ и $v(x, y)$ в точке (x, y) . Но из дифференцируемости функций $u(x, y)$, $v(x, y)$ в точке (x, y) еще не следует, что функция $f(z)$ дифференцируема в точке z . Это связано с тем, что в определении производной содержится требование, чтобы предел (1) не зависел от способа стремления Δz к нулю.

Пример 3. Покажем, что функция $f(z) = \bar{z}$ не является дифференцируемой ни в одной точке.

Рассмотрим отношение

$$\frac{\Delta f}{\Delta z} = \frac{\overline{(z + \Delta z)} - \bar{z}}{\Delta z} = \frac{\overline{\Delta z}}{\Delta z} = \frac{\Delta x - i\Delta y}{\Delta x + i\Delta y}.$$

Если $\Delta y = 0$, т. е. $\Delta z = \Delta x$, то

$$\lim_{\Delta x \rightarrow 0} \frac{\Delta f}{\Delta z} = \lim_{\Delta x \rightarrow 0} \frac{\Delta x}{\Delta x} = 1,$$

а если $\Delta x = 0$, т. е. $\Delta z = i\Delta y$, то

$$\lim_{\Delta y \rightarrow 0} \frac{\Delta f}{\Delta z} = \lim_{\Delta y \rightarrow 0} \frac{-i\Delta y}{i\Delta y} = -1.$$

Это означает, что $\lim_{\Delta z \rightarrow 0} \frac{\Delta f}{\Delta z}$ не существует, т. е. функция $f(z) = \bar{z}$ не дифференцируема в точке z .

2. Условия Коши–Римана

Пусть $z = x + iy$, $z_0 = x_0 + iy_0$, $\Delta z = \Delta x + i\Delta y$, тогда

$$\begin{aligned} \{\Delta z \rightarrow 0\} &\iff \{|\Delta z| = \sqrt{(\Delta x)^2 + (\Delta y)^2} = \rho \rightarrow 0\} \iff \\ &\iff \{\Delta x \rightarrow 0, \Delta y \rightarrow 0\}. \end{aligned}$$

Если $f(z) = u(x, y) + iv(x, y)$, $\Delta u = u(x_0 + \Delta x, y_0 + \Delta y) - u(x_0, y_0)$, $\Delta v = v(x_0 + \Delta x, y_0 + \Delta y) - v(x_0, y_0)$, то $\Delta f = \Delta u + i\Delta v$.

Теорема. Для того чтобы функция $f(z)$ была дифференцируема в точке $z_0 = x_0 + iy_0$, необходимо и достаточно, чтобы

- 1) функции $u(x, y)$ и $v(x, y)$ были дифференцируемы в точке (x_0, y_0) (как функции действительных переменных x и y);
- 2) в точке (x_0, y_0) выполнялись условия Коши–Римана

$$\frac{\partial u}{\partial x}(x_0, y_0) = \frac{\partial v}{\partial y}(x_0, y_0), \quad \frac{\partial u}{\partial y}(x_0, y_0) = -\frac{\partial v}{\partial x}(x_0, y_0). \quad (9)$$

При этом

$$f'(z_0) = \frac{\partial u}{\partial x}(x_0, y_0) + i \frac{\partial v}{\partial x}(x_0, y_0) = \frac{\partial v}{\partial y}(x_0, y_0) - i \frac{\partial u}{\partial y}(x_0, y_0). \quad (10)$$

Доказательство. Необходимость. Пусть функция $f(z)$ дифференцируема в точке z_0 . Тогда справедливы равенства (1) и (2).

Если $\alpha(\Delta z) = \alpha_1(\Delta x, \Delta y) + i\alpha_2(\Delta x, \Delta y)$, $f'(z_0) = A + iB$, то равенство (1) примет вид

$$\Delta f = \Delta u + i\Delta v = (A + iB)(\Delta x + i\Delta y) + \alpha_1 + i\alpha_2, \quad (11)$$

$$\text{где } \frac{\alpha_1(\Delta x, \Delta y)}{\rho} \rightarrow 0, \quad \frac{\alpha_2(\Delta x, \Delta y)}{\rho} \rightarrow 0 \quad (12)$$

при $\rho \rightarrow 0$ ($\Delta z \rightarrow 0$).

Приравнявая в (11) действительные и мнимые части, получаем

$$\Delta u = A\Delta x - B\Delta y + \alpha_1, \quad (13)$$

$$\Delta v = B\Delta x + A\Delta y + \alpha_2, \quad (14)$$

$$\text{где } \alpha_1 = o(\rho), \quad \alpha_2 = o(\rho) \quad \text{при } \rho \rightarrow 0. \quad (15)$$

Равенство (13) и условие $\alpha_1 = o(\rho)$ означают, что функция $u(x, y)$ дифференцируема в точке (x_0, y_0) , причем

$$A = \frac{\partial u}{\partial x}(x_0, y_0), \quad -B = \frac{\partial u}{\partial y}(x_0, y_0). \quad (16)$$

Аналогично из (14) и (15) следует, что функция $v(x, y)$ дифференцируема в точке (x_0, y_0) , причем

$$B = \frac{\partial v}{\partial x}(x_0, y_0), \quad A = \frac{\partial v}{\partial y}(x_0, y_0). \quad (17)$$

Из равенств (16) и (17) заключаем, что для функций u и v выполняются условия (9) и справедливы равенства (10).

Достаточность. Пусть функции $u(x, y)$ и $v(x, y)$ дифференцируемы в точке (x_0, y_0) и выполняются условия (9). Тогда умножая равен-

ство (14) на i и складывая с равенством (13), получаем

$$\Delta f = \Delta u + i\Delta v = A\Delta x - B\Delta y + i(B\Delta x + A\Delta y) + \alpha_1 + i\alpha_2,$$

где $\alpha_1 + i\alpha_2 = \alpha(\Delta z) = o(\Delta z)$, или

$$\Delta f = (A + iB)(\Delta x + i\Delta y) + \alpha_1 + i\alpha_2 = (A + iB)\Delta z + \alpha(\Delta z),$$

где $\alpha(\Delta z) = o(\Delta z)$ при $\Delta z \rightarrow 0$.

Таким образом, функция $f(z)$ удовлетворяет в точке z_0 условию (5). Это означает, что она дифференцируема в точке z_0 , а ее производная $f'(z_0)$ выражается формулами (10). ●

Пример 4. Выясним, в каких точках дифференцируема функция $f(z) = \bar{z}^2$, и найдем ее производную в этих точках.

Так как $f(z) = \bar{z}^2 = (x - iy)^2 = x^2 - y^2 - 2ixy$, то $u(x, y) = x^2 - y^2$, $v(x, y) = -2xy$. Функции $x^2 - y^2$ и $-2xy$ дифференцируемы во всей плоскости. Поэтому осталось выяснить, в каких точках выполняются условия Коши–Римана (9). Получаем: $\frac{\partial u}{\partial x} = 2x$, $\frac{\partial v}{\partial y} = -2x$, т. е.

первое равенство (9) выполняется при $x = 0$; $\frac{\partial u}{\partial y} = -2y$, $-\frac{\partial v}{\partial x} = 2y$,

т. е. второе равенство (9) выполняется при $y = 0$. Оба равенства (9) выполняются при $x = 0$ и $y = 0$, т. е. функция \bar{z}^2 дифференцируема только в точке $z = 0$. По формуле (10) находим $f'(0) = 0$.

Пример 5. Выясним, в каких точках дифференцируемы функции e^z , $\sin z$, $\cos z$, $\operatorname{sh} z$, $\operatorname{ch} z$, и найдем их производные.

1) Если

$$f(z) = e^z = e^x \cos y + ie^x \sin y,$$

то функции $u(x, y) = e^x \cos y$, $v(x, y) = e^x \sin y$ дифференцируемы во всей комплексной плоскости и $\frac{\partial u}{\partial x} = e^x \cos y = \frac{\partial v}{\partial y}$,

$\frac{\partial u}{\partial y} = -e^x \sin y = -\frac{\partial v}{\partial x}$. Следовательно, функция e^z дифференцируема во всей плоскости. По формуле (10) находим

$$(e^z)' = e^x \cos y + ie^x \sin y = e^z,$$

$$\text{т. е. } (e^z)' = e^z. \quad (18)$$

2) Из определения тригонометрических, гиперболических функций (см. § 4) и правил дифференцирования следует, что функции $\sin z$, $\cos z$, $\operatorname{sh} z$, $\operatorname{ch} z$ дифференцируемы во всей комплексной плоскости и

$$\begin{aligned} (\sin z)' &= \cos z, & (\cos z)' &= -\sin z, \\ (\operatorname{sh} z)' &= \operatorname{ch} z, & (\operatorname{ch} z)' &= \operatorname{sh} z. \end{aligned} \quad (19)$$

Отметим, что формулы (18), (19) формально такие же, как и для действительных значений $z = x$, поэтому они легко запоминаются. Однако нужно иметь в виду, что для комплексных значений z эти формулы имеют более глубокий смысл, так как на дифференцируемую функцию комплексного переменного накладываются дополнительные условия, содержащиеся в доказанной теореме.

Тем не менее и для других тригонометрических и гиперболических функций формулы для производных такие же, как и для действительных значений аргумента. Например:

$$(\operatorname{tg} z)' = \frac{1}{\cos^2 z}, \quad z \neq \frac{\pi}{2} + \pi k; \quad (\operatorname{ctg} z)' = -\frac{1}{\sin^2 z}, \quad z \neq \pi k,$$

где $k = 0, \pm 1, \pm 2, \dots$.

Замечание. Если $z = re^{i\varphi}$ и $f(z) = u(x, y) + iv(x, y)$, то из формул $x = r \cos \varphi$, $y = r \sin \varphi$ следует, что условия Коши–Римана (9) можно записать в полярных координатах:

$$\frac{\partial u}{\partial r} = \frac{1}{r} \frac{\partial v}{\partial \varphi}, \quad \frac{\partial v}{\partial r} = -\frac{1}{r} \frac{\partial u}{\partial \varphi}, \quad (20)$$

и производную $f'(z)$ можно находить по формулам

$$f'(z) = \frac{r}{z} \left(\frac{\partial u}{\partial r} + i \frac{\partial v}{\partial r} \right) = \frac{1}{z} \left(\frac{\partial v}{\partial \varphi} - i \frac{\partial u}{\partial \varphi} \right). \quad (21)$$

Пример 6. Пусть D — плоскость z с разрезом по лучу $[0, +\infty)$ $f(z) = \sqrt{r}e^{i\varphi/2}$, $g(z) = \ln r + i\varphi$, где $0 < \varphi < 2\pi$.

Из формул (20) следует, что функции $f(z)$ и $g(z)$ дифференцируемы в области D , а по формуле (21) находим

$$f'(z) = \frac{1}{2z} f(z), \quad g'(z) = \frac{1}{z}.$$

§ 8. Интегральная теорема Коши

1. Теорема Коши

Теорема 1 (интегральная теорема Коши). Пусть функция $f(z)$ дифференцируема в односвязной области D . Тогда интеграл от функции $f(z)$ по любой замкнутой кривой γ , лежащей в области D , равен нулю:

$$\int_{\gamma} f(z) dz = 0.$$

○ Докажем теорему 1 в предположении, что производная функции $f(z)$ непрерывна в области D . Если $f(z) = u(x, y) + iv(x, y)$, то

$$\int_{\gamma} f(z) dz = J_1 + iJ_2,$$

где

$$J_1 = \int_{\gamma} u dx - v dy, \quad J_2 = \int_{\gamma} v dx + u dy.$$

Воспользуемся теоремой из курса математического анализа: если функции P , Q , $\frac{\partial P}{\partial y}$, $\frac{\partial Q}{\partial x}$ непрерывны в односвязной области D и $\frac{\partial P}{\partial y} = \frac{\partial Q}{\partial x}$, $(x, y) \in D$, то интеграл

$$\int_{\gamma} P dx + Q dy$$

по любой замкнутой кривой γ , лежащей в области D , равен нулю. Из этой теоремы и условий Коши–Римана следует, что

$$\int_{\gamma} f(z) dz = J_1 + iJ_2 = 0. \quad \bullet$$

Доказательство теоремы 1 в общем случае (без предположения о непрерывности производной) см. в [8].

2. Следствия и дополнения к интегральной теореме Коши

Следствие 1. В условиях теоремы 1 интеграл от $f(z)$ не зависит от пути интегрирования, т. е.

$$\int_{\gamma} f(z) dz = \int_{\gamma_1} f(z) dz,$$

где γ и γ_1 — кривые, лежащие в области D , с общим началом в точке a и общим концом в точке b . В этом случае пишут

$$\int_{\gamma} f(z) dz = \int_a^b f(z) dz.$$

○ Кривая $\gamma\gamma_1^{-1}$ является замкнутой. Поэтому по теореме 1 и свойствам интегралов

$$\int_{\gamma\gamma_1^{-1}} f(z)dz = \int_{\gamma} f(z)dz - \int_{\gamma_1} f(z)dz = 0. \quad \bullet$$

Замечание 1. Напомним, что в односвязной области D любые две кривые с общим началом и общим концом можно непрерывно деформировать друг в друга, оставаясь в области D . Следовательно, при непрерывной деформации кривой (с сохранением начала и конца) значение интеграла от дифференцируемой в односвязной области функции не меняется.

Теорема 2. Пусть функция $f(z)$ дифференцируема в ограниченной односвязной области D и непрерывна вплоть до ее границы Γ . Тогда

$$\int_{\Gamma} f(z)dz = 0. \quad (1)$$

○ Так как $\int_{\Gamma} f(z)dz$ можно с любой точностью приблизить интегралом по замкнутой ломаной C , лежащей в области D (близкой к кривой Γ), а по теореме 1 $\int_C f(z)dz = 0$, то справедливо равенство (1). ●

Следствие 2. Пусть функция $f(z)$ дифференцируема в ограниченной области D (не обязательно односвязной) и непрерывна вплоть до ее границы $\Gamma = \Gamma_1 \cup \Gamma_2 \cup \dots \cup \Gamma_n$. Тогда

$$\int_{\Gamma} f(z)dz = 0. \quad (2)$$

○ Пусть Γ_1 — внешняя кривая, т. е. кривые $\Gamma_2, \Gamma_3, \dots, \Gamma_n$ лежат во внутренности кривой Γ_1 (рис. 33). Соединим кривую Γ_1 с кривыми $\Gamma_2, \Gamma_3, \dots, \Gamma_n$ разрезами по кривым $\gamma_2, \gamma_3, \dots, \gamma_n$ так, чтобы получилась односвязная область \tilde{D} (рис. 33). Граничная кривая $\tilde{\Gamma}$ области \tilde{D} состоит из кривых $\Gamma_1, \Gamma_2, \dots, \Gamma_n$ и $\gamma_2, \gamma_2^{-1}, \dots, \gamma_n, \gamma_n^{-1}$. По теореме 2

$$\int_{\tilde{\Gamma}} f(z)dz = 0. \quad (3)$$

Так как $\int_{\gamma_k} f(z)dz + \int_{\gamma_k^{-1}} f(z)dz = 0$, $k = 2, 3, \dots, n$, то из равенства (3) следует равенство (2). ●

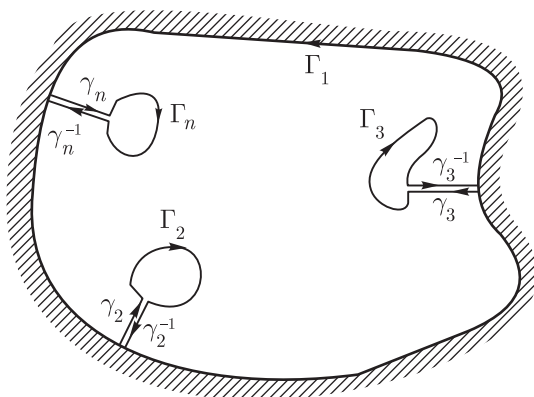


Рис. 33

Замечание 2. В неодносвязной области теорема 1 может быть неверна. Например, удалим из односвязной области D одну точку $z_0 \in D$. Получится неодносвязная область D_1 . В области D_1 функция $\frac{1}{z - z_0}$ дифференцируема. Однако интеграл $J_\rho = \int_{C_\rho} \frac{dz}{z - z_0} = 2\pi i$ (§ 5, пример 2), где C_ρ — окружность $|z - z_0| = \rho$, принадлежащая области D_1 , ориентированная против часовой стрелки (рис. 34). Отметим, что интеграл J_ρ не зависит от ρ . Более того: если замкнутая кривая γ получена из окружности C_ρ непрерывной деформацией, оставаясь в области D_1 , то также $J_\gamma = \int_\gamma \frac{dz}{z - z_0} = 2\pi i$.

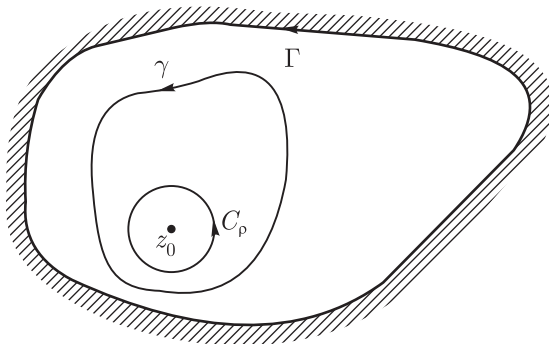


Рис. 34

○ Докажем это утверждение в случае, когда γ — простая замкнутая кривая, принадлежащая области D_1 , является границей своей внут-

ренности (ориентирована так, что при движении точки по кривой γ в направлении этой ориентации внутренность кривой γ остается слева) и окружность C_ρ принадлежит внутренности γ (рис. 34). Тогда граница области, заключенной между γ и C_ρ , состоит из кривых γ и C_ρ^{-1} . По следствию 2

$$\int_{\gamma} \frac{dz}{z - z_0} + \int_{C_\rho^{-1}} \frac{dz}{z - z_0} = 0,$$

откуда

$$\int_{\gamma} \frac{dz}{z - z_0} = \int_{C_\rho} \frac{dz}{z - z_0} = 2\pi i. \quad \bullet$$

Можно доказать

Следствие 3. Пусть функция $f(z)$ дифференцируема в области D (не обязательно односвязной) и замкнутые кривые γ_1 , γ_2 , лежащие в области D , можно непрерывно деформировать друг в друга, оставаясь в области D . Тогда

$$\int_{\gamma_1} f(z) dz = \int_{\gamma_2} f(z) dz.$$

Замечание 1 и следствие 3 можно кратко сформулировать так: при непрерывной деформации кривой значение интеграла от дифференцируемой функции не меняется.

3. Первообразная

Определение. Функция $F(z)$ называется *первообразной функции* $f(z)$, определенной в области D , если функция $F(z)$ определена в области D , дифференцируема в этой области и

$$F'(z) = f(z), \quad z \in D.$$

В курсе математического анализа доказывается, что если действительная функция $f(z)$ непрерывна на интервале, то она имеет первообразную на этом интервале. Аналогичное утверждение справедливо и для комплекснозначной функции $f(z)$, непрерывной в области при дополнительном условии, что интеграл от нее не зависит от пути интегрирования.

Теорема 3. Пусть функция $f(z)$ непрерывна в области D и интеграл от нее не зависит от пути интегрирования. Тогда эта функция имеет первообразную в области D .

○ Рассмотрим функцию

$$F(z) = \int_{z_0}^z f(\zeta) d\zeta, \quad (4)$$

где $\int_{z_0}^z f(\zeta) d\zeta = \int_{\gamma} f(\zeta) d\zeta$, кривая γ с началом в точке z_0 и концом в точке z принадлежит области D . Так как интеграл от $f(z)$ не зависит от пути интегрирования, то функция (4) однозначна в области D . Покажем, что функция (4) дифференцируема в области D и $F'(z) = f(z)$.

Рассмотрим отношение

$$\frac{\Delta F}{\Delta z} = \frac{1}{\Delta z} \left(\int_{z_0}^{z+\Delta z} f(\zeta) d\zeta - \int_{z_0}^z f(\zeta) d\zeta \right),$$

где второй интеграл — это интеграл по некоторой кривой γ , а первый — это интеграл по той же кривой γ от z_0 до z и далее по отрезку $[z, z + \Delta z]$. Тогда по свойствам интегралов получаем

$$\frac{\Delta F}{\Delta z} = \frac{1}{\Delta z} \int_z^{z+\Delta z} f(\zeta) d\zeta,$$

откуда

$$\begin{aligned} \frac{\Delta F}{\Delta z} &= \frac{1}{\Delta z} \int_z^{z+\Delta z} [f(\zeta) - f(z) + f(z)] d\zeta = \\ &= \frac{1}{\Delta z} \int_z^{z+\Delta z} [f(\zeta) - f(z)] d\zeta + f(z) \frac{1}{\Delta z} \int_z^{z+\Delta z} d\zeta = \\ &= \frac{1}{\Delta z} \int_z^{z+\Delta z} [f(\zeta) - f(z)] d\zeta + f(z), \end{aligned} \quad (5)$$

так как $\int_z^{z+\Delta z} d\zeta = (z + \Delta z) - z = \Delta z$.

Осталось показать, что первое слагаемое в правой части формулы (5) стремится к нулю при $\Delta z \rightarrow 0$. По свойствам интегралов (§ 5 п. 2) получаем

$$\begin{aligned} \left| \frac{1}{\Delta z} \int_z^{z+\Delta z} [f(\zeta) - f(z)] d\zeta \right| &\leq \frac{1}{|\Delta z|} \max_{\zeta \in [z, z+\Delta z]} |f(\zeta) - f(z)| |\Delta z| = \\ &= \max_{\zeta \in [z, z+\Delta z]} |f(\zeta) - f(z)| \rightarrow 0 \quad \text{при} \quad \Delta z \rightarrow 0, \end{aligned}$$

так как функция $f(z)$ непрерывна. ●

Из теоремы 3 и следствия 1 получается

Следствие 4. Если функция дифференцируема в односвязной области, то она имеет первообразную в этой области.

Замечание 3. В теореме 3 доказано, что при выполнении условий этой теоремы (или следствия 4) справедлива формула дифференцирования интеграла по верхнему переменному пределу:

$$\left(\int_{z_0}^z f(\zeta) d\zeta \right)' = f(z).$$

Из определения первообразной следует, что если $F(z)$ — первообразная функции $f(z)$ в области D , то функция $F(z) + C$, где C — комплексное число, также является первообразной функции $f(z)$ в области D .

Докажем обратное утверждение.

Лемма 1. Пусть $F_1(z)$ и $F_2(z)$ — две первообразные одной и той же функции $f(z)$ в области D . Тогда $F_1(z) - F_2(z) = C$, $z \in D$, где C — некоторое комплексное число.

○ Пусть $w(z) = F_1(z) - F_2(z)$. По условиям леммы функция $w(z)$ дифференцируема в области D и $w'(z) = F_1'(z) - F_2'(z) = f(z) - f(z) = 0$, $z \in D$.

Если $w(z) = u(x, y) + iv(x, y)$, то по формулам для производной получаем, что $\frac{\partial u}{\partial x} = \frac{\partial u}{\partial y} = \frac{\partial v}{\partial x} = \frac{\partial v}{\partial y} \equiv 0$ в области D , откуда по теореме из курса математического анализа следует, что функции $u(x, y)$, $v(x, y)$ и $w(z)$ — постоянные в области D . ●

Таким образом, если $F(z)$ — первообразная функции $f(z)$ в области D , то все первообразные функции $f(z)$ находятся по формуле $F(z) + C$, где C — произвольная комплексная постоянная.

Следствие 5. При выполнении условий теоремы 3 (или следствия 4) справедлива формула Ньютона–Лейбница

$$\int_a^b f(z) dz = F(b) - F(a), \quad (6)$$

где $F(z)$ — какая-нибудь первообразная функции $f(z)$ в области D .

○ Так как $\int_a^z f(\zeta)d\zeta$ — первообразная функции $f(z)$, то

$$\int_a^z f(\zeta)d\zeta = F(z) + C. \quad (7)$$

Из этой формулы при $z = a$ получаем

$$F(a) + C = 0, \quad \text{т. е.} \quad C = -F(a).$$

Из формулы (7) при $z = b$ и обозначении переменной интегрирования $\zeta = z$ получаем формулу (6). ●

По формуле (6) (формально так же, как и для действительных функций) можно вычислять значения интегралов, например, от дифференцируемых в односвязной области функций.

Пример. Вычислим интегралы $\int_a^b e^z dz$, $\int_a^b z^n dz$, где n — целое число, $n \geq 0$.

Функции e^z и z^n , $n \in \mathbb{N}$, дифференцируемы во всей комплексной плоскости (это односвязная область). По формуле (6) находим

$$\begin{aligned} \int_a^b e^z dz &= e^z \Big|_a^b = e^b - e^a, \\ \int_a^b z^n dz &= \frac{z^{n+1}}{n+1} \Big|_a^b = \frac{b^{n+1} - a^{n+1}}{n+1}. \end{aligned}$$

§ 9. Регулярные функции. Степенные ряды

Определение. Функция $f(z)$ называется *регулярной в точке z_0* , если она определена в окрестности точки z_0 и в некоторой окрестности этой точки

$$f(z) = \sum_{n=0}^{\infty} c_n (z - z_0)^n, \quad (1)$$

и степенной ряд (1) с комплексными коэффициентами c_n , $n = 0, 1, 2, \dots$, сходится к функции $f(z)$ в некотором круге $|z - z_0| < \delta$, $\delta > 0$.

Функция $f(z)$ называется *регулярной в области*, если она регулярна в каждой точке этой области.

Регулярные функции являются основой всей теории функций комплексного переменного. Поэтому сначала рассмотрим свойства функциональных и, в особенности, степенных рядов.

Лемма. Пусть ряд

$$f(z) = \sum_{n=1}^{\infty} f_n(z), \quad (2)$$

где функции $f_n(z)$, $n = 1, 2, \dots$, непрерывны в области D , сходятся в области D к функции $f(z)$ и сходятся равномерно в каждой области D_1 такой, что $\overline{D_1} \subset D$. Тогда функция $f(z)$ непрерывна в области D и ряд (2) можно интегрировать почленно по любой кривой γ , лежащей в области D .

О Утверждения этой леммы доказаны в курсе математического анализа, так как если $f_n(z) = u_n(x, y) + iv_n(x, y)$, то сходимость ряда (2) означает, что сходятся ряды $\sum_{n=1}^{\infty} u_n(x, y)$ и $\sum_{n=1}^{\infty} v_n(x, y)$. ●

Замечание. Из леммы следует, что если интеграл от каждой функции $f_n(z)$, $n = 1, 2, \dots$, не зависит от пути интегрирования, то и интеграл от функции $f(z)$ также не зависит от пути интегрирования.

Напомним некоторые сведения о степенных рядах $\sum_{n=0}^{\infty} c_n(z - z_0)^n$, известные из курса математического анализа, а также рассмотрим важный вопрос об интегрируемости и дифференцируемости степенного ряда. Для краткости записи (не теряя общности) будем считать, что $z_0 = 0$, т. е. рассмотрим ряд

$$f(z) = \sum_{n=0}^{\infty} c_n z^n. \quad (3)$$

Известно, что могут быть следующие три случая:

1. Ряд (3) сходится только при $z = 0$. В этом случае говорят, что радиус сходимости ряда (3) равен нулю.
2. Ряд (3) сходится при $|z| < R$ и расходится при $|z| > R$, где $0 < R < \infty$. Тогда круг $|z| < R$ называют *кругом сходимости* ряда (3), а его радиус R — *радиусом сходимости* ряда (3).
3. Ряд (3) сходится при всех z . Тогда всю комплексную плоскость называют *кругом сходимости* ряда (3), а число $R = \infty$ — *радиусом сходимости*.

Из определения регулярной функции следует, что свойства регулярных функций тесно связаны со свойствами степенных рядов. Сформулируем главные из них.

Теорема. Если R — радиус сходимости степенного ряда (3), $0 < R < \infty$, то в круге сходимости $K : |z| < R$ ряд (3) можно интегрировать и дифференцировать почленно, при этом радиус сходимости ряда не меняется.

Здесь слово «интегрировать» означает, что рассматривается интеграл

$$\int_0^z f(\zeta) d\zeta \quad (4)$$

по кривой, лежащей в круге K .

Отметим, что каждый из интегралов $\int_0^z \zeta^n d\zeta$, $n = 1, 2, \dots$, не зависит от пути интегрирования в круге K и $\int_0^z \zeta^n d\zeta = \frac{z^{n+1}}{n+1}$. Поэтому интеграл (4) также не зависит от пути интегрирования и

$$\int_0^z f(\zeta) d\zeta = \sum_{n=0}^{\infty} c_n \frac{z^{n+1}}{n+1}.$$

Это равенство следует из леммы, но для этого нужно доказать, что ряд (3) сходится равномерно в любом круге $K_1 : |z| < R_1$, где $0 < R_1 < R$. Докажем это утверждение (его называют *теоремой Абеля*).

○ Пусть $R_1 < |z_1| < R$. Тогда ряд (3) сходится в точке z_1 , поэтому $c_n z_1^n \rightarrow 0$ при $n \rightarrow \infty$ и, следовательно, существует такое число $\mu > 0$, что $|c_n z_1^n| < \mu$ при $n = 1, 2, \dots$.

Оценим общий член ряда (3) при $|z| \leq R_1$:

$$|c_n z^n| = |c_n z_1^n| \left| \frac{z}{z_1} \right|^n < \mu q^n, \quad (5)$$

где $q = \frac{R_1}{|z_1|} < 1$. Так как оценка (5) не зависит от z при $|z| \leq R_1$, то по теореме Вейерштрасса ряд (3) сходится равномерно в круге K_1 . ●

Теперь докажем, что ряд (3) можно почленно дифференцировать в круге сходимости и при этом радиус сходимости R не уменьшается, если $R > 0$.

○ Рассмотрим ряд

$$S(z) = \sum_{n=1}^{\infty} n c_n z^{n-1}, \quad (6)$$

составленный из производных членов ряда (3). Докажем, что ряд (6) сходится равномерно в круге $K_1 : |z| \leq R_1$ (здесь воспользуемся теми же обозначениями, что и в предыдущем доказательстве). Оценим общий член ряда (6):

$$|n c_n z^{n-1}| = n |c_n z_1^n| \left| \frac{1}{z_1} \right| \left| \frac{z}{z_1} \right|^{n-1} < \frac{\mu}{|z_1|} n q^{n-1}, \quad (7)$$

где $q = \frac{R_1}{|z_1|} < 1$. Так как числовой ряд $\sum_{n=1}^{\infty} n q^{n-1}$ сходится (по признаку Даламбера) и оценка (7) не зависит от z при $|z| \leq R_1$, то ряд (6) сходится равномерно в круге K_1 .

По лемме сумма $S(z)$ ряда (6) является непрерывной в круге K функцией и ряд (6) можно интегрировать почленно по любой кривой, лежащей в круге. Поэтому

$$\int_0^z S(\zeta) d\zeta = \sum_{n=1}^{\infty} c_n z^n = f(z) - c_0,$$

откуда следует, что функция $f(z)$ дифференцируема в круге K и

$$f'(z) = \sum_{n=1}^{\infty} n c_n z^{n-1}, \quad z \in K. \quad \bullet$$

Следствие 1. Регулярная в области функция бесконечно дифференцируема в этой области.

○ По определению регулярной в точке z_0 функции $f(z)$ она представляется сходящимся к ней степенным рядом

$$f(z) = \sum_{n=0}^{\infty} c_n (z - z_0)^n \quad (8)$$

в некотором круге $K : |z - z_0| < R$, $R > 0$. По доказанной теореме ряд (8) можно дифференцировать в круге K любое число раз, поэтому функция $f(z)$ бесконечно дифференцируема в круге K и, в частности, в точке z_0 . ●

Из свойств дифференцируемых функций следует, что если функции $f(z)$ и $g(z)$ регулярны (в точке или области), то функции $f \pm g$, $f \cdot g$, $\frac{f}{g}$ (если $g \neq 0$) также регулярны; суперпозиция регулярных функций также является регулярной функцией.

Следствие 2. Для коэффициентов ряда (8) верны формулы

$$c_n = \frac{f^{(n)}(z_0)}{n!}, \quad n = 1, 2, \dots \quad (9)$$

○ Дифференцируя ряд (8), получаем

$$f^{(n)}(z_0) = c_n n! + c_{n+1} (n+1)! (z - z_0) + \dots,$$

откуда при $z = z_0$ получаются формулы (9). ●

Из формул (9) следует *единственность разложения функции в степенной ряд*.

Ряд

$$f(z) = \sum_{n=0}^{\infty} \frac{f^{(n)}(z_0)}{n!} (z - z_0)$$

называют *рядом Тейлора* функции $f(z)$.

Более подробно свойства степенных рядов рассмотрены в [1] и [4].

§ 10. Интегральная формула Коши

Теорема 1. Пусть функция $f(z)$ дифференцируема в области D и γ — простая замкнутая кривая, лежащая в области D , такая, что внутренность γ принадлежит D и кривая γ ориентирована так, что является границей своей внутренности. Тогда для любой точки z , лежащей внутри кривой γ , справедлива формула

$$f(z) = \frac{1}{2\pi i} \int_{\gamma} \frac{f(\zeta)}{\zeta - z} d\zeta. \quad (1)$$

Формулу (1) называют *интегральной формулой Коши*.

○ Пусть $J = \frac{1}{2\pi i} \int_{\gamma} \frac{f(\zeta)}{\zeta - z} d\zeta$, где z — фиксированная точка внутри γ .

Тогда существует круг $|\zeta - z| \leq \rho$, $\rho > 0$, лежащий внутри γ , граница которого — окружность $C_\rho : |\zeta - z| = \rho$ ориентирована против часовой стрелки.

Так как функция $\frac{f(\zeta)}{\zeta - z}$ дифференцируема по ζ в области D с выколотой точкой z и кривую γ можно непрерывно деформировать

в окружность C_ρ , то

$$J = \frac{1}{2\pi i} \int_{C_\rho} \frac{f(\zeta)}{\zeta - z} d\zeta,$$

откуда получаем

$$J = \frac{1}{2\pi i} \int_{C_\rho} \frac{f(\zeta) - f(z) + f(z)}{\zeta - z} d\zeta = \frac{1}{2\pi i} \int_{C_\rho} \frac{f(\zeta) - f(z)}{\zeta - z} d\zeta + \frac{1}{2\pi i} f(z) \int_{C_\rho} \frac{d\zeta}{\zeta - z}.$$

Напомним, что $\int_{C_\rho} \frac{d\zeta}{\zeta - z} = 2\pi i$, поэтому $J = J_1 + f(z)$, где

$$J_1 = \frac{1}{2\pi i} \int_{C_\rho} \frac{f(\zeta) - f(z)}{\zeta - z} d\zeta.$$

Осталось показать, что $J_1 = 0$. Оценим этот интеграл:

$$|J_1| \leq \frac{1}{2\pi\rho} \max_{\zeta \in C_\rho} |f(\zeta) - f(z)| 2\pi\rho = \max_{\zeta \in C_\rho} |f(\zeta) - f(z)| \rightarrow 0$$

при $\rho \rightarrow 0$, так как функция $f(\zeta)$ непрерывна в точке z . Так как интеграл J_1 не зависит от ρ , то $J_1 = 0$. ●

Следствие 1. Пусть функция $f(z)$ дифференцируема в односвязной ограниченной области D и непрерывна вплоть до ее границы Γ . Тогда для любой точки $z \in D$ справедлива формула

$$f(z) = \frac{1}{2\pi i} \int_{\Gamma} \frac{f(\zeta)}{\zeta - z} d\zeta. \quad (2)$$

○ Так как интеграл (2) можно с любой точностью приблизить интегралом по замкнутой ломаной, лежащей в области D , близкой к кривой Γ и содержащей внутри себя точку z , то из формулы (1) следует формула (2). ●

Следствие 2. Пусть функция $f(z)$ дифференцируема в ограниченной области D (не обязательно односвязной) и непрерывна вплоть до ее границы $\Gamma = \Gamma_1 \cup \Gamma_2 \cup \dots \cup \Gamma_n$, Тогда для любой точки $z \in D$ также справедлива формула (2).

○ Проведем дополнительные разрезы, не проходящие через точку z , так, чтобы получилась односвязная область (рис. 33). По следствию 1 интеграл (2) по границе полученной области равен $f(z)$, а интегралы по дополнительным разрезам взаимно сокращаются. Поэтому получается формула (2). ●

Формулу (2) обычно также называют *формулой Коши*.

С помощью интегральной формулы Коши доказываются многие свойства дифференцируемых и регулярных функций. Рассмотрим основные из них.

Теорема 2. *Дифференцируемая в области функция регулярна в этой области.*

○ Пусть функция $f(z)$ дифференцируема в области D и $z_0 \in D$. Нужно доказать, что функцию $f(z)$ можно разложить в степенной ряд

$$f(z) = \sum_{n=0}^{\infty} c_n (z - z_0)^n, \quad (3)$$

сходящийся в некоторой окрестности точки z_0 .

Рассмотрим круг $K : |z - z_0| \leq \rho$, $\rho > 0$, принадлежащий области D вместе со своей границей — окружностью $C_\rho : |z - z_0| = \rho$, ориентированной против часовой стрелки. Если $z \in K$, то по интегральной формуле Коши

$$f(z) = \frac{1}{2\pi i} \int_{C_\rho} \frac{f(\zeta)}{\zeta - z} d\zeta. \quad (4)$$

Разложим функцию $\frac{1}{\zeta - z}$ по степеням $(z - z_0)$ по формуле суммы бесконечно убывающей геометрической прогрессии:

$$\frac{1}{\zeta - z} = \frac{1}{\zeta - z_0 - (z - z_0)} = \frac{1}{\zeta - z_0} \cdot \frac{1}{1 - \frac{z - z_0}{\zeta - z_0}} = \sum_{n=0}^{\infty} \frac{(z - z_0)^n}{(\zeta - z_0)^{n+1}}. \quad (5)$$

Напомним, что z, z_0 — фиксированные точки такие, что $|z - z_0| < \rho$, а $\zeta \in C_\rho$, т. е. $|\zeta - z_0| = \rho$. Поэтому $\left| \frac{z - z_0}{\zeta - z_0} \right| = \frac{|z - z_0|}{\rho} < 1$ и эта оценка не зависит от $\zeta \in C_\rho$. Следовательно, ряд (5) сходится равномерно относительно $\zeta \in C_\rho$.

Умножая ряд (5) на непрерывную на C_ρ функцию $f(\zeta)$ (и поэтому ограниченную на C_ρ), получаем равномерно сходящийся при $\zeta \in C_\rho$

ряд

$$\frac{f(\zeta)}{\zeta - z} = \sum_{n=0}^{\infty} \frac{f(\zeta)}{(\zeta - z_0)^{n+1}} (z - z_0)^n. \quad (6)$$

Подставляя ряд (6) в формулу (4), почленным интегрированием получаем

$$f(z) = \sum_{n=0}^{\infty} c_n (z - z_0)^n, \quad (7)$$

где

$$c_n = \frac{1}{2\pi i} \int_{C_\rho} \frac{f(\zeta)}{(\zeta - z_0)^{n+1}} d\zeta. \quad (8)$$

●

§ 11. Свойства регулярных функций

1. Свойства функций, дифференцируемых в области

Свойство 1. Дифференцируемая в области функция является бесконечно дифференцируемой.

○ По теореме 2 из § 10 дифференцируемая в области функция является регулярной, которая бесконечно дифференцируема (см. следствие 1 в § 9). ●

Пример 1. Функция, дифференцируемая в точке, может быть нерегулярной в этой точке. Так, функция \bar{z}^2 дифференцируема только в точке $z = 0$ (§ 7, пример 4), поэтому она нерегулярна в этой точке, так как регулярная в точке функция дифференцируема в некоторой ее окрестности (§ 9).

Свойство 2. Если функция $f(z)$ регулярна в области D , то

$$f^{(n)}(z) = \frac{n!}{2\pi i} \int_{\gamma} \frac{f(\zeta)}{(\zeta - z)^{n+1}} d\zeta, \quad (1)$$

где γ — простая замкнутая кривая, лежащая в области D , такая, что внутренность γ принадлежит области D , γ — граница своей внутренности, и точка z принадлежит внутренности γ .

○ Пусть точка z_0 и круг $|z - z_0| \leq \rho$ принадлежат внутренности кривой γ . Так как ряд (7) § 10 — это ряд Тейлора функции $f(z)$, то

$c_n = \frac{f^{(n)}(z_0)}{n!}$. Отсюда и из формулы (8) § 10 получаем

$$f^{(n)}(z_0) = \frac{n!}{2\pi i} \int_{C_\rho} \frac{f(\zeta)}{(\zeta - z_0)^{n+1}} d\zeta. \quad (2)$$

Этот интеграл равен интегралу по кривой γ , т. е.

$$f^{(n)}(z_0) = \frac{n!}{2\pi i} \int_{\gamma} \frac{f(\zeta)}{(\zeta - z_0)^{n+1}} d\zeta.$$

Заменяв в этой формуле z_0 на z , получаем формулу (1). ●

Замечание. Формулу (1) можно получить из интегральной формулы Коши формальным дифференцированием интеграла (1) § 10 по параметру z .

Свойство 3. Если функция $f(z)$ регулярна в круге $K: |z - z_0| < R$, то ее ряд Тейлора

$$f(z) = \sum_{n=0}^{\infty} \frac{f^{(n)}(z_0)}{n!} (z - z_0)^n \quad (3)$$

сходится к функции $f(z)$ во всем круге K .

○ При доказательстве теоремы 1 рассматривался любой круг $|z - z_0| \leq \rho$, лежащий в области D . Поэтому радиус сходимости ряда (3) не меньше расстояния от точки z_0 до ближайшей граничной точки области D , откуда и следует утверждение свойства 3. ●

2. Примеры разложения регулярных функций в ряды Тейлора

Пример 2. Вычисляя производные функций в точке $z = 0$, получаем формулы

$$e^z = \sum_{n=0}^{\infty} \frac{z^n}{n!},$$

$$\sin z = \sum_{n=0}^{\infty} \frac{(-1)^n z^{2n+1}}{(2n+1)!}, \quad \cos z = \sum_{n=0}^{\infty} \frac{(-1)^n z^{2n}}{(2n)!},$$

$$\operatorname{sh} z = \sum_{n=0}^{\infty} \frac{z^{2n+1}}{(2n+1)!}, \quad \operatorname{ch} z = \sum_{n=0}^{\infty} \frac{z^{2n}}{(2n)!}.$$

По свойству 3 каждый из этих рядов сходится во всей комплексной плоскости.

Пример 3. Разложим функцию $f(z) = \frac{1}{3-z}$ в ряд Тейлора в окрестности точки $z = 0$.

Искомое разложение можно получить, записав $f(z)$ в виде $f(z) = \frac{1}{3} \frac{1}{1 - \frac{z}{3}}$. По формуле бесконечно убывающей геометрической прогрессии при $|z| < 3$ находим

$$f(z) = \frac{1}{3} \sum_{n=0}^{\infty} \frac{z^n}{3^n} = \sum_{n=0}^{\infty} \frac{z^n}{3^{n+1}}.$$

3. Достаточные условия регулярности функции в области

Теорема 1 (теорема Мореры). Пусть функция $f(z)$ непрерывна в области D и интеграл от нее не зависит от пути интегрирования в области D . Тогда функция $f(z)$ регулярна в области D .

О Из условий теоремы следует, что в области D существует первообразная функции $f(z)$, т. е. дифференцируемая в области D функция $F(z)$ такая, что $F'(z) = f(z)$, $z \in D$ (§ 8, п. 3). Так как дифференцируемая в области функция бесконечно дифференцируема (§ 9), то функция $f(z) = F'(z)$ также дифференцируема и поэтому регулярна в области D . ●

Теорема 2 (первая теорема Вейерштрасса). Пусть функции $f_n(z)$, $n = 1, 2, \dots$, регулярны в области D и ряд

$$f(z) = \sum_{n=1}^{\infty} f_n(z) \tag{4}$$

сходится равномерно в каждой области D_1 такой, что $\overline{D_1} \subset D$. Тогда функция $f(z)$ регулярна в области D .

О Функция $f(z)$ непрерывна в области D и ряд (4) можно интегрировать почленно по любой кривой, лежащей в D (§ 9). В любом круге $K : |z - z_0| < \rho$, лежащем в D , интеграл от каждой функции $f_n(z)$, $n = 1, 2, \dots$, не зависит от пути интегрирования и поэтому интеграл от функции $f(z)$ также не зависит от пути интегрирования в круге K . По теореме Мореры функция $f(z)$ регулярна в круге K и, следовательно, регулярна во всей области D . ●

Теорема 3 (вторая теорема Вейерштрасса). При условиях теоремы 2 ряд (4) можно дифференцировать почленно любое число раз; получаемые при этом ряды сходятся равномерно в каждой области D_1 такой, что $\overline{D_1} \subset D$.

О Пусть круг $K : |z - z_0| < \rho$ принадлежит области D вместе с окружностью $C_\rho : |z - z_0| = \rho$, ориентированной против часовой стрелки. Из (4) получаем, что ряд, стоящий в правой части равенства

$$\frac{k!}{2\pi i} \frac{f(z)}{(z - z_0)^{k+1}} = \sum_{n=1}^{\infty} \frac{k!}{2\pi i} \frac{f_n(z)}{(z - z_0)^{k+1}}, \quad (5)$$

сходится равномерно на окружности C_ρ при каждом $k = 1, 2, \dots$. Интегрируя ряд, стоящий в правой части равенства (5), по окружности C_ρ , находим

$$f^{(k)}(z_0) = \sum_{n=1}^{\infty} f_n^{(k)}(z_0).$$

Отсюда, заменив z_0 на z , получаем равенство

$$f^{(k)}(z) = \sum_{n=1}^{\infty} f_n^{(k)}(z), \quad (6)$$

справедливое для любой точки $z \in D$.

Можно доказать, что ряд (6) сходится равномерно в каждой области D_1 такой, что $\overline{D_1} \subset D$. ●

4. Лемма об устранимой особенности (о стирании пунктира)

Лемма. Пусть функция $f(z)$ непрерывна в области D и регулярна во всех точках области D , кроме точек, принадлежащих кривой γ , где $\gamma \subset D$. Тогда функция $f(z)$ регулярна и в точках кривой γ , т. е. во всей области D .

Доказательство. Воспользуемся теоремой Мореры. Достаточно доказать, что интеграл функции $f(z)$ по простому контуру $\Gamma \subset D$ (замкнутой кусочно-гладкой кривой) равен нулю (что равносильно независимости интеграла от пути интегрирования).

Пусть контур Γ не имеет общих точек с кривой γ . Тогда по теореме Мореры $\int_{\Gamma} f(z) dz = 0$. Поэтому нужно рассматривать только тот случай, когда контур Γ , лежащий в области D , имеет общие точки с кривой γ (см. рис. 35).

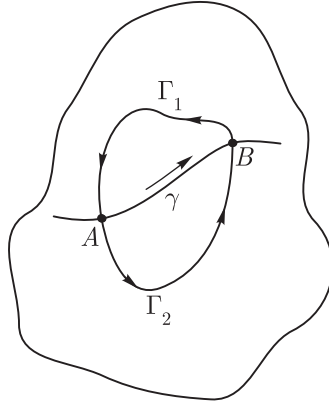


Рис. 35

Пусть A и B — точки пересечения кривых Γ и γ , $\Gamma = \Gamma_1 \cup \Gamma_2$, Γ_1 и Γ_2 — части кривой Γ , лежащие соответственно выше и ниже γ ;

$$\gamma_1 = \Gamma_1 \cup \gamma_{AB}, \quad \gamma_2 = \Gamma_2 \cup \gamma_{BA},$$

γ_{AB} — часть кривой γ от точки A до точки B , γ_{BA} — часть кривой γ от точки B до точки A .

По интегральной теореме Коши (функция $f(z)$ регулярна в D_1 и D_2 , где D_1 и D_2 — области с границами γ_1 и γ_2 , и непрерывна вплоть до их границ) имеем

$$\begin{aligned} \int_{\gamma_1} f(z) dz &= \int_{\Gamma_1} f(z) dz + \int_{\gamma_{AB}} f(z) dz = 0, \\ \int_{\gamma_2} f(z) dz &= \int_{\Gamma_2} f(z) dz + \int_{\gamma_{BA}} f(z) dz = 0. \end{aligned}$$

Складывая эти равенства и учитывая, что $\int_{\gamma_{AB}} f(z) dz + \int_{\gamma_{BA}} f(z) dz = 0$, получаем

$$\int_{\gamma_1} f(z) dz + \int_{\gamma_2} f(z) dz = \int_{\Gamma} f(z) dz + \int_{\gamma_{AB}} f(z) dz + \int_{\gamma_{BA}} f(z) dz = \int_{\Gamma} f(z) dz = 0.$$

Лемма остается в силе и в случае, когда кривая γ состоит из одной точки. ●

§ 12. Гармонические функции. Теоремы о среднем

В § 11 доказано, что дифференцируемая в области D функция $f(z) = u(x, y) + iv(x, y)$ бесконечно дифференцируема. Поэтому из § 7 следует, что функции $u(x, y)$, $v(x, y)$ имеют непрерывные частные производные любого порядка и в области D выполняются условия Коши–Римана:

$$\frac{\partial u}{\partial x} = \frac{\partial v}{\partial y}, \quad \frac{\partial u}{\partial y} = -\frac{\partial v}{\partial x}. \quad (1)$$

Дифференцируя первое равенство (1) по x , а второе по y , получаем

$$\frac{\partial^2 u}{\partial x^2} = \frac{\partial^2 v}{\partial y \partial x}, \quad \frac{\partial^2 u}{\partial y^2} = -\frac{\partial^2 v}{\partial x \partial y}.$$

Складывая эти равенства и учитывая, что $\frac{\partial^2 v}{\partial y \partial x} = \frac{\partial^2 v}{\partial x \partial y}$ (эти производные непрерывны), получаем

$$\frac{\partial^2 u}{\partial x^2} + \frac{\partial^2 u}{\partial y^2} = 0. \quad (2)$$

Уравнение (2) называется *уравнением Лапласа*. Обычно уравнение (2) записывают кратко: $\Delta u = 0$, где буквой Δ обозначен оператор $\Delta = \frac{\partial^2}{\partial x^2} + \frac{\partial^2}{\partial y^2}$. Действительная функция $u(x, y)$, имеющая в области D непрерывные частные производные второго порядка и удовлетворяющая уравнению Лапласа, называется *гармонической* в области D .

Уравнения Лапласа описывают многие физические процессы. Например, если $u(x, y)$ — установившаяся температура пластинки; если $u(x, y)$ — потенциал плоско-параллельного векторного поля (электрического, магнитного, гидродинамического, аэродинамического и др.). Поэтому в дальнейшем будем рассматривать свойства гармонических функций.

Вернемся к дифференцируемой в области D функции $f(z) = u(x, y) + iv(x, y)$. Из формул (1) получаем

$$\frac{\partial^2 u}{\partial x \partial y} = \frac{\partial^2 v}{\partial y^2}, \quad \frac{\partial^2 u}{\partial y \partial x} = -\frac{\partial^2 v}{\partial x^2},$$

откуда следует, что

$$\frac{\partial^2 v}{\partial x^2} + \frac{\partial^2 v}{\partial y^2} = 0,$$

т. е. функция $v(x, y)$ также является гармонической в области D .

Гармонические функции $u(x, y)$ и $v(x, y)$, удовлетворяющие условиям Коши–Римана (1), называются *сопряженными гармоническими**. Таким образом, действительная и мнимая части дифференцируемой в области функции являются в этой области сопряженными гармоническими функциями.

Верно и обратное утверждение: если $u(x, y)$, $v(x, y)$ являются сопряженными гармоническими функциями в области, то функция $f(z) = u + iv$ дифференцируема в этой области (§ 7). Таким образом, справедлива

Теорема 1. Для дифференцируемости функции $f(z) = u(x, y) + iv(x, y)$ в области необходимо и достаточно, чтобы функции $u(x, y)$, $v(x, y)$ были сопряженными гармоническими в этой области.

Покажем, что если известна одна из сопряженных гармонических функций, то другую можно найти с точностью до постоянного слагаемого.

Лемма 1. Пусть функции $u_1(x, y)$, $u_2(x, y)$ являются сопряженными гармоническими функциями в области D с одной и той же функцией $v(x, y)$. Тогда $u_1(x, y) - u_2(x, y) \equiv \text{const}$, $z \in D$.

○ Положим $u(x, y) = u_1(x, y) - u_2(x, y)$. Из условий (1) получаем $\frac{\partial u}{\partial x} \equiv 0$, $\frac{\partial u}{\partial y} \equiv 0$, $z \in D$. Отсюда по теореме из курса математического анализа следует, что $u(x, y) \equiv \text{const}$, $z \in D$. ●

Лемма 2. Для гармонической в односвязной области D функции $u(x, y)$ существует сопряженная с ней гармоническая функция в этой области.

○ Покажем, что функция

$$v(x, y) = \int_{(x_0, y_0)}^{(x, y)} -\frac{\partial u}{\partial y} dx + \frac{\partial u}{\partial x} dy \quad (3)$$

является сопряженной гармонической с функцией $u(x, y)$.

По теореме из курса математического анализа [9] интеграл (3) не зависит от пути интегрирования в области D , так как $\frac{\partial^2 u}{\partial x^2} + \frac{\partial^2 u}{\partial y^2} = 0$.

Поэтому функция $v(x, y)$ однозначна в области D .

* Порядок в паре (u, v) является существенным.

Из формулы (3) получаем

$$\frac{\partial v}{\partial x} = -\frac{\partial u}{\partial y}, \quad \frac{\partial v}{\partial y} = \frac{\partial u}{\partial x},$$

откуда следует, что функция $v(x, y)$ является сопряженной гармонической с функцией $u(x, y)$ в области D . ●

Аналогично можно доказать, что если $v(x, y)$ — гармоническая в односвязной области функция, то в этой области существует сопряженная с ней гармоническая функция $u(x, y)$.

Из леммы 1 следует, что если задана одна из двух сопряженных гармонических функций, то другая находится с точностью до постоянного слагаемого. Отметим, что если область односвязна и функция $u(x, y)$ гармоническая в этой области, то функция (3) может быть неоднозначной, т. е. для гармонической в односвязной области функции может не существовать ей сопряженная гармоническая функция.

Пример 1. Рассмотрим функцию $u(x, y) = \ln(x^2 + y^2) = \ln |z|^2$.

Непосредственной проверкой убеждаемся, что функция $u(x, y)$ является гармонической в области $|z| > 0$.

Вычисляя интеграл (3), получаем, что функция $u(x, y) = 2 \arg z$ неоднозначна в области $|z| > 0$.

Из теоремы 1 и леммы 2 следует, что если $u(x, y)$ — гармоническая в односвязной области функция, то в этой области существует регулярная функция $f(z)$ такая, что $\operatorname{Re} f(z) = u(x, y)$, а именно $f(z) = u + iv$, где функцию $v(x, y)$ можно найти по формуле (3). Таким образом, регулярную в односвязной области функцию можно найти (с точностью до постоянного слагаемого), зная ее действительную или мнимую часть.

В практических задачах вместо вычисления интеграла (3), что часто затруднительно, обычно функцию $v(x, y)$ находят непосредственно из условий Коши–Римана.

Пример 2. Выясним, существует ли регулярная во всей комплексной плоскости функция $f(z)$ такая, что

$$\operatorname{Re} f(z) = u(x, y) = y^3 - 3x^2y, \quad (4)$$

и если существует, то найдем функцию $f(z)$.

Непосредственной проверкой убеждаемся, что функция $u(x, y)$ является гармонической во всей комплексной плоскости. По лемме 2 существует регулярная во всей комплексной плоскости функция, удовлетворяющая условию (4).

Из условия (4) и первого равенства (1) получаем

$$\frac{\partial u}{\partial x} = \frac{\partial v}{\partial y} = -6xy,$$

откуда $v(x, y) = -3xy^2 + g(x)$, $\frac{\partial v}{\partial x} = -3y^2 + g'(x)$,

Из второго равенства (1) и условия (4) следует, что $\frac{\partial v}{\partial x} = -3y^2 + 3x^2$. Поэтому $g'(x) = 3x^2$, $g(x) = x^3 + C$, $v(x, y) = -3xy^2 + x^3 + C$, где C — произвольная действительная постоянная.

Функция

$$f(z) = u + iv = y^3 - 3x^2y + i(x^3 - 3xy^2) + iC = iz^3 + iC$$

регулярна во всей комплексной плоскости.

Лемма 3. Гармоническая в области D функция является аналитической в этой области, т. е. в окрестности каждой точки $(x_0, y_0) \in D$ представима сходящимся к ней степенным рядом

$$u(x, y) = \sum_{n,k=0}^{\infty} c_{nk}(x - x_0)^n(y - y_0)^k. \quad (5)$$

О По лемме 2 в окрестности точки $z_0 = x_0 + iy_0$ существует такая регулярная функция $f(z)$, что $\operatorname{Re} f(z) = u(x, y)$. Так как

$$f(z) = \sum_{n=0}^{\infty} c_n(z - z_0)^n = \sum_{n=0}^{\infty} (\alpha_n + i\beta_n)[(x - x_0) + i(y - y_0)]^n,$$

то, приравнивая в этом равенстве действительные части, получаем формулу (5). ●

Ряд (5) называют *рядом Тейлора* функции $u(x, y)$.

Напомним, что действительные функции одного или нескольких действительных переменных могут быть не аналитическими, даже если они бесконечно дифференцируемы, т. е. их ряды Тейлора могут сходиться, но не к данной функции.

Например, функция

$$f(x) = \begin{cases} e^{-\frac{1}{x^2}} & \text{при } x \neq 0, \\ 0 & \text{при } x = 0 \end{cases}$$

бесконечно дифференцируема на всей действительной оси. Так как $f^{(n)}(0) = 0$, $n = 0, 1, 2, \dots$, то ряд Тейлора для функции $f(x)$ тождественно равен нулю. Этот ряд сходится при всех $x \in \mathbb{R}$, но не к функции $f(x)$.

Регулярные и гармонические функции отличаются от обычных действительных функций действительных переменных тем, что их ряды Тейлора обязательно сходятся к самой функции в некоторой окрестности заданной точки. Отсюда, в частности, и принят термин «регулярные функции».

Теорема 2 (о среднем для регулярных функций). Пусть функция $f(z)$ регулярна в области D и круг $|z - z_0| \leq R$ принадлежит области D . Тогда

$$f(z_0) = \frac{1}{2\pi} \int_0^{2\pi} f(z_0 + Re^{i\varphi}) d\varphi, \quad (6)$$

т. е. значение функции $f(z)$ в центре круга равно среднему арифметическому значений этой функции на границе круга.

○ Пусть окружность $C_R : |\zeta - z_0| = R$ ориентирована против часовой стрелки, т. е. $\zeta = z_0 + Re^{i\varphi}$, $0 \leq \varphi \leq 2\pi$. Тогда $d\zeta = iRe^{i\varphi}d\varphi$ и по интегральной формуле Коши находим

$$f(z_0) = \frac{1}{2\pi i} \int_{C_R} \frac{f(\zeta)d\zeta}{\zeta - z_0} = \frac{1}{2\pi i} \int_0^{2\pi} \frac{if(z_0 + Re^{i\varphi})Re^{i\varphi}}{Re^{i\varphi}} d\varphi = \frac{1}{2\pi} \int_0^{2\pi} f(z_0 + Re^{i\varphi}) d\varphi.$$

●

Теорема 3 (о среднем для гармонических функций). Пусть $u(z) = u(x, y)$ — гармоническая в области D функция и круг $|z - z_0| \leq R$ принадлежит области D . Тогда

$$u(z_0) = \frac{1}{2\pi} \int_0^{2\pi} u(z_0 + Re^{i\varphi}) d\varphi, \quad (7)$$

т. е. значение гармонической функции в центре круга равно среднему арифметическому значений этой функции на границе этого круга.

Здесь и далее вместо записи $u(x, y)$ обычно будем писать $u(z)$. Например, формула (7) означает, что

$$u(x_0, y_0) = \frac{1}{2\pi} \int_0^{2\pi} u(x_0 + R \cos \varphi, y_0 + R \sin \varphi) d\varphi.$$

○ Рассмотрим круг $K : |z - z_0| < R_1$, принадлежащий области D , такой, что $R_1 > R$.

В круге K существует регулярная функция $f(z)$ такая, что $\operatorname{Re} f(z) = u(z)$. По теореме 2 справедлива формула (6). Приравнявая в этой формуле действительные части, получаем формулу (7). ●

В курсе уравнений математической физики доказывается следующая теорема, обратная теореме 3.

Теорема 4. Пусть функция $u(z) = u(x, y)$ непрерывна в области D и для каждого круга $|z - z_0| \leq R$, принадлежащего области D , справедлива формула (7). Тогда функция $u(x, y)$ является гармонической в области D .

С помощью теоремы 4 доказывается сходимость приближенных решений уравнения Лапласа методом конечных разностей.

§ 13. Обратная функция

1. Понятие обратной функции

Пусть функция $u = f(z)$ определена на множестве E и пусть $E' = f(E)$ — множество значений функции f . Тогда для каждого значения $w \in E'$ найдется одно или более одного значения $z \in E$ таких, что $f(z) = w$, т. е. для каждого значения $w \in E'$ уравнение

$$f(z) = w \quad (1)$$

имеет по крайней мере одно решение $z \in E$.

Если существует закон (правило), по которому каждому значению $w \in E_1 \subset E'$ можно поставить в соответствие одно значение $z \in E$, то на множестве E_1 определена функция $z = h(w)$, которую называют *обратной* к функции $w = f(z)$.

Из определения обратной функции следует, что

$$f(h(w)) = w, \quad w \in E_1. \quad (2)$$

Приведем достаточные условия, при которых существует регулярная функция $h(w)$, обратная к функции $w = f(z)$.

Теорема (об обратной функции). Пусть $w = f(z)$ — функция, регулярная в точке z_0 , и пусть $f'(z_0) \neq 0$. Тогда

- 1) существуют круг $K: |z - z_0| < \rho$ и круг $K': |w - w_0| < \rho'$, где $w_0 = f(z_0)$, такие, что для каждого $w \in K'$ уравнение (1) имеет единственное решение $z = h(w)$, где $z \in K$ (существует обратная к $f(z)$ функция $h(w)$);
- 2) функция $z = h(w)$ регулярна в точке w_0 ;

3) в некоторой окрестности точки w_0 имеет место формула

$$h'(w) = \frac{1}{f'(z)} = \frac{1}{f'(h(w))}. \quad (3)$$

Доказательство. Полагая $z = x + iy$, $w = u + iv$, заменим уравнение (1) эквивалентной системой уравнений

$$u(x, y) = u, \quad v(x, y) = v. \quad (4)$$

Найдем якобиан $J(x, y)$ отображения (4), используя условия Коши–Римана $\frac{\partial u}{\partial y} = -\frac{\partial v}{\partial x}$, $\frac{\partial v}{\partial y} = \frac{\partial u}{\partial x}$ и формулу $f'(z) = \frac{\partial u}{\partial x} + i \frac{\partial v}{\partial x}$ (см. формулу (10) в § 7). Получим

$$\begin{aligned} J(x, y) &= \begin{vmatrix} \frac{\partial u}{\partial x} & \frac{\partial u}{\partial y} \\ \frac{\partial v}{\partial x} & \frac{\partial v}{\partial y} \end{vmatrix} = \begin{vmatrix} \frac{\partial u}{\partial x} & -\frac{\partial v}{\partial x} \\ \frac{\partial v}{\partial x} & \frac{\partial u}{\partial x} \end{vmatrix} = \\ &= \left(\frac{\partial u}{\partial x}\right)^2 + \left(\frac{\partial v}{\partial x}\right)^2 = |f'(z)|^2. \end{aligned}$$

Так как $f'(z_0) \neq 0$, то $f'(z) \neq 0$ в некоторой окрестности точки z_0 в силу непрерывности функции $f'(z)$. Поэтому $J(x, y) \neq 0$ в некоторой окрестности точки (x_0, y_0) .

В силу известной теоремы из курса математического анализа (см. [9]) в некоторой окрестности точки $w_0 = u_0 + iv_0$ существует круг K' : $|w - w_0| < \rho'$ такой, что для каждого $w \in K'$ уравнение (1) имеет единственное решение

$$z = x(u, v) + iy(u, v) = h(w)$$

такое, что $z \in K$ и $z = h(w)$ — непрерывная функция.

Остается доказать, что функция $h(w)$ регулярна в точке w_0 . Пусть $w \in K'$ и $w + \Delta w \in K'$. Рассмотрим отношение $\Delta z / \Delta w$, где $\Delta w \neq 0$, а $\Delta z = h(w + \Delta w) - h(w)$. Заметим, что если $\Delta w \neq 0$, то $\Delta z \neq 0$, так как функция $w = f(z)$ взаимно однозначно отображает достаточно малую окрестность точки z_0 на окрестность точки w_0 .

Рассмотрим тождество

$$\frac{\Delta z}{\Delta w} = \frac{1}{\frac{\Delta w}{\Delta z}}. \quad (5)$$

Пусть $\Delta w \rightarrow 0$, тогда в силу непрерывности функции $h(w)$ имеем $\Delta z \rightarrow 0$. Перейдем к пределу при $\Delta z \rightarrow 0$ в правой части равенства (5). Этот предел существует при любом способе стремления к нулю величины Δz , так как функция $w = f(z)$ дифференцируема

в окрестности точки z_0 , и равен $\frac{1}{f'(z)}$. Следовательно, существует предел левой части равенства (5) при $\Delta w \rightarrow 0$ и имеет место формула (3). Теорема доказана. ●

Формулу (3) можно получить, дифференцируя тождество (2).

З а м е ч а н и е. Теорема об обратной функции характеризует локальные свойства регулярной функции: если $f'(z_0) \neq 0$, то функция $z = h(w)$, обратная к функции $w = f(z)$, существует лишь в некоторой окрестности точки $w_0 = f(z_0)$, а условие $f'(z) \neq 0$ не гарантирует существование обратной функции в заданной области.

Например, если $f(z) = z^2$, то $f'(z) \neq 0$ при $z \neq 0$, но в любой области D , содержащей точки z_1 и z_2 такие, что $z_2 = -z_1$, функция $f(z)$ принимает равные значения, откуда следует, что в области $D' \subset f(D)$ не существует однозначной функции, обратной к $f(z)$.

Необходимо выяснить, при каких условиях функция $f(z)$ имеет обратную. В связи с этим нужно ввести одно понятие.

2. Однолистные функции

Функция $f(z)$ называется *однолистной* в области D (на множестве E), если для любых точек $z_1 \in D$, $z_2 \in D$ из равенства $f(z_1) = f(z_2)$ следует равенство $z_1 = z_2$.

Из определения однолистности следует, что функция $w = f(z)$ однолистка в области D тогда и только тогда, когда существует однозначная функция $h(w)$, обратная к функции $w = f(z)$.

Отметим еще, что если функция $f(z)$ регулярна и однолистка в области D и, кроме того, $f'(z) \neq 0$ для всех $z \in D$, то $D' = f(D)$ — область. Действительно, D' — открытое множество (вместе с каждой точкой $w_0 \in D'$ множеству D' принадлежит и некоторая окрестность точки w_0). Кроме того, D' — связное множество (непрерывная кривая $\gamma \subset D$ при непрерывном отображении переходит в непрерывную кривую $\gamma' = f(\gamma) \subset D'$).

3. Функция $w = z^n$, $n \in \mathbb{N}$, и обратная к ней

Если на множестве $E \subset \mathbb{C}$ определена функция $w = f(z)$, то каждой точке $z \in E$ (§ 4) ставится в соответствие одна точка $w \in E' \subset \mathbb{C}$.

Введем понятие многозначной функции. Если каждой точке $z \in E$ поставлено в соответствие некоторое множество (более одной точки)

точек из множества $E' \subset \mathbb{C}$, то говорят, что на множестве E задана *многозначная функция*.

Рассмотрим функцию $w = z^n$, $n \in \mathbb{N}$, $n \geq 2$. В § 1 (п. 8) было показано, что для любого $w \neq 0$ уравнение $w = z^n$ относительно неизвестного z имеет n различных решений

$$z_k = \sqrt[n]{|w|} e^{\frac{i}{n}(\arg w + 2\pi k)}, \quad k = \overline{0, n-1}, \quad (6)$$

где $\arg w$ — одно из значений аргумента числа w . Поэтому функция

$$z = F(w) = \sqrt[n]{w},$$

значения которой в каждой точке $w \in \mathbb{C}$, $w \neq 0$, определяются формулой (6), является многозначной (точнее, n -значной), а функция $w = z^n$ не однолистка на комплексной плоскости \mathbb{C} . Чтобы функция $w = z^n$ была однолистка в области G , эта область не должна содержать ни одной пары точек z_1, z_2 таких, что $z_1 \neq z_2$, но

$$z_1^n = z_2^n. \quad (7)$$

Если $z_1 = r_1 e^{i\varphi_1}$, $z_2 = r_2 e^{i\varphi_2}$, то равенство (7) при $z_1 \neq z_2$ означает, что $r_1 = r_2$, $n\varphi_2 = n\varphi_1 + 2\pi k$ ($k \in \mathbb{Z}$, $k \neq 0$), откуда получаем

$$n(\varphi_2 - \varphi_1) = 2\pi k, \quad k \in \mathbb{Z}, \quad k \neq 0.$$

Если $0 < n(\varphi_2 - \varphi_1) \leq 2\pi$, то функция $w = z^n$ однолистка в области G . В частности, если $G = \{z: z \neq 0, \alpha < \arg z < \beta\}$, где $0 < \beta - \alpha \leq \frac{2\pi}{n}$, то функция $w = z^n$ однолистка в области G .

Рассмотрим область $G_0 = \{z: z \neq 0, 0 < \arg z < \frac{2\pi}{n}\}$, ограниченную лучами $l_0 = \{\arg z = 0\}$ и $l_1 = \{\arg z = \frac{2\pi}{n}\}$. Заметим, что луч $l = \{z: z = re^{i\varphi}, 0 \leq r < +\infty\}$ при отображении $w = z^n$ перейдет в луч $l' = \{w: w = r^n e^{in\varphi}\}$ (см. рис. 36).

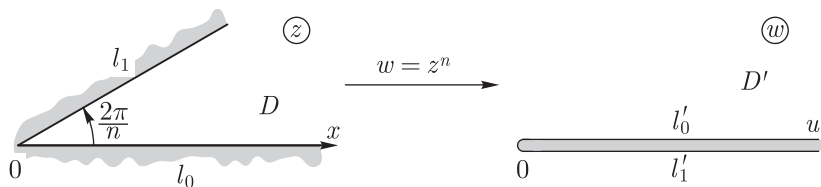


Рис. 36

Будем вращать луч l около точки $z = 0$ против часовой стрелки, непрерывно увеличивая φ от 0 до $\frac{2\pi}{n}$. Тогда l' (образ луча l при отображении $w = z^n$)

ражении $w = z^n$) опишет плоскость D' с разрезом γ по положительной полуоси Ou плоскости w .

При этом луч l_0 ($\varphi = 0$) перейдет в верхний берег l'_0 ($\arg w = 0$) разреза γ , а луч l_1 ($\varphi = \frac{2\pi}{n}$) — в нижний берег l'_1 ($\arg w = 2\pi$) разреза γ .

Функция $w = z^n$ взаимно однозначно отображает область D на область D' с указанным выше соответствием границ этих областей. Следовательно, в области D' существует функция

$$z = g_0(w) = |w|^{\frac{1}{n}} e^{\frac{i}{n} \arg w}, \quad 0 < \arg w < 2\pi, \quad (8)$$

обратная к функции $w = z^n$.

Эта функция дифференцируема в окрестности каждой точки $w \in D'$ по теореме об обратной функции ($w' \neq 0$ при $z \neq 0$) и поэтому она регулярна в области D' . Ее называют *регулярной ветвью* многозначной функции $\sqrt[n]{w}$. Эта функция определяется условиями $\arg w_0 = 0$ при $w_0 \in l'_0$, где l'_0 — верхний берег разреза γ . Заменив это условие на условие $\arg w_0 = 2\pi$ при $w_0 \in l'_0$, получим функцию

$$z = g_1(w) = \sqrt[n]{|w|} e^{\frac{i}{n} \arg w}, \quad 2\pi < \arg w < 4\pi,$$

где $g_1(w) = g_0(w) e^{i\frac{2\pi}{n}}$ — регулярная ветвь функции $\sqrt[n]{w}$, отображающая область D' на область $\frac{2\pi}{n} < \arg z < \frac{4\pi}{n}$.

В области D' для многозначной функции $\sqrt[n]{w}$ существует n регулярных ветвей вида

$$g_k(w) = g_0(w) \cdot e^{i\frac{2\pi k}{n}}, \quad k = \overline{0, n-1}. \quad (9)$$

Каждая из функций (9) является обратной к функции $w = z^n$ и поэтому

$$g_k^n(w) = w, \quad \forall w \in D'. \quad (10)$$

Дифференцируя тождество (10), получаем

$$n g_k^{n-1}(w) g'_k(w) = 1. \quad (11)$$

Из (10) и (11) находим

$$g'_k(w) = \frac{g_k(w)}{nw},$$

где $g_k(w)$ определяется формулами (8) и (9).

4. Функция $w = e^z$ и обратная к ней

В § 4 (п. 5) была определена функция

$$w = e^z = e^{x+iy} = e^x(\cos y + i \sin y) = u + iv.$$

Эта функция регулярна в \mathbb{C} ,

$$w'(z) = e^z = w(z) \neq 0 \quad \forall z \in \mathbb{C}.$$

Решая уравнение

$$e^z = w \tag{12}$$

относительно z ($w \neq 0$ фиксировано), получаем

$$|w| = e^x, \quad y = \operatorname{Arg} w = \arg w + 2\pi k, \quad k \in \mathbb{Z},$$

$\arg w$ — одно из значений аргумента числа $w \neq 0$. Множество решений уравнения (12) называется логарифмом w (§ 4, п. 5) и обозначается

$$\operatorname{Ln} w = \ln |w| + i \operatorname{Arg} w. \tag{13}$$

Формулой (13) определяется многозначная функция, действительная часть которой $\ln |w|$ однозначна.

Функция e^z однолистка в области D , если для любых точек z_1, z_2 этой области из условия $z_1 \neq z_2$ следует, что $e^{z_1} \neq e^{z_2}$.

Если $e^{z_1} = e^{z_2}$, то $z_2 = z_1 + 2\pi ki$, $k \in \mathbb{Z}$. Поэтому функция e^z однолистка в области D , если из условия $z \in D$ следует, что $z + 2\pi i \notin D$ для любой точки $z \in D$.

Рассмотрим область $D_0 = \{z: 0 < \operatorname{Im} z < 2\pi\}$ — это горизонтальная полоса (см. рис. 37) шириной 2π , ограниченная прямыми $y = 0$ и $y = 2\pi$.

Заметим, что прямая $l = \{z: z = x + iy_0, y_0 \text{ — фиксировано, } x \in \mathbb{R}\}$ при отображении $w = e^z$ переходит в луч $l' = \{w: w = e^x \cdot e^{iy_0}, x \in \mathbb{R}\}$. При изменении y_0 от 0 до 2π луч l покрывает область D_0 , а его образ D'_0 — плоскость w с разрезом γ по положительной полуоси Ou (см. рис. 37). При этом прямая l_0 ($y = 0$) отображается на верхний берег l^+ разреза γ , а прямая l_1 ($y = 2\pi$) — на нижний берег l^- разреза γ (см. рис. 37).

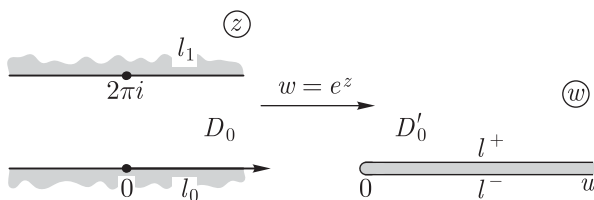


Рис. 37

Функция

$$g_0(w) = \ln |w| + i \arg w, \quad 0 < \arg w < 2\pi, \quad (14)$$

обратная к функции e^z в области D'_0 , регулярна в области D'_0 , так как эта функция дифференцируема в окрестности каждой точки $w \in D'$ (теорема об обратной функции).

Так как

$$e^{g_0(w)} \equiv w, \quad w \in D'_0, \quad (15)$$

то, дифференцируя тождество (15), получаем

$$g'_0(w)w = 1, \quad \text{откуда}$$

$$g'_0(w) = \frac{1}{w}, \quad w \in D'_0.$$

Функция $z = \operatorname{Ln} w$ имеет в области D'_0 бесчисленное множество регулярных ветвей вида

$$g_k(w) = g_0(w) + 2\pi ki, \quad k \in \mathbb{Z},$$

причем

$$g'_k(w) = g'_0(w) = \frac{1}{w}.$$

Отметим еще, что не только в области D'_0 , но и в других областях, например, в плоскости с разрезом $(-\infty, 0]$ функция $\operatorname{Ln} w$ имеет регулярные ветви, определяемые формулами

$$\begin{aligned} h_0(w) &= \ln |w| + i \arg w, \quad -\pi < \arg w < \pi, \\ h_k(w) &= h_0(w) + 2\pi ki, \quad k \in \mathbb{Z}. \end{aligned}$$

§ 14. Теорема единственности

1. Нули регулярной функции

Точка $z = a$ называется *нулем* регулярной функции $f(z)$, если

$$f(a) = 0.$$

а) Пусть $a \neq \infty$ — нуль функции $f(z)$ и пусть

$$f(z) = \sum_{n=0}^{\infty} c_n (z - a)^n \quad (1)$$

— степенной ряд (ряд Тейлора) функции $f(z)$ в окрестности точки $z = a$.

Тогда $c_0 = f(a) = 0$. Пусть c_m — первый отличный от нуля коэффициент ряда (1), т. е. $c_n = 0$ при $n = \overline{0, m-1}$, $c_m \neq 0$ и

$$f(z) = c_m(z-a)^m + c_{m+1}(z-a)^{m+1} + \dots, \quad c_m \neq 0, \quad (2)$$

$$\text{где } c_m = \frac{f^{(m)}(a)}{m!}. \quad (3)$$

В этом случае число m называют *кратностью* (порядком) нуля функции $f(z)$. Из (3) следует, что порядок нуля $z = a$ функции $f(z)$ равен наименьшему порядку производной этой функции, отличной от нуля в точке $z = a$.

Равенство (2) можно записать в виде

$$f(z) = (z-a)^m [c_m + c_{m+1}(z-a) + \dots],$$

где ряд $h(z) = c_m + c_{m+1}(z-a) + \dots$ сходится в том же круге, что и ряд (1). Поэтому функция $h(z)$ регулярна в точке a и $h(a) = c_m \neq 0$.

Итак, если $z = a$ — нуль кратности m функции $f(z)$, то справедливо равенство

$$f(z) = (z-a)^m h(z), \quad h(a) \neq 0, \quad (4)$$

где функция $h(z)$ регулярна в точке $z = a$.

Обратно, из (4) следуют равенства (2) и (3), т. е. $z = a$ — нуль функции $f(z)$ порядка m .

б) Пусть $z = \infty$ — нуль функции $f(z)$. Тогда

$$f(z) = c_0 + \sum_{n=1}^{\infty} \frac{c_n}{z^n}, \quad c_0 = f(\infty) = 0. \quad (5)$$

Если c_n — первый отличный от нуля коэффициент ряда (5), то число m называют порядком (кратностью) нуля при $z = \infty$ функции $f(z)$, а равенство (5) имеет вид

$$f(z) = \frac{1}{z^m} \left(c_m + \frac{c_{m+1}}{z} + \dots \right), \quad c_m \neq 0,$$

откуда

$$f(z) = z^{-m} \psi(z), \quad \psi(\infty) = c_m \neq 0, \quad (6)$$

где $\psi(z)$ — функция, регулярная в точке $z = \infty$.

Обратно, из равенства (6) следует равенство

$$f(z) = \frac{c_m}{z^m} + \frac{c_{m+1}}{z^{m+1}} + \dots = \frac{1}{z^m} \left(c_m + \frac{c_{m+1}}{z} + \dots \right), \quad c_m \neq 0,$$

которое означает, что точка $z = \infty$ — нуль порядка m функции $f(z)$.

Таким образом, доказана следующая теорема.

Теорема 1. а) Точка $a \neq \infty$ является нулем порядка m функции $f(z)$ тогда и только тогда, когда функция $f(z)$ представляется в виде (4), где функция $h(z)$ регулярна в точке a и $h(a) \neq 0$.

б) Точка $z = \infty$ является нулем порядка m функции $f(z)$ тогда и только тогда, когда функция $f(z)$ представляется в виде (6), где функция $\psi(z)$ регулярна в точке $z = \infty$ и $\psi(\infty) \neq 0$.

Замечание 1. Функции $f(z)$ и $g(z)$ называют эквивалентными при $z \rightarrow a$ и пишут $f(z) \sim g(z)$, если они регулярны в проколотой окрестности точки a и

$$\lim_{z \rightarrow a} \frac{f(z)}{g(z)} = 1.$$

Замечание 2. Из равенств (4) и (6) следует, что асимптотические формулы

$$f(z) \sim c_m(z-a)^m, \quad c_m \neq 0 \quad (z \rightarrow a), \quad (7)$$

$$f(z) \sim \frac{A}{z^m}, \quad A \neq 0 \quad (z \rightarrow \infty), \quad (8)$$

выражают необходимое и достаточное условие того, чтобы функция $f(z)$, регулярная в точке $a \neq \infty$ и в точке $z = \infty$ соответственно, имела в этой точке нуль порядка m .

Докажем еще одну теорему о нулях регулярной функции.

Теорема 2. Пусть функция $f(z)$ регулярна в точке $a \neq \infty$ и $f(a) = 0$. Тогда либо $f(z) \equiv 0$ в некоторой окрестности точки $z = a$, либо существует такая окрестность точки a , в которой нет нулей функции $f(z)$, отличных от a .

Доказательство. Возможны два случая:

1) все коэффициенты ряда (1) равны нулю, тогда $f(z) \equiv 0$ в некоторой окрестности точки a ;

2) существует число $m \geq 1$ такое, что

$$c_0 = c_1 = \dots = c_{m-1} = 0, \quad c_m \neq 0.$$

В этом случае $z = a$ — нуль порядка m и по теореме 1 справедливо равенство (4), в котором $h(z)$ — функция, регулярная в точке a и $h(a) \neq 0$. В силу непрерывности функции $f(z)$ в точке a из условия $h(a) \neq 0$ следует, что $h(z) \neq 0$ в некоторой окрестности точки a , т. е. функция $f(z)$ не имеет в этой окрестности нулей, отличных от a . Таким образом, нули регулярной функции изолированы. ●

Пример 1. Для функций $f_1(z) = 1 - \cos z$, $f_2(z) = \sin 3z$, $f_3(z) = \operatorname{sh} z - z$ точка $z = 0$ является нулем. Найдём порядок этого нуля.

Так как $1 - \cos z \sim \frac{z^2}{2}$, $\sin 3z \sim 3z$, $\operatorname{sh} z - z \sim \frac{z^3}{6}$ при $z \rightarrow 0$, для функций f_1, f_2, f_3 точка $z = 0$ является нулем соответственно второго, первого и третьего порядка.

Пример 2. Найдем все нули функций $f_1(z) = \sin \frac{1}{z}$, $f_2(z) = \operatorname{ch} z - 1$, $f_3(z) = \operatorname{sh} \frac{1}{z}$ и определим их порядок.

1) Если $\sin \frac{1}{z} = 0$, то $z_k = \frac{1}{k\pi}$, $k \in \mathbb{Z}$, $k \neq 0$. Так как $f'_1(z) = \left(\sin \frac{1}{z}\right)' = -\frac{1}{z^2} \cos \frac{1}{z}$ и $f'_1(z_k) \neq 0$, то z_k — нули первого порядка.

Точка $z = \infty$ — нуль первого порядка, так как $\sin \frac{1}{z} \sim \frac{1}{z}$ при $z \rightarrow \infty$.

2) Если $\operatorname{ch} z = 1$, то $e^z + e^{-z} = 2$, $e^z = 1$, $z_k = 2k\pi i$ ($k \in \mathbb{Z}$), $f'_2(z) = \operatorname{sh} z$, $f'_2(z_k) = 0$, $f''(z) = \operatorname{ch} z$, $f''(z_k) = 1$. Точки z_k — нули второго порядка.

3) $\operatorname{sh} \frac{1}{z} = 0 \Rightarrow \frac{1}{z} = k\pi i$, $k \in \mathbb{Z}$, $k \neq 0$, $z_k = \frac{i}{k\pi}$ — нули первого порядка, так как $\left(\operatorname{sh} \frac{1}{z}\right)'|_{z=z_k} \neq 0$. Точка $z = \infty$ — нуль первого порядка, так как $\operatorname{sh} \frac{1}{z} \sim \frac{1}{z}$ при $z \rightarrow \infty$.

2. Теорема единственности

Теорема 3. Пусть функция $f(z)$ регулярна в области D и пусть существует последовательность различных точек $\{z_n\}$ таких, что $z_n \in D$ ($\forall n \in \mathbb{N}$), $\lim_{n \rightarrow \infty} z_n = a$, $a \in D$, и $f(z_n) = 0$ ($\forall n \in \mathbb{N}$). Тогда $f(z) \equiv 0$ в области D .

Доказательство. а) Так как функция $f(z)$ регулярна в точке a , то существует круг $K_0 = \{z: |z - a| < \rho_0\}$ такой, что $K_0 \subset D$ и в круге K_0 функция $f(z)$ представляется сходящимся к ней рядом Тейлора

$$f(z) = \sum_{n=0}^{\infty} c_n (z - a)^n. \quad (9)$$

Докажем, что $c_n = 0$ при всех n , т. е. $c_0 = 0$, $c_n = 0$ ($\forall n \in \mathbb{N}$). Предположим противное. Тогда найдется хотя бы один коэффициент ряда (9), отличный от нуля, и пусть m — наименьший из номеров таких коэффициентов, т. е. $c_0 = c_1 = \dots = c_{m-1} = 0$, $c_m \neq 0$. Тогда

по теореме 1 функция $f(z)$ представляется в круге K_0 в виде

$$f(z) = (z - a)^m h(z), \quad (10)$$

где $h(z)$ — функция, регулярная в круге K_0 и такая, что $h(a) \neq 0$, а по теореме 2 она не имеет нулей, отличных от $z = a$, в некоторой окрестности точки a .

С другой стороны, из условий $\lim_{n \rightarrow \infty} z_n = a$ и $f(z_n) = 0$, $n \in \mathbb{N}$, следует, что в любой окрестности точки a содержатся нули функции $f(z)$. Откуда следует, что предположение о том, что среди коэффициентов ряда (9) имеются отличные от нуля, неверно и поэтому $f(z) \equiv 0$ в круге $K_0 = \{|z - a| < \rho_0\}$.

б) Пусть b — произвольная точка области D . Докажем, что $f(b) = 0$. Так как D — область, то существует кусочно-гладкая кривая $\gamma \subset D$, соединяющая точки a и b .

Пусть ρ_1 — расстояние между γ и границей Γ области D , тогда $\rho_1 > 0$. Обозначим $\rho = \min(\rho_1, \rho_0)$ и построим конечное число кругов K_0, K_1, \dots, K_m с центрами в точках $\zeta_0 = a, \zeta_1, \dots, \zeta_{m-1}, \zeta_m = b$, лежащих на кривой γ (в порядке движения по кривой из точки a к точке b) и одинаковыми радиусами, равными ρ , а точки ζ_j выберем так, чтобы $|\zeta_j - \zeta_{j-1}| < \frac{\rho}{2}$ ($j = \overline{1, m}$). Тогда $\zeta_{j+1} \in K_j \cap K_{j+1}$ ($j = \overline{0, m-1}$) (см. рис. 38).

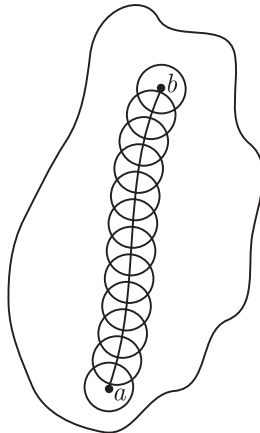


Рис. 38

Так как $\rho_0 \geq \rho$, то по доказанному $f(z) \equiv 0$ в круге

$$K_0 = \{z : |z - a| < \rho\}.$$

Обратимся к кругу $K_1 = \{z : |z - \zeta_1| < \rho\}$. Так как $f(z) \equiv 0$ при всех $z \in K_0 \cap K_1$ и существует последовательность $\{z_n^{(1)}\}$ различных точек такая, что

$$z_n^{(1)} \in K_0 \cap K_1 \quad \text{и} \quad z_n^{(1)} \rightarrow \zeta_1$$

при $n \rightarrow \infty$, $f(z_n^{(1)}) = 0$, $\forall n \in \mathbb{N}$, то по доказанному выше следует, что

$$f(z) \equiv 0, \quad \forall z \in K_1.$$

Продолжая аналогичные рассуждения, можем утверждать, что если $f(z) \equiv 0$ в круге K_{j-1} , то $f(z) \equiv 0$ в круге K_j при любом $j \in \overline{1, m}$, в том числе и в круге $K_m = \{z : |z - b| < \rho\}$, откуда следует, что $f(b) = 0$. ●

Следствие 1. Если функция $f(z)$ регулярна в области D и $f(z) \equiv 0$ при всех $z \in \gamma$, где γ — некоторая кривая, лежащая в области D , то $f(z) \equiv 0$, $\forall z \in D$.

Следствие 2. Пусть функции $f(z)$ и $g(z)$ регулярны в области D и принимают равные значения в различных точках z_n , $n \in \mathbb{N}$, таких, что $\lim_{n \rightarrow \infty} z_n = a$, где $a \in D$. Тогда $f(z) \equiv g(z)$, $\forall z \in D$.

Замечание 3. В дальнейшем будем использовать следующий, ослабленный вариант теоремы единственности: если функции $f(z)$, $g(z)$ регулярны в области D и $f(z) \equiv g(z)$ на некоторой кривой, лежащей в области D , или в некоторой подобласти области D , то $f(z) \equiv g(z)$, $z \in D$.

Пример 3. Покажем, что для любых комплексных чисел z_1, z_2 справедливо равенство

$$e^{z_1} e^{z_2} = e^{z_1 + z_2}. \quad (11)$$

Напомним, что функция e^z регулярна во всей комплексной плоскости и при действительных значениях $z = x$ совпадает с действительной функцией e^x .

1) Рассмотрим равенство

$$e^z e^{x_2} = e^{z+x_2}. \quad (12)$$

Левая и правая части этого равенства являются регулярными функциями во всей комплексной плоскости. Так как при действительных $z = x$ равенство (12) справедливо, то по теореме единственности оно верно при всех комплексных z .

2) Теперь рассмотрим равенство

$$e^{z_1} e^z = e^{z_1+z}. \quad (13)$$

Левая и правая части этого равенства являются регулярными функциями во всей комплексной плоскости. В п.1 доказано, что равенство (12) справедливо при действительных $z = x$. По теореме единственности равенство (13) верно при всех комплексных z , т. е. справедливо равенство (11).

Пример 4. Покажем, что

$$\sin^2 z + \cos^2 z = 1 \quad (14)$$

при всех комплексных z .

Напомним, что функции $\sin z$, $\cos z$ регулярны во всей комплексной плоскости и при действительных значениях $z = x$ совпадают с действительными функциями соответственно $\sin x$ и $\cos x$.

Левая и правая части равенства (14) являются регулярными во всей комплексной плоскости. При действительных значениях $z = x$ равенство (14) справедливо, следовательно, по теореме единственности оно верно при всех комплексных z .

Аналогично, как и в примерах 3, 4, доказывается, что все формулы для тригонометрических и гиперболических функций, справедливые для действительных $z = x$, верны и для всех комплексных z :

$$\begin{aligned} \operatorname{ch}^2 z - \operatorname{sh}^2 z &= 1, \\ \cos(z + 2\pi) &= \cos z, \end{aligned}$$

$$\sin\left(\frac{\pi}{2} - z\right) = \cos z,$$

$$\cos(-z) = \cos z,$$

$$\operatorname{sh}(-z) = -\operatorname{sh} z.$$

§ 15. Ряд Лорана

1. Разложение регулярной функции в ряд Лорана

Определение. *Рядом Лорана называется степенной ряд*

$$\sum_{n=-\infty}^{\infty} c_n (z - z_0)^n, \quad (1)$$

где $z_0 \neq \infty$.

Ряд (1) называется сходящимся в кольце $K : \rho < |z - z_0| < R$, где $0 \leq \rho < R \leq \infty$, если в каждой точке $z \in K$ сходятся ряды

$$\sum_{n=0}^{\infty} c_n (z - z_0)^n, \quad (2)$$

$$\sum_{n=-\infty}^{-1} c_n (z - z_0)^n = \sum_{k=1}^{\infty} \frac{c_{-k}}{(z - z_0)^k}. \quad (3)$$

Отметим, что ряд Тейлора является частным случаем ряда Лорана, если $c_n = 0$ при $n = -1, -2, \dots$ и ряд (2) сходится в круге $|z| < R$.

Теорема 1. Если функция $f(z)$ регулярна в кольце $K : \rho < |z - z_0| < R$, то в этом кольце

$$f(z) = \sum_{n=-\infty}^{\infty} c_n (z - z_0)^n, \quad (4)$$

где

$$c_n = \frac{1}{2\pi i} \int_{C_0} \frac{f(\zeta)}{(\zeta - z_0)^{n+1}} d\zeta, \quad (5)$$

окружность $C_0 : |\zeta - z_0| = \rho_0$, $\rho < \rho_0 < R$ ориентирована против часовой стрелки. Ряд (4) сходится равномерно к функции $f(z)$ в каждом кольце $K_1 : \rho_1 < |z - z_0| < R_1$, где $\rho < \rho_1 < R_1 < R$.

○ Если $z \in K_1$, то по интегральной формуле Коши

$$f(z) = \frac{1}{2\pi i} \int_{\Gamma_1} \frac{f(\zeta)}{\zeta - z} d\zeta - \frac{1}{2\pi i} \int_{\Gamma_2} \frac{f(\zeta)}{\zeta - z} d\zeta, \quad (6)$$

где окружности $\Gamma_1 : |\zeta - z_0| = R_1$, $\Gamma_2 : |\zeta - z_0| = \rho_1$ ориентированы против часовой стрелки (рис. 39).

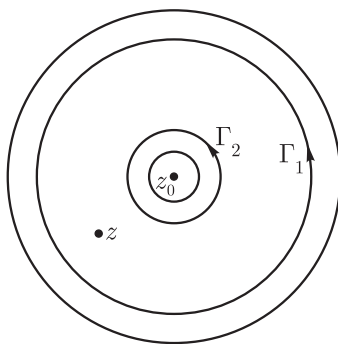


Рис. 39

1) Рассмотрим первое слагаемое в формуле (6):

$$J_1 = \frac{1}{2\pi i} \int_{\Gamma_1} \frac{f(\zeta)}{\zeta - z} d\zeta. \quad (7)$$

Разложим функцию $\frac{1}{\zeta - z}$ при $\zeta \in \Gamma_1$ в ряд по степеням $(z - z_0)$ по формуле суммы бесконечно убывающей геометрической прогрессии:

$$\begin{aligned} \frac{1}{\zeta - z} &= \frac{1}{\zeta - z_0 - (z - z_0)} = \\ &= \frac{1}{\zeta - z_0} \frac{1}{1 - \frac{z - z_0}{\zeta - z_0}} = \frac{1}{\zeta - z_0} \sum_{n=0}^{\infty} \frac{(z - z_0)^n}{(\zeta - z_0)^n}, \quad \text{т. е.} \\ \frac{1}{\zeta - z} &= \sum_{n=0}^{\infty} \frac{(z - z_0)^n}{(\zeta - z_0)^{n+1}}. \end{aligned} \quad (8)$$

Этот ряд сходится равномерно относительно $\zeta \in \Gamma_1$ (z и z_0 — фиксированы), так как $\frac{|z - z_0|}{|\zeta - z_0|} = \frac{|z - z_0|}{R_1} < 1$ и эта оценка не зависит от ζ .

Умножив ряд (8) на непрерывную и поэтому ограниченную на Γ_1 функцию $f(\zeta)$, получим также равномерно сходящийся ряд относительно $\zeta \in \Gamma_1$. Подставляя этот ряд в формулу (7), интегрированием почленно получаем

$$J_1 = \sum_{n=0}^{\infty} c_n (z - z_0)^n, \quad (9)$$

где

$$c_n = \frac{1}{2\pi i} \int_{\Gamma_1} \frac{f(\zeta)}{(\zeta - z_0)^{n+1}} d\zeta, \quad n = 1, 2, \dots \quad (10)$$

Так как R_1 — любое, $R_1 < R$, то ряд (9) сходится в круге $|z| < R$ и по теореме Абеля равномерно сходится в круге $|z| < R_1$.

Отметим, что интеграл (10) равен интегралу (5), так как функция $\frac{f(\zeta)}{(\zeta - z_0)^{n+1}}$ дифференцируема по ζ при $0 < |\zeta - z_0| < R$ и при непрерывной деформации окружности Γ_1 в окружность C_0 значение интеграла (10) не изменяется.

2) Рассмотрим второе слагаемое в формуле (6):

$$J_2 = -\frac{1}{2\pi i} \int_{\Gamma_2} \frac{f(\zeta)}{\zeta - z} d\zeta. \quad (11)$$

Разложим функцию $\frac{1}{\zeta - z}$ при $\zeta \in \Gamma_2$ по степеням $(z - z_0)$ по формуле суммы бесконечно убывающей геометрической прогрессии:

$$\begin{aligned} \frac{1}{\zeta - z} &= \frac{1}{\zeta - z_0 - (z - z_0)} = \\ &= -\frac{1}{z - z_0} \frac{1}{1 - \frac{\zeta - z_0}{z - z_0}} = -\frac{1}{z - z_0} \sum_{k=0}^{\infty} \frac{(\zeta - z_0)^k}{(z - z_0)^k}, \quad \text{т. е.} \\ \frac{1}{\zeta - z} &= -\sum_{k=0}^{\infty} \frac{(\zeta - z_0)^k}{(z - z_0)^{k+1}}. \end{aligned} \quad (12)$$

Этот ряд сходится равномерно относительно $\zeta \in \Gamma_2$, так как $\frac{|\zeta - z_0|}{|z - z_0|} = \frac{\rho_1}{|z - z_0|} < 1$ и эта оценка не зависит от ζ . Полагая в (12) $k = -(n + 1)$, получаем

$$\frac{1}{\zeta - z} = -\sum_{n=-\infty}^{-1} \frac{(z - z_0)^n}{(\zeta - z_0)^{n+1}}. \quad (13)$$

Умножая этот ряд на $f(\zeta)$, подставляя полученный ряд в формулу (11) и интегрируя его почленно, получаем:

$$J_2 = -\sum_{n=-\infty}^{-1} c_n (z - z_0)^n, \quad (14)$$

где

$$c_n = \frac{1}{2\pi i} \int_{\Gamma_2} \frac{f(\zeta)}{(\zeta - z_0)^{n+1}} d\zeta$$

равен интегралу (5). Так как ρ_1 — любое, $\rho_1 > \rho$, то ряд (14) сходится при $|\zeta - z_0| > \rho$, и по теореме Абеля равномерно сходится при $\rho_1 < |\zeta - z_0| < \infty$.

Подставляя ряды (9), (14) в формулу (6), получаем ряд (4). ●

2. Единственность разложения функции в ряд Лорана

Теорема 2. Пусть ряды

$$f(x) = \sum_{n=-\infty}^{\infty} c_n(z - z_0)^n = \sum_{n=-\infty}^{\infty} b_n(z - z_0)^n \quad (15)$$

равномерно сходятся на окружности $K : |z - z_0| = R$, $R > 0$, к одной и той же функции $f(z)$, непрерывной на окружности K . Тогда $c_n = b_n$ при $n = 0, \pm 1, \pm 2, \dots$.

О Умножая ряды (15) на $(z - z_0)^m$, где m — фиксированное целое число, получаем равномерно сходящиеся на окружности K ряды

$$\sum_{n=-\infty}^{\infty} c_n(z - z_0)^{n+m} = \sum_{n=-\infty}^{\infty} b_n(z - z_0)^{n+m}. \quad (16)$$

Интегрируя эти ряды по окружности K , ориентированной против часовой стрелки, и учитывая, что

$$\int_K (z - z_0)^{n+m} dz = \begin{cases} 0, & \text{если } n + m \neq -1, \\ 2\pi i, & \text{если } n + m = -1, \end{cases}$$

получаем $c_n = b_n$ при $n = -m - 1$. Так как m — любое целое число, то $c_n = b_n$ при всех целых n . ●

Следствие. Из теорем 1, 2 следует, что разложение регулярной в кольце функции в ряд Лорана единственно.

3. Примеры разложений рациональных функций в ряды Лорана

Пример 1. Разложим функцию

$$f(z) = \frac{1}{3 - z}$$

в ряды Лорана по степеням z в кольцах $|z| < 3$ и $3 < |z| < \infty$.

Из теоремы 2 следует, что коэффициенты ряда Лорана не зависят от того, каким способом получено разложение данной функции. Воспользуемся формулой суммы бесконечно убывающей геометрической прогрессии.

Если $|z| < 3$, то

$$\frac{1}{3-z} = \frac{1}{3} \frac{1}{1-\frac{z}{3}} = \sum_{n=0}^{\infty} \frac{z^n}{3^{n+1}}, \quad (17)$$

а если $3 < |z| < \infty$, то

$$\frac{1}{3-z} = -\frac{1}{z} \frac{1}{1-\frac{3}{z}} = \sum_{n=0}^{\infty} \frac{(-1) \cdot 3^n}{z^{n+1}}. \quad (18)$$

Отметим, что по 2-й теореме Вейерштрасса ряд Лорана можно дифференцировать почленно, при этом кольцо сходимости не меняется. Например, дифференцируя ряды (17), (18) получаем: если $|z| < 3$, то

$$\frac{1}{(3-z)^2} = \sum_{n=1}^{\infty} \frac{nz^{n-1}}{3^{n+1}},$$

а если $3 < |z| < \infty$, то

$$\frac{1}{(3-z)^2} = \sum_{n=0}^{\infty} \frac{(n+1) \cdot 3^n}{z^{n+2}}.$$

Пример 2. Разложим функцию

$$f(z) = \frac{1}{(1-z)(z+2)}$$

в ряды Лорана по степеням z в кольцах $|z| < 1$, $1 < |z| < 2$, $|z| > 2$.

При $z \neq 1$ и $z \neq -2$ получаем

$$f(z) = \frac{1}{3} \left(\frac{1}{1-z} + \frac{1}{z+2} \right). \quad (19)$$

Если $|z| < 1$, то

$$\frac{1}{1-z} = \sum_{n=0}^{\infty} z^n, \quad (20)$$

а если $|z| > 1$, то

$$\frac{1}{1-z} = -\frac{1}{z} \frac{1}{1-\frac{1}{z}} = \sum_{n=0}^{\infty} \frac{(-1)}{z^{n+1}}. \quad (21)$$

Если $|z| < 2$, то

$$\frac{1}{z+2} = \frac{1}{2} \frac{1}{1+\frac{z}{2}} = \sum_{n=0}^{\infty} \frac{(-1)^n z^n}{2^{n+1}}, \quad (22)$$

а если $|z| > 2$, то

$$\frac{1}{z+2} = \frac{1}{z} \cdot \frac{1}{1+\frac{2}{z}} = \sum_{n=0}^{\infty} \frac{(-1)^n 2^n}{z^{n+1}}. \quad (23)$$

Из формул (19)–(23) получаем:

– если $|z| < 1$, то

$$f(z) = \sum_{n=0}^{\infty} \frac{1}{3} \left(1 + \frac{(-1)^n}{2^{n+1}} \right) z^n,$$

– если $1 < |z| < 2$, то

$$f(z) = \sum_{n=0}^{\infty} \frac{(-1)^n}{3} \frac{1}{z^{n+1}} + \sum_{n=0}^{\infty} \frac{(-1)^n z^n}{3 \cdot 2^{n+1}},$$

– если $|z| > 2$, то

$$f(z) = \sum_{n=0}^{\infty} \frac{(-1)^n \cdot 2^n - 1}{3 \cdot z^{n+1}}.$$

Пример 3. Разложим функцию

$$f(z) = \frac{(1+3i)z}{z^2 - (1-3i)z - 3i}$$

в ряд Лорана по степеням $z-1+i$ в кольце, которому принадлежит точка $z_0 = 2$, и найдем границы кольца сходимости.

Разложим знаменатель дроби $f(z)$ на множители

$$z^2 - (1-3i)z - 3i = z^2 + 3iz - (z+3i) = (z+3i)(z-1),$$

а функцию $f(z)$ представим в виде $\frac{A}{z-1} + \frac{B}{z+3i}$, заметив, что $(1+3i)z = z+3i+3i(z-1)$. Тогда

$$f(z) = \frac{1}{z-1} + \frac{3i}{z+3i}.$$

Пусть $z-1+i = t$, тогда $z = t+1-i$, точка $z_0 = 2$ переходит в точку $t_0 = 1+i$, $f(z) = g(t) = \frac{1}{t-i} + \frac{3i}{t+1+2i}$. Функция $g(t)$ регулярна в кольцах, границы которых проходят через точки $t = i$, $t = -1-2i$. Точка $t_0 \in K$, где $K = \{t: 1 < |t| < \sqrt{5}\}$. Учитывая это,

преобразуем функцию $g(t)$:

$$g(t) = \frac{1}{t} \frac{1}{1 - \frac{i}{t}} + \frac{3i}{1 + 2i} \frac{1}{1 + \frac{t}{1 + 2i}}.$$

Отсюда находим

$$\begin{aligned} g(t) &= \sum_{n=0}^{\infty} \frac{i^n}{t^{n+1}} + 3i \sum_{n=0}^{\infty} \frac{(-1)^n t^n}{(1 + 2i)^{n+1}}, \\ f(z) &= \sum_{n=0}^{\infty} \frac{i^n}{(z - 1 + i)^{n+1}} + \sum_{n=0}^{\infty} \frac{3i(-1)^n}{(1 + 2i)^{n+1}} (z - 1 + i)^n, \\ 1 &< |z - 1 + i| < \sqrt{5}. \end{aligned}$$

§ 16. Изолированные особые точки однозначного характера

1. Классификация изолированных особых точек

Определение 1. Пусть функция $f(z)$ регулярна в проколотой окрестности точки z_0 , т. е. в кольце $K = \{0 < |z - z_0| < \rho\}$, если $z_0 \neq \infty$, и в области $|z| > R$, если $z_0 = \infty$. Тогда точка z_0 называется изолированной особой точкой однозначного характера функции $f(z)$.

Определение 2. Изолированная особая точка z_0 однозначного характера функции $f(z)$ называется:

а) *устранимой особой точкой*, если существует конечный предел

$$\lim_{z \rightarrow z_0} f(z);$$

б) *полюсом*, если

$$\lim_{z \rightarrow z_0} f(z) = \infty;$$

в) *существенно особой точкой*, если $\lim_{z \rightarrow z_0} f(z)$ не существует.

Замечание 1. В определениях 1, 2 предполагается, что функция $f(z)$ может быть не определена в точке z_0 .

2. Устранимая особая точка

Пусть точка $z_0 \neq \infty$ является устранимой особой точкой функции $f(z)$. Будем считать, что $f(z_0) = \lim_{z \rightarrow z_0} f(z)$.

Тогда функция $f(z)$ будет непрерывна в точке z_0 . По лемме об устранимой особенности (§ 11, п. 4) функция регулярна в круге

$|z - z_0| < \rho$. Поэтому точку z_0 будем называть неособой, т. е. регулярной.

Пример 1. Покажем, что функция $f(z)$ регулярна в точке $z = 0$, если:

$$1) f(z) = \frac{\sin z}{z}; \quad 2) f(z) = \frac{1 - \cos z}{\operatorname{sh} z}.$$

1) Так как $\sin z \sim z$ при $z \rightarrow 0$, то $\lim_{z \rightarrow 0} f(z) = 1$. Полагая $f(0) = 1$, получаем функцию, регулярную в точке $z = 0$.

$$2) \text{ Так как } 1 - \cos z \sim \frac{z^2}{2} \text{ и } \operatorname{sh} z \sim z \text{ при } z \rightarrow 0, \text{ то } \lim_{z \rightarrow 0} f(z) = 0.$$

Полагая $f(0) = 0$, получаем функцию, регулярную в точке $z = 0$.

Пусть $z_0 = \infty$ — устранимая особая точка функции $f(z)$, тогда существует конечный предел в точке $z = \infty$. Полагая $f(\infty) = \lim_{z \rightarrow \infty} f(z)$, получаем функцию, регулярную в точке $z = \infty$.

Пример 2. Покажем, что функция $f(z)$ регулярна в точке $z = \infty$, если: 1) $f(z) = \sin \frac{1}{z}$; 2) $f(z) = \frac{z^2 + 3z + 2}{2z^2 - 4z + 3}$.

1) Так как функция $f(z)$ регулярна в области $|z| > 1$ и $f(z) = \frac{1}{z} - \frac{1}{6z^3} + \dots$, то $f(z) \sim \frac{1}{z}$ при $z \rightarrow \infty$, $\lim_{z \rightarrow \infty} f(z) = 0$.

Полагая $f(\infty) = 0$, получаем функцию, регулярную в точке $z = \infty$.

$$2) f(z) = \frac{1 + \frac{3}{z} + \frac{2}{z^2}}{2\left(1 - \frac{2}{z} + \frac{3}{2z^2}\right)} \sim \frac{1}{2} \text{ при } z \rightarrow \infty. \text{ Полагая } f(\infty) = \frac{1}{2},$$

получаем функцию, регулярную в точке $z = \infty$.

3. Полюс

Теорема 1. Пусть $z_0 \neq \infty$ — полюс функции $f(z)$. Тогда существует число $m \in \mathbb{N}$ такое, что в некоторой окрестности точки z_0 функция $f(z)$ представляется в виде

$$f(z) = \frac{g(z)}{(z - z_0)^m}, \quad g(z_0) \neq 0, \quad (1)$$

где $g(z)$ — функция, регулярная в точке z_0 .

О По условию функция $f(z)$ регулярна в проколотой окрестности точки z_0 и выполняется условие $\lim_{z \rightarrow z_0} f(z) = \infty$, откуда следует, что суще-

ствуется кольцо $K = \{0 < |z - z_0| < \rho\}$, в котором

$$|f(z)| > 1 \quad (2)$$

и функция $f(z)$ регулярна.

Рассмотрим функцию

$$g(z) = \frac{1}{f(z)}. \quad (3)$$

Тогда $\lim_{z \rightarrow z_0} g(z) = 0$. Положим

$$g(z_0) = \lim_{z \rightarrow z_0} g(z) = 0. \quad (4)$$

Функция $g(z)$ регулярна в точке z_0 , которая является нулем этой функции. Пусть m — порядок нуля z_0 . Тогда по теореме 1 § 14 функция $g(z)$ в окрестности точки z_0 представляется в виде

$$g(z) = (z - z_0)^m h(z), \quad h(z_0) \neq 0, \quad (5)$$

где $h(z)$ — функция, регулярная в точке z_0 .

Из (3) и (5) следует равенство (1), в котором $g(z) = \frac{1}{h(z)}$,
 $g(z_0) = \frac{1}{h(z_0)} \neq 0$. ●

Следствие 1. Точка $z_0 \neq \infty$ является полюсом порядка m функции $f(z)$ тогда и только тогда, когда функция $f(z)$ регулярна в некоторой проколотой окрестности точки z_0 и выполняется условие

$$f(z) \sim \frac{A}{(z - z_0)^m}, \quad A \neq 0, \quad z \rightarrow z_0. \quad (6)$$

Пример 3. Покажем, что для функции $f(z)$ точка $z = 0$ является полюсом, и найдем его порядок, если:

$$1) f(z) = \frac{e^z - 1}{(\operatorname{ch} z - 1)^2}; \quad 2) f(z) = \frac{\sin 2z}{\cos z - \cos 3z}.$$

1) Функция $f(z)$ регулярна в проколотой окрестности точки $z = 0$. Так как $e^z - 1 \sim z$, $\operatorname{ch} z - 1 \sim \frac{z^2}{2}$ при $z \rightarrow 0$, то $f(z) \sim \frac{z}{\left(\frac{z^2}{2}\right)^2} = \frac{4}{z^3}$ при $z \rightarrow 0$ и из (6) следует, что $z = 0$ — полюс третьего порядка функции $f(z)$.

2) Так как $\cos z - \cos 3z = 2 \sin z \cdot \sin 2z$, то $f(z) = \frac{1}{2 \sin z} \sim \frac{1}{2z}$ при $z \rightarrow 0$ и $z = 0$ — полюс первого порядка функции $f(z)$.

Замечание 2. Если $f(z) = \frac{\varphi(z)}{\psi(z)}$, где функции $\varphi(z)$ и $\psi(z)$ регулярны в точке $z_0 \neq \infty$, которая является нулем кратности m функции $\varphi(z)$ и нулем кратности k функции $\psi(z)$, то

- 1) если $m > k$, то z_0 — нуль функции $f(z)$ кратности $m - k$,
- 2) если $m = k$, то z_0 — устранимая особая точка,
- 3) если $m < k$, то z_0 — полюс функции $f(z)$ порядка $k - m$.

Пример 4. Покажем, что точка $z = 0$ — полюс функции $f(z)$, и найдем его порядок, если

$$f(z) = \frac{e^{2z} - e^z}{(\operatorname{ch} z - 1)(\cos 5z - \cos 5z)(\sin z - z)}.$$

Так как $e^{2z} - e^z = e^z(e^z - 1) \sim z$, $\operatorname{ch} z - 1 \sim \frac{z^2}{2}$, $\cos z - \cos 5z = 2 \sin 3z \cdot \sin 2z \sim 12z^2$, $\sin z - z = -\frac{z^3}{6}$ при $z \rightarrow 0$, то $f(z) \sim \frac{(-z) \cdot 6}{\frac{z^2}{2} \cdot 12z^5} = \frac{-1}{z^6}$ при $z \rightarrow 0$, и $z = 0$ — полюс шестого порядка функции $f(z)$.

Замечание 3. Можно показать, что если $z = a$ — существенно особая точка для функции $f(z)$ и полюс для функции $g(z)$, то для функции $h(z) = f(z)g(z)$ точка $z = a$ является существенно особой.

Рассмотрим случай, когда точка $z = \infty$ является полюсом функции $f(z)$. Тогда функция $f(z)$ регулярна в области $|z| > R$ и $\lim_{z \rightarrow \infty} f(z) = \infty$. Функция $g(\zeta) = f\left(\frac{1}{\zeta}\right)$ регулярна в кольце $0 < |\zeta| < \frac{1}{R}$ и $\lim_{\zeta \rightarrow 0} f(\zeta) = \infty$, т. е. $\zeta = 0$ — полюс функции $g(\zeta)$ и поэтому

$$g(\zeta) = \frac{g_1(\zeta)}{\zeta^m}, \quad g_1(0) \neq 0,$$

где $g_1(\zeta)$ — регулярная в точке $\zeta = 0$ функция. Отсюда следует, что

$$f(z) = g\left(\frac{1}{z}\right) = z^m g_1\left(\frac{1}{z}\right), \quad \text{т. е.}$$

$$f(z) = z^m h(z), \quad h(\infty) \neq 0, \quad (7)$$

$h(z) = g_1\left(\frac{1}{z}\right)$ — функция, регулярная в точке $z = \infty$.

Число m называется *порядком полюса* функции $f(z)$ в точке $z = \infty$. Таким образом, для нахождения полюса в точке $z = \infty$ функции $f(z)$ и определения его порядка можно воспользоваться одним из следующих способов:

- 1) найти порядок полюса функции $f\left(\frac{1}{\zeta}\right)$ в точке $\zeta = 0$,
- 2) представить функцию $f(z)$ в виде (7) или показать, что

$$f(z) \sim Az^m, \quad A \neq 0 \quad (z \rightarrow \infty).$$

Пример 5. Покажем, что для функции $f(z)$ точка $z = \infty$ является полюсом и найдем его порядок, если:

$$1) f(z) = \frac{z^3 + 3z + 1}{2z^2 + z + 3}; \quad 2) f(z) = \frac{1}{\sin^2 \frac{1}{z}}.$$

1) Функция $f(z)$ регулярна в окрестности точки $z = \infty$ и $f(z) \sim \frac{z}{2}$ при $z \rightarrow \infty$. Поэтому $z = \infty$ — полюс первого порядка функции $f(z)$.

2) Для функции $g(\zeta) = f\left(\frac{1}{\zeta}\right) = \frac{1}{\sin^2 \zeta}$ точка $\zeta = 0$ — полюс второго порядка. Поэтому точка $z = \infty$ — полюс второго порядка для функции $f(z)$.

4. Существенно особая точка

Конечная или бесконечно удаленная точка $z_0 = \infty$ является существенно особой для функции $f(z)$, если не существует предела этой функции в точке z_0 .

Пример 6. Показать, что точка $z = 0$ является существенно особой для функции $f(z)$, если:

$$1) f(z) = e^{\frac{1}{z^2}}; \quad 2) f(z) = \sin \frac{1}{z}.$$

1) Пусть $z = x$, тогда $f(z) = e^{\frac{1}{x^2}} \rightarrow +\infty$ при $z \rightarrow 0$. А если $z = iy$, то $f(z) = e^{-\frac{1}{y^2}} \rightarrow 0$ при $z \rightarrow 0$. Поэтому функция $f(z)$ не имеет предела в точке $z = 0$ и $z = 0$ — существенно особая точка функции $f(z)$.

2) Функция $\sin \frac{1}{x}$ не имеет предела при $x \rightarrow 0$. Поэтому $z = 0$ — существенно особая точка функции $\sin \frac{1}{z}$.

Пример 7. Покажем, что точка $z = \infty$ является существенно особой для функций e^z , $\sin z$, $\cos z$.

1) Если $z = x > 0$ и $x \rightarrow +\infty$, то $e^x \rightarrow +\infty$, а если $z = x < 0$ и $x \rightarrow -\infty$, то $e^x \rightarrow 0$. Следовательно, $z = \infty$ — существенно особая точка функции e^z .

2) Так как функции $\sin x$ и $\cos x$ не имеют предела при $x \rightarrow \infty$, то $z = \infty$ — существенно особая точка функций $\sin z$ и $\cos z$.

Пример 8. Пусть $z = a$ — полюс функции $f(z)$. Тогда для функции $g(z) = e^{f(z)}$ точка $z = a$ является существенно особой.

Пусть m — порядок полюса $z = a$ функции $f(z)$. Тогда справедлива асимптотическая формула

$$f(z) \sim A(z-a)^{-m}, \quad A \neq 0, \quad z \rightarrow a.$$

Полагая $A = |A|e^{i\alpha}$, $z - a = re^{i\varphi}$, получаем

$$f(z) \sim |A|r^{-m}e^{i(\alpha-m\varphi)}. \quad (8)$$

Рассмотрим луч $l_1: z - a = re^{i\varphi_1}$, где $\varphi_1 = \frac{\alpha}{m}$, тогда из (8) следует, что

$$f(z) \sim |A|r^{-m}, \quad r \rightarrow 0.$$

Если $z \in l_1$ и $z \rightarrow a$ ($r \rightarrow 0$), то $f(z) \rightarrow +\infty$ и $g(z) \rightarrow +\infty$. Если l_2 — луч: $z - a = re^{i\varphi_2}$, где $\varphi_2 = \frac{\alpha + \pi}{m}$, то $f(z) \sim -|A|r^{-m}$, $r \rightarrow 0$, и $f(z) \rightarrow -\infty$ при $z \rightarrow a$ ($r \rightarrow 0$), а $g(z) \rightarrow 0$. Следовательно, функция $g(z)$ не имеет предела при $z \rightarrow a$, т. е. $z = a$ — существенно особая точка для $g(z)$.

Замечание 4. Аналогичное утверждение справедливо и для функций $\sin f(z)$, $\cos f(z)$, $\operatorname{sh} f(z)$, $\operatorname{ch} f(z)$: для этих функций точка $z = a$ является существенно особой, если $z = a$ — полюс функции $f(z)$.

Например, если $f(z) = \operatorname{sh} \frac{1}{\cos z}$, то все нули функции $\cos z$, т. е. точки $z_k = \frac{\pi}{2} + k\pi$ ($k \in \mathbb{Z}$) — полюсы функции $\frac{1}{\cos z}$ и существенно особые для $f(z)$.

Пример 9. Найдем особые точки функций 1) $f(z) = e^{\frac{1}{\cos z}}$; 2) $f(z) = e^{\frac{1}{\sin \frac{1}{z}}}$.

1) Нули функции $\cos z$, т. е. точки $z_k = \frac{\pi}{2} + k\pi$, $k \in \mathbb{Z}$, — полюсы функции $\frac{1}{\cos z}$ и существенно особые для $f(z)$.

2) Нули функции $\sin \frac{1}{z}$, т. е. точки $z_k = \frac{1}{\pi k}$, $k \in \mathbb{Z}$, $k \neq 0$, — полюсы функции $\frac{1}{\sin \frac{1}{z}}$ и существенно особые для $f(z)$.

Пример 10. Найдем особые точки функции

$$f(z) = \frac{1}{\operatorname{tg} z - i}.$$

Найдем корни уравнения $\operatorname{tg} z = i$, т. е. уравнения

$$g(z) = \operatorname{tg} z - i = \frac{e^{iz} - e^{-iz}}{i(e^{iz} + e^{-iz})} - i = \frac{2e^{iz}}{i(e^{iz} + e^{-iz})} = 0.$$

Так как $e^{iz} \neq 0$ при всех $z \in \mathbb{C}$, то особыми точками функции $f(z)$ могут быть корни уравнения $e^{iz} + e^{-iz} = 0$, т. е. уравнения $\cos z = 0$, откуда $z_k = \frac{\pi}{2} + k\pi$, $k \in \mathbb{Z}$. Эти точки не являются особыми (они являются нулями функции $f(z) = \frac{1}{g(z)}$).

Точка $z = \infty$ является изолированной и

$$f(z) = \frac{1}{g(z)} = \frac{i(e^{iz} + e^{-iz})}{2e^{iz}} = \frac{i}{2} (1 + e^{-2iz}).$$

Отсюда следует, что $z = \infty$ — существенно особая для функции $f(z)$.

5. Исследование особых точек с помощью рядов Лорана

Пусть точка $z_0 \neq \infty$ является изолированной особой точкой однозначного характера функции $f(z)$, т. е. функция $f(z)$ регулярна в некотором кольце $K : 0 < |z - z_0| < R$, $R > 0$. Тогда в этом кольце

$$f(z) = \sum_{n=-\infty}^{\infty} c_n (z - z_0)^n, \quad (9)$$

где

$$c_n = \frac{1}{2\pi i} \int_{C_\rho} \frac{f(\zeta)}{(\zeta - z_0)^{n+1}} d\zeta, \quad (10)$$

окружность $C_\rho : |\zeta - z_0| = \rho$, $0 < \rho < R$, ориентирована против часовой стрелки, n — целое число.

Определение 3. Ряды

$$f_1(z) = \sum_{n=-\infty}^{-1} c_n (z - z_0)^n, \quad (11)$$

$$f_2(z) = \sum_{n=0}^{\infty} c_n (z - z_0)^n \quad (12)$$

называются соответственно *главной частью* и *правильной частью* (или *регулярной частью*) ряда Лорана (9).

Отметим, что главная часть (11) состоит из тех членов ряда (9), каждый из которых стремится к бесконечности при $z \rightarrow z_0$.

Лемма 1. Для того чтобы изолированная особая точка $z_0 \neq \infty$ функции $f(z)$ была устранимой, необходимо и достаточно, чтобы все коэффициенты главной части ряда (9) были равны нулю, т. е. $f_1(z) \equiv 0$, $z \in K$.

○ Достаточность. Если $f_1(z) \equiv 0$, $z \in K$, то ряд (9) является рядом Тейлора (11) при $|z| < R$. Поэтому $\lim_{z \rightarrow z_0} f(z) = c_0$, т. е. z_0 — устранимая (регулярная) точка функции $f(z)$.

Необходимость. Пусть z_0 — устранимая особая точка функции $f(z)$, т. е. существует $\lim_{z \rightarrow z_0} f(z) \neq \infty$. Тогда эта функция ограничена в кольце $0 < |z - z_0| < R_1 < R$, т. е. $|f(z)| \leq M$. Оценим интеграл (10) при $\rho < R_1$:

$$|c_n| \leq \frac{1}{2\pi} \frac{M}{\rho^{n+1}} 2\pi\rho = \frac{M}{\rho^n}.$$

Отсюда следует, что если $n < 0$, то $c_n \rightarrow 0$ при $\rho \rightarrow 0$. Но интеграл (10) не зависит от ρ , поэтому $c_n = 0$ при $n = -1, -2, \dots$ ●

Замечание 5. В лемме 1 доказано, что если функция $f(z)$ регулярна и ограничена в проколотой окрестности точки z_0 , то z_0 — устранимая особая точка функции $f(z)$.

Лемма 2. Для того чтобы изолированная особая точка $z_0 \neq \infty$ была полюсом функции $f(z)$, необходимо и достаточно, чтобы в главной части (11) было конечное (не равное нулю) число коэффициентов, не равных нулю.

○ Достаточность. Пусть в кольце K

$$f(z) = \frac{c_{-m}}{(z - z_0)^m} + \frac{c_{-m+1}}{(z - z_0)^{m-1}} + \dots,$$

где $c_{-m} \neq 0$, m — натуральное число. Тогда

$$f(z) = \frac{c_{-m} + c_{-m+1}(z - z_0) + \dots}{(z - z_0)^m} = \frac{h(z)}{(z - z_0)^m},$$

где функция $h(z)$ регулярна в точке z_0 и $h(z_0) = c_{-m} \neq 0$, т. е. z_0 — полюс функции $f(z)$ порядка m (п. 3).

Необходимость. Пусть z_0 — полюс функции $f(z)$ порядка m , т. е. в кольце K

$$f(z) = \frac{h(z)}{(z - z_0)^m},$$

где функция $h(z)$ регулярна в точке z_0 и $h(z_0) \neq 0$. Тогда $h(z) = c_0 + c_1(z - z_0) + \dots$, $c_0 = h(z_0) \neq 0$ и поэтому

$$f(z) = \frac{c_0}{(z - z_0)^m} + \frac{c_1}{(z - z_0)^{m-1}} + \dots \quad \bullet$$

Следствие 2. Из лемм 1, 2 по принципу исключенного третьего следует, что для того чтобы точка $z_0 \neq \infty$ была существенно особой точкой функции $f(z)$, необходимо и достаточно, чтобы главная часть ряда Лорана (9) содержала бесконечное число коэффициентов, не равных нулю.

Пример 11. Покажем, что точка $z = 0$ является существенно особой для функции $f(z) = z^2 e^{\frac{1}{z}}$.

Эта функция регулярна в кольце $0 < |z| < \infty$ и в этом кольце

$$f(z) = z^2 \sum_{n=0}^{\infty} \frac{1}{n! z^n} = z^2 + z + \frac{1}{2} + \sum_{n=1}^{\infty} \frac{1}{(n+2)! z^n}.$$

Главная часть этого ряда Лорана $\sum_{n=1}^{\infty} \frac{1}{(n+2)! z^n}$ содержит бесконечное число членов, не равных нулю.

Пример 12. Покажем, что точка $z = -1$ является существенно особой для функции $f(z) = \cos \frac{z}{z+1}$.

В кольце $|z+1| > 0$ получаем

$$\begin{aligned} f(z) &= \cos \left(1 - \frac{1}{z+1} \right) = \cos 1 \cdot \cos \frac{1}{z+1} + \sin 1 \cdot \sin \frac{1}{z+1} = \\ &= \cos 1 \sum_{n=0}^{\infty} \frac{(-1)^n}{(2n)!(z+1)^{2n}} + \sin 1 \sum_{n=0}^{\infty} \frac{(-1)^n}{(2n+1)!(z+1)^{2n+1}}. \end{aligned}$$

Правильная часть этого ряда Лорана равна $\cos 1$, а главная часть ряда содержит бесконечное число членов, не равных нулю.

6. Ряд Лорана в окрестности точки $z = \infty$

В пп. 2–5 предполагалось, что $z_0 \neq \infty$. Теперь рассмотрим случай, когда точка $z_0 = \infty$ является изолированной особой точкой однозначного характера функции $f(z)$, т. е. функция $f(z)$ регулярна в некотором кольце $K: R < |z| < \infty$, $R > 0$.

Так же, как и в теореме 1 (§ 15), доказывается, что в кольце K

$$f(z) = \sum_{n=-\infty}^{\infty} c_n z^n, \quad (13)$$

где

$$c_n = \int_{C_\rho} \frac{f(\zeta)}{\zeta^{n+1}} d\zeta, \quad (14)$$

окружность $C_\rho : |\zeta| = \rho$, $R < \rho < \infty$, ориентирована против часовой стрелки, n — целое число. Ряд (13) называют *рядом Лорана* функции $f(z)$ в окрестности точки $z = \infty$ и считают, что ряд (13) сходится в кольце K , если в этом кольце сходятся ряды

$$f_1(z) = \sum_{n=-\infty}^0 c_n z^n, \quad (15)$$

$$f_2(z) = \sum_{n=1}^{\infty} c_n z^n. \quad (16)$$

Так же, как и в теореме 2 (§ 15), доказывается, что разложение функции $f(z)$ в ряд Лорана (13) *единственно*, т. е. его коэффициенты однозначно находятся по формулам (14).

Ряды (15), (16) называют соответственно *правильной* и *главной* частями ряда (28).

Отметим, что главная часть (16) состоит из тех членов ряда (13), каждый из которых стремится к бесконечности при $z \rightarrow \infty$. Поэтому для точки $z = \infty$, как и для точки $z \neq \infty$, справедливы леммы 1, 2 и следствие из них.

Пример 13. Покажем, что точка $z = \infty$ является полюсом второго порядка функции $f(z) = z^2 e^{\frac{1}{z}}$.

Эта функция регулярна в кольце $0 < |z| < \infty$ и в этом кольце

$$f(z) = z^2 \sum_{n=0}^{\infty} \frac{1}{n! z^n} = z^2 + z + \sum_{n=0}^{\infty} \frac{1}{(n+2)! z^{n+2}}.$$

Так как главная часть этого ряда Лорана равна $z^2 + z$, то $f(z) \sim z^2$ при $z \rightarrow \infty$.

Теорема 2 (Сохотского). Если $z = a$ — существенно особая точка функции $f(z)$, то для любого $A \in \overline{\mathbb{C}}$ существует последовательность точек $\{z_n\}$ таких, что

$$\lim_{n \rightarrow \infty} z_n = a, \quad \lim_{n \rightarrow \infty} f(z_n) = A. \quad (17)$$

Доказательство. Докажем теорему для случая $a \neq \infty$, $A \neq \infty$. Если

$$\forall \varepsilon > 0 \quad \forall \delta > 0 \quad \exists z(\delta) : 0 < |z(\delta) - a| < \delta, \quad |f(z(\delta)) - A| < \varepsilon, \quad (18)$$

то утверждение (17) справедливо: достаточно взять $\varepsilon = \varepsilon_n = \frac{1}{n}$, $\delta = \delta_n = \frac{1}{n}$, тогда $z_n = z\left(\frac{1}{n}\right)$.

Предположим, что (18) не выполняется. Тогда

$$\exists \varepsilon_0 > 0 \quad \exists \delta_0 > 0 : \forall z : 0 < |z - a| < \delta_0 \rightarrow |f(z) - A| \geq \varepsilon_0. \quad (19)$$

Рассмотрим функцию

$$g(z) = \frac{1}{f(z) - A}. \quad (20)$$

Из (19) и (20) следует, что

$$\forall z : 0 < |z - a| < \delta_0 \rightarrow |g(z)| \leq \frac{1}{\varepsilon_0}. \quad (21)$$

Так как $z = a$ — изолированная особая точка однозначного характера для функции $f(z)$, то эта функция регулярна в некоторой проколотой окрестности точки a , т. е. $\forall z : 0 < |z - a| < \delta_1$.

Кроме того, $f(z) - A \neq 0$ в силу (19) для $\forall z : 0 < |z - a| < \delta_2$, где $\delta_2 = \min(\delta_0, \delta_1)$. Поэтому функция $g(z)$ регулярна в проколотой δ_2 -окрестности точки a , т. е. $z = a$ — изолированная особая точка для $g(z)$, и функция $g(z)$ ограничена (условие (21)) в этой окрестности.

По лемме 1 (см. замечание 5) $z = a$ — устранимая особая точка функции $g(z)$ и существует конечный

$$\lim_{z \rightarrow a} g(z) = B. \quad (22)$$

Из равенства (20) находим

$$f(z) = A + \frac{1}{g(z)}, \quad \forall z : 0 < |z - a| < \delta_2. \quad (23)$$

Но тогда из (22) и (23) следует, что функция $f(z)$ имеет конечный (при $B \neq 0$) и бесконечный (при $B = 0$) предел. Это означает, что a либо устранимая особая точка, либо полюс для функции $f(z)$, что противоречит условиям теоремы.

Следовательно, предположение (19) является неверным и справедливо утверждение (18), из которого следует (17). ●

Теорема 3 (Пикара). В любой окрестности существенно особой точки функция принимает, и притом бесконечное число раз, любое значение, кроме, быть может, одного [6].

Пример 14. Точка $z = \infty$ является существенно особой для функций e^z , $\sin z$, $\cos z$.

В области $|z| < \infty$ уравнение $e^z = A$ имеет бесконечное число корней для любого $A \neq 0$, а уравнения $\sin z = A$, $\cos z = A$ имеют бесконечное число корней для любого комплексного числа A (§ 4).

7. Теорема Лиувилля

Определение 4. Функция $f(z)$ называется *целой*, если она регулярна во всей комплексной плоскости, т. е. при $|z| < \infty$.

Например, многочлен, функции e^z , $\sin z$, $\cos z$ являются целыми.

Теорема 4 (Лиувилля для целой функции). Пусть целая функция $f(z)$ при $R < |z| < \infty$, $R > 0$, удовлетворяет неравенству

$$|f(z)| \leq M|z|^m, \quad (24)$$

где $M > 0$, m — целое число, $m \geq 0$. Тогда $f(z)$ — многочлен степени не выше m .

О Так как $f(z)$ целая, т. е. регулярная при $|z| < \infty$ функция, она представляется рядом Тейлора

$$f(z) = \sum_{n=0}^{\infty} c_n z^n, \quad (25)$$

где

$$c_n = \frac{1}{2\pi i} \int_{C_\rho} \frac{f(\zeta)}{\zeta^{n+1}} d\zeta, \quad (26)$$

окружность $C_\rho : |\zeta| = \rho$, $\rho > 0$, ориентирована против часовой стрелки.

Оценим интеграл (26) при $\rho > R$ с помощью неравенства (24):

$$|c_n| \leq \frac{1}{2\pi} \frac{M\rho^m}{\rho^{n+1}} 2\pi\rho = M\rho^{m-n},$$

откуда следует, что $c_n \rightarrow 0$ при $\rho \rightarrow \infty$, если $m - n < 0$. Но интеграл (26) не зависит от ρ , поэтому $c_n = 0$ при $n > m$, т. е. ряд (25) является многочленом степени не выше m . ●

Следствие 3. Целая ограниченная во всей комплексной плоскости функция $f(z)$ является постоянной: $f(z) \equiv \text{const}$.

Теорема 5 (основная теорема алгебры). Многочлен $P_n(z) = a_0 z^n + a_1 z^{n-1} + \dots + a_{n-1} z + a_n$, где $a_0 \neq 0$, $n \geq 1$, имеет хотя бы один нуль.

○ Предположим, что многочлен $P_n(z)$ не имеет нулей. Тогда функция $g(z) = \frac{1}{P_n(z)}$ является целой и ограниченной во всей плоскости, т. е. $g(z) \equiv \text{const}$, что противоречит условию теоремы. ●

Пример 15. Покажем, что если функция $f(z)$ регулярна в расширенной комплексной плоскости, за исключением одного полюса первого порядка, то она является *дробно-линейной*:

$$f(z) = \frac{az + b}{cz + d}, \quad (27)$$

где a, b, c, d — комплексные числа, $ad - bc \neq 0$, в частности *линейной*, если $c = 0$. Условие $ad - bc \neq 0$ означает, что функция (27) не является тождественной константой.

Пусть $z_0 \neq \infty$ — полюс $f(z)$ первого порядка. Тогда в проколотой окрестности точки z_0 функция $f(z) = \frac{A}{z - z_0}$. Поэтому функция $g(z) = f(z) - \frac{A}{z - z_0}$ регулярна и ограничена во всей расширенной комплексной плоскости, т. е. $g(z) \equiv B = \text{const}$, откуда

$$f(z) = B + \frac{A}{z - z_0} = \frac{Bz - Bz_0 + A}{z - z_0}.$$

Если полюсом первого порядка функции $f(z)$ является точка $z = \infty$, то в проколотой окрестности этой точки $f(z) = Az$. Поэтому функция $g(z) = f(z) - Az$ регулярна и ограничена в расширенной комплексной плоскости, т. е. $g(z) \equiv B = \text{const}$, откуда $f(z) = Az + B$.

Аналогично можно доказать, что если функция $f(z)$ регулярна в расширенной комплексной плоскости, за исключением конечного числа полюсов, то $f(z)$ является рациональной функцией.

Теорема 6 (Лиувилля для гармонической функции). Пусть гармоническая во всей комплексной плоскости функция $u(x, y)$ ограничена сверху или снизу. Тогда $u(x, y) \equiv \text{const}$.

○ Для гармонической во всей плоскости функции $u(x, y)$ существует регулярная во всей комплексной плоскости функция $f(z) = u(x, y) + iv(x, y)$ (§ 12). Поэтому функция $g(z) = e^{f(z)}$ также регулярна во всей плоскости, т. е. целая.

Если $u(x, y) < M$, то $|g(z)| = e^{u(x, y)} < e^M$. Следовательно, $g(z) \equiv \text{const}$, $u(x, y) \equiv \text{const}$. Если $u(x, y) > M$, то функция $-u(x, y)$ является гармонической и $-u(x, y) < -M$.

По доказанному $u(x, y) \equiv \text{const}$. ●

МНОГОЗНАЧНЫЕ АНАЛИТИЧЕСКИЕ ФУНКЦИИ

§ 17. Понятие аналитической функции и ее регулярной ветви

1. Аналитическое продолжение вдоль цепочки областей

Рассмотрим некоторые способы аналитического продолжения заданных функций.

Определение 1. Пусть функция $g(z)$ определена на множестве E , функция $f(z)$ регулярна в области D , содержащей множество E , и

$$f(z) = g(z) \quad \text{при} \quad z \in E. \quad (1)$$

Тогда функция $f(z)$ называется *аналитическим продолжением функции $g(z)$ с множества E в область D* .

Если для заданной функции $g(z)$, $z \in E$, существует ее аналитическое продолжение в область $D \supset E$, т. е. регулярная в области D функция $f(z)$, удовлетворяющая условию (1), то говорят, что «функцию $g(z)$ можно аналитически продолжить в область D », или «функция $g(z)$ допускает аналитическое продолжение в область D ».

Такое аналитическое продолжение может оказаться не единственным, например, если множество E состоит из конечного числа точек, или если множество E состоит из бесконечного числа точек, но не имеет предельных точек внутри области D .

Из теоремы единственности следует, что:

если множество E состоит из бесконечного числа различных точек и имеет хотя бы одну предельную точку, принадлежащую области $D \supset E$, то аналитическое продолжение с множества E в область D единственно.

Пример. Функции e^z , $\sin z$, $\cos z$ являются единственными аналитическими продолжениями функций соответственно e^x , $\sin x$, $\cos x$ с действительной оси во всю комплексную плоскость.

Функция $\operatorname{tg} z$ является единственным аналитическим продолжением функции $\operatorname{tg} x$ с интервала $-\frac{\pi}{2} < x < \frac{\pi}{2}$ во всю комплексную плоскость с выколотыми точками $z = \frac{\pi}{2} + \pi k$, $k = 0, \pm 1, \pm 2, \dots$

Функция $\operatorname{ctg} z$ является единственным аналитическим продолжением функции $\operatorname{ctg} x$ с интервала $0 < x < \pi$ во всю комплексную плоскость с выколотыми точками $z = \pi k$, $k = 0, \pm 1, \pm 2, \dots$

Определение 2. Пусть даны две области D_0 и D_1 такие, что существует область D_{01} , принадлежащая обеим областям D_0 и D_1 (рис. 40).

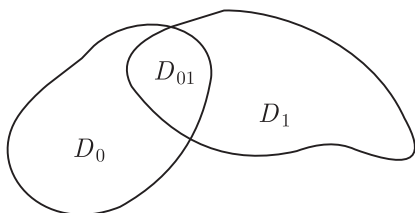


Рис. 40

Пусть функции $f_0(z)$, $f_1(z)$ регулярны в областях D_0 , D_1 соответственно и совпадают в области D_{01} , т. е.

$$f_1(z) = f_0(z), \quad z \in D_{01}.$$

Тогда функция $f_1(z)$ называется непосредственным аналитическим продолжением функции $f_0(z)$ из области D_0 в область D_1 через область D_{01} .

Это продолжение единственно по теореме единственности.

Отметим, что в рассмотренной ситуации может оказаться, что области D_0 и D_1 имеют кроме области D_{01} и другие общие точки (рис. 41), в которых значения функций $f_0(z)$ и $f_1(z)$ могут быть неравными. Но если $f_0(z) = f_1(z)$ во всех общих точках областей D_0 и D_1 , то функция

$$F(z) = \begin{cases} f_0(z), & \text{если } z \in D_0, \\ f_1(z), & \text{если } z \in D_1, \end{cases}$$

регулярна в области $D = D_0 \cup D_1$ и является аналитическим продолжением функции $f_0(z)$ из области D_0 в область D в смысле определения 1.

Пусть теперь дана цепочка областей D_0, D_1, \dots, D_n (рис. 42). Предположим, что существуют регулярные функции $f_j(z)$, $z \in D_j$,

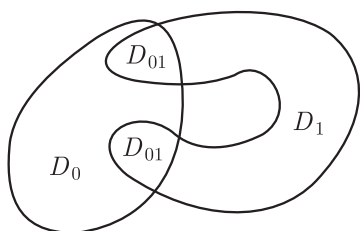


Рис. 41

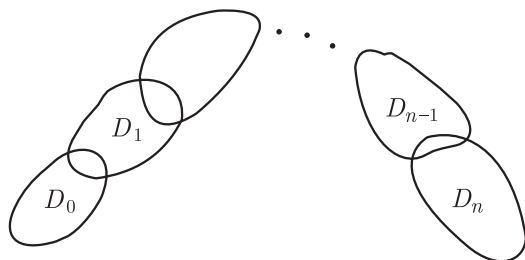


Рис. 42

$0 \leq j \leq n$, такие, что каждая последующая функция $f_{j+1}(z)$ является непосредственным аналитическим продолжением предыдущей функции $f_j(z)$ из области D_j в область D_{j+1} , $0 \leq j \leq n-1$.

Тогда функция $f_n(z)$ называется *аналитическим продолжением функции $f_0(z)$ вдоль цепочки областей D_0, D_1, \dots, D_n* . Это продолжение единственно.

Полученный набор функций $\{f_1(z), f_2(z), \dots, f_n(z)\}$ также называют *аналитическим продолжением функции $f_0(z)$ вдоль цепочки областей D_0, D_1, \dots, D_n* , а функцию $f_n(z)$ называют *результатом аналитического продолжения функции $f_0(z)$ из области D_0 в область D_n вдоль цепочки областей D_0, D_1, \dots, D_n* .

Регулярную в области D_j функцию $f_j(z)$ называют *элементом*. Пусть задан элемент $f_0(z)$, $z \in D_0$. Если существует аналитическое продолжение этого (исходного) элемента вдоль цепочки областей D_0, D_1, \dots, D_n , то эту цепочку называют *допустимой* для элемента $f_0(z)$, $z \in D_0$.

Аналитической функцией (полной аналитической функцией) называется множество элементов, полученных из исходного элемента продолжением по всем допустимым для него цепочкам областей.

Отметим, что в результате аналитического продолжения исходного элемента $f_0(z)$, $z \in D_0$, вдоль двух различных допустимых цепочек областей в одну и ту же область D_n могут получиться различные элементы. Таким образом, аналитическая функция может оказаться *неоднозначной* как функция от z . Неоднозначность может получиться уже на первом шаге аналитического продолжения (рис. 40).

Во всех случаях аналитическую функцию с исходным элементом $f_0(z)$, $z \in D_0$, будем обозначать $F(z)$. Таким образом, аналитическая функция $F(z)$ — это обобщение понятия регулярной функции.

Аналитическая функция $F(z)$ «составлена» или «склеена» из однозначных элементов — регулярных функций.

Описанный общий подход к понятию аналитической функции оказывается неудобным при изучении конкретных функций. Не теряя общности, можно ограничиться рассмотрением цепочек областей, состоящих из кругов с центрами на заданной кривой, т. е. аналитическим продолжением вдоль кривых.

2. Аналитическое продолжение вдоль кривой

Элементом в точке z_0 будем называть функцию $f_0(z)$, регулярную в некоторой окрестности точки z_0 , т. е. в круге $K_0 : |z - z_0| < R_0$, $R_0 > 0$.

Определение 3. Пусть задана кривая γ с началом в точке a и концом в точке b (рис. 43). И пусть в начальной точке $z_0 = a$ задан элемент $f_0(z)$, т. е. регулярная в круге $K_0 : |z - z_0| < R_0$ функция $f_0(z)$.

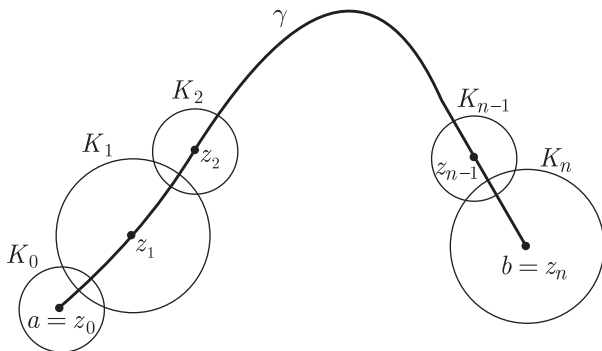


Рис. 43

Множество элементов $f_1(z)$, $z \in K_j : |z - z_j| < R_j$, $j = 1, 2, \dots, n$, называется *аналитическим продолжением элемента $f_0(z)$ вдоль кривой γ* , если:

- 1) точки $a = z_0, z_1, z_2, \dots, z_n = b$ принадлежат γ и занумерованы в порядке ориентации кривой γ ;
- 2) пересечение $K_{j-1} \cap K_j$ не пусто и $f_{j-1}(z) \equiv f_j(z)$ при $z \in K_{j-1} \cap K_j$ для $j = 1, 2, \dots, n$;
- 3) дуга кривой γ от точки z_{j-1} до z_j принадлежит объединению $K_{j-1} \cup K_j$ для $j = 0, 1, \dots, n$.

При этом элемент $f_n(z)$ называется *результатом аналитического продолжения элемента $f_0(z)$ из точки a в точку b вдоль кривой γ* .

Если для заданного элемента $f_0(z)$ в начальной точке кривой γ существует аналитическое продолжение вдоль γ , то будем говорить, что «элемент $f_0(z)$ можно аналитически продолжить вдоль кривой γ » или «элемент $f_0(z)$ допускает аналитическое продолжение вдоль кривой γ », а кривую γ будем называть *допустимой* для элемента $f_0(z)$.

Заметим, что аналитическое продолжение элемента $f_0(z)$ вдоль допустимой кривой γ определяет на кривой γ непрерывную функцию $F_\gamma(z)$ (значениями элементов $f_j(z)$), а в каждой точке $\zeta \in \gamma$ — элемент $f_\zeta(z)$ такой, что

$$f_\zeta(z) = F_\gamma(z), \quad z \in \gamma_\zeta, \quad (2)$$

где γ_ζ — дуга кривой γ , лежащая в некоторой окрестности точки ζ .

Можно доказать обратное утверждение: если на кривой γ задана непрерывная функция $F_\gamma(z)$ и в каждой точке $\zeta \in \gamma$ задан элемент $f_\zeta(z)$ такой, что выполняется условие (2), то из множества этих элементов $f_\zeta(z)$ можно выбрать конечное число элементов $f_j(z)$, $j = 1, 2, \dots, n$, удовлетворяющих определению 3.

Таким образом, эквивалентным определению 3 является

Определение 4. Пусть в начальной точке z_0 кривой γ задан элемент $f_0(z)$. Множество элементов $f_\zeta(z)$, заданных во всех точках $\zeta \in \gamma$, называется *аналитическим продолжением элемента $f_0(z)$ вдоль кривой γ* , если существует такая непрерывная на кривой γ функция $F_\gamma(z)$, что выполняется условие (2).

Теорема 1. Аналитическое продолжение данного элемента вдоль допустимой для него кривой единственно, т. е. определяет на этой кривой единственную непрерывную функцию, а в каждой точке этой кривой — единственный элемент, удовлетворяющий условию (2).

О Пусть сначала γ — простая незамкнутая кривая (рис. 43). И пусть два множества элементов $f_j(z)$, $z \in K_j$, $j = 1, 2, \dots, n$, и $\tilde{f}_j(z)$, $z \in \tilde{K}_j$, $j = 1, 2, \dots, \tilde{n}$, являются аналитическими продолжениями одного и того же элемента $f_0(z)$, $z \in K_0$, заданного в начальной точке z_0 кривой γ . Тогда существует такая область D , содержащая кривую γ (окрестность кривой γ), которая принадлежит как объединению кругов K_j , $j = 0, 1, \dots, n$, так и объединению кругов \tilde{K}_j , $j = 0, 1, \dots, \tilde{n}$. В области D функции $f_j(z)$, $j = 0, 1, \dots, n$, определяют регулярную функцию $f(z)$, а функции $\tilde{f}_j(z)$, $j = 1, 2, \dots, \tilde{n}$ — регулярную функцию $\tilde{f}(z)$. По условию в некоторой окрестности точки z_0 эти функции совпадают: $f(z) \equiv \tilde{f}(z) = f_0(z)$. По теореме единственности функции

$f(z)$ и $\tilde{f}(z)$ совпадают во всей области D , в частности, на кривой γ и в окрестности каждой точки $\zeta \in \gamma$.

В общем случае кривую γ нужно разбить на конечное число простых незамкнутых дуг и поочередно для каждой дуги провести предыдущие рассуждения. ●

Определение 5. Аналитической функцией с исходным элементом $f_0(z)$ (порожденной элементом $f_0(z)$) называется множество элементов, полученных в результате аналитического продолжения элемента $f_0(z)$ вдоль всех допустимых для него кривых.

Аналитическую функцию с исходным элементом $f_0(z)$ будем обозначать $F(z)$, хотя эта функция может быть неоднозначной как функция точки плоскости z . Значениями функции $F(z)$ в точке z будем называть значения всех ее элементов в этой точке.

3. Суперпозиция аналитических функций

Определение 6. Пусть $F(z)$ — аналитическая функция с исходным элементом $f_0(z)$, заданным в точке z_0 , и пусть $H(\zeta)$ — аналитическая функция с исходным элементом $h_0(\zeta)$, заданная в точке $\zeta_0 = f_0(z_0)$. Тогда функция $g_0(z) = h_0(f_0(z))$ регулярна в точке z_0 как суперпозиция регулярных функций, т. е. является элементом в точке z_0 . Аналитическая функция с исходным элементом $g_0(z)$ называется суперпозицией аналитических функций $F(z)$ и $H(z)$ и обозначается $G(z) = H(F(z))$.

4. Определение аналитической в области функции

Определение 7. Пусть заданы область D и элемент $f_0(z)$ в точке $z_0 \in D$ такой, что его можно аналитически продолжить по любой кривой с началом в точке z_0 , лежащей в области D , т. е. любая такая кривая является допустимой для элемента $f_0(z)$. Аналитической в области D функцией с исходным элементом $f_0(z)$ (порожденной элементом $f_0(z)$) называется множество элементов, полученных в результате аналитического продолжения элемента $f_0(z)$ по всем кривым с началом в точке z_0 , лежащим в области D .

Аналитическую в области функцию будем обозначать $f(z)$, $F(z)$ и т. п., хотя эта функция может быть многозначной как функция точки плоскости z .

Замечание. Для исследования аналитической функции $F(z)$, заданной исходным элементом $f_0(z)$, обычно выясняют:

- 1) какие кривые являются допустимыми для элемента $f_0(z)$;
- 2) как находить значения функции $F(z)$, т. е. значения ее элементов;
- 3) как находить производные ее элементов;
- 4) как представлять ее элементы рядами Тейлора или Лорана.

5. Аналитические и регулярные ветви полных аналитических функций

Определение 8. *Аналитической ветвью полной аналитической функции $F(z)$ в области D называется аналитическая в области D функция $f(z)$ такая, что некоторый элемент функции $f(z)$ является одним из элементов функции $F(z)$.*

Если для заданной аналитической функции $F(z)$ существует аналитическая ветвь в заданной области D , то говорят, что «в области D можно выделить аналитическую ветвь функции $F(z)$ » или «функция $F(z)$ допускает выделение аналитической ветви в области D ».

Поясним более подробно определение 8. Пусть задана полная аналитическая функция $F(z)$ своим исходным элементом $f_0(z)$ в точке z_0 . И пусть существует точка z_1 , принадлежащая заданной области D , такая, что элемент $f_0(z)$ можно аналитически продолжить по некоторой кривой в точку z_1 и в результате в точке z_1 получится элемент $f_1(z)$ функции $F(z)$.

Предположим, что элемент $f_1(z)$ можно аналитически продолжить по любой кривой, лежащей в области D , с началом в точке $z_1 \in D$, т. е. элемент $f_1(z)$ порождает аналитическую в области D функцию $f(z)$. Тогда каждый элемент $f_2(z)$ функции $f(z)$ в каждой точке $z_0 \in D$ является элементом функции $F(z)$. Таким образом, $f(z)$ — это множество элементов функции $F(z)$ таких, что они получаются в результате аналитического продолжения элемента $f_1(z)$ из точки z_1 по всем кривым, лежащим в области D . В этом случае функцию $f(z)$ называют аналитической ветвью $F(z)$ в области D .

При этом может оказаться, что функция $f(z)$ однозначна и, следовательно, регулярна в области D , так как в окрестности каждой точки $z_2 \in D$ функция $f(z)$ является одним из элементов функции $F(z)$ и поэтому функция $f(z)$ регулярна в точке z_2 . Тогда функцию $f(z)$ называют *регулярной ветвью функции $F(z)$ в области D* .

Определение регулярной ветви многозначной функции $F(z)$ (заданной своими значениями и не обязательно аналитической) можно сформулировать следующим образом.

Определение 9. *Регулярной ветвью многозначной функции $F(z)$ в области D называется такая регулярная в этой области функция $f(z)$, что в каждой точке $z \in D$ значение $f(z)$ равно одному из значений функции $F(z)$.*

Для доказательства возможности выделения в области D регулярной ветви аналитической функции $F(z)$ нужно доказать, что в некоторой точке $z_0 \in D$ существует такой элемент $f_0(z)$ функции $F(z)$, что:

- 1) элемент $f_0(z)$ можно аналитически продолжить по любой кривой с началом в точке z_0 , лежащей в области D .
- 2) аналитическая в области D функция $f(z)$, порожденная элементом $f_0(z)$, является однозначной и, следовательно, регулярной в области D .

В § 13 было показано, что можно выделить регулярные ветви многозначных функций $\operatorname{Ln} z$ и $\sqrt[n]{z}$ в плоскости с разрезом $[0, +\infty)$, используя понятие обратной функции.

В общем случае при решении вопроса о выделении регулярных ветвей может оказаться полезной следующая теорема.

Теорема 2 (о монодромии). Пусть элемент $f_0(z)$, заданный в точке $z_0 \in D$, можно аналитически продолжить по любой кривой с началом в точке z_0 и общим концом в точке $z_1 \in D$, и пусть кривые γ_1 и γ_2 , лежащие в области D , можно непрерывно деформировать друг в друга, оставаясь в области D . Тогда в результате аналитического продолжения элемента $f_0(z)$ из точки z_0 в точку z_1 вдоль кривых γ_1 и γ_2 в точке z_1 получается один и тот же элемент.

Доказательство этой теоремы см. в [8].

Если D — односвязная область, то любые две кривые с общим началом и общим концом можно непрерывно деформировать друг в друга, оставаясь в области D .

Следствие. Аналитическая в односвязной области функция однозначна и, следовательно, регулярна.

Теорема о монодромии не позволяет решить вопрос о выделении регулярных ветвей функции $F(z)$, аналитической в неодносвязной области D .

Эту проблему можно решать так. Пусть $f_0(z)$ — какой-нибудь элемент функции $F(z)$ в точке $z_0 \in D$ и пусть $\tilde{\gamma}$ — замкнутая кусочно-гладкая кривая, лежащая в области D , z_0 — ее начало. Здесь и в дальнейшем такую кривую будем называть *простым контуром*.

Аналитически продолжив элемент $f_0(z)$ по кривой $\tilde{\gamma}$, найдем элемент $g_0(z)$ в точке z_0 . Условимся коротко эту процедуру записывать так:

$$f_0(z) \xrightarrow{\tilde{\gamma}} g_0(z).$$

Теорема 3. Если при обходе по любому контуру $\tilde{\gamma} \in D$

$$f_0(z) \xrightarrow{\tilde{\gamma}} f_0(z),$$

то элемент $f_0(z)$ порождает регулярную в области D ветвь функции $F(z)$. Иными словами, в области D существует регулярная функция $F_0(z)$ такая, что

$$F_0(z) \equiv f_0(z)$$

в окрестности точки z_0 .

С интуитивной точки зрения эта теорема вполне очевидна. Строгое доказательство теоремы 2 содержится, например, в [10]. Если же существует контур $\tilde{\gamma} \subset D$ такой, что

$$f_0(z) \xrightarrow{\tilde{\gamma}} g_0(z), \quad \text{где } g_0(z) \neq f_0(z),$$

то функция $F(z)$ не допускает выделение регулярных ветвей в области D . В дальнейшем теорема 2 будет использована для исследования логарифмической и степенной функций.

§ 18. Логарифмическая функция

Многозначная логарифмическая функция $\text{Ln } z$ была определена в § 13 как обратная к показательной формулой

$$\text{Ln } z = \ln |z| + i \text{Arg } z = \ln |z| + i(\arg z + 2k\pi),$$

где $k \in \mathbb{Z}$, $\arg z$ — одно из значений аргумента z , $z \neq 0$. Было установлено, что в плоскости с разрезом $[0, +\infty)$ функция $\text{Ln } z$ имеет бесконечное множество регулярных ветвей.

Функцию $\text{Ln } z$ можно ввести как аналитическое продолжение функции $\ln x$, $x > 0$, используя теорему единственности.

1. Определение логарифмической функции

В курсе математического анализа логарифмическая функция $\ln x$ определяется при $x > 0$ и изучаются ее свойства. Естественно определить логарифмическую функцию для комплексных значений z как аналитическое продолжение функции $\ln x$. Рассмотрим наиболее простой способ осуществления такого аналитического продолжения.

В курсе математического анализа доказывается, что функция $\ln x$ на интервале $0 < x < 2$ представляется рядом Тейлора

$$\ln x = \ln[1 + (x - 1)] = \sum_{n=1}^{\infty} \frac{(-1)^{n-1}}{n} (x - 1)^n,$$

сходящимся к этой функции на интервале $(0, 2)$.

Этот ряд при комплексных значениях z обозначим $f_0(z)$, т. е.

$$f_0(z) = \sum_{n=1}^{\infty} \frac{(-1)^{n-1}}{n} (z - 1)^n, \quad z \in K_0 : |z - 1| < 1. \quad (1)$$

Ряд (1) сходится в круге K_0 , т. е. является элементом в точке $z_0 = 1$, и $f_0(x) = \ln x$ при $0 < x < 2$. Следовательно, функция $f_0(z)$ является аналитическим продолжением (и притом единственным) функции $\ln x$ с интервала $0 < x < 2$ в круг K_0 .

Аналитическую функцию с исходным элементом (1) назовем *логарифмической* и обозначим $\operatorname{Ln} z$.

2. Свойства логарифмической функции

Свойство 1. Элемент (1) можно представить интегралом

$$f_0(z) = \int_1^z \frac{d\zeta}{\zeta}, \quad z \in K_0, \quad (2)$$

по любой кривой γ , лежащей в круге K_0 .

○ Докажем равенство (2) с помощью теоремы единственности.

1. Функция $f_0(z)$, заданная формулой (1), регулярна в круге K_0 .
2. Интеграл, стоящий в правой части равенства (2), не зависит от пути интегрирования γ и является регулярной в круге K_0 функцией, так как подынтегральная функция регулярна в круге K_0 .
3. Если $x \in (0, 2)$, то при действительных $\zeta = t$ интеграл (2) равен $\int_1^x \frac{dt}{t} = \ln x$.

По теореме единственности интеграл (2) совпадает с функцией (1) во всем круге K_0 , т. е. верна формула (2). ●

Свойство 2. Элемент (1) можно аналитически продолжить по любой кривой γ с началом в точке $z = 1$, не проходящей через точку $z = 0$, и это продолжение определяет на кривой γ непрерывную

функцию

$$F_\gamma(z) = \int_1^z \frac{d\zeta}{\zeta}, \quad z \in \gamma, \quad (3)$$

а в каждой точке $z_1 \in \gamma$ — элемент

$$f_1(z) = \int_1^{z_1} \frac{d\zeta}{\zeta} + \int_{z_1}^z \frac{d\zeta}{\zeta}, \quad z \in K_1 : |z - z_1| < R \leq |z_1|, \quad (4)$$

где правая часть формулы (3) и первое слагаемое в правой части равенства (4) — это интегралы по кривой γ , а второе слагаемое в правой части равенства (4) — это интеграл по любой кривой, лежащей в круге K_1 (рис. 44).

○ Докажем, что элементы (2) удовлетворяют определению 4, § 17.

1. Интеграл (3) является непрерывной функцией на кривой γ как интеграл с переменным верхним пределом от непрерывной на γ функции.
2. Функция (4) является элементом в точке z_1 , т. е. регулярной в круге K_1 функцией, так как первый из интегралов в формуле (4) не зависит от z , а второй интеграл не зависит от пути интегрирования и является регулярной в круге K_1 функцией, так как подынтегральная функция регулярна в круге K_1 (рис. 44).

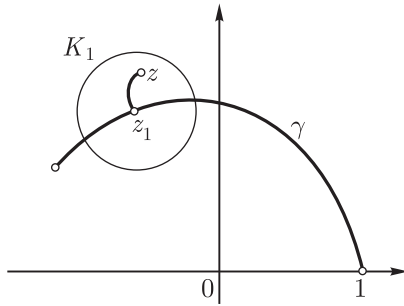


Рис. 44

3. Пусть в формуле (4) точка z принадлежит дуге кривой γ , лежащей в круге K_1 . Выберем во втором интеграле (4) путь интегрирования от z_1 до z по кривой γ . Тогда по свойствам интегралов сумма интегралов (4) равна интегралу (3), т. е. $f_1(z) = F_\gamma(z)$, если z принадлежит дуге кривой γ , лежащей в некоторой окрестности точки z_1 . ●

Свойство 3. Все значения функции $\operatorname{Ln} z$ в точке $z \neq 0$ определяются формулой

$$\operatorname{Ln} z = \ln |z| + i \operatorname{Arg} z, \quad (5)$$

где $\operatorname{Arg} z = \arg z + 2k\pi$, $k \in \mathbb{Z}$, $\arg z$ — одно из значений аргумента числа z , т. е.

$$\operatorname{Ln} z = \ln |z| + i(\varphi + 2\pi k), \quad k \in \mathbb{Z}. \quad (6)$$

О Вычислим первый интеграл в формуле (4), т. е. найдем $f_1(z)$.

Пусть $\zeta(t) = r(t)e^{i\varphi(t)}$, $\alpha \leq t \leq \beta$, — параметрическое уравнение кривой γ с началом в точке $z = 1$ и концом в точке z_1 . Тогда

$$\begin{aligned} d\zeta &= r'(t)e^{i\varphi(t)}dt + ir(t)\varphi'(t)e^{i\varphi(t)}dt, \\ \frac{d\zeta}{\zeta} &= \frac{r'(t)}{r(t)}dt + i\varphi'(t)dt, \end{aligned}$$

и поэтому

$$f_1(z_1) = \int_{\alpha}^{\beta} \frac{r'(t)}{r(t)} dt + i \int_{\alpha}^{\beta} \varphi'(t) dt = \ln r(\beta) - \ln r(\alpha) + i[\varphi(\beta) - \varphi(\alpha)].$$

Так как $r(\alpha) = 1$, то полагая $\Delta\varphi = \varphi(\beta) - \varphi(\alpha)$, получаем

$$f_1(z_1) = \ln |z_1| + i\Delta\gamma \arg z, \quad (7)$$

где $\Delta\varphi$ — угол поворота вектора z при движении точки z по кривой γ от точки $z = 1$ до точки z_1 . Этот угол называется приращением аргумента z вдоль кривой γ и обозначается $\Delta_{\gamma} \arg z$ (рис. 45), см. § 6, п. 2.

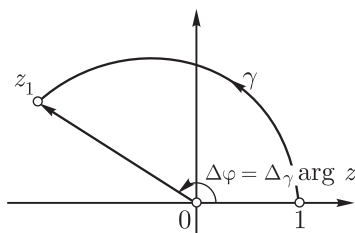


Рис. 45

Свойства приращения аргумента рассмотрены в § 6.

Из формулы (7) следует, что элемент $f_0(z)$, заданный формулой (1), нельзя аналитически продолжить по кривой γ (с началом в точке $z = 1$), проходящей через точку $z = 0$. В самом деле, аналитическое продолжение должно определять на такой кривой γ непрерывную функцию $F_{\gamma}(z)$, значения которой в точках кривой γ от

точки $z = 1$ до точки $z = 0$ в силу формулы (7) находятся по формуле $F_\gamma(z) = \ln |z| + i\Delta_\gamma \arg z$, но $\ln |z| \rightarrow \infty$ при $z \rightarrow 0$ и поэтому $F_\gamma(z) \rightarrow \infty$ при $z \rightarrow 0$, $z \in \gamma$.

Таким образом, функция $\operatorname{Ln} z$ — это множество элементов (4), где z_1 — любая точка, $z_1 \neq 0$, а γ — различные кривые, не проходящие через точку $z = 0$ с началом в точке $z = 1$ и концом в точке z_1 .

Заметим, что в формуле (7) $\Delta\varphi = \varphi$ — одно из значений $\arg z_1$ (рис. 46), причем в зависимости от того, сколько оборотов вокруг точки $z = 0$ делает кривая γ (по часовой или против часовой стрелки), φ может быть любым значением $\arg z_1$ (на рис. 46 $\Delta_{\gamma_1} \arg z = \varphi + 2\pi$, $\Delta_{\gamma_2} \arg z = \varphi - 2\pi$). Следовательно, все значения функции $\operatorname{Ln} z$ в точке $z_1 \neq 0$ определяются формулой

$$\operatorname{Ln} z_1 = \ln |z_1| + i(\varphi + 2\pi k), \quad k \in \mathbb{Z}, \quad (8)$$

где φ — одно из значений $\arg z_1$.

Так как в формуле (8) $z_1 \neq 0$ — любая точка, то, обозначая $z_1 = z$, получаем формулу (6), которую кратко можно записать в виде (5). ●

Пример 1. Вычислим по формуле (7) значение $\operatorname{Ln} z$ в заданной точке z_1 , полученное в результате аналитического продолжения исходного элемента $f_0(z)$ вдоль заданной кривой γ , находя $\Delta_\gamma \arg z$ геометрически из рисунка.

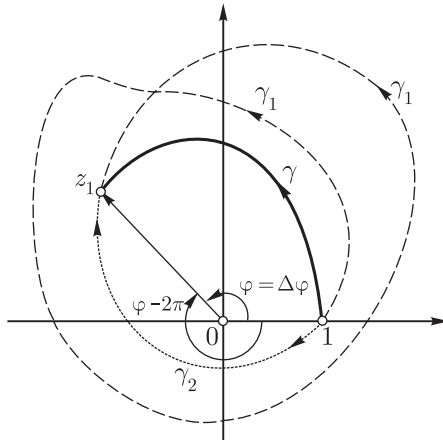


Рис. 46

1. Пусть $z_1 = 2i$, γ — отрезок $[1, 2i]$. Тогда $\operatorname{Ln} 2i = \ln 2 + \frac{\pi i}{2}$ (рис. 47).
2. Пусть $z_1 = -1$, γ_+ — полуокружность $|z| = 1$, $\operatorname{Im} z \geq 0$, ориентированная против часовой стрелки. Тогда $\operatorname{Ln}(-1) = \pi i$ (рис. 48).
3. Пусть $z_1 = -1$, γ_- — полуокружность $|z| = 1$, $\operatorname{Im} z \leq 0$, ориентированная по часовой стрелке. Тогда $\operatorname{Ln}(-1) = -\pi i$ (рис. 48).

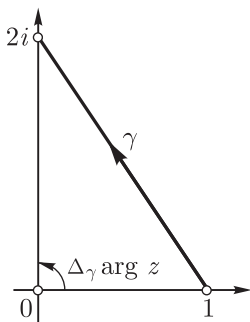


Рис. 47

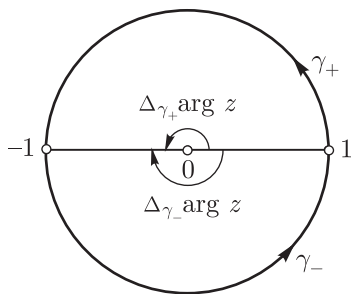


Рис. 48

Пример 2. Найдем по формуле (6) все значения функции $\operatorname{Ln} z$ в заданной точке:

- 1) $\operatorname{Ln}(-3) = \ln 3 + \pi(1 + 2k)i$, $k \in \mathbb{Z}$;
- 2) $\operatorname{Ln}(-i) = -\frac{\pi i}{2} + 2\pi ki$, $k \in \mathbb{Z}$;
- 3) $\operatorname{Ln}(-1 + i) = \ln \sqrt{2} + \frac{3\pi i}{4}$, $k \in \mathbb{Z}$.

Отметим, что функция $\operatorname{Ln} z$ является обратной к функции e^z , так как из формулы (5) получается равенство $e^{\operatorname{Ln} z} = z$.

Свойство 4. Пусть $f(z)$ — элемент функции $\operatorname{Ln} z$ в точке $z \neq 0$. Тогда

$$f'(z) = \frac{1}{z}. \quad (9)$$

О Доказано, что функция $\operatorname{Ln} z$ — это множество элементов (4). В формуле (4) первый интеграл не зависит от z , а второй является первообразной функции $\frac{1}{z}$ в круге K_1 . Следовательно, $f'(z) = \frac{1}{z}$. Заменяя здесь $f_1(z)$ на $f(z)$, получаем формулу (9). ●

Свойство 5. Пусть $f(z)$ — элемент функции $\text{Ln } z$ в точке $z \neq 0$. Тогда этот элемент представляется рядом Тейлора

$$f(z) = f(z_0) + \sum_{n=1}^{\infty} \frac{(-1)^{n-1}}{nz_0^n} (z - z_0)^n, \quad (10)$$

сходящимся к функции $f(z)$ в круге $K_0: |z - z_0| < |z_0|$; все элементы функции $\text{Ln } z$ в точке z_0 имеют вид

$$\text{Ln } z = \text{Ln } z_0 + \sum_{n=1}^{\infty} \frac{(-1)^{n-1}}{nz_0^n} (z - z_0)^n, \quad (11)$$

где $\text{Ln } z_0$ — все значения функции $\text{Ln } z$ в точке z_0 .

О В формуле (4) первый интеграл равен $f_1(z_1)$. По свойству 4: $f_1'(z) = \frac{1}{z}$, откуда $f_1^{(n)}(z_1) = (-1)^{n-1}(n-1)! \frac{1}{z_1^n}$, $n = 1, 2, 3, \dots$. По формуле Тейлора получаем:

$$f_1(z) = f_1(z_1) + \sum_{n=1}^{\infty} \frac{(-1)^{n-1}}{nz_1^n} (z - z_1)^n. \quad (12)$$

Этот ряд сходится к функции $f_1(z)$ в круге $K_1: |z - z_1| < |z_1|$, так как функция $f_1(z)$ регулярна в этом круге. Обозначая $f_1(z) = f(z)$, $z_1 = z_0$, из (12) получаем формулу (10).

В формуле (10) число $f(z_0)$ — одно из значений функции $\text{Ln } z$ в точке z_0 . Перебирая все значения функции $\text{Ln } z$ в точке z_0 , получаем разложения в ряды Тейлора (11) всех элементов функции $\text{Ln } z$ в круге K_0 . ●

Замечание 1. В формуле (11) ряд под знаком суммы один и тот же для всех значений $\text{Ln } z_0$. Следовательно, любой элемент функции $\text{Ln } z$ в любой точке $z_0 \neq 0$ полностью определяется заданием своего значения в этой точке (формула (10)).

В общем случае аналитическая функция может не обладать таким свойством.

Замечание 2. Так как значения функции $\text{Ln } z$ в одной и той же точке $z_0 \neq 0$ отличаются друг от друга на $2\pi ki$, где k — целое число (формула (6)), то из формулы (11) следует, что если $f(z)$ и $\tilde{f}(z)$ — элементы функции $\text{Ln } z$ в одной и той же точке $z_0 \neq 0$, то

$$f(z) - \tilde{f}(z) \equiv 2\pi ki, \quad |z - z_0| < |z_0|,$$

где k — некоторое целое число.

Замечание 3. Формулу (11) можно не запоминать, а получить ее формально такими же преобразованиями, как если бы z и z_0 были

действительными:

$$\begin{aligned}\operatorname{Ln} z &= \operatorname{Ln} [z_0 + (z - z_0)] = \operatorname{Ln} \left[z_0 \left(1 + \frac{z - z_0}{z_0} \right) \right] = \\ &= \operatorname{Ln} z_0 + \operatorname{Ln} \left(1 + \frac{z - z_0}{z_0} \right) = \operatorname{Ln} z_0 + \sum_{n=1}^{\infty} \frac{(-1)^{n-1}}{nz_0^n} (z - z_0)^n.\end{aligned}$$

Пример 3. Найдем разложения в ряды Тейлора всех элементов функции $\operatorname{Ln} z$ в круге $|z + 3i| < 3$ по степеням $(z + 3i)$.

Получаем:

$$\begin{aligned}\operatorname{Ln} z &= \operatorname{Ln} [-3i + (z + 3i)] = \operatorname{Ln} \left[(-3i) \left(1 - \frac{z + 3i}{3i} \right) \right] = \\ &= \operatorname{Ln} (-3i) + \operatorname{Ln} \left(1 - \frac{z + 3i}{3i} \right) = \\ &= \ln 3 - \frac{\pi i}{2} + 2\pi k i - \sum_{n=1}^{\infty} \frac{1}{n(3i)^n} (z + 3i)^n, \quad k = 0, \pm 1, \pm 2, \dots\end{aligned}$$

Свойство 6. Пусть $f_1(z)$ — элемент функции $\operatorname{Ln} z$ в точке $z_1 \neq 0$, заданный значением $f_1(z_1) = \ln |z_1| + i\varphi_1$, где φ_1 — одно из значений $\arg z_1$. И пусть $f_2(z)$ — результат аналитического продолжения элемента $f_1(z)$ из точки z_1 в точку $z_2 \neq 0$ вдоль кривой γ_1 , не проходящей через точку $z = 0$ (рис. 49). Тогда

$$f_2(z_2) = \ln |z_2| + i(\varphi_1 + \Delta\varphi) = \ln |z_2| + i(\varphi_1 + \Delta_{\gamma_1} \arg z). \quad (13)$$

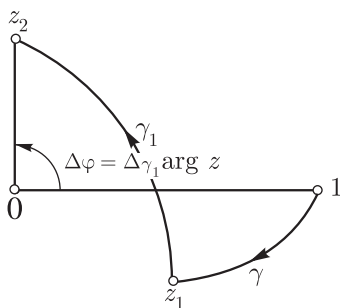


Рис. 49

○ По свойству 2 функция $f_1(z)$ — результат аналитического продолжения элемента (1) из точки $z = 1$ в точку z_1 вдоль некоторой кривой γ , не проходящей через точку $z = 0$ (рис. 49). Поэтому $f_2(z)$ — результат аналитического продолжения элемента (1) из точки $z = 1$ в точку z_2

вдоль кривой γ_1 . Это аналитическое продолжение определяет на кривой γ_1 непрерывную функцию

$$F_{\gamma_1}(z) = \int_1^z \frac{d\zeta}{\zeta}, \quad z \in \gamma_1.$$

Поэтому

$$f_2(z_2) = \int_1^{z_2} \frac{d\zeta}{\zeta} = \int_1^{z_1} \frac{d\zeta}{\zeta} + \int_{z_1}^{z_2} \frac{d\zeta}{\zeta}. \quad (14)$$

В этой формуле первый интеграл равен $f_1(z_1) = \ln|z_1| + i\varphi_1$, а второй (вычисляется так же, как и в свойстве 3) равен $\ln|z_2| - \ln|z_1| + i\Delta_{\gamma_1} \arg z$. Следовательно, из формулы (14) получается формула (13). ●

Пример 4. Пусть $f_1(z)$ — элемент функции $\operatorname{Ln} z$ в точке $z \neq 0$. Найдём элемент $f_2(z)$, который получается в результате аналитического продолжения элемента $f_1(z)$ из точки z_1 в ту же точку z_1 вдоль окружности $\gamma : |z| = |z_1|$ (рис. 50), ориентированной против часовой стрелки. (Коротко будем говорить: «Совершим обход вокруг точки $z = 0$ в положительном направлении».)

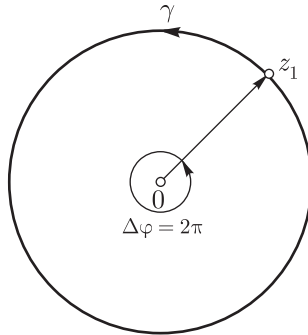


Рис. 50

По формуле (13) с помощью рис. 50 находим $f_2(z_1) = f_1(z_1) + 2\pi i$. Поэтому $f_2(z) = f_1(z) + 2\pi i$ (см. замечание 2). В этом случае будем говорить, что после одного обхода вокруг точки $z = 0$ элемент $f_1(z)$ переходит в элемент $f_1(z) + 2\pi i$ и писать

$$f_1(z) \rightarrow f_1(z) + 2\pi i.$$

После второго, третьего и т. д. оборотов вокруг точки $z = 0$ в положительном направлении получаем:

$$f_1(z) \rightarrow f_1(z) + 2\pi i \rightarrow f_1(z) + 4\pi i \rightarrow f_1(z) + 6\pi i \rightarrow \dots$$

Аналогично, после первого, второго и т. д. оборотов вокруг точки $z = 0$ в отрицательном направлении (по часовой стрелке) получаем:

$$f_1(z) \rightarrow f_1(z) - 2\pi i \rightarrow f_1(z) - 4\pi i \rightarrow f_1(z) - 6\pi i \rightarrow \dots$$

Итак, в результате аналитического продолжения после каждого оборота вокруг точки $z = 0$ в положительном и отрицательном направлениях в точке z_1 получаются новые элементы. В таком случае точку $z = 0$ называют *логарифмической точкой ветвления* функции $\operatorname{Ln} z$ (см. § 20).

Замечание 4. Пусть $f_1(z)$ — элемент функции $\operatorname{Ln} z$, заданный в точке $z_1 \neq 0$. Аналитическую функцию с исходным элементом $f_1(z)$ обозначим $F(z)$. По свойствам функции $\operatorname{Ln} z$ получается, что функция $F(z)$ — это множество тех же элементов, что и множество элементов функции $\operatorname{Ln} z$. Во многих задачах не имеет значения, какой из элементов аналитической функции принят за исходный (см. примеры 2–4). Поэтому функцию $F(z)$ также называют логарифмической и обозначают $\operatorname{Ln} z$. Таким образом, $\operatorname{Ln} z$ — это совокупность аналитических функций, имеющих одно и то же множество элементов и отличающихся друг от друга только исходными элементами. В этом случае будем говорить также, что $\operatorname{Ln} z$ — это одна аналитическая функция с точностью до исходного элемента.

3. Регулярные ветви функции $\operatorname{Ln} z$

Функция $\operatorname{Ln} z$ аналитична в любой области G , не содержащей точки $z = 0$. Если результат аналитического продолжения элемента $f_0(z)$ функции $\operatorname{Ln} z$ из точки $z_1 \neq 0$ в произвольную точку z области G , заданного значением $\arg z_1 = \alpha$, не зависит от кривой $\gamma_{z_1 z} \in G$ (z_1 — начало, z — конец этой кривой), то в результате аналитического продолжения в точке z получается один и тот же элемент. Тогда аналитическая функция, порождаемая элементом $f_0(z)$, регулярна в области G и является регулярной ветвью функции $\operatorname{Ln} z$. Условие независимости величины $\Delta_{\gamma_{z_1, z}} \arg z = \operatorname{Im} \int_{\gamma_{z_1, z}} \frac{d\zeta}{\zeta}$ от кривой $\gamma_{z_1, z}$ в односвязной

области G равносильно условию

$$\Delta_{\gamma_0} \arg z = 0, \quad (15)$$

где $\gamma_0 \in G$ — произвольная замкнутая кусочно-гладкая кривая.

Условие (15) выполняется, например, в круге $|z - z_0| < |z_0|$, $z_0 \neq 0$, с центром в точке z_0 , не содержащем точку $z = 0$, а также в плоскости с разрезом, соединяющим точки $z = 0$ и $z = \infty$ (см. § 6). Условие (15) выполняется и в неодносвязной области, если в ней нельзя провести замкнутый контур, обходящий точку $z = 0$.

Условие (15) является необходимым и достаточным для существования регулярных ветвей функции $\operatorname{Ln} z$ в области G (односвязной или неодносвязной) (см. § 17, теорема 2). В этом случае говорят, что многозначная функция $\operatorname{Ln} z$ распадается в области G на регулярные ветви.

Пример 5. Пусть G — комплексная плоскость с разрезом по отрезкам $[1; 3]$, $[3, 3 + i]$ и лучу $(-\infty + i, 3 + i]$. Так как в этой области нельзя провести замкнутый контур, обходящий точку $z = 1$, то в области G выполняется условие (15) и поэтому аналитическая функция $\operatorname{Ln}(z - 1)$ распадается в области G на регулярные ветви, каждая из которых полностью определяется своим значением в точке $z_0 \in G$ — одним из значений $\operatorname{Ln}(z - 1)$.

4. Регулярные ветви функции $\operatorname{Ln} f(z)$

Пусть функция $w = f(z)$ регулярна в области G и удовлетворяет условию

$$f(z) \neq 0 \quad \forall z \in G. \quad (16)$$

Рассмотрим функцию

$$\operatorname{Ln} f(z) = \ln |f(z)| + i \operatorname{Arg} f(z).$$

Эта функция, полученная при решении уравнения $e^w = f(z)$, является многозначной. Ее можно рассматривать как суперпозицию регулярной функции $f(z)$ и функции $\operatorname{Ln} w$, которая является аналитической в области G , так как $w = f(z) \neq 0$ (условие (16)). Если $f_0(z) = f(z)$ — элемент функции f в точке a (сама функция $f(z)$), а $h_0(w)$ — элемент функции $\operatorname{Ln} w$ в точке $w_0 = f(a)$, то $g_0(z) = h_0(f_0(z))$ — элемент функции $\operatorname{Ln} f(z)$ в точке a , так как $g_0(z)$ регулярна в точке a как суперпозиция регулярных функций.

Пусть $\gamma \subset G$ — кусочно-гладкая кривая, заданная уравнением

$$z = z(t), \quad \alpha \leq t \leq \beta. \quad (17)$$

Γ — образ кривой γ при отображении $w = f(z)$, тогда уравнение кривой Γ имеет вид

$$w = w(t) = f(z(t)), \quad \alpha \leq t \leq \beta, \quad (18)$$

а результат аналитического продолжения элемента $g_0(z)$ из точки $a \in G$ в точку $z \in G$ вдоль кривой $\gamma = \gamma_{az}$ имеет вид (см. пп. 2 и 3)

$$w_0(z) = \ln |f(z)| + i(\alpha + \Delta_\gamma \arg f(z)), \quad (19)$$

где $\alpha = \arg f(a)$,

$$\Delta_\gamma \arg f(z) = \Delta_\Gamma \arg w = \operatorname{Im} \int_\Gamma \frac{dw}{w} = \operatorname{Im} \int_\gamma \frac{f'(\zeta)}{f(\zeta)} d\zeta. \quad (20)$$

Теорема. Если функция $f(z)$ регулярна в области G и удовлетворяет условию (16), то результат аналитического продолжения элемента $g_0(z)$ из точки a в точку $z \in G$ не зависит от контура $\gamma \in G$, где $\gamma = \gamma_{az}$ — кусочно-гладкая кривая с началом в точке a и концом в точке z , тогда и только тогда, когда в области G выполняется условие

$$\Delta_{\tilde{\gamma}} \arg f(z) = 0, \quad (21)$$

где $\tilde{\gamma} \subset G$ — произвольная замкнутая кусочно-гладкая кривая (простой контур).

Доказательство. В односвязной области условие (21) выполняется, так как простой контур можно непрерывно деформировать в точку $a \in G$.

Пусть выполняется условие (16) и $\Delta_\gamma \arg f(z)$ не зависит от пути интегрирования $\gamma = \gamma_{az}$. Рассмотрим функцию

$$\Phi(z) = \int_{\gamma_{az}} \frac{f'(\zeta)}{f(\zeta)} d\zeta = \int_a^z \frac{f'(\zeta)}{f(\zeta)} d\zeta. \quad (22)$$

Так как подынтегральная функция в (22) регулярна в области G (f регулярна и $f \neq 0$ в области G), а интеграл (22) не зависит от пути интегрирования, то подынтегральная функция имеет первообразную в области G (§ 8, п. 3), к ней применима формула Ньютона–Лейбница и тогда выполняется условие (21), откуда следует (формула (19) и равенство (20)), что $w_0(z)$ — регулярная ветвь многозначной функции, определяемая значением $\arg f(a)$.

Обратно: если функция $f(z)$ регулярна в области и удовлетворяет условию (21), то из равенства (20) следует, что

$\Delta_\gamma \arg f(z) = \Delta_{\gamma_{az}} \arg f(z)$ не зависит от γ и тогда из (19) следует, что $w_0(z)$ — регулярная ветвь функции $\operatorname{Ln} f(z)$, определяемая значением $\arg f(a)$. ●

Этот же результат можно получить, используя теорему 2 (§ 17), так как при выполнении условия (16) из (19) следует, что

$$g_0(z) \xrightarrow{\tilde{\gamma}} g_0(z) \quad \forall \tilde{\gamma} \subset G,$$

где $g_0(z)$ — элемент функции $F(z) = \operatorname{Ln} f(z)$, заданный в точке $z_0 \in G$, $\tilde{\gamma}$ — произвольный простой контур.

Из формулы (19) следует, что если задано значение $\alpha = \arg f(a)$, то значение $w_0(b)$ регулярной ветви функции $\operatorname{Ln} f(z)$ (при выполнении условия (21)) можно найти по формуле

$$w_0(b) = \ln |f(b)| + i(\arg f(a) + \Delta_{\gamma_{ab}} \arg f(z)), \quad (23)$$

$\gamma_{ab} \subset G$, a — начало, b — конец кривой γ_{ab} .

Заметим, что $\operatorname{Arg} f(a) = \arg f(a) + 2k\pi$, $k \in \mathbb{Z}$.

Поэтому все регулярные ветви функции $\operatorname{Ln} f(z)$ имеют вид

$$w_k(z) = w_0(z) + 2k\pi i, \quad k \in \mathbb{Z}. \quad (24)$$

Так как

$$e^{w_k(z)} = f(z), \quad z \in G, \quad (25)$$

то дифференцируя тождество (25), получаем

$$e^{w_k(z)} w'_k(z) = f'(z), \quad \text{или} \quad f(z) w'_k(z) = f'(z),$$

откуда

$$w'_k(z) = \frac{f'(z)}{f(z)}. \quad (26)$$

Во многих задачах, относящихся к регулярным ветвям функции $\operatorname{Ln} f(z)$, часто рассматриваются случаи, когда $f(z)$ представляется в виде произведения или частного регулярных функций. Поэтому полезными оказываются следующие свойства приращения аргумента $f(z)$.

Пусть функции $f(z)$, $f_1(z)$, $f_2(z)$ — регулярные в области G функции, удовлетворяющие условию (16), γ — кусочно-гладкая кривая, $\gamma \in G$. Тогда

$$\Delta_\gamma \arg(f_1(z)f_2(z)) = \Delta_\gamma \arg f_1(z) + \Delta_\gamma \arg f_2(z), \quad (27)$$

$$\Delta_\gamma \arg \frac{f_1(z)}{f_2(z)} = \Delta_\gamma \arg f_1(z) - \Delta_\gamma \arg f_2(z), \quad (28)$$

$$\Delta_\gamma \arg \frac{1}{f(z)} = -\Delta_\gamma \arg f(z), \quad (29)$$

$$\Delta_{\gamma^{-1}} \arg f(z) = -\Delta_\gamma \arg f(z), \quad (30)$$

γ^{-1} получена из γ изменением ориентации на противоположную.

Если $\gamma = \gamma_1 \gamma_2$ (кривая γ разбита на кривые γ_1 и γ_2), то

$$\Delta_\gamma \arg f(z) = \Delta_{\gamma_1} \arg f(z) + \Delta_{\gamma_2} \arg f(z). \quad (31)$$

Все перечисленные свойства аргумента можно доказать, используя формулу (20) и свойства интеграла. Докажем, например, равенство (27).

$$\begin{aligned} \Delta_\gamma \arg(f_1 f_2) &= \operatorname{Im} \int_\gamma \frac{(f_1 f_2)'}{f_1 f_2} dz = \operatorname{Im} \int_\gamma \frac{f_1' f_2 + f_1 f_2'}{f_1 f_2} dz = \\ &= \operatorname{Im} \left[\int_\gamma \frac{f_1'}{f_1} + \frac{f_2'}{f_2} \right] dz = \Delta_\gamma \arg f_1(z) + \Delta_\gamma \arg f_2(z). \end{aligned}$$

Пример 6. Пусть

$$F(z) = \operatorname{Ln} \frac{(z+1)(z+3)}{(z-2)(z-4)}.$$

Покажем, что если G — плоскость с разрезом по отрезкам $\Delta_1 = [-3; -1]$ и $\Delta_2 = [2; 4]$, то в этой области существуют регулярные ветви функции $F(z)$.

Функция $f(z) = \frac{(z+1)(z+3)}{(z-2)(z-4)}$ регулярна в области G и $f(z) \neq 0$ для всех $z \in G$.

Проверим, выполняется ли в области G условие (21).

Пусть $\tilde{\gamma}$ — простой контур, ориентированный против часовой стрелки, $z_1 = -1$, $z_2 = -3$, $z_3 = 2$, $z_4 = 4$ (см. рис. 51).

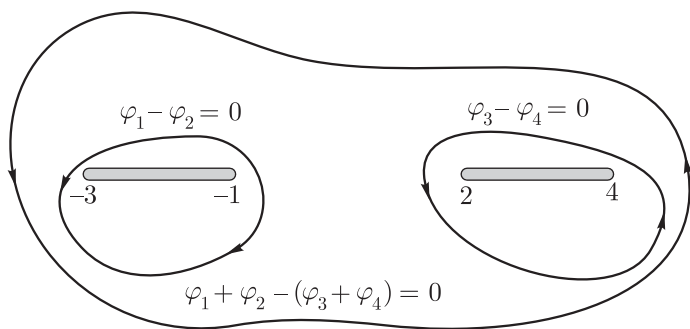


Рис. 51

Возможны 3 случая:

- 1) $\tilde{\gamma}$ не содержит внутри себя ни одну из точек z_k ;
- 2) $\tilde{\gamma}$ содержит внутри себя один из отрезков Δ_1 , Δ_2 ;
- 3) $\tilde{\gamma}$ содержит внутри себя оба этих отрезка.

Обозначим $\varphi_k = \Delta\gamma \arg(z - z_k)$, $\varphi = \Delta\gamma \arg f(z) = \varphi_1 + \varphi_2 - (\varphi_3 + \varphi_4)$.
В первом случае $\varphi_k = 0$ ($k = \overline{1, 4}$) и $\varphi = 0$.

Во втором случае, либо $\varphi = \varphi_1 - \varphi_2 = 2\pi - 2\pi = 0$, либо $\varphi = \varphi_3 - \varphi_4 = 2\pi - 2\pi = 0$.

В третьем случае $\varphi = \varphi_1 + \varphi_2 - (\varphi_3 + \varphi_4) = 4\pi - 4\pi = 0$.

Итак, в области G выполняется условие (21) и функция $F(z)$ допускает выделение регулярных ветвей в этой области.

Пример 7. Пусть $F(z) = \operatorname{Ln} \frac{z-1}{3-z}$, G — плоскость с разрезом по отрезку $[1; 3]$. Как и в примере 6, можно показать, что в области G существует регулярная ветвь функции $F(z)$.

Пусть $w_0(z)$ — регулярная ветвь функции $F(z)$ такая, что $w_0(2 + i \cdot 0) = 0$, где $2 + i \cdot 0$ — точка $z = 2$ на верхнем берегу разреза (см. рис. 52).

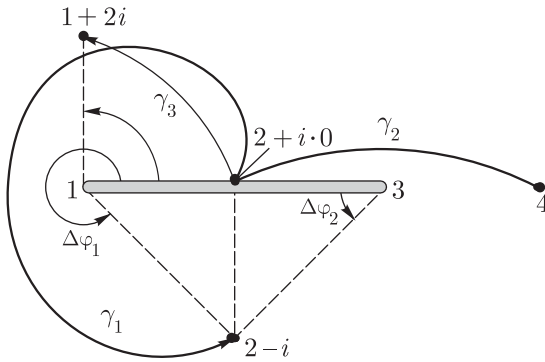


Рис. 52

Решим следующие задачи:

- 1) найдем $w_0(2 - i)$ и $w'_0(2 - i)$; $w_0(4)$, $w'_0(4)$, $w_0(1 + 2i)$;
- 2) разложим функцию $w_0(z)$ в ряд Лорана в окрестности точки $z_0 = 1 + 2i$ по степеням $z - z_0$;
- 3) разложим $w_0(z)$ в ряд Лорана в кольце $3 < |z| < \infty$.

1) Воспользуемся формулами (19) и (26). По формуле (19)

$$w_0(z) = i \arg w_0(2 + i0) + \ln \left| \frac{z-1}{3-z} \right| + i(\Delta\varphi_1 - \Delta\varphi_2),$$

где $\Delta\varphi_1 = \Delta\gamma_1 \arg(z - 1)$, $\Delta\varphi_2 = \Delta\gamma_1 \arg(3 - z) = \Delta\gamma_1 \arg(z - 3)$, γ_1 — кривая, соединяющая точку $2 + i0$ с точкой $2 - i$ (см. рис. 52).

а) Если $z = 2 - i$, то $\Delta\varphi_1 = \frac{5\pi}{4}$, $\Delta\varphi_2 = -\frac{\pi}{4}$ и

$$w_0(2 - i) = 0 + \ln \left| \frac{2 - i - 1}{3 - 2 + i} \right| + i \left(\frac{5\pi}{4} - \frac{\pi}{4} \right) = i\pi.$$

Для нахождения производной воспользуемся формулой (26):

$$w'_0(2 - i) = \frac{f'(2 - i)}{f(2 - i)},$$

где $f(z) = \frac{z-1}{3-z}$, $f'(z) = -\frac{2}{(z-3)^2}$. Тогда $w'_0(2 - i) = -i$.

б) Если $z = 4$, γ_2 — кривая, соединяющая точку $2 + i \cdot 0$ с точкой 4, то $\Delta_{\gamma_2} \arg f(z) = 0 - (-\pi) = \pi$, $\ln \left| \frac{4-1}{3-4} \right| = \ln 3$,

$$w_0(4) = \ln 3 + i\pi, \quad w'_0(4) = \frac{2}{3}.$$

в) Если $z = 1 + 2i$, γ_3 — кривая, соединяющая точку $2 + i0$ с точкой $1 + 2i$, то $\Delta_{\gamma_3} \arg f(z) = \Delta_{\gamma_3} \arg(z-1) - \Delta_{\gamma_3} \arg(z-3) = \frac{\pi}{2} - \left(-\frac{\pi}{4}\right) = \frac{3\pi}{4}$ (см. рис. 52),

$$\begin{aligned} \ln \left| \frac{1+2i-1}{3-(1+2i)} \right| &= \ln \left| \frac{i}{1+i} \right| = -\frac{1}{2} \ln 2, \\ w_0(1+2i) &= -\frac{1}{2} \ln 2 + \frac{3\pi}{4} i. \end{aligned}$$

2) Разложим в ряд Тейлора в окрестности точки $1 + 2i$ все регулярные ветви функции $F(z)$, а затем выделим ветвь $w_0(z)$. Положим $t = z - (1 + 2i)$ и преобразуем $F(z)$:

$$\begin{aligned} F(z) &= \operatorname{Ln} \frac{z-1}{3-z} = \operatorname{Ln} \frac{t+2i}{2(1-i)-t} = \operatorname{Ln} \frac{2i \left(1 + \frac{t}{2i}\right)}{2(1-i) \left(1 - \frac{t}{2(1-i)}\right)} = \\ &= \Phi(t) = \operatorname{Ln} \frac{2i}{2(1-i)} + \operatorname{Ln} \left(1 + \frac{t}{2i}\right) - \operatorname{Ln} \left(1 - \frac{t}{2(1-i)}\right), \end{aligned}$$

где $\frac{2i}{2(1-i)} = \frac{e^{i\frac{\pi}{2}}}{\sqrt{2}e^{-i\frac{\pi}{4}}} = \frac{e^{\frac{3\pi i}{4}}}{\sqrt{2}}$. Тогда

$$\begin{aligned}\Phi(t) &= -\frac{1}{2} \ln 2 + \left(\frac{3\pi}{4} + 2k\pi\right) i + \sum_{n=1}^{\infty} \frac{(-1)^{n-1}}{n(2i)^n} t^n + \sum_{n=1}^{\infty} \frac{t^n}{n2^n(1-i)^n}, \\ F(z) &= -\frac{1}{2} \ln 2 + \left(\frac{3\pi}{4} + 2k\pi\right) i + \\ &+ \sum_{n=1}^{\infty} \frac{1}{n2^n} \left(\frac{1}{(1-i)^n} - i^n\right) (z-1-2i)^n, \quad k \in \mathbb{Z}.\end{aligned}$$

Этот ряд сходится в круге $|z-1-2i| < 2$, а его сумма при фиксированном k равна $w_k(z)$, где $w_k(z)$ — одна из регулярных ветвей функции $F(z)$.

Так как $w_0(1+2i) = -\frac{1}{2} \ln 2 + \frac{3\pi}{4} i$, то $w_0(z)$ получается из $F(z)$ при $k=0$, т. е.

$$w_0(z) = -\frac{1}{2} \ln 2 + \frac{3\pi i}{4} + \sum_{n=1}^{\infty} \frac{1}{n2^n} \left(\frac{1}{(1-i)^n} - i^n\right) (z-1-2i)^n.$$

3) В кольце $3 < |z| < \infty$ функция $F(z)$ распадается на регулярные ветви, так как в этом кольце выполняется условие (21). Для получения ряда Лорана в кольце $3 < |z| < \infty$ преобразуем $F(z)$:

$$\begin{aligned}F(z) &= \operatorname{Ln} \frac{z-1}{3-z} = \operatorname{Ln} \frac{(-1) \left(1 - \frac{1}{z}\right)}{1 - \frac{3}{z}} = \\ &= \operatorname{Ln}(-1) + \operatorname{Ln} \left(1 - \frac{1}{z}\right) - \operatorname{Ln} \left(1 - \frac{3}{z}\right) = \\ &= -\pi i + 2k\pi i + \sum_{n=1}^{\infty} \frac{3^n - 1}{nz^n}, \quad k \in \mathbb{Z}.\end{aligned}$$

Каждому $k \in \mathbb{Z}$ в полученной формуле соответствует одна из регулярных ветвей функции $F(z)$. Этот ряд сходится в точке $z=4$. Так как $F(4) = (-\pi + 2k\pi)i + \alpha$, где $\alpha = \sum_{n=1}^{\infty} \frac{3^n - 1}{n4^n}$ и $\alpha \in \mathbb{R}$, и $w_0(4) = \pi i + \ln 3$, то $w_0(z) = F(z)$ при $k=1$ и искомое разложение имеет вид

$$w_0(z) = \pi i + \sum_{n=1}^{\infty} \frac{3^n - 1}{nz^n}, \quad 3 < |z| < \infty.$$

5. Арифметические операции над аналитическими функциями

Определение. Пусть аналитические функции $G(z)$ и $H(z)$ порождены исходными элементами соответственно $g_0(z)$ и $h_0(z)$, заданными в одной и той же точке z_0 . Тогда аналитическая функция с исходными элементами $g_0(z) \pm h_0(z)$, $g_0(z)h_0(z)$ и $\frac{g_0(z)}{h_0(z)}$ (если $h_0(z) \neq 0$), называется соответственно суммой, разностью, произведением и частным аналитических функций $G(z)$ и $H(z)$ и обозначается

$$G(z) \pm H(z), \quad G(z)H(z), \quad \frac{G(z)}{H(z)}.$$

Если аналитические функции заданы исходными элементами в разных точках, то арифметические операции над ними не определены.

Пример 8. Рассмотрим функцию

$$F(z) = \operatorname{Ln} [(z-a)(z-b)], \quad (32)$$

где a, b — действительные числа, $a < b$.

Эту функцию можно определить как суперпозицию функций $\zeta = H(z) = (z-a)(z-b)$ и $G(\zeta) = \operatorname{Ln} \zeta$. Однако более простым для изучения свойств функции (32) является эквивалентное определение ее по формуле

$$F(z) = \operatorname{Ln} [(z-a)(z-b)] = \operatorname{Ln} (z-a) + \operatorname{Ln} (z-b). \quad (33)$$

Свойства функции вида $\operatorname{Ln} (z-a)$, определенной как суперпозиция функций $\zeta = z-a$ и $\operatorname{Ln} \zeta$, получаются непосредственно из свойств функции $\operatorname{Ln} z$.

По определению функция (33) — это аналитическая функция с исходным элементом $f_0(z) = g_0(z) + h_0(z)$, где $g_0(z)$, $h_0(z)$ — некоторые элементы соответственно функций $\operatorname{Ln} (z-a)$, $\operatorname{Ln} (z-b)$ в одной и той же точке z_0 , где $z_0 \neq a$, $z_0 \neq b$.

Каждый из элементов $g_0(z)$ и $h_0(z)$ полностью определяется своим значением в точке z_0 .

Пусть $g_0(z_0) = \ln |z_0-a| + i\varphi_1^{(0)}$, $h_0(z_0) = \ln |z_0-b| + i\varphi_2^{(0)}$, где $\varphi_1^{(0)}$ — одно из значений $\arg(z_0-a)$, $\varphi_2^{(0)}$ — одно из значений $\arg(z_0-b)$. Тогда

$$f_0(z_0) = \ln |(z_0-a)(z_0-b)| + (\varphi_1^{(0)} + \varphi_2^{(0)})i. \quad (34)$$

Элементы $g_0(z)$ и $h_0(z)$ можно аналитически продолжить из точки z_0 в точку z вдоль любой кривой γ , не проходящей через точки $z=a$ и $z=b$, и значения этих продолжений вычисляются

по формуле (19). Следовательно, элемент $f_0(z)$ можно аналитически продолжить по любой такой кривой и в результате в точке z получится такой элемент $f(z)$ функции $F(z)$, значения которого вычисляются по формуле

$$f(z) = \ln[(z-a)(z-b)] + \left(\varphi_1^{(0)} + \varphi_2^{(0)}\right)i + (\Delta\varphi_1 + \Delta\varphi_2)i, \quad (35)$$

где $\Delta\varphi_1 = \Delta_\gamma \arg(z-a)$, $\Delta\varphi_2 = \Delta_\gamma \arg(z-b)$ (см. рис. 53).

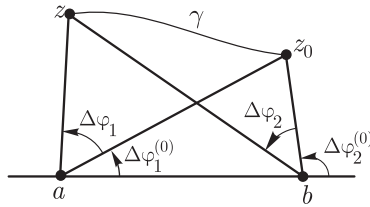


Рис. 53

Итак, значения функции (33) вычисляются по формуле (35).

Все остальные свойства функции (33) также получаются из соответствующих свойств функции $\text{Ln } z$. Например, если $f(z)$ — элемент функции (33), то

$$f'(z) = \frac{1}{z-a} + \frac{1}{z-b}.$$

Пример 9. Покажем, как можно определить обратные тригонометрические функции.

Решим уравнение $\sin w = z$ относительно w при заданном любом значении z . Получим:

$$\begin{aligned} \frac{1}{2i}(e^{iw} - e^{-iw}) &= z, & (e^{iw})^2 - 2ize^{iw} - 1 &= 0, \\ e^{iw} &= iz + \sqrt{1-z^2}, & w &= -i\text{Ln}(iz + \sqrt{1-z^2}). \end{aligned}$$

Поэтому естественно функцию $\arcsin z$ определить формулой

$$\arcsin z = -i\text{Ln}(iz + \sqrt{1-z^2}). \quad (36)$$

Аналогично, решая уравнения $\cos w = z$, $\text{tg } w = z$, $\text{ctg } w = z$, получаем определение остальных обратных тригонометрических функ-

ций формулами:

$$\arccos z = -i \operatorname{Ln} (z + \sqrt{z^2 - 1}), \quad (37)$$

$$\operatorname{arctg} z = \frac{i}{2} \operatorname{Ln} \frac{i+z}{i-z}, \quad (38)$$

$$\operatorname{arcctg} z = \frac{i}{2} \operatorname{Ln} \frac{z-i}{z+i}. \quad (39)$$

Таким же способом получаются формулы для обратных гиперболических функций.

Таким образом, свойства обратных тригонометрических функций и обратных гиперболических функций получаются из соответствующих свойств уже изученных функций $\operatorname{Ln} z$ и $\sqrt{z^2 - 1}$.

Отметим, что каждую из этих функций можно задать каким-нибудь из исходных элементов. Например, функцию $\operatorname{arctg} z$ можно определить ее исходным элементом

$$f_0(z) = \sum_{n=0}^{\infty} \frac{(-1)^n}{2n+1} z^{2n+1}, \quad z \in K_0 : |z| < 1.$$

Регулярная функция $f_0(z)$ является аналитическим продолжением (единственным) функции $\operatorname{arctg} x$ с интервала $-1 < x < 1$ в круг K_0 . Элемент $f_0(z)$ можно представить интегралом

$$f_0(z) = \int_0^z \frac{d\zeta}{1+\zeta^2}, \quad z \in K_0,$$

по любой кривой в круге K_0 .

Подробнее об обратных тригонометрических и об обратных гиперболических функциях см. в [8].

Замечание. Каждая из формул (33), (36)–(39) задает одну аналитическую функцию с точностью до исходного элемента. Следует иметь в виду, что не всякая формула, содержащая логарифмы и степени, задает только одну аналитическую функцию. Например, $\sqrt{z^2}$ — это две аналитические функции z и $-z$, $\operatorname{Ln} e^z$ — это аналитические функции $z + 2\pi ki$, $k = 0, \pm 1, \pm 2, \dots$. В таких случаях для задания аналитической функции нужно задать ее исходный элемент.

§ 19. Степенная функция

1. Определение степенной функции

При действительных β и $x > 0$ справедлива формула $x^\beta = e^{\beta \ln x}$. Естественно распространить эту формулу на комплексные значения b и z так, чтобы выполнялось равенство $z^b = e^{b \operatorname{Ln} z}$. Воспользуемся определением суперпозиции аналитических функций, введенным в § 17, п. 3.

Определение. Пусть $f_0(z)$ — элемент функции $\operatorname{Ln} z$, заданный в точке $z_0 \neq 0$ (для определенности можно считать, что $z_0 = 1$ (§ 18)) и b — любое фиксированное комплексное число. Аналитическую функцию с элементом

$$g_0(z) = e^{bf_0(z)}, \quad z \in K_0: |z - 1| < 1 \quad (1)$$

будем обозначать $e^{b \operatorname{Ln} z}$, а также z^b и называть степенной функцией, т. е. $z^b = e^{b \operatorname{Ln} z}$.

2. Свойства степенной функции

Из определения следует, что все свойства степенной функции получаются из соответствующих свойств логарифмической функции.

Свойство 1. Элемент (1) допускает аналитическое продолжение по любой кривой γ с началом в точке $z_0 = 1$, не проходящей через точку $z = 0$.

О Пусть множество элементов $f_\zeta(z)$, $\zeta \in \gamma$, является аналитическим продолжением элемента $f_0(z)$ вдоль кривой γ (такое продолжение существует по свойству 1, § 18). Тогда множество элементов $g_\zeta(z) = e^{bf_\zeta(z)}$ является аналитическим продолжением элемента (1) вдоль кривой γ .

Таким образом, функция z^b в каждой точке $z \neq 0$ состоит из элементов

$$g(z) = e^{bf(z)}, \quad (2)$$

где $f(z)$ — элементы функции $\operatorname{Ln} z$. ●

Свойство 2. Все значения функции z^b в точке $z \neq 0$ определяются формулой

$$z^b = e^{b(\ln |z| + i \operatorname{Arg} z)}, \quad (3)$$

$\operatorname{Arg} z = \varphi + 2k\pi$, $k \in \mathbb{Z}$, φ — одно из значений аргумента числа z , т. е.

$$z^b = e^{b[\ln |z| + i(\varphi + 2\pi k)]}, \quad k \in \mathbb{Z}. \quad (4)$$

Формулы (3), (4) получаются из формул (5), (6) § 18.

Пример 1. 1) Пусть $b = 0$. Тогда по формуле (3) $z^0 = 1$ при $z \neq 0$. По условленной договоренности значение функции z^0 при $z = 0$ также равно 1. Таким образом, функция $z^0 \equiv 1$ регулярна во всей комплексной плоскости.

2) Пусть $b = n$, где $n = 1, 2, \dots$. Тогда по формуле (3) при $z \neq 0$ получаем

$$z^1 = z, \quad z^n = \underbrace{z \cdot z \cdot \dots \cdot z}_{n \text{ раз}} \quad \text{при } n = 2, 3, \dots$$

Доопределим эти функции в точке $z = 0$ равенством $(0)^n = 0$, получаем, что функция z^n регулярна во всей комплексной плоскости.

Отметим, что только в случаях 1) и 2) элемент (1) можно аналитически продолжить по всем кривым с началом в точке $z_0 = 1$, включая кривые, проходящие через точку $z = 0$, и при этом аналитическая функция с исходным элементом (1) оказывается регулярной во всей комплексной плоскости.

3) Пусть $b = -n$, $n = 1, 2, \dots$. Тогда по формуле (3) получаем $z^b = \frac{1}{z^n}$. В этом случае элемент (1) нельзя аналитически продолжить по кривой, проходящей через точку $z = 0$, так как $\frac{1}{z^n} \rightarrow \infty$ при $z \rightarrow 0$.

Отметим, что только в случаях 1)–3) функция z^b является однозначной.

4) Пусть $b = \frac{m}{n}$, где $m = \pm 1, \pm 2, \dots$, $n = 2, 3, \dots$ и $\frac{m}{n}$ — несократимая дробь. Тогда по формуле (4) функция $z^b = z^{\frac{m}{n}}$ в каждой точке $z \neq 0$ принимает ровно n различных значений:

$$z^{\frac{m}{n}} = |z|^{\frac{m}{n}} e^{\frac{m}{n}(\varphi + 2k\pi)i}, \quad k = 0, 1, 2, \dots, n-1, \quad (5)$$

где φ — одно из значений $\arg z$.

В частности, функцию $z^{\frac{1}{n}}$ называют *корнем n -й степени из z* и обозначают: $z^{\frac{1}{2}} = \sqrt{z}$, $z^{\frac{1}{n}} = \sqrt[n]{z}$, $n = 3, 4, \dots$. Тогда из (5) получается, что если $z \neq 0$, то

$$\sqrt[n]{z} = \sqrt[n]{|z|} e^{\frac{1}{n}(\varphi + 2k\pi)i}, \quad k = 0, 1, \dots, n-1, \quad (6)$$

где $\varphi = \arg z$, $\sqrt[n]{|z|}$ — арифметический корень. Функция $\sqrt[n]{z}$, $n = 2, 3, \dots$, является обратной к функции z^n , так как $(\sqrt[n]{z})^n = z$ (см. § 13).

5) Пусть число b не является рациональным, т. е. или b — действительное иррациональное число, или $\operatorname{Im} b \neq 0$. Тогда по формуле

(4) получается, что функция z^b в каждой точке $z \neq 0$ принимает бесконечное (счетное) число различных значений.

Например, функция z^i в точке $z = i$ принимает значения

$$i^i = e^{i[\ln|i| + i \arg i]} = e^{-\frac{\pi}{2} + 2\pi k}, \quad k \in \mathbb{Z}.$$

Отметим, что если $b = \beta$ — действительное число, то формулу (4) можно записать так:

$$z^\beta = |z|^\beta e^{\beta(\varphi + 2\pi k)i}, \quad k = 0, \pm 1, \pm 2, \dots, \quad (7)$$

где $\varphi = \arg z$, $|z|^\beta > 0$.

Свойство 3. Пусть $g(z)$ — элемент функции z^b . Тогда

$$g'(z) = \frac{b}{z} g(z). \quad (8)$$

○ Из формулы (2) и свойства 4 § 17 следует, что

$$g'(z) = (e^{bf(z)})' = bf'(z)e^{bf(z)} = \frac{b}{z} e^{bf(z)} = \frac{b}{z} g(z). \quad \bullet$$

Свойство 4. Пусть $g(z)$ — элемент функции z^b в точке $z_0 \neq 0$. Тогда этот элемент представляется рядом Тейлора

$$g(z) = g(z_0) \sum_{n=0}^{\infty} C_b^n \frac{1}{z_0^n} (z - z_0)^n, \quad (9)$$

сходящимся к $g(z)$ в круге $K_0: |z - z_0| < |z_0|$, а все элементы функции z^b в точке z_0 имеют вид

$$z^b = z_0^b \sum_{n=0}^{\infty} C_b^n \frac{1}{z_0^n} (z - z_0)^n, \quad (10)$$

где z_0^b — все значения функции z^b в точке z_0 ,

$$C_b^0 = 1, \quad C_b^n = \frac{b(b-1)\dots(b-n+1)}{n!}, \quad n = 1, 2, \dots$$

○ Из формулы (9) находим

$$g''(z) = -\frac{b}{z^2} g(z) + \frac{b}{z} g'(z) = -\frac{b}{z^2} g(z) + \frac{b^2}{z^2} g(z) = \frac{b(b-1)}{z^2} g(z).$$

По индукции находим $g^{(n)}(z) = C_b^n \frac{n!}{z^n} g(z)$ при $n \geq 1$. Следовательно, $g^{(n)}(z_0) = C_b^n \frac{n!}{z_0^n} g(z_0)$, $n = 1, 2, \dots$. По формуле Тейлора получаем ряд (9). Этот ряд сходится в круге K_0 к функции $g(z)$, так как функция $g(z)$ регулярна в круге K_0 .

Так как $g(z_0)$ может быть любым значением функции z^b в точке z_0 , то все элементы функции z^b в точке z_0 имеют вид (10). ●

Замечание 1. В формуле (10) ряд под знаком суммы один и тот же для всех значений z_0^b . Следовательно, любой элемент функции z^b в любой точке $z_0 \neq 0$ полностью определяется заданием своего значения в этой точке (формула (9)).

Из формул (4) и (10) получается, что если $g(z)$ и $\tilde{g}(z)$ — элементы функции z^b в одной и той же точке $z_0 \neq 0$, то

$$\tilde{g}(z) = g(z)e^{2\pi kbi}, \quad |z - z_0| < |z_0|,$$

где k — некоторое целое число.

Пример 2. Разложим все элементы функции $\sqrt[n]{z}$, $n = 2, 3, \dots$ в круге $|z + 4i| < 4$ в ряды Тейлора по степеням $(z + 4i)$.

Формулу (10) можно получить формально такими же преобразованиями, как если бы z и z_0 были действительными (замечание 3 § 18). Получаем

$$\begin{aligned} \sqrt[n]{z} &= z^{\frac{1}{n}} = [-4i + (z + 4i)]^{\frac{1}{n}} = \left[(-4i) \left(1 - \frac{z + 4i}{4i} \right) \right]^{\frac{1}{n}} = \\ &= (-4i)^{\frac{1}{n}} \left(1 - \frac{z + 4i}{4i} \right)^{\frac{1}{n}} = \\ &= \sqrt[n]{4} e^{\frac{i}{n}(-\frac{\pi}{2} + 2\pi k)} \sum_{m=0}^{\infty} C_{\frac{1}{n}}^m \frac{(-1)^m}{(4i)^m} (z + 4i)^m, \quad k = 0, 1, \dots, n-1. \end{aligned}$$

Свойство 5. Пусть $g_1(z)$ — элемент функции z^b в точке $z_1 \neq 0$, определенный значением $g_1(z_1) = e^{b(\ln|z_1| + i\varphi_1)}$, где φ_1 — одно из значений $\arg z_1$. И пусть $g_2(z)$ — результат аналитического продолжения элемента $g_1(z)$ из точки z_1 в точку $z_2 \neq 0$ вдоль кривой γ_1 , не проходящей через точку $z = 0$. Тогда

$$g_2(z_2) = e^{b[\ln|z_2| + i(\varphi_1 + \Delta_{\gamma_1} \arg z)]}, \quad (11)$$

γ_1 — кривая с началом в точке z_1 и концом в точке z_2 .

○ Формула (11) получается непосредственно из формулы (13) § 18. ●

Пример 3. Пусть $g_1(z)$ — элемент функции z^b в точке $z_1 \neq 0$. Найдем элемент $g_2(z)$, который получается в результате аналитического продолжения элемента $g_1(z)$ из точки z_1 в ту же точку z_1 вдоль окружности γ : $|z| = |z_1|$, ориентированной против часовой стрелки.

По формуле (11) находим $g_2(z_1) = g_1(z_1)e^{2\pi bi}$, поэтому $g_0(z) = g_1(z)e^{2\pi bi}$. Таким образом, после одного оборота вокруг точки

$z = 0$ в положительном направлении получаем

$$g_1(z) \rightarrow g_1(z)e^{2\pi bi}.$$

После второго, третьего и т. д. оборотов вокруг точки $z = 0$ в положительном направлении получаем

$$g_1(z) \rightarrow g_1(z)e^{2\pi bi} \rightarrow g_1(z)e^{4\pi bi} \rightarrow g_1(z)e^{6\pi bi} \rightarrow \dots \quad (12)$$

Аналогично после оборотов вокруг точки $z = 0$ в отрицательном направлении находим

$$g_1(z) \rightarrow g_1(z)e^{-2\pi bi} \rightarrow g_1(z)e^{-4\pi bi} \rightarrow g_1(z)e^{-6\pi bi} \rightarrow \dots \quad (13)$$

Из формул (12), (13) следует, что если число b не является рациональным, то $z = 0$ — логарифмическая точка ветвления функции z^b (см. § 20).

Пусть теперь $b = \frac{m}{n}$, где $m = \pm 1, \pm 2, \dots$, $n = 2, 3, \dots$, $\frac{m}{n}$ — несократимая дробь. Тогда числа $e^{\frac{2\pi km}{n}i}$ при $k = 0, 1, \dots, n-1$ различны, а $e^{\frac{2\pi mn}{n}i} = 1$. Следовательно, по формуле (12) в точке $z_1 \neq 0$ функция $z^{\frac{m}{n}}$ имеет ровно n различных элементов $g_1(z)e^{\frac{2\pi km}{n}i}$, $k = 0, 1, \dots, n-1$, а $g_1(z)e^{\frac{2\pi mn}{n}i} \equiv g_1(z)$. (По формуле (13) получаются эти же элементы.)

Итак, после первых $n-1$ оборотов вокруг точки $z = 0$ в точке z_1 получаются различные между собой элементы, отличные от $g_1(z)$, а после n -го оборота получается элемент $g_1(z)$. В таком случае точка $z = 0$ называется *алгебраической точкой ветвления порядка n функции $z^{\frac{m}{n}}$* (см. § 20).

Вернемся к свойству 1. Докажем, что если b — не целое число, то элемент (1) функции z^b нельзя аналитически продолжить по кривой, проходящей через точку $z = 0$.

О Предположим, что такое продолжение существует. Тогда в точке $z = 0$ оно определяет элемент $\tilde{g}(z)$ функции z^b , т. е. регулярную в некотором круге \tilde{K} : $|z| < R$ функцию $\tilde{g}(z)$.

Пусть $z_1 \neq 0$, $0 < |z_1| < \tilde{R}$. В окрестности точки z_1 функция $g_1(z) = \tilde{g}(z)$ является элементом функции z^b . Рассмотрим аналитическое продолжение этого элемента вдоль окружности γ : $|z| = |z_1|$, ориентированной против часовой стрелки.

Так как функция $\tilde{g}(z)$ регулярна в круге \tilde{K} , то в каждой точке $\zeta \in \gamma$ должен получиться элемент $g_\zeta(z) = \tilde{g}(z)$, в частности, в точке z_1 должен получиться элемент $g_1(z) = \tilde{g}(z)$. Но в примере 3 доказано, что после одного оборота вокруг точки $z = 0$ в точке z_1 получается

элемент $g_1(z)e^{2\pi bi} \neq g_1(z)$, так как b — нецелое число. Это противоречие и доказывает сформулированное утверждение. ●

Таким образом, если b — нецелое число, то функция z^b — это множество элементов в точках $z \neq 0$, которые можно представить, например, по формулам (2), (9), (10).

Замечание 2. Как и для $\operatorname{Ln} z$ (замечание 4, § 18), символом z^b обозначается совокупность аналитических функций, имеющих одно и то же множество элементов и отличающихся друг от друга только исходными элементами.

Замечание 3. Для исследования аналитической функции $F(z)$, заданной исходным элементом $f_0(z)$ (как и в § 17, § 18), обычно выясняют:

- 1) какие кривые являются допустимыми для элементов $f_0(z)$;
- 2) как находить значения функции $F(z)$ и значения ее элементов;
- 3) как находить производные ее элементов;
- 4) как представлять ее элементы рядами Тейлора или Лорана.

3. Регулярные ветви функции $\sqrt[n]{z}$

В § 13 многозначная функция $\sqrt[n]{z}$ была определена формулой

$$\sqrt[n]{z} = \sqrt[n]{|z|} e^{\frac{i}{n} \operatorname{Arg} z}, \quad z \neq 0,$$

где $\operatorname{Arg} z = \arg z + 2\pi k$, $k \in \mathbb{Z}$, $\arg z$ — одно из значений аргумента числа z .

Было показано, что функция $\sqrt[n]{z}$ имеет в плоскости с разрезом по положительной действительной полуоси регулярные ветви

$$g_0(z) = \sqrt[n]{|z|} e^{\frac{i}{n} \arg z}, \quad 0 < \arg z < 2\pi,$$

$$g_k(z) = g_0(z) e^{\frac{i}{n} 2\pi k}, \quad k = \overline{1, n-1}.$$

Было отмечено, что регулярные ветви можно выделить в области $G \subset \mathbb{C}$ тогда и только тогда, когда в этой области нельзя провести простой контур (замкнутую кусочно-гладкую кривую), содержащий внутри себя точку $z = 0$.

Этот же результат можно получить, используя понятие аналитической функции.

Пусть область G не содержит точку $z = 0$ и $f_0(z)$ — элемент функции $\operatorname{Ln} z$ в точке $a \in G$, заданной значением $\alpha = \arg a$. Так как $\sqrt[n]{z} = e^{\frac{1}{n} \operatorname{Ln} z}$, то $\frac{1}{n} f_0(z)$ — элемент функции $\sqrt[n]{z}$ в точке a , а результат

его аналитического продолжения из точки a в точку $z \in G$ по кривой $\gamma = \gamma_{az}$ имеет вид

$$h_0(z) = e^{\frac{1}{n}(\ln|z| + i(\alpha + \Delta_\gamma \arg z))} = \sqrt[n]{|z|} e^{\frac{i}{n}(\alpha + \Delta_\gamma \arg z)}.$$

По теореме 3 § 17 функция $\sqrt[n]{z}$ имеет в области G регулярные ветви тогда и только тогда, когда $\Delta_{\tilde{\gamma}} \arg z = 0$, $\tilde{\gamma}$ — произвольный простой контур, принадлежащий области G , так как в этом случае $h_0(z) \xrightarrow{\tilde{\gamma}} h_0(z)$.

Это означает, что в области G нельзя обойти точку $z = 0$ по замкнутой кривой, лежащей в этой области.

4. Регулярные ветви функции $\sqrt[n]{f(z)}$

Пусть функция $f(z)$ регулярна в области G и

$$f(z) \neq 0 \quad \forall z \in G. \quad (14)$$

По определению степенной функции

$$F(z) = \sqrt[n]{f(z)} = e^{\frac{1}{n} \operatorname{Ln} f(z)}.$$

При выполнении условия (14) функция $\operatorname{Ln} f(z)$ является аналитической в области G . Поэтому $F(z)$ является аналитической в области G как суперпозиция показательной и логарифмической функций.

Если $w_0(z)$ — элемент функции $\operatorname{Ln} f(z)$, заданный в точке a значением $\alpha = \arg f(a)$, то $g_0(z)$ — исходный элемент функции $\sqrt[n]{f(z)}$ в точке a , то $g_0(z) = e^{\frac{1}{n} w_0(z)}$, а результат аналитического продолжения элемента $g_0(z)$ вдоль кривой $\gamma = \gamma_{az}$ из точки a в точку z имеет вид

$$\begin{aligned} h_0(z) &= e^{\frac{1}{n}(\ln|f(z)| + i(\alpha + \Delta_\gamma \arg f(z)))} = \\ &= \sqrt[n]{|f(z)|} e^{\frac{i}{n}(\alpha + \Delta_\gamma \arg f(z))}. \end{aligned} \quad (15)$$

По теореме 3 § 17 функция $\sqrt[n]{f(z)}$ имеет в области G регулярные ветви тогда и только тогда, когда

$$h_0(z) \xrightarrow{\tilde{\gamma}} h_0(z), \quad (16)$$

где $\tilde{\gamma} \subset G$ — произвольный простой контур.

Из (15) следует, что (16) равносильно условию

$$e^{\frac{i}{n} \Delta_{\tilde{\gamma}} \arg f(z)} = 1 = e^{2\pi k i}, \quad k \in \mathbb{Z}, \quad \text{т. е.}$$

$$\frac{1}{n} \Delta_{\tilde{\gamma}} \arg f(z) = 2\pi k, \quad k \in \mathbb{Z}. \quad (17)$$

Если условие (17) при некотором $k \in \mathbb{Z}$ выполняется в области G , то регулярные ветви можно выделять, а если это условие не выполняется, то функция $\sqrt[n]{f(z)}$ не имеет в области G регулярных ветвей.

Если задано значение $\alpha = \arg f(a)$, то значение регулярной ветви $h_0(z)$ функции $\sqrt[n]{f(z)}$ в точке b можно найти по формуле

$$h_0(b) = \sqrt[n]{|f(b)|} e^{\frac{i}{n}(\alpha + \Delta_{\gamma_{ab}} \arg f(z))}, \quad (18)$$

где $\gamma_{ab} \subset G$, a и b — ее начало и конец, $\alpha = \arg f(a)$.

Заметим, что $\operatorname{Arg} f(a) = \arg f(a) + 2k\pi$, $k \in \mathbb{Z}$. Поэтому все регулярные ветви функции $\sqrt[n]{f(z)}$ имеют вид

$$h_k(z) = h_0(z) e^{i \frac{2\pi k}{n}}, \quad k = \overline{1, n-1}, \quad (19)$$

где $h_0(z)$ представляется формулой (15).

Так как

$$h_k^n(z) = f(z) \quad \forall z \in G, \quad (20)$$

то дифференцируя тождество (20), получим

$$n h_k^{n-1}(z) h'_k(z) = f'(z) \quad \text{или} \quad n h_k^n(z) h'_k(z) = f'(z) h_k(z),$$

откуда

$$h'_k(z) = \frac{h_k(z) f'(z)}{n f(z)}. \quad (21)$$

Получена формула для производной регулярной ветви $h_k(z)$ функции $\sqrt[n]{f(z)}$.

Заметим, что если выполняется условие (14) и G — односвязная область, то

$$\Delta_{\tilde{\gamma}} \arg f(z) = 0$$

и в области G можно выделять регулярные ветви.

Важно отметить, что выполнение условия (17) обычно проверяется в случае, когда G — неодносвязная область. Доказательство того, что условие (17) является необходимым и достаточным условием существования регулярных в области ветвей функции $\sqrt[n]{f(z)}$, содержится в [5].

Пример 4. Докажем, что существуют регулярные ветви функции $F(z)$ в области G , если:

- 1) $F(z) = \sqrt{(z^2 - 1)(z^2 - 4)}$, G — плоскость с разрезом по отрезкам $\Delta_1 = [-2, -1]$ и $\Delta_2 = [1, 2]$.
- 2) $F(z) = \sqrt[3]{z^2(2 - z)}$, G — плоскость с разрезом $[0, 2]$.
- 3) $F(z) = \frac{1}{\sqrt[4]{(z+1)(2-z)^3}}$, G — плоскость с разрезом $[-1, 2]$.

1) $f(z) = (z+2)(z+1)(z-1)(z-2)$. Пусть $\tilde{\gamma} \in G$. Возможны следующие случаи:

- а) $\tilde{\gamma}$ не содержит внутри себя ни один из отрезков, тогда $\Delta_{\tilde{\gamma}} \arg f(z) = 0$;
 б) $\tilde{\gamma}$ содержит внутри себя один из отрезков, например, Δ_1 , тогда $\Delta_{\tilde{\gamma}} \arg f(z) = 4\pi$ и условие (17) выполняется при $k = 1$;
 в) $\tilde{\gamma}$ содержит внутри себя оба отрезка, тогда $\Delta_{\tilde{\gamma}} \arg f(z) = 8\pi$, а тогда (условие (15)) $k = 2$.

2) $f(z) = z^2(2 - z)$. Если $\tilde{\gamma}$ содержит внутри себя отрезок $[0; 1]$, то $\Delta_{\tilde{\gamma}} \arg f(z) = 2 \cdot 2\pi + 2\pi = 6\pi$ и условие (17), в котором $n = 3$, выполняется при $k = 2$.

3) $f(z) = (z+1)^{-1}(2-z)^{-3}$. Тогда $\Delta_{\tilde{\gamma}} \arg f(z) = -\frac{1}{4} (\Delta_{\tilde{\gamma}} \arg(z+1) + 3\Delta_{\tilde{\gamma}} \arg(z-2))$. При обходе по $\tilde{\gamma}$ отрезка $[-1; 2]$ имеем $\Delta_{\tilde{\gamma}} \arg f(z) = 8\pi$ и условие (17) выполняется при $k = 2$.

Пример 5. Пусть $h(z)$ — регулярная ветвь функции $F(z) = \sqrt[3]{z^2(2-z)}$ в плоскости с разрезом по отрезку $[0; 2]$ такая, что $h(1+i0) = 1$.

Найдем $h(-1)$ и $h'(-1)$ и разложим функцию $h(z)$ в ряд Лорана в кольце $2 < |z| < \infty$ по степеням z .

В примере 4 (2) было установлено, что функция $F(z)$ имеет регулярную ветвь в плоскости с разрезом по отрезку $[0; 2]$.

1) По формуле (18) находим

$$h(-1) = \sqrt[4]{|f(-1)|} e^{\frac{1}{3}(\alpha + \Delta_{\gamma} \arg f(z))},$$

где $\alpha = 0$, так как $h(1+i0) = 1$, γ — кривая, соединяющая точку $1+i0$ с точкой -1 (см. рис. 54).

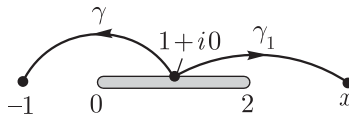


Рис. 54

$$f(z) = z^2(2 - z),$$

$$\Delta_{\gamma} \arg f(z) = 2\Delta_{\gamma} \arg z + \Delta_{\gamma} \arg(z - 2) = 2\pi + 0 = 2\pi,$$

$$f(-1) = 3, \quad \sqrt[3]{|f(-1)|} = \sqrt[3]{3}, \quad h(-1) = e^{\frac{2\pi i}{3}} \sqrt[3]{3}.$$

2) Для нахождения $h'(-1)$ воспользуемся формулой (21):

$$h'(-1) = \frac{h(-1)f'(-1)}{3f(-1)} = \frac{7\sqrt[3]{3}}{9} e^{-\frac{i\pi}{3}},$$

так как $f'(z) = 4z - 3z^2$, $f'(-1) = -7$, $-e^{\frac{2\pi i}{3}} = e^{-\frac{i\pi}{3}}$.

3) В кольце $2 < |z| < \infty$ функция $\sqrt[3]{z^2(2-z)}$ распадается на три регулярные ветви, для которых ряды Лорана по степеням z можно получить следующим образом:

$$\sqrt[3]{z^2(2-z)} = (-z^3)^{\frac{1}{3}} \left(1 - \frac{2}{z}\right)^{\frac{1}{3}} = ze^{\frac{\pi+2\pi k}{3}i} \sum_{n=0}^{\infty} C_{1/3}^n (-2)^n \frac{1}{z^n},$$

где $k = 0, 1, 2$.

Так как функция $h(z)$ является одной из этих ветвей, то

$$h(z) = ze^{\frac{\pi+2\pi k}{3}i} \left(1 - \frac{2}{3z} - \frac{4}{9z^2} - \dots\right), \quad (22)$$

где k нужно найти.

Ряд (22) сходится в области $2 < |z| < \infty$, а коэффициенты ряда

$$g(z) = 1 - \frac{2}{3z} - \frac{4}{9z^2} - \dots$$

действительны и $g(z) \rightarrow 1$ при $z \rightarrow \infty$. Поэтому $g(x) > 0$ при достаточно больших x ($x > 2$).

Полагая в (22) $z = x$, получаем

$$h(x) = xg(x)e^{\frac{\pi+2k\pi}{3}i} = |h(x)|e^{\frac{\pi+2k\pi}{3}i},$$

а по формуле (18) находим $(\Delta_{\gamma_1} \arg f(z) = -\pi)$, γ_1 — кривая, соединяющая точку $1+i0$ с точкой x ($x > 2$).

$$h(x) = |h(x)|e^{-\frac{i\pi}{3}}.$$

Поэтому $e^{\frac{\pi+2k\pi}{3}i} = e^{-\frac{i\pi}{3}}$ и $k = -1$ (или $k = 2$), тогда

$$h(z) = e^{-\frac{i\pi}{3}} \sum_{n=0}^{\infty} C_{1/3}^n (-2)^n \frac{1}{z^{n-1}}, \quad 2 < |z| < \infty.$$

Пример 6. Пусть $h(z)$ — регулярная ветвь функции $F(z) = \frac{1}{\sqrt[4]{(z+1)(2-z)^3}}$ в плоскости с разрезом по отрезку $[-1; 2]$ такая, что $h(x+i0) > 0$ при $x \in (-1, 2)$.

Существование регулярных ветвей функции $F(z)$ установлено в примере 4 (3). Найдем $h(-2)$, используя формулу (18).

Пусть $f(z) = (z+1)(2-z)^3$. Тогда

$$h(-2) = |f(z)|^{-\frac{1}{4}} e^{-\frac{1}{4}(\Delta_{\gamma} \arg(z+1) + 3\Delta_{\gamma} \arg(z-2))},$$

где γ — кривая, соединяющая точку $1+i0$ с точкой -2 (см. рис. 55).

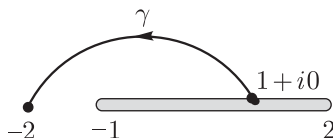


Рис. 55

Как и в примере 5, находим $\Delta_\gamma \arg(z+1) = \pi$, $\Delta_\gamma \arg(z-2) = 0$.

Так как $f(-2) = -4^3$, то $|f(-2)|^{-\frac{1}{4}} = \frac{\sqrt{2}}{4}$ и

$$h(-2) = \frac{\sqrt{2}}{4} e^{-i\frac{\pi}{4}}.$$

5. Римановы поверхности функций $\operatorname{Ln} z$ и \sqrt{z}

Пример 7. Пусть D — вся комплексная плоскость с разрезом по лучу $(-\infty, 0]$. В этой области функция $\operatorname{Ln} z$ распадается на регулярные ветви

$$f_k(z) = \ln |z| + (\varphi + 2\pi k)i, \quad k \in \mathbb{Z}, \quad (23)$$

где $\varphi = \arg z$, $-\pi < \varphi < \pi$.

Вместо того чтобы рассматривать бесконечное число регулярных функций $f_k(z)$ в одной области D , возьмем бесконечное число идентичных экземпляров этой области. Обозначим эти области D_k , $k \in \mathbb{Z}$, и будем считать, что в области D_k задана регулярная функция $f_k(z)$. Пусть γ_k^+ — верхний, γ_k^- — нижний берега разреза плоскости D_k (рис. 56).

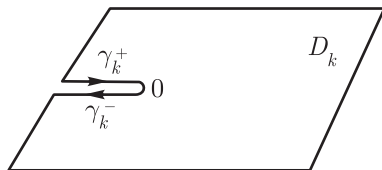


Рис. 56

Склеим области D_k («листы») в одну поверхность так, чтобы на этой поверхности функция $\operatorname{Ln} z$ была однозначна и непрерывна. По

формуле (23) получаем

$$f_k(x)|_{\gamma_k^+} = f_{k+1}(x)|_{\gamma_{k+1}^-} = \ln|x| + \pi(2k+1)i, \quad x < 0.$$

Поэтому склеим верхний берег разреза γ_k^+ с нижним берегом разреза γ_{k+1}^- .

На построенной «винтовой» поверхности (рис. 57) функция $\operatorname{Ln} z$ однозначна и регулярна при $z \neq 0$ (по лемме об устранимой особенности). Эта поверхность называется *римановой поверхностью функции $\operatorname{Ln} z$* .

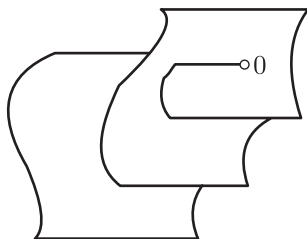


Рис. 57

Пример 8. Пусть D — вся комплексная плоскость с разрезом по лучу $(-\infty, 0]$ (рис. 56). В этой области функция \sqrt{z} распадается на регулярные ветви

$$f_1(z) = \sqrt{|z|}e^{\frac{i\varphi}{2}} \quad \text{и} \quad f_2(z) = -\sqrt{|z|}e^{\frac{i\varphi}{2}}, \quad (24)$$

где $\varphi = \arg z$, $-\pi < \varphi < \pi$. Возьмем два экземпляра D_1 и D_2 области и будем считать, что функция $f_k(z)$ определена в области D_k , $k = 1, 2$. Пусть γ_k^+ — верхний, γ_k^- — нижний берега разреза плоскости D_k .

По формуле (24) получаем, что при $x \leq 0$

$$f_1(x)|_{\gamma_1^+} = f_2(x)|_{\gamma_2^-} = i\sqrt{|x|}, \quad f_1(x)|_{\gamma_1^-} = f_2(x)|_{\gamma_2^+} = -i\sqrt{|x|}.$$

Поэтому нужно склеить γ_1^+ с γ_2^- и γ_1^- с γ_2^+ (крест-накрест). Получится риманова поверхность функции \sqrt{z} с самопересечением (рис. 58). Но можно сначала повернуть плоскость D_2 вокруг действительной оси на 180° , а затем склеить γ_1^+ с γ_2^- и γ_1^- с γ_2^+ . Тогда получится *риманова поверхность функции \sqrt{z}* без самопересечения (рис. 59). На этой поверхности функция \sqrt{z} однозначна и регулярна при $z \neq 0$ (по лемме об устранимой особенности).

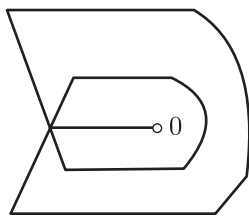


Рис. 58

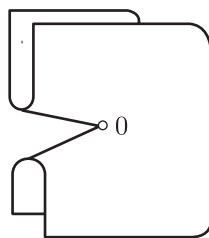


Рис. 59

§ 20. Особые точки аналитических функций. Граничные особые точки

1. Особые точки аналитических функций

Общее определение особой точки аналитической функции является довольно сложным и не будет детально рассматриваться в этом курсе. Однако для знакомства сформулируем определение, приведенное в [3].

Пусть аналитическая функция $F(z)$ порождена исходным элементом $f_0(z)$ в точке z_0 и кривая γ_1 с началом в точке z_0 и концом в точке z_1 такова, что элемент $f_0(z)$ можно аналитически продолжить вдоль кривой γ_1 в каждую точку $z \in \gamma_1$, $z \neq z_1$, и нельзя продолжить в точку z_1 . Тогда пару (γ_1, z_1) называют особой «точкой» функции $F(z)$.

Вы знакомы с определением и классификацией изолированных особых точек однозначного характера. Рассмотрим другие случаи особых точек аналитических функций.

2. Точки ветвления

Определение 1. Пусть функция $F(z)$ аналитична в проколотой окрестности точки z_0 и неоднозначна в этой окрестности. Тогда точка z_0 называется точкой ветвления функции $F(z)$.

Пример 1. 1) Функция $\operatorname{Ln} z$ аналитична и неоднозначна в области $D : 0 < |z| < \infty$. Область D является проколотой окрестностью точки $z = 0$ и одновременно проколотой окрестностью точки $z = \infty$. Следовательно, $z = 0$ и $z = \infty$ — точки ветвления функции $\operatorname{Ln} z$.

2) Аналогично, точки $z = 0$ и $z = \infty$ — точки ветвления функции z^b , если b — нецелое число.

Приведем другое эквивалентное определение точки ветвления.

Пусть функция $F(z)$ аналитична в проколотой окрестности точки z_0 , т. е. в кольце $K_0 : 0 < |z - z_0| < R$, если $z \neq \infty$, или в кольце $K_0 : R < |z| < \infty$, если $z_0 = \infty$. И пусть $f_1(z)$ — элемент функции $F(z)$ в точке $z_1 \in K_0$. Совершим обход вокруг точки z_0 , т. е. рассмотрим аналитическое продолжение элемента $f_1(z)$ вдоль окружности $\gamma : |z - z_0| = |z_1 - z_0|$, если $z_0 \neq \infty$, $\gamma : |z| = |z_1|$, если $z_0 = \infty$.

При этом может оказаться, что после одного оборота вокруг точки z_0 в точке z_1 получится тот же элемент $f_1(z)$. Тогда по теореме о монодромии можно доказать, что функция $F(z)$ однозначна и, следовательно, регулярна в кольце K_0 . Поэтому z_0 — изолированная особая точка однозначного характера функции $F(z)$, т. е. z_0 — либо устранимая особая точка, либо полюс, либо существенно особая точка функции $F(z)$.

Если же после первого оборота вокруг точки z_0 в точке z_1 получается новый элемент $f_2(z) \neq f_1(z)$, т. е.

$$f_1(z) \rightarrow f_2(z) \neq f_1(z),$$

то точка z_0 называется *точкой ветвления функции $F(z)$* . Точка ветвления может быть или *логарифмической*, или *алгебраической* (пример 4, § 18; пример 3, § 19).

Логарифмические точки ветвления. Пусть в рассматриваемой ситуации при каждом следующем обходе вокруг точки z_0 в положительном или отрицательном направлениях в точке z_1 получаются новые элементы, отличные от всех предыдущих. Тогда точка z_0 называется *логарифмической точкой ветвления функции $F(z)$* .

В этом случае функция $F(z)$ в каждой точке $z_1 \in K_0$ имеет бесконечное множество различных элементов, однако значения этих элементов в точке z_1 могут быть одинаковыми. Подробнее: в этом случае функция $F(z)$ «почти» в каждой точке $z_1 \in K_0$ имеет бесконечное множество различных значений. Здесь и далее слово «почти» означает, что могут быть исключительные точки, в которых функция $F(z)$ имеет конечное число значений. Таких исключительных точек может быть конечное число или бесконечно много, но предельная точка этих точек не может принадлежать кольцу K_0 .

Пример 2. 1) Для функции $(z^2 - 1)\operatorname{Ln} z$, аналитичной в кольце $K_0 : 0 < |z| < \infty$, точки $z = 0$ и $z = \infty$ являются логарифмическими точками ветвления. Эта функция в каждой точке $z \in K_0$, $z \neq \pm 1$ имеет бесконечное число различных значений, а в точках $z = \pm 1$ — только одно значение, равное нулю.

2) Функция $\sin z \operatorname{Ln} z$ в каждой точке z того же кольца K_0 , где $z \neq \pi k$, $k = \pm 1, \pm 2, \dots$, имеет бесконечное множество различных значений, а в точках $z_k = \pi k$, $k = \pm 1, \pm 2, \dots$ — только одно значение, равное нулю. Предельная точка $z = \infty$ точек z_k не принадлежит кольцу K_0 .

Алгебраические точки ветвления. Пусть в рассматриваемой ситуации после n оборотов ($n \geq 2$) вокруг точки z_0 в положительном направлении получается

$$f_1(z) \rightarrow f_2(z) \rightarrow \dots \rightarrow f_n(z) \rightarrow f_{n+1}(z) \equiv f_1(z),$$

где все элементы $f_1(z), f_2(z), \dots, f_n(z)$ различны. Тогда точка z_0 называется *алгебраической точкой ветвления* функции $F(z)$ порядка n .

В этом случае функция $F(z)$ в каждой точке $z_1 \in K_0$ имеет ровно n различных элементов, однако значения некоторых из этих элементов в самой точке z_1 могут быть одинаковыми.

Пример 3. Для функции $\sin \frac{1}{z} \sqrt[n]{z}$, где n — натуральное число, $n \geq 2$, аналитической в кольце $K_0 : 0 < |z| < \infty$, точки $z = 0$ и $z = \infty$ являются алгебраическими точками ветвления порядка n . Эта функция в каждой точке $z \in K_0$, $z \neq \frac{1}{\pi k}$, $k = \pm 1, \pm 2, \dots$, принимает ровно n различных значений, а в точках $z_k = \frac{1}{\pi k}$, $k = \pm 1, \pm 2, \dots$, только одно значение, равное нулю.

Справедлива следующая теорема:

Теорема 1. Если $z_0 \neq \infty$ — алгебраическая точка ветвления порядка n аналитической в кольце $K_0 : 0 < |z - z_0| < R$ функции $F(z)$, то функцию $F(z)$ можно представить в виде ряда

$$F(z) = \sum_{k=-\infty}^{\infty} c_k (z - z_0)^{\frac{k}{n}},$$

сходящегося к функции $F(z)$ во всем кольце K_0 .

Если $z_0 = \infty$ — алгебраическая точка ветвления порядка n аналитической в кольце $K_0 : R < |z| < \infty$ функции $F(z)$, то эту функцию можно представить в виде ряда

$$F(z) = \sum_{k=-\infty}^{\infty} c_k z^{\frac{k}{n}},$$

сходящегося к функции $F(z)$ во всем кольце K_0 .

Такие ряды по дробным степеням называют *рядами Пуизе*.

Доказательство этой теоремы см. в [12].

Покажем на примерах, как исследуются особые точки многозначных аналитических функций.

Пример 4. Исследуем особые точки функции $F(z) = \frac{1}{2 + \sqrt{z}}$. Эта функция аналитична в расширенной комплексной плоскости с выколотыми точками $z = 0$, $z = \infty$ (это особые точки функции \sqrt{z}) и $z = 4$ (в этой точке одно из значений знаменателя $2 + \sqrt{z}$ равно нулю).

1) Рассмотрим проколотую окрестность точки $z = 0$, не содержащую точку $z = 4$, например, кольцо $K_1 : 0 < |z| < 2$. Выберем в какой-нибудь точке этого кольца некоторый элемент функции \sqrt{z} . Пусть, например, $z_1 = 1$, $g_1(z)$ — элемент функции \sqrt{z} в точке $z = 1$ такой, что $g_1(z) = 1$. Тогда $f_1(z) = \frac{1}{2 + g_1(z)}$ — элемент функции $F(z)$ в точке $z_1 = 1$. Так как этот элемент можно аналитически продолжить по любой кривой, лежащей в кольце K_1 , то элемент $f_1(z)$ порождает аналитическую в кольце K_1 функцию $F(z)$ — аналитическую ветвь функции $F(z)$ в кольце K_1 .

Рассмотрим аналитическое продолжение элемента $f_1(z)$ вдоль окружности $z = 1$. После первого оборота вокруг точки z_0 получаем

$$f_1(z) \rightarrow \frac{1}{2 - g_1(z)} \neq f_1(z),$$

после второго оборота

$$\frac{1}{2 - g_1(z)} \rightarrow \frac{1}{2 + g_1(z)} \equiv f_1(z).$$

Следовательно, точка $z = 0$ является алгебраической точкой ветвления второго порядка функции $F_1(z)$.

Отметим, что в кольце K_1 можно выделить только одну аналитическую ветвь функции $F(z)$ (с точностью до исходного элемента). Поэтому точку z_0 называют алгебраической точкой ветвления второго порядка функции $F(z)$.

2) Рассмотрим кольцо $K_2 : 4 < |z| < \infty$ — проколотую окрестность точки $z = \infty$, не содержащую точек $z = 0$ и $z = 4$. Выберем в точке $z_2 = 16 \in K_2$ элемент $g_2(z)$ функции \sqrt{z} такой, что $g_2(16) = 4$. Тогда элемент $f_2(z) = \frac{1}{2 + g_2(z)}$ функции $F(z)$ порождает аналитическую ветвь $F_2(z)$ (единственную с точностью до исходного элемента) функции $F(z)$ в кольце K_2 .

При аналитическом продолжении элемента $f_2(z)$ вдоль окружности $|z| = 16$ после первого оборота (вокруг точки $z = \infty$) получаем

$$f_2(z) \rightarrow \frac{1}{2 - g_2(z)} \neq f_2(z),$$

после второго оборота

$$\frac{1}{2 - g_2(z)} \rightarrow \frac{1}{2 + g_2(z)} \equiv f_2(z).$$

Следовательно, точка $z = \infty$ является алгебраической точкой ветвления второго порядка функции $F_2(z)$ (и функции $F(z)$).

3) Для исследования особой точки $z = 4$ воспользуемся тем, что в круге $K : |z - 4| < 2$ функция \sqrt{z} распадается на две регулярных ветви $g_3(z)$ и $g_4(z) = -g_3(z)$ такие, что $g_3(4) = 2$, $g_4(4) = -2$. Поэтому функция $F(z)$ в кольце $K_3 : 0 < |z - 4| < 2$ распадается на две регулярные ветви $f_3(z) = \frac{1}{2 + g_3(z)}$ и $f_4(z) = \frac{1}{2 + g_4(z)}$.

Функция $f_3(z)$ регулярна во всем круге K , в частности, в точке $z = 4$, так как $2 + g_3(z) \neq 0$ при $z \in K$.

Для функции $f_4(z)$ точка $z = 4$ является полюсом, так как знаменатель $2 + g_4(4) = 0$. Для нахождения порядка этого полюса найдем кратность нуля знаменателя $2 + g_4(z) = 0$. Находим: $(2 + g_4(z))'|_{z=4} = \frac{1}{2z}g_4(z)|_{z=4} = -\frac{1}{4} \neq 0$. Следовательно, $z = 4$ — полюс функции $f_4(z)$ первого порядка.

Итак, в проколотой окрестности точки $z = 4$ функция $F(z)$ распадается на две регулярные ветви, для одной из которых $z = 4$ — регулярная точка, а для другой точка $z = 4$ — полюс первого порядка.

Замечание 1. Типичная ошибка при исследовании особых точек функции $F(z) = \frac{1}{2 + \sqrt{z}}$ такова: «Так как $\lim_{z \rightarrow 0} \frac{1}{2 + \sqrt{z}} = \frac{1}{2}$, то $z = 0$ — устранимая особая точка функции $F(z)$ ». Это утверждение неверно, так как устранимая особая точка — это изолированная особая точка однозначной регулярной функции, а функция $F(z)$ не является однозначной.

Пример 5. Исследуем особые точки функции $F(z) = \frac{1}{\operatorname{Ln} z}$. Эта функция аналитична во всей расширенной комплексной плоскости с выколотыми точками $0, \infty, 1$.

1) Пусть $K_1 : 0 < |z| < 1$, $g_1(z)$ — элемент функции $\operatorname{Ln} z$ в точке $z_1 = \frac{1}{2}$ такой, что $g_1\left(\frac{1}{2}\right) = -\ln 2$. Тогда $f_1(z) = \frac{1}{g_1(z)}$ — элемент функции $F(z)$ в точке $z_1 = \frac{1}{2}$.

При аналитическом продолжении элемента $f_1(z)$ вдоль окружности $|z| = \frac{1}{2}$ после каждого оборота вокруг точки $z = 0$ получается новый элемент

$$\frac{1}{g_1(z)} \rightarrow \frac{1}{g_1(z) + 2\pi i} \rightarrow \frac{1}{g_1(z) + 4\pi i} \rightarrow \dots$$

Следовательно, $z = 0$ — логарифмическая точка ветвления функции $F(z)$.

2) Аналогично доказывается, что точка $z = \infty$ также является логарифмической точкой ветвления функции $F(z)$.

3) В круге $K : |z - 1| < 1$ функция $\operatorname{Ln} z$ распадается на регулярные ветви $g_k(z) = g_0(z) + 2\pi ki$, $k = 0, \pm 1, \pm 2, \dots$, где $g_0(1) = 0$. Поэтому функция $F(z)$ в кольце $K_2 : 0 < |z - 1| < 1$ распадается на регулярные ветви $f_k(z) = \frac{1}{g_k(z)}$, $k = 0, \pm 1, \pm 2, \dots$.

Если целое число $k \neq 0$, то функция $f_k(z)$ регулярна во всем круге K , в частности, в точке $z = 1$, так как $g_k(z) \neq 0$ при $z \in K$.

Для функции $f_0(z)$ точка $z = 1$ является полюсом, так как $g_0(1) = 0$. А так как $g'_0(1) = \frac{1}{z}\Big|_{z=1} = 1 \neq 0$, то $z = 1$ — полюс функции $f_0(z)$ первого порядка.

Итак, в проколотой окрестности точки $z = 1$ функция $\frac{1}{\operatorname{Ln} z}$ распадается на бесконечное число регулярных ветвей, каждая из которых, кроме одной, регулярна в точке $z = 1$, а для одной из них точка $z = 1$ — полюс первого порядка.

Пример 6. Исследуем особые точки функции $F(z) = \operatorname{Ln} \frac{z-1}{3-z}$. Эта функция аналитична во всей расширенной комплексной плоскости с выколотыми точками $1, 3, \infty$.

1) Пусть $K_1 : 0 < |z - 1| < 2$, $f_1(z) = g_1(z) - h_1(z)$ — элемент функции $F(z)$ в точке $z_1 = 2 \in K_1$, где $g_1(z)$, $h_1(z)$ — некоторые элементы соответственно функций $\operatorname{Ln}(z - 1)$, $\operatorname{Ln}(3 - z)$ в точке $z_1 = 2$.

При аналитическом продолжении элемента $f_1(z)$ вдоль окружности $|z - 1| = 1$ после каждого оборота вокруг точки $z = 1$ получается

новый элемент:

$$f_1(z) \rightarrow f_1(z) + 2\pi i \rightarrow f_1(z) + 4\pi i \rightarrow \dots,$$

так как

$$\begin{aligned} g_1(z) &\rightarrow g_1(z) + 2\pi i \rightarrow g_1(z) + 4\pi i \rightarrow \dots, \\ h_1(z) &\rightarrow h_1(z) \rightarrow h_1(z) \rightarrow \dots. \end{aligned}$$

Следовательно, $z = 1$ — логарифмическая точка ветвления функции $F(z)$.

2) Аналогично доказывается, что точка $z = 3$ также является логарифмической точкой ветвления функции $F(z)$.

3) В кольце $3 < |z| < \infty$ функция $F(z)$ распадается на регулярные ветви $f_k(z)$, $k = 0, \pm 1, \pm 2, \dots$, такие, что $\lim_{z \rightarrow \infty} f_k(z) = \pi(1 + 2k)i$, поэтому для каждой из этих ветвей точка $z = \infty$ является устранимой, т. е. регулярной.

Пример 7. Исследуем особые точки функции $F(z) = \sqrt[3]{z^2(2-z)}$. Эта функция аналитична во всей расширенной комплексной плоскости с выколотыми точками $0, 2, \infty$.

1) Пусть $K_1 : 0 < |z| < 2$, $f_1(z) = g_1(z)h_1(z)$ — элемент функции $F(z)$ в точке $z_1 = 1 \in K_1$, где $g_1(z)$, $h_1(z)$ — некоторые элементы функций соответственно $\sqrt[3]{z^2}$, $\sqrt[3]{2-z}$ в точке $z_1 = 1$.

При аналитическом продолжении элемента $f_1(z)$ вдоль окружности $|z| = 1$ после трех оборотов вокруг точки $z = 0$ получаем:

$$\begin{aligned} f_1(z) = g_1(z)h_1(z) &\rightarrow \left[e^{\frac{4\pi i}{3}} g_1(z) \right] h_1(z) \rightarrow \left[e^{\frac{8\pi i}{3}} g_1(z) \right] h_1(z) \rightarrow \\ &\rightarrow \left[e^{\frac{12\pi i}{3}} g_1(z) \right] h_1(z) \equiv f_1(z). \end{aligned}$$

Следовательно, $z = 0$ — алгебраическая точка ветвления третьего порядка функции $F(z)$.

2) Аналогично доказывается, что $z = 2$ также алгебраическая точка ветвления третьего порядка функции $F(z)$.

3) В кольце $2 < |z| < \infty$ функция $F(z)$ распадается на три регулярные ветви $f_k(z) = zh_k(z)$, где функции $h_k(z)$ регулярны в точке $z = \infty$ и $h_k(\infty) = e^{\frac{\pi}{3}(1+2k)i}$, $k = 0, 1, 2$. Следовательно, для каждой из этих ветвей точка $z = \infty$ является полюсом первого порядка.

Рассмотрим более сложный пример.

Пример 8. Исследуем особые точки аналитической функции

$$F(z) = \sqrt{z} + \sqrt{z-2}. \quad (1)$$

Исходный элемент этой функции выберем, например, в точке $z_0 = 1$. В этой точке функция \sqrt{z} имеет два элемента $g_0(z)$,

$g_1(z)$ такие, что $g_0(1) = 1$, $g_1(1) = -1$, поэтому $g_1(z) = -g_0(z)$. Функция $\sqrt{z-2}$ в точке $z_0 = 1$ также имеет два элемента $h_0(z)$, $h_1(z)$ такие, что $h_0(1) = i$, $h_1(1) = -i$, поэтому $h_1(z) = -h_0(z)$.

Пусть $f_0(z) = g_0(z) + h_0(z)$ — исходный элемент функции $F(z)$. Допустимыми кривыми для элемента $f_0(z)$ являются все кривые с началом в точке $z_0 = 1$, не проходящие через точки $z = 0$ и $z = 2$, так как такие и только такие кривые являются допустимыми для обоих элементов $g_0(z)$ и $h_0(z)$.

В результате аналитического продолжения элемента $f_0(z)$ из точки z_0 в точку z вдоль допустимой для него кривой γ в точке z получается элемент

$$f(z) = \sqrt{|z|} e^{\frac{i\Delta\varphi_2}{2}}, \quad (2)$$

где $\Delta\varphi_1 = \Delta_\gamma \arg z$, $\Delta\varphi_2 = \Delta_\gamma \arg(z-2)$.

1) Пусть D_1 — кольцо $0 < |z| < 2$ (рис. 60). Так как элемент $f_0(z)$ можно аналитически продолжить по любой кривой γ с началом в точке z_0 , лежащей в области D_1 , то элемент $f_0(z)$ порождает аналитическую в области D_1 функцию, обозначим ее $F_1(z)$.

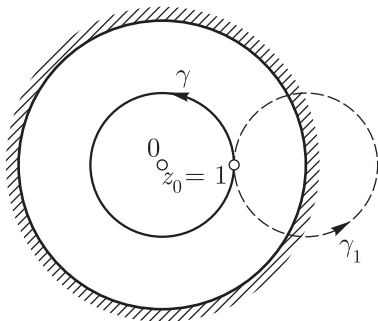


Рис. 60

По условию $f_0(1) = 1 + i$. Найдем результат аналитического продолжения элемента $f_0(z)$ вдоль окружности $\gamma: |z| = 1$ с началом и концом в точке $z_0 = 1$, ориентированной против часовой стрелки, т. е. совершив обход вокруг точки $z = 0$ в положительном направлении.

После одного оборота в точке $z_0 = 1$ получим элемент $f_1(z)$, значение которого в точке $z_0 = 1$ по формуле (2) равно $f_1(1) = -1 + i$, так как $\Delta\varphi_1 = 2\pi$, $\Delta\varphi_2 = 0$. Поэтому $f_1(z) = -g_0(z) + h_0(z)$. Таким образом, после первого оборота вокруг

точки $z = 0$ получаем

$$f_0(z) = g_0(z) + h_0(z) \rightarrow f_1(z) = -g_0(z) + h_0(z) \neq f_0(z).$$

Аналогично, после второго оборота получаем

$$f_1(z) = -g_0(z) + h_0(z) \rightarrow g_0(z) + h_0(z) \equiv f_0(z).$$

Следовательно, $z = 0$ — алгебраическая точка ветвления второго порядка функции $F_1(z)$.

Заметим, что функция $F(z)$ в каждой точке $z \neq 0$, $z \neq 2$ имеет четыре различных элемента, в частности, в точке $z_0 = 1$ четыре элемента $\pm g_0(z) \pm h_0(z)$. Так, элемент $g_0(z) - h_0(z)$ получается в результате аналитического продолжения элемента $f_0(z) = g_0(z) + h_0(z)$ вдоль окружности $\gamma_1: |z-2|=1$ (рис. 60), а элемент $-g_0(z) - h_0(z)$ — в результате аналитического продолжения элемента $f_0(z)$ по кривой $\gamma\gamma_1$.

Пусть $F_2(z)$ — аналитическая в кольце D_1 функция с исходным элементом $f_2(z) = g_0(z) - h_0(z)$, заданным в точке $z_0 = 1$ значением $f_2(1) = 1 - i$. Так же, как и для функции $F_1(z)$, доказывается, что $z = 0$ — алгебраическая точка ветвления второго порядка функции $F_2(z)$.

Итак, в кольце D_1 аналитическая функция $F(z)$ распадается на две различные аналитические ветви $F_1(z)$ и $F_2(z)$, для каждой из которых $z = 0$ — алгебраическая точка ветвления второго порядка.

2) Аналогично доказывается, что:

в кольце $0 < |z-2| < 2$ функция $F(z)$ распадается на две аналитические ветви, для каждой из которых $z = 2$ — алгебраическая точка ветвления второго порядка;

в кольце $2 < |z| < \infty$ функция $F(z)$ распадается на две аналитические ветви, для каждой из которых $z = \infty$ — алгебраическая точка ветвления второго порядка.

3. Граничные особые точки регулярных функций

Определение 2. Пусть функция $f(z)$ регулярна в области D , границей которой является простая кривая Γ . Точка $z_0 \in \Gamma$ называется *регулярной граничной точкой* функции $f(z)$, если функцию $f(z)$ можно аналитически продолжить в точку z_0 по кривой γ с концом в точке z_0 , лежащей в области D , за исключением точки z_0 . В противном случае точка z_0 называется *граничной особой точкой* функции $f(z)$.

Отметим, что если z_0 — регулярная граничная точка функции $f(z)$, то функцию $f(z)$ можно аналитически продолжить в точку z_0 по любой кривой с концом в точке z_0 , лежащей в области D , за исключением точки z_0 . При этом в точке z_0 получается один и тот же элемент $f_0(z)$ для всех таких кривых. Поэтому существует такая окрестность точки z_0 , т. е. круг $K_0 : |z - z_0| < R_0$, что $f_0(z) = f(z)$ при $z \in D \cap K_0$.

Теорема 2. На границе круга сходимости степенного ряда

$$f(z) = \sum_{n=0}^{\infty} c_n (z - z_0)^n \quad (3)$$

есть хотя бы одна особая точка его суммы.

○ Пусть $K_0 : |z - z_0| < R_0$ — круг сходимости ряда (3), $0 < R_0 < \infty$, и на окружности $\Gamma_0 : |z - z_0| = R_0$ нет особых точек функции $f(z)$. Тогда эту функцию можно аналитически продолжить в каждую точку $\zeta \in \Gamma_0$ и в точке ζ получится элемент $f_\zeta(z)$, $\zeta \in K_\zeta : |z - \zeta| < R_\zeta$, такой, что $f_\zeta(z) = f(z)$ при $z \in K_0 \cap K_\zeta$. Таким образом, окружность Γ_0 покрыта бесконечным числом кругов K_ζ .

По лемме Гейля–Бореля из этого бесконечного покрытия можно выбрать конечное покрытие, т. е. из всех кругов K_ζ можно выбрать конечное число кругов $K_j : |z - z_j| < R_j$, $j = 1, 2, \dots, n$, таких, что каждая точка $z \in \Gamma_0$ принадлежит хотя бы одному из этих кругов.

Точку пересечения соседних окружностей $|z - z_j| = R_j$ и $|z - z_{j+1}| = R_{j+1}$, лежащую вне круга K_0 , обозначим \tilde{z}_j , $j = 1, 2, \dots, n$ ($K_{n+1} = K_1$). Пусть $\tilde{R}_0 = \min_{1 \leq j \leq n} |\tilde{z}_j - z_0|$. Тогда функция $f(z)$ и элементы $f_j(z)$, $z \in K_j$, $j = 1, 2, \dots, n$, определяют в круге $\tilde{K}_0 : |z - z_0| < \tilde{R}_0$ регулярную функцию $F(z)$ — аналитическое продолжение функции $f(z)$ из круга K_0 в круг \tilde{K}_0 . Поэтому ряд (3) сходится в круге \tilde{K}_0 к функции $F(z)$, т. е. радиус сходимости ряда (3) больше R_0 , что противоречит условию. ●

Пример 9. Радиус сходимости ряда $\sum_{n=0}^{\infty} (-1)^n z^{2n}$ равен 1. На окружности $|z| = 1$ есть две особые точки его суммы $\frac{1}{1+z^2}$, а именно, точки $\pm i$.

Следствие. Радиус сходимости ряда (3) равен расстоянию от точки z_0 до ближайшей к ней особой точки функции $f(z)$.

Пример 10. Не вычисляя коэффициенты ряда

$$\frac{1}{(x+2)(z-3i)} = \sum_{n=0}^{\infty} c_n z^n,$$

можно сразу сказать, что его радиус сходимости равен двум, так как ближайшей к точке $z = 0$ особой точкой его суммы является точка $z = -2$.

Замечание 2. Сходимость ряда (3) в точках границы его круга сходимости не связана с регулярностью суммы ряда в этих точках. Приведем примеры.

Пример 11. Ряд $\frac{1}{1-z} = \sum_{n=0}^{\infty} z^n$ расходится в каждой точке окружности $|z| = 1$. Для суммы ряда точка $z = 1$ — особая, а остальные точки этой окружности — регулярные.

Пример 12. Ряд $f(z) = \sum_{n=0}^{\infty} \frac{(-1)^{n+1} z^n}{n}$ сходится в точке $z = 1$ и его сумма регулярна в этой точке, так как $f(z)$ — это элемент функции $\text{Ln}(1+z)$.

Пример 13. Ряд $f(z) = \sum_{n=0}^{\infty} \frac{z^{n+1}}{n(n+1)}$ сходится в каждой точке окружности $|z| = 1$, но точка $z = 1$ является особой для его суммы, так как $f(z)$ — это элемент функции $z + (1-z)\text{Ln}(1-z)$, для которой $z = 1$ — точка ветвления.

Вопросы, связанные с более глубоким изучением темы «Граничные особые точки», рассматриваются в [11].

ТЕОРИЯ ВЫЧЕТОВ И ЕЕ ПРИМЕНЕНИЯ

§ 21. Теоремы о вычетах

1. Определение вычета

Пусть точка $z_0 \neq \infty$ является изолированной особой точкой однозначного характера функции $f(z)$, т. е. функция $f(z)$ регулярна в кольце $0 < |z - z_0| < R$, $R > 0$. Тогда в этом кольце

$$f(z) = \sum_{n=-\infty}^{\infty} c_n (z - z_0)^n, \quad (1)$$

где

$$c_n = \frac{1}{2\pi i} \int_{C_\rho} \frac{f(\xi)}{(\xi - z_0)^{n+1}} d\xi, \quad (2)$$

окружность $C_\rho : |\zeta - z_0| = \rho$, $0 < \rho < R$, ориентирована против часовой стрелки.

Определение 1. *Вычетом функции $f(z)$ в точке $z_0 \neq \infty$ называется коэффициент ряда (1) при $\frac{1}{z - z_0}$, т. е. число c_{-1} , и обозначается**

$$\operatorname{res}_{z=z_0} f(z) = c_{-1}. \quad (3)$$

Из формул (2), (3) получаем

$$\int_{C_\rho} f(z) dz = 2\pi i \operatorname{res}_{z=z_0} f(z). \quad (4)$$

Пример 1. Найдем вычет функции $f(z) = z^2 e^{\frac{1}{z}}$ в точке $z = 0$.

* От французского *résidu* — остаток.

При $0 < |z| < \infty$ получаем

$$f(z) = z^2 \sum_{n=0}^{\infty} \frac{1}{n! z^n} = z^2 + z + \frac{1}{2} + \frac{1}{3!z} + \frac{1}{4!z^2} + \dots,$$

откуда $c_{-1} = \frac{1}{3!} = \frac{1}{6}$, $\operatorname{res}_{z=0} f(z) = \frac{1}{6}$.

Пример 2. Найдем вычет функции $f(z) = z \cos \frac{1}{z+1}$ в точке $z = -1$.

При $0 < |z+1| < \infty$ получаем

$$\begin{aligned} f(z) &= [(z+1) - 1] \left[1 - \frac{1}{2(z+1)^2} + \dots \right] = \\ &= (z+1) - 1 - \frac{1}{2(z+1)} + \dots, \quad \text{откуда } c_{-1} = -\frac{1}{2}, \\ \operatorname{res}_{z=-1} f(z) &= -\frac{1}{2}. \end{aligned}$$

Пусть теперь точка $z = \infty$ является изолированной особой точкой однозначного характера функции $f(z)$, т. е. функция $f(z)$ регулярна в кольце $K: R < |z| < \infty$. Тогда в этом кольце

$$f(z) = \sum_{n=-\infty}^{\infty} c_n z^n, \quad (5)$$

где

$$c_n = \frac{1}{2\pi i} \int_{C_\rho} \frac{f(\xi)}{\xi^{n+1}} d\xi, \quad (6)$$

окружность $C_\rho: |\xi| = \rho$, $R < \rho < \infty$, ориентирована против часовой стрелки.

Определение 2. Вычетом функции $f(z)$ в точке $z = \infty$ называется коэффициент ряда (5) при $\frac{1}{z}$ с обратным знаком, т. е. число $-c_{-1}$, и обозначается

$$\operatorname{res}_{z=\infty} f(z) = -c_{-1}. \quad (7)$$

Из формул (6), (7) получаем

$$\int_{C_\rho^{-1}} f(z) dz = 2\pi i \operatorname{res}_{z=\infty} f(z). \quad (8)$$

Замечание 1. В точке $z = \infty$ вычетом функции называют не число c_{-1} , а число $-c_{-1}$ для того, чтобы формулы (4) и (8) были одинаковыми: в формуле (4) C_ρ — граница окрестности точки $z_0 \neq \infty$ и в формуле (8) также C_ρ^{-1} — граница окрестности точки $z = \infty$.

Замечание 2. Если точка $z_0 \neq \infty$ является устранимой, т. е. регулярной для функции $f(z)$, то из определения 1 следует, что $\operatorname{res}_{z=z_0} f(z) = 0$. Однако, если точка $z = \infty$ является регулярной для функции $f(z)$, то может оказаться, что $\operatorname{res}_{z=\infty} f(z) \neq 0$. Например, $\operatorname{res}_{z=\infty} \frac{1}{z} = -1 \neq 0$.

Пример 3. Из примера 1 следует, что

$$\operatorname{res}_{z=\infty} z^2 e^{\frac{1}{z}} = -\frac{1}{6}.$$

Пример 4. Найдем вычет функции $f(z) = \frac{3}{z+2} \cos \frac{1}{z+2}$ в точке $z = \infty$.

Данная функция регулярна при $|z+2| > 0$ и $\lim_{z \rightarrow \infty} z f(z) = 3$, т. е. $f(z) \sim \frac{3}{z}$ при $z \rightarrow \infty$, поэтому $\operatorname{res}_{z=\infty} f(z) = -3$.

2. Вычисление вычета в полюсе $z_0 \neq \infty$ и в регулярной точке $z = \infty$

Лемма 1. Пусть точка $z_0 \neq \infty$ является полюсом порядка m функции $f(z)$. Тогда

$$\operatorname{res}_{z=z_0} f(z) = \frac{1}{(m-1)!} \lim_{z \rightarrow z_0} \frac{d^{m-1}}{dz^{m-1}} [(z-z_0)^m f(z)]. \quad (9)$$

○ При z из проколотой окрестности точки z_0

$$f(z) = \frac{c_{-m}}{(z-z_0)^m} + \dots + \frac{c_{-1}}{z-z_0} + c_0 + c_1(z-z_0) + \dots$$

Умножая обе части этого равенства на $(z-z_0)^m$, получаем

$$(z-z_0)^m f(z) = c_{-m} + \dots + c_{-1}(z-z_0)^{m-1} + c_0(z-z_0)^m + \dots$$

Дифференцируя последнее равенство $(m-1)$ раз и переходя к пределу при $z \rightarrow z_0$, получаем формулу (9). ●

Пример 5. Найдем вычет функции $f(z) = \frac{1}{z^2} \sin z$ в точке $z = 0$.

Так как $z = 0$ — полюс функции $f(z)$ первого порядка, то по формуле (9) находим

$$\operatorname{res}_{z=0} f(z) = \lim_{z \rightarrow 0} \frac{\sin z}{z} = 1.$$

Замечание 3. Если $z = z_0$ — полюс порядка m функции $f(z)$ и эта функция представлена в виде

$$f(z) = \frac{h(z)}{(z - z_0)^m}, \quad h(z_0) \neq 0,$$

где $h(z)$ — функция, регулярная в точке z_0 , то из формулы (9) следует, что

$$\operatorname{res}_{z=z_0} f(z) = \frac{1}{(m-1)!} \frac{d^{m-1}}{dz^{m-1}} [(z - z_0)^m f(z)] \Big|_{z=z_0} = \frac{1}{(m-1)!} h^{(m-1)}(z_0). \quad (10)$$

В частности, при $m = 1$ из формулы (10) получаем

$$\operatorname{res}_{z=z_0} f(z) = (z - z_0) f(z) \Big|_{z=z_0} = h(z_0). \quad (11)$$

Пример 6. Найдем вычеты функции $f(z) = \frac{z}{(z-1)(z-2)^2}$ в точках $z = 1$ и $z = 2$.

По формуле (11) находим

$$\operatorname{res}_{z=1} f(z) = \frac{z}{(z-2)^2} \Big|_{z=1} = 1,$$

а по формуле (10) при $m = 2$ получаем

$$\operatorname{res}_{z=2} f(z) = \left(\frac{z}{z-1} \right)' \Big|_{z=2} = -1.$$

Замечание 4. Если $f(z) = \frac{h(z)}{g(z)}$, где функции $h(z)$, $g(z)$ регулярны в точке $z_0 \neq \infty$ и $g(z_0) = 0$, $g'(z_0) \neq 0$, то

$$\operatorname{res}_{z=z_0} f(z) = \frac{h(z_0)}{g'(z_0)}. \quad (12)$$

○ По формуле (11) находим

$$\operatorname{res}_{z=z_0} f(z) = \lim_{z \rightarrow z_0} \frac{(z - z_0)h(z)}{g(z)} = \lim_{z \rightarrow z_0} \frac{h(z)}{\frac{g(z) - g(z_0)}{z - z_0}} = \frac{h(z_0)}{g'(z_0)}. \quad \bullet$$

Пример 7. Найдем вычеты функции $f(z) = \operatorname{ctg} z$ в точках $z_k = \pi k$, $k = 0, \pm 1, \pm 2, \dots$

По формуле (12) находим

$$\operatorname{res}_{z=\pi k} f(z) = \frac{\cos z}{(\sin z)'} \Big|_{z=\pi k} = 1.$$

Замечание 5. При доказательстве леммы 1 не использовалось условие $c_{-m} \neq 0$, поэтому формулы (9), (10) верны и в случае, когда точка $z_0 \neq \infty$ является полюсом функции $f(z)$ порядка не больше m , в частности, устранимой особой точкой.

Пример 8. Найдем вычет функции $f(z) = \frac{\sin z}{z^6}$ в точке $z = 0$.

Для данной функции $z = 0$ — полюс порядка не больше 6. По формуле (9) при $m = 6$ находим

$$\operatorname{res}_{z=0} \frac{\sin z}{z^6} = \frac{1}{5!} \left. \frac{d^5 \sin z}{dz^5} \right|_{z=0} = \frac{1}{5!} \cos z \Big|_{z=0} = \frac{1}{5!}.$$

Лемма 2. Пусть $z = \infty$ — регулярная точка функции $f(z)$. Тогда

$$\operatorname{res}_{z=\infty} f(z) = \lim_{z \rightarrow \infty} [z(f(\infty) - f(z))]. \quad (13)$$

○ Из формулы (5) следует, что

$$f(z) = c_0 + \frac{c_{-1}}{z} + \frac{c_{-2}}{z^2} + \dots \quad \text{при } |z| > R,$$

откуда получаем $c_0 = f(\infty)$,

$$\begin{aligned} z[f(z) - f(\infty)] &= c_{-1} + \frac{c_{-2}}{z} + \dots, \\ -c_{-1} &= \operatorname{res}_{z=\infty} f(z) = \lim_{z \rightarrow \infty} [z(f(\infty) - f(z))]. \end{aligned}$$

Пример 9. Найдем вычет функции $f(z) = \frac{e^{\frac{1}{z}}}{z+1}$ в точке $z = \infty$.

Так как $f(\infty) = \lim_{z \rightarrow \infty} f(z) = 0$, то по формуле (13) находим

$$\operatorname{res}_{z=\infty} f(z) = \lim_{z \rightarrow \infty} \left[\frac{(-1)z}{z+1} e^{\frac{1}{z}} \right] = -1.$$

Пример 10. Найдем вычет функции $f(z) = \frac{z}{z^3+1} \sin \frac{1}{z}$ в точке $z = \infty$.

Так как $f(z) \sim \frac{1}{z^3}$ при $z \rightarrow \infty$, то при $|z| > 1$

$$f(z) = \frac{c_{-3}}{z^3} + \frac{c_{-4}}{z^4} + \dots$$

Поэтому $c_{-1} = 0$ и $\operatorname{res}_{z=\infty} f(z) = 0$.

Пример 11. Найдем $\operatorname{res}_{z=\infty} f(z)$, если $f(z) = \frac{a_2 z^2 + a_1 z + a_0}{b_2 z^2 + b_1 z + b_0}$, $b_2 \neq 0$.

Функция $f(z)$ регулярна в точке $z = \infty$, причем $f(\infty) = \frac{a_2}{b_2}$, а ее ряд Лорана в окрестности точки $z = \infty$ имеет вид

$$f(z) = c_0 + \frac{c_{-1}}{z} + \frac{c_{-2}}{z^2} + \dots,$$

откуда следует, что

$$\operatorname{res}_{z=\infty} f(z) = -c_{-1} = \lim_{n \rightarrow \infty} z(c_0 - f(z)), \quad \text{где } c_0 = f(\infty) = \frac{a_2}{b_2}.$$

Так как $\varphi(z) = z(c_0 - f(z)) = z \left[\frac{a_2}{b_2} - \frac{a_2 + \frac{a_1}{z} + \frac{a_0}{z^2}}{b_2 + \frac{b_1}{z} + \frac{b_0}{z^2}} \right] = \frac{a_2 b_1 - b_2 a_1}{b_2^2} +$

$$+ \frac{\frac{\alpha}{z}}{1 + \frac{\beta}{z} + \frac{\gamma}{z^2}}, \quad \text{то } \operatorname{res}_{z=\infty} f(z) = \frac{a_2 b_1 - b_2 a_1}{b_2^2}.$$

3. Формулы для вычисления интегралов с помощью вычетов

Теорема 1 (основная теорема теории вычетов). Пусть функция $f(z)$ регулярна в ограниченной области D за исключением особых точек z_1, z_2, \dots, z_n , и непрерывна в области D вплоть до ее границы Γ . Тогда

$$\int_{\Gamma} f(z) dz = 2\pi i \sum_{k=1}^n \operatorname{res}_{z=z_k} f(z). \quad (14)$$

О Область D может быть и неодносвязной. На рис. 61 граница Γ области D состоит из кривых Γ_1, Γ_2 , ориентированных так, что при обходе этих кривых область D остается слева.

Пусть D_1 — область, полученная из области D удалением непересекающихся кругов $G_k : |z - z_k| \leq \rho_k$, принадлежащих области D (рис. 61). Тогда функция $f(z)$ регулярна в области D_1 и непрерывна вплоть до ее границы $\tilde{\Gamma} = \Gamma \cup C_{\rho_1}^{-1} \cup \dots \cup C_{\rho_n}^{-1}$. Здесь окружности $C_{\rho_k} : |z - z_k| = \rho_k$, $\rho_k > 0$, ориентированы против часовой стрелки

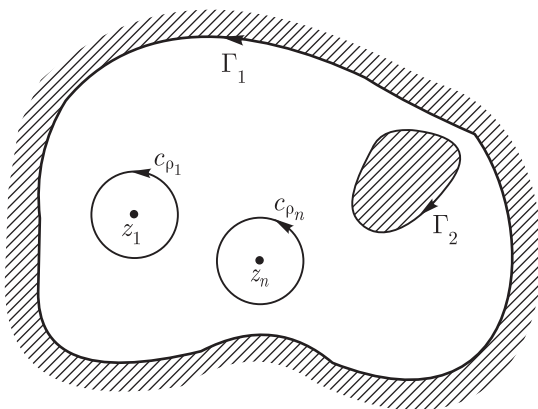


Рис. 61

(рис. 61). По интегральной теореме Коши $\int_{\tilde{\Gamma}} f(z)dz = 0$, т. е.

$$\int_{\Gamma} f(z)dz + \sum_{k=1}^n \int_{C_{\rho_k}^{-1}} f(z)dz = 0,$$

откуда, используя (4), получаем формулу (14). ●

Пример 12. Вычислим интеграл $I = \oint_{|z|=3} f(z)dz$, где $f(z) = \frac{z^2}{(z-2)^2}$.

Здесь и далее запись $I = \oint_{|z-z_0|=\rho} f(z)dz$ означает, что окружность

$|z - z_0| = \rho$ ориентирована против часовой стрелки.

По формуле (10) получаем

$$\operatorname{res}_{z=2} f(z) = 2z|_{z=2} = 4.$$

По формуле (14) находим $I = 8\pi i$.

Пример 13. Вычислим интеграл $I = \oint_{|z|=2} f(z)dz$, где $f(z) = \frac{\cos z}{z^2(z-1)}$.

В круге $|z| < 2$ функция имеет две особые точки: $z = 0$ — полюс второго порядка, $z = 1$ — полюс первого порядка. По формулам (10),

(11) получаем

$$\begin{aligned}\operatorname{res}_{z=0} f(z) &= \left. \frac{d}{dz} \frac{\cos z}{z-1} \right|_{z=0} = -1, \\ \operatorname{res}_{z=1} f(z) &= \left. \frac{\cos z}{z^2} \right|_{z=1} = \cos 1.\end{aligned}$$

По формуле (14) находим

$$I = 2\pi i \left[\operatorname{res}_{z=0} f(z) + \operatorname{res}_{z=1} f(z) \right] = 2\pi i(-1 + \cos 1).$$

Пример 14. Вычислим интеграл $I = \oint_{|z-2i|=2} f(z) dz$, где $f(z) = \frac{1}{1+e^z}$.

В круге $|z-2i| < 2$ функция $f(z)$ имеет одну особую точку: $z = \pi i$ — полюс первого порядка. По формуле (12) получаем

$$\operatorname{res}_{z=\pi i} f(z) = \left. \frac{1}{(1+e^z)'} \right|_{z=\pi i} = -1.$$

По формуле (14) находим $I = -2\pi i$.

Следствие. Пусть функция $f(z)$ регулярна во всей расширенной комплексной плоскости, за исключением конечного числа особых точек. Тогда сумма всех вычетов функции $f(z)$, включая вычет в точке $z = \infty$, равна нулю, т. е.

$$\sum_{k=1}^n \operatorname{res}_{z=z_k} f(z) + \operatorname{res}_{z=\infty} f(z) = 0. \quad (15)$$

В равенстве (15) z_k ($k = \overline{1, n}$) — все конечные особые точки функции $f(z)$, а точка $z = \infty$ является либо особой точкой, либо точкой регулярности функции $f(z)$.

○ Пусть γ — ориентированная в положительном направлении окружность $|z| = R$, где радиус R выбран так, что все точки z_k ($k = \overline{1, n}$) лежат внутри γ . По теореме 1

$$\oint_{\gamma} f(z) dz = 2\pi i \sum_{k=1}^n \operatorname{res}_{z=z_k} f(z). \quad (16)$$

С другой стороны, по определению вычета в точке $z = \infty$,

$$\oint_{\gamma} f(z) dz = 2\pi i \operatorname{res}_{z=\infty} f(z). \quad (17)$$

Сложив равенства (16) и (17), получаем равенство (15). ●

Пример 15. Вычислим интеграл

$$J = \oint_{|z-1+i|=2} \frac{e^z}{z^2(z^2-4)} dz.$$

Внутри контура интегрирования (окружности радиуса 2 с центром в точке $1-i$) содержатся две особые точки: полюс второго порядка в точке $z=0$ и полюс первого порядка в точке $z=2$. Поэтому

$$J = 2\pi i \left[\operatorname{res}_{z=0} f(z) + \operatorname{res}_{z=2} f(z) \right], \quad \text{где}$$

$$\operatorname{res}_{z=0} f(z) = \left(\frac{e^z}{z^2-4} \right)' \Big|_{z=0} = e^z \left(\frac{1}{z^2-4} - \frac{2z}{(z^2-4)^2} \right) \Big|_{z=0} = -\frac{1}{4}.$$

$$\operatorname{res}_{z=2} f(z) = \frac{e^z}{z^2(z+2)} \Big|_{z=2} = \frac{e^2}{16}, \quad J = \frac{2\pi i}{4} \left(\frac{e^2}{4} - 1 \right) = \frac{\pi i}{2} \left(\frac{e^2}{4} - 1 \right).$$

Пример 16. Вычислим интеграл

$$J = \oint_{|z-1-i|=3} \frac{z^2 \operatorname{sh} \frac{3}{z}}{z-5} dz.$$

Функция $f(z) = \frac{z^2 \operatorname{sh} \frac{3}{z}}{z-5}$ имеет две конечные особые точки: $z=0$ (существенно особая точка, лежит внутри окружности радиуса 3 с центром в точке $1+i$) и $z=5$ — полюс первого порядка (лежит вне этой окружности). Используя следствие из теоремы 1, получаем

$$J = 2\pi i \operatorname{res}_{z=0} f(z) = -2\pi i \left(\operatorname{res}_{z=5} f(z) + \operatorname{res}_{z=\infty} f(z) \right), \quad \text{где}$$

$$\operatorname{res}_{z=5} f(z) = \left(z^2 \operatorname{sh} \frac{3}{z} \right) \Big|_{z=5} = 25 \operatorname{sh} \frac{3}{5}.$$

Для нахождения вычета в точке $z=\infty$ преобразуем $f(z)$ и найдем коэффициент при $\frac{1}{z}$ ее ряда Лорана в точке $z=\infty$.

Имеем

$$\begin{aligned} f(z) &= \frac{z}{1-\frac{5}{z}} \operatorname{sh} \frac{3}{z} = z \left(1 + \frac{5}{z} + \frac{25}{z^2} + \dots \right) \left(\frac{3}{z} - \left(\frac{3}{z} \right)^3 \frac{1}{6} + \dots \right) = \\ &= z \left(\dots + \frac{15}{z^2} + \dots \right), \end{aligned}$$

откуда $\operatorname{res}_{z=\infty} f(z) = -15$, $J = 2\pi i \left(15 - 25 \operatorname{sh} \frac{3}{5} \right)$.

Обобщением теоремы 1 является следующая

Теорема 2. Пусть функция $f(z)$ регулярна в области D расширенной комплексной плоскости, за исключением конечного числа особых точек, и непрерывна вплоть до границы Γ этой области, а Γ состоит из конечного числа ограниченных кусочно-гладких кривых. Тогда

а) если область D не содержит точку $z = \infty$, то

$$\oint_{\Gamma} f(z) dz = 2\pi i \sum_{k=1}^n \operatorname{res}_{z=z_k} f(z); \quad (18)$$

б) если точка $z = \infty$ принадлежит области D , то

$$\oint_{\Gamma} f(z) dz = 2\pi i \left(\sum_{k=1}^n \operatorname{res}_{z=z_k} f(z) + \operatorname{res}_{z=\infty} f(z) \right). \quad (19)$$

Здесь z_k ($k = \overline{1, n}$) — все конечные особые точки, контур Γ ориентирован положительно.

Доказательство. а) Пусть D — ограниченная область, \tilde{D} — многосвязная область, полученная из области D выбрасыванием кругов K_j достаточно малого радиуса с центрами в точках z_j ($j = \overline{1, n}$). По теореме 2 § 8 интеграл по границе $\tilde{\Gamma}$ области \tilde{D} от функции $f(z)$ равен нулю, т. е.

$$\int_{\tilde{\Gamma}} f(z) dz = \oint_{\Gamma} f(z) dz + \sum_{j=1}^n \oint_{|z-z_j|=\rho} f(z) dz = 0 \quad (20)$$

(граница круга K_j ориентирована по часовой стрелке). Так как

$$\oint_{|z-z_j|=\rho} f(z) dz = -2\pi i \cdot \operatorname{res}_{z=z_j} f(z), \quad (21)$$

то из (20) и (21) следует формула (18).

б) Пусть $K = \{|z| < R\}$, где R выбрано так, чтобы круг K contained внутри себя границу Γ области D и все точки z_j ($j = \overline{1, n}$).

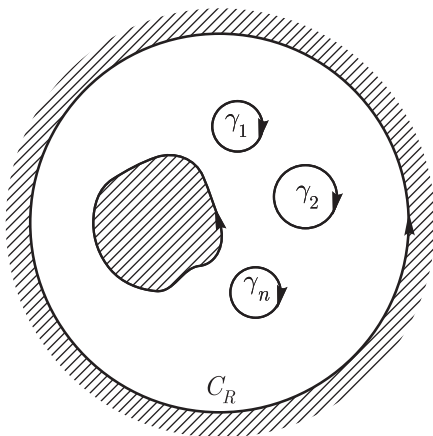


Рис. 62

Рассмотрим область \tilde{G} , полученную из области $G = D \cap K$ выбрасыванием кругов $K_j = \{|z - z_j| < \rho\}$, $j = \overline{1, n}$, указанных выше. Граница $\tilde{\Gamma}$ области \tilde{G} (см. рис. 62) состоит из границы Γ области D , окружностей $\gamma_j = \{|z - z_j| = \rho\}$, $j = \overline{1, n}$ и окружности $C_R = \{|z| = R\}$, кривые C_R и Γ ориентированы положительно (против часовой стрелки), а окружности γ_j — по часовой стрелке. По теореме 2 § 8

$$\int_{\tilde{\Gamma}} f(z) dz = \oint_{\Gamma} f(z) dz + \sum_{j=1}^n \oint_{\gamma_j} f(z) dz + \oint_{C_R} f(z) dz = 0,$$

откуда, используя равенство (21) и формулу $\oint_{C_R} f(z) dz = -2\pi i \operatorname{res}_{z=\infty} f(z)$,

получаем формулу (19). ●

§ 22. Применение теории вычетов к вычислению интегралов

1. Вычисление интегралов $\int_0^{2\pi} R(\sin \varphi, \cos \varphi) d\varphi$

Покажем, что интеграл

$$I = \int_0^{2\pi} R(\sin \varphi, \cos \varphi) d\varphi,$$

где $R(u, v)$ — рациональная функция и интеграл I сходится, можно свести к интегралу от рациональной функции по окружности $|z| = 1$.

○ Пусть $z = e^{i\varphi}$, $0 \leq \varphi \leq 2\pi$. Тогда

$$\sin \varphi = \frac{1}{2i} \left(z - \frac{1}{z} \right), \quad \cos \varphi = \frac{1}{2} \left(z + \frac{1}{z} \right),$$

$$dz = ie^{i\varphi} d\varphi = iz d\varphi, \quad d\varphi = \frac{1}{iz} dz.$$

Поэтому

$$I = \oint_{|z|=1} R_1 dz,$$

где

$$R_1(z) = \frac{1}{iz} R \left(\frac{1}{2i} \left(z - \frac{1}{z} \right), \frac{1}{2} \left(z + \frac{1}{z} \right) \right) -$$

рациональная функция. Этот интеграл можно вычислить по формулам § 21. ●

Пример 1. Вычислим интеграл

$$I = \int_0^{2\pi} \frac{d\varphi}{1 - 2a \cos \varphi + a^2},$$

где $|a| \neq 1$.

После замены $z = e^{i\varphi}$ получаем

$$I = \oint_{|z|=1} R_1(z) dz,$$

где

$$R_1(z) = \frac{1}{iz} \frac{1}{1 - a \left(z + \frac{1}{z} \right) + a^2} = \frac{1}{-ia(z - a) \left(z - \frac{1}{a} \right)}.$$

1) Если $|a| < 1$, то

$$I = 2\pi i \operatorname{res}_{z=a} R_1(z) = 2\pi i \left. \frac{1}{-ia \left(z - \frac{1}{a} \right)} \right|_{z=a} = \frac{2\pi}{1 - a^2}.$$

2) Если $|a| > 1$, то

$$I = 2\pi i \operatorname{res}_{z=\frac{1}{a}} R_1(z) = 2\pi i \left. \frac{1}{-ia(z - a)} \right|_{z=\frac{1}{a}} = \frac{2\pi}{a^2 - 1}.$$

2. Вычисление интегралов от регулярных ветвей аналитических функций

Покажем на примерах, как вычисляются интегралы от функций, содержащих регулярные ветви аналитических функций.

Пример 2. Вычислим интеграл

$$I = \oint_{|z-8|=8} \frac{g(z)}{(z-8)^2} dz,$$

где $g(z)$ — регулярная в круге $|z-8| < 8$ ветвь функции $\sqrt[3]{z}$ такая, что $g(8) = 2$.

Используя формулу (8) § 19 и формулу (10) § 21, находим

$$I = 2\pi i \operatorname{res}_{z=8} \frac{g(z)}{(z-8)^2} = 2\pi i g'(z)|_{z=8} = 2\pi i \frac{g(z)}{3z} \Big|_{z=8} = \frac{\pi i}{6}.$$

Пример 3. Пусть $f(z)$ — регулярная ветвь функции $\operatorname{Ln} \frac{z-1}{3-z}$ в плоскости с разрезом по отрезку $[1, 3]$ такая, что $f(2+i \cdot 0) = 0$. Вычислим интегралы

$$I_1 = \oint_{|z-1-2i|=1} \frac{f(z)}{z-1-2i} dz, \quad I_2 = \oint_{|z|=4} f(z) dz.$$

1) Так как

$$f(z) = -\frac{1}{2} \ln 2 + \frac{3\pi i}{4} + \sum_{n=1}^{\infty} \frac{1}{n2^n} \left(\frac{1}{(1-i)^n} - i^n \right) (z-1-2i)^n$$

при $|z-1-2i| < 2$ (§ 18, п. 4, пример 7), то точка $z = 1+2i$ является полюсом первого порядка функции $\frac{f(z)}{z-1-2i}$. Поэтому

$$I_1 = 2\pi i f(1+2i) = \pi i \ln 2 - \frac{3\pi^2}{2}.$$

2) Так как

$$f(z) = \pi i + \frac{2}{z} + \frac{4}{z^2} + \dots$$

при $|z| > 3$ (§ 18, п. 4, пример 7), то $\operatorname{res}_{z=\infty} f(z) = -2$ и поэтому $I_2 = -2\pi i \cdot (-2) = 4\pi i$.

3. Вычисление интегралов $\int_{-\infty}^{\infty} f(x)dx$

Лемма 1. Пусть функция $f(z)$ регулярна в полуплоскости $\operatorname{Im} z > 0$, за исключением конечных особых точек z_1, z_2, \dots, z_n , непрерывна вплоть до действительной оси $\operatorname{Im} z = 0$, интеграл $\int_{-\infty}^{\infty} f(x)dx$ сходится и

$$\lim_{R \rightarrow \infty} \int_{C_R} f(z)dz = 0, \quad (1)$$

где C_R — полуокружность $|z| = R$, $\operatorname{Im} z \geq 0$. Тогда

$$\int_{-\infty}^{\infty} f(x)dx = 2\pi i \sum_{\substack{z=z_k \\ \operatorname{Im} z_k > 0}} \operatorname{res} f(z), \quad (2)$$

где $\sum_{\operatorname{Im} z_k > 0} \operatorname{res} f(z) = \sum_{k=1}^n \operatorname{res} f(z)$.

Напомним, что основная теорема о вычетах доказана для ограниченной области. В данном случае область $\operatorname{Im} z > 0$ неограничена, поэтому для справедливости формулы (2) нужно дополнительное условие на поведение функции $f(z)$ при $z \rightarrow \infty$, а именно условие (1).

○ Рассмотрим полукруг $|z| < R$, $\operatorname{Im} z > 0$, такой, что точки z_k , $k = 1, 2, \dots, n$, принадлежат этому полукругу (рис. 63). Граница этого полукруга состоит из отрезка $[-R, R]$ и полуокружности C_R . По основной теореме о вычетах получаем

$$\int_{-R}^R f(x)dx + \int_{C_R} f(z)dz = 2\pi i \sum_{\substack{z=z_k \\ \operatorname{Im} z_k > 0}} \operatorname{res} f(z),$$

откуда при $R \rightarrow \infty$ с учетом условия (1) получается формула (2). ●

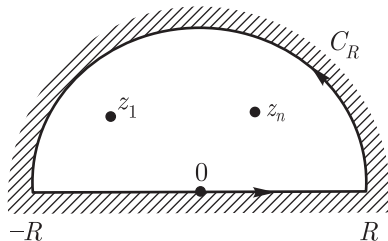


Рис. 63

По формуле (2) можно вычислить интеграл

$$I = \int_{-\infty}^{\infty} R(x) dx, \quad (3)$$

где рациональная функция $R(z) = \frac{P_n(z)}{Q_m(z)}$, $P_n(z)$, $Q_m(z)$ — многочлены степеней соответственно n , m , и интеграл (3) сходится. Будем считать, что многочлены $P_n(z)$ и $Q_m(z)$ не имеют общих нулей, так как иначе дробь $R(z)$ можно упростить сокращением числителя и знаменателя на общие множители. В курсе математического анализа доказано, что интеграл (3) сходится, если $Q_m(x) \neq 0$ и $m \geq n + 2$, так как

$$|R(z)| \leq \frac{M}{|z|^2} \quad (4)$$

при $|z| \geq R_0$, $R_0 > 0$, $M > 0$. Из оценки (4) следует, что

$$\left| \int_{C_R} R(z) dz \right| \leq \frac{M\pi}{R} \rightarrow 0 \quad \text{при} \quad R \rightarrow \infty.$$

Таким образом, выполнены все условия леммы и по формуле (2)

$$\int_{-\infty}^{\infty} R(x) dx = 2\pi i \sum_{\substack{\text{res} \\ z=z_k \\ \text{Im } z_k > 0}} R(z). \quad (5)$$

Аналогично можно доказать формулу

$$\int_{-\infty}^{\infty} R(x) dx = -2\pi i \sum_{\substack{\text{res} \\ z=z_k \\ \text{Im } z_k < 0}} R(z). \quad (6)$$

Для этого нужно рассмотреть полукруг $|z| < R$, $\text{Im } z < 0$ (рис. 64)

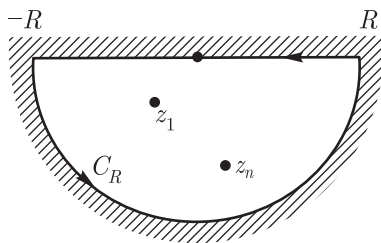


Рис. 64

Замечание 1. Точки z_k являются полюсами функции $R(z)$, поэтому вычисление интеграла (3) сводится к вычислению производных

от рациональных функций и, следовательно, нет необходимости находить неопределенный интеграл $\int R(x)dx$.

Замечание 2. Если коэффициенты многочлена $Q_m(z)$ действительны, то его нули являются комплексно сопряженными, поэтому вычисления интеграла (3) по формулам (5), (6) одинаковы, но если коэффициенты многочлена $Q_m(z)$ не являются действительными, то число его нулей в полуплоскостях $\operatorname{Im} z > 0$ и $\operatorname{Im} z < 0$ может быть различным. Тогда из формул (5), (6) естественно выбрать одну, по которой вычисления будут проще.

Пример 4. Вычислим интеграл

$$I = \int_{-\infty}^{\infty} \frac{dx}{(x^2 + 1)^4}.$$

По формуле (5) находим

$$I = 2\pi i \operatorname{res}_{z=i} \frac{1}{(z-i)^4(z+i)^4} = 2\pi i \frac{1}{3!} \frac{d^3}{dz^3} \frac{1}{(z+i)^4} \Big|_{z=i} = \frac{5\pi}{16}.$$

Пример 5. Вычислим интеграл

$$I = \int_{-\infty}^{\infty} \frac{x^2}{(x-i)^5} dx.$$

В полуплоскости $\operatorname{Im} z > 0$ функция $\frac{z^2}{(z-i)^5}$ имеет полюс 5-го порядка в точке $z = i$, а в полуплоскости $\operatorname{Im} z < 0$ эта функция регулярна. По формуле (6) находим $I = 0$.

Часто в задачах условие (1) приходится доказывать в случае, когда $f(z) = g(z)e^{i\alpha z}$, т. е. оценивать интеграл

$$I_R = \int_{C_R} g(z)e^{i\alpha z} dz \quad (7)$$

при $R \rightarrow \infty$, где C_R — полуокружность $|z| = R$, $\operatorname{Im} z \geq 0$.

Лемма 2 (Жордана). Пусть в интеграле (7) функция $g(z)$ непрерывна при $|z| \geq R_0 > 0$, $\operatorname{Im} z \geq 0$, $\alpha > 0$ и

$$M_R = \max_{z \in C_R} |g(z)| \rightarrow 0 \quad \text{при} \quad R \rightarrow \infty. \quad (8)$$

Тогда

$$\lim_{R \rightarrow \infty} \int_{C_R} g(z)e^{i\alpha z} dz = 0. \quad (9)$$

Оценим интеграл (7). Так как C_R : $z = Re^{i\varphi}$, $0 \leq \varphi \leq \pi$, то $dz = iRe^{i\varphi}d\varphi$,

$$|e^{iaz}| = |e^{i\alpha R(\cos \varphi + i \sin \varphi)}| = e^{-\alpha R \sin \varphi},$$

поэтому

$$|I_R| \leq M_R R \int_0^\pi e^{-\alpha R \sin \varphi} d\varphi.$$

График функции $\sin \varphi$ на отрезке $0 \leq \varphi \leq \pi$ симметричен относительно прямой $\varphi = \frac{\pi}{2}$ и $\sin \varphi \geq \frac{2}{\pi} \varphi$ при $0 \leq \varphi \leq \frac{\pi}{2}$ (рис. 65). Отсюда с учетом условия $\alpha > 0$ получаем

$$\int_0^\pi e^{-\alpha R \sin \varphi} d\varphi = 2 \int_0^{\frac{\pi}{2}} e^{-\alpha R \sin \varphi} d\varphi \leq 2 \int_0^{\frac{\pi}{2}} e^{-\frac{2\alpha R}{\pi} \varphi} d\varphi = \frac{\pi}{\alpha R} (1 - e^{-\alpha R}).$$

Из этой оценки и условия (8) следует, что

$$|I_R| \leq \frac{M_R \pi}{\alpha} (1 - e^{-\alpha R}) \rightarrow 0 \quad \text{при} \quad R \rightarrow \infty. \quad \bullet$$

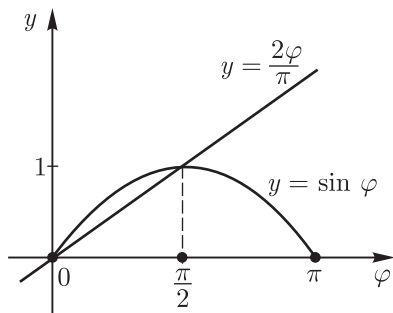


Рис. 65

Рассмотрим интеграл

$$\int_{-\infty}^{\infty} e^{i\alpha x} R(x) dx, \quad (10)$$

где $\alpha > 0$, $R(z) = \frac{P_n(z)}{Q_m(z)}$. В курсе математического анализа доказано, что интеграл (10) сходится, если $Q_m(z) \neq 0$ и $m \geq n + 1$. Тогда

выполняются условия лемм 1, 2 и по формуле (2) получаем

$$\int_{-\infty}^{\infty} e^{i\alpha z} R(x) dx = 2\pi i \sum_{\operatorname{Im} z_k > 0} \operatorname{res}_{z=z_k} [e^{i\alpha z} R(z)]. \quad (11)$$

При этом если функция $R(x)$ действительна, то приравнявая в формуле (11) действительные и мнимые части, получаем

$$\int_{-\infty}^{\infty} R(x) \cos \alpha x dx = -2\pi \operatorname{Im} \left[\sum_{\operatorname{Im} z_k > 0} \operatorname{res}_{z=z_k} (e^{i\alpha z} R(z)) \right], \quad (12)$$

$$\int_{-\infty}^{\infty} R(x) \sin \alpha x dx = 2\pi \operatorname{Re} \left[\sum_{\operatorname{Im} z_k > 0} \operatorname{res}_{z=z_k} (e^{i\alpha z} R(z)) \right]. \quad (13)$$

Пример 6. Вычислим интеграл

$$I = \int_{-\infty}^{\infty} \frac{(x-1) \cos 5x}{x^2 - 2x + 5} dx.$$

Функция $f(z) = \frac{(z-1)e^{5iz}}{z^2 - 2z + 5}$ имеет в верхней полуплоскости один полюс первого порядка — точку $z = 1 + 2i$. Найдем вычет $f(z)$ в этой точке (§ 21, формула (12)):

$$\operatorname{res}_{z=1+2i} f(z) = \frac{(z-1)e^{5iz}}{(z^2 - 2z + 5)'} \Big|_{z=1+2i} = \frac{1}{2} e^{-10} (\cos 5 + i \sin 5).$$

По формуле (12) получаем

$$I = -\pi e^{-10} \sin 5.$$

Замечание 3. Если в интегралах (11)–(13) $\alpha < 0$, то сразу эти формулы применять нельзя, нужно предварительно сделать замену $x = -\tilde{x}$.

Замечание 4. В формулах (11)–(13) точки z_k — полюсы функции $e^{i\alpha z} R(z)$, поэтому интегралы (11)–(13) вычисляются при помощи производных. Следовательно, нет необходимости находить неопределенные интегралы $\int e^{i\alpha x} R(x) dx$, $\int R(x) \cos \alpha x dx$, $\int R(x) \sin \alpha x dx$, которые часто нельзя выразить через элементарные функции.

Пример 7. Вычислим интегралы Френеля

$$\int_0^{\infty} \cos x^2 dx, \quad \int_0^{\infty} \sin x^2 dx.$$

Рассмотрим функцию $f(z) = e^{iz^2}$ в области D_R с границей Γ_R , показанной на рис. 66. Так как функция $f(z)$ регулярна в обла-

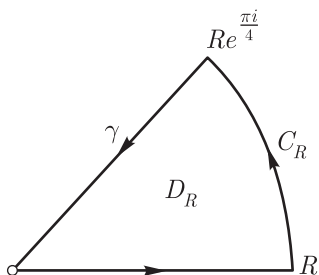


Рис. 66

сти D_R и непрерывна вплоть до границы Γ_R , то по интегральной теореме Коши $\int_{\Gamma_R} f(z) dz = 0$, т. е.

$$\int_{C_R} f(z) dz + \int_{\gamma} f(z) dz + \int_0^R f(x) dx = 0. \quad (14)$$

Оценим интеграл $I_R = \int_{C_R} f(z) dz$, где C_R — дуга окружности $z = Re^{i\varphi}$, $0 \leq \varphi \leq \frac{\pi}{4}$. При $z \in C_R$ получаем $|e^{iz^2}| = e^{-R^2 \sin 2\varphi} \leq e^{-\frac{4R^2}{\pi}\varphi}$, так как $\sin 2\varphi \geq \frac{4}{\pi}\varphi$ при $0 \leq \varphi \leq \frac{\pi}{4}$. Следовательно,

$$|I_R| \leq R \int_0^{\frac{\pi}{2}} e^{-\frac{4R^2}{\pi}\varphi} d\varphi = \frac{\pi}{4R} (1 - e^{-R^2}) \rightarrow 0 \quad \text{при } R \rightarrow \infty.$$

Теперь рассмотрим интеграл $I_\gamma = \int_{\gamma} f(z) dz = - \int_{\gamma^{-1}} f(z) dz$, где $\gamma^{-1} : z = te^{\frac{\pi i}{4}}$, $0 \leq t \leq R$. Поэтому $I_\gamma = -e^{\frac{\pi i}{4}} \int_0^R e^{-t^2} dt$. Переходя в равенстве (14) к пределу при $R \rightarrow \infty$, получаем

$$\int_0^\infty e^{ix^2} dx = e^{\frac{\pi i}{4}} \int_0^\infty e^{-t^2} dt. \quad (15)$$

Из курса математического анализа известно, что

$$\int_0^{\infty} e^{-t^2} dt = \frac{\sqrt{\pi}}{2}.$$

Приравнивая действительные и мнимые части в формуле (15), находим

$$\int_0^{\infty} \cos x^2 dx = \int_0^{\infty} \sin x^2 dx = \frac{\sqrt{2\pi}}{4}.$$

4. Вычисление интегралов $\int_0^{\infty} x^{\alpha} R(x) dx$

Покажем на примерах способ вычисления интеграла $\int_0^{\infty} x^{\alpha} R(x) dx$ с помощью теории вычетов в случае, когда этот интеграл сходится и α — действительное число.

Пример 8. Вычислим интеграл

$$I = \int_0^{\infty} \frac{\sqrt[3]{x}}{(x+8)^2} dx. \quad (16)$$

В комплексной плоскости с разрезом по лучу $[0, +\infty)$ функция $f(z) = \sqrt[3]{|z|} e^{i\frac{\varphi}{3}}$, $0 < \varphi < 2\pi$, является регулярной ветвью аналитической функции $\sqrt[3]{z}$ (§ 19).

Рассмотрим область D — круг $|z| < R$, $R > 8$, с разрезом по радиусу $[0, R]$. Граница этой области $\Gamma = \gamma_+ \cup C_R \cup \gamma_-$, где γ_+ — верхний берег разреза, C_R — окружность $|z| = R$, γ_- — нижний берег разреза, ориентация кривой Γ показана на рис. 67.

Функция $g(z) = \frac{f(z)}{(z+8)^2}$ регулярна в области D , за исключением точки $z = -8$ — полюса 2-го порядка, и непрерывна вплоть до Γ . По теореме о вычетах (§ 21) получаем

$$\int_{\Gamma} g(z) dz = 2\pi i \operatorname{res}_{z=-8} g(z), \quad \text{т. е.}$$

$$\int_{C_R} \frac{f(z)}{(z+8)^2} dz + \int_{\gamma_+} \frac{f(z)}{(z+8)^2} dz + \int_{\gamma_-} \frac{f(z)}{(z+8)^2} dz = 2\pi i \operatorname{res}_{z=-8} \frac{f(z)}{(z+8)^2}. \quad (17)$$

Покажем, что именно с помощью этого равенства можно вычислить интеграл (16). Рассмотрим поочередно члены равенства (17).

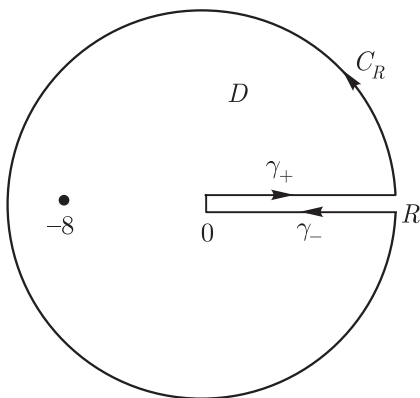


Рис. 67

1) Оценим интеграл $I_R = \int_{C_R} \frac{f(z)}{(z+8)^2} dz$. При $|z| = R$ получаем

$$|f(z)| = \sqrt[3]{R}, \quad |z+8| \geq ||z| - 8| = R - 8 > 0, \quad \text{откуда} \quad \frac{1}{|z+8|} \leq \frac{1}{R-8}.$$

Поэтому

$$|I_R| \leq \frac{\sqrt[3]{R}}{(R-8)^2} \cdot 2\pi R \rightarrow 0 \quad \text{при} \quad R \rightarrow \infty.$$

2) Если $z \in \gamma_+$, то $\varphi = 0$ и $f(z) = f(x+i0) = \sqrt[3]{x} \geq 0$. Поэтому

$$I_1 = \int_{\gamma_+} \frac{f(z)}{(z+8)^2} dz = \int_0^R \frac{\sqrt[3]{x}}{(x+8)^2} dx. \quad \text{Отметим, что при } R \rightarrow \infty \text{ этот интеграл стремится к искомому интегралу (16).}$$

3) Если $z \in \gamma_-$, то $\varphi = 2\pi$ и $f(z) = f(x-i0) = \sqrt[3]{x}e^{\frac{2\pi i}{3}}$. Поэтому интеграл

$$\begin{aligned} I_2 &= \int_{\gamma_-} \frac{f(z)}{(z+8)^2} dz = - \int_{\gamma_-^{-1}} \frac{f(z)}{(z+8)^2} dz = -e^{\frac{2\pi i}{3}} \int_0^R \frac{\sqrt[3]{x}}{(x+8)^2} dx = \\ &= -e^{\frac{2\pi i}{3}} \cdot I_1 \rightarrow -e^{\frac{2\pi i}{3}} I \end{aligned}$$

при $R \rightarrow \infty$.

4) Правая часть равенства (17) не зависит от R при $R > 8$ и

$$\begin{aligned} 2\pi i \cdot \operatorname{res}_{z=-8} \frac{f(z)}{(z+8)^2} &= 2\pi i f'(z)|_{z=-8} = 2\pi i \frac{f(z)}{3z} \Big|_{z=-8} = \\ &= 2\pi i \cdot \frac{2}{3(-8)} e^{\frac{\pi i}{3}} = -\frac{\pi i}{6} e^{\frac{\pi i}{3}}. \end{aligned}$$

В результате из равенства (17) при $R \rightarrow \infty$ получаем

$$\left(1 - e^{\frac{2\pi i}{3}}\right) I = -\frac{\pi i}{6} e^{\frac{\pi i}{3}},$$

откуда

$$I = -\frac{\pi i e^{\frac{\pi i}{3}}}{6(1 - e^{\frac{2\pi i}{3}})} = \frac{\pi}{12} \frac{1}{\frac{e^{\frac{\pi i}{3}} - e^{-\frac{\pi i}{3}}}{2i}} = \frac{\pi}{12 \sin \frac{\pi}{3}} = \frac{\pi}{6\sqrt{3}}.$$

Пример 9. Вычислим интеграл

$$I = -\int_0^{\infty} \frac{dx}{(x^2+1)\sqrt{x}}. \quad (18)$$

В комплексной плоскости с разрезом по лучу $[0, +\infty)$ функция $f(z) = \frac{1}{\sqrt{|z|}} e^{-\frac{i\varphi}{2}}$, $0 < \varphi < 2\pi$ является регулярной ветвью аналитической функции $\frac{1}{\sqrt{z}}$ (§ 19).

Рассмотрим область D — кольцо $\rho < |z| < R$ с разрезом по отрезку $[\rho, R]$, где $0 < \rho < 1$, $R > 1$. Ее граница Γ показана на рис. 68. Функция $\frac{f(z)}{z^2+1}$ регулярна в области D , за исключением двух полюсов первого порядка в точках $z = \pm i$, и непрерывна вплоть до Γ . По основной теореме о вычетах получаем

$$\begin{aligned} \int_{C_\rho} \frac{f(z)dz}{z^2+1} + \int_{C_R} \frac{f(z)dz}{z^2+1} + \int_{\gamma_+} \frac{f(z)dz}{z^2+1} + \int_{\gamma_-} \frac{f(z)dz}{z^2+1} = \\ = 2\pi i \left[\operatorname{res}_{z=i} \frac{f(z)}{z^2+1} + \operatorname{res}_{z=-i} \frac{f(z)}{z^2+1} \right]. \end{aligned} \quad (19)$$

Рассмотрим поочередно члены этого равенства.

1) Оценим интеграл $I_\rho = \int_{C_\rho} \frac{f(z)dz}{z^2+1}$. При $|z| = \rho$ получаем

$$|f(z)| = \frac{1}{\sqrt{\rho}}, \quad |z^2+1| \geq ||z^2|-1| = 1-\rho^2 > 0. \quad \text{Откуда} \quad \frac{1}{|z^2+1|} \leq \frac{1}{1-\rho^2}.$$

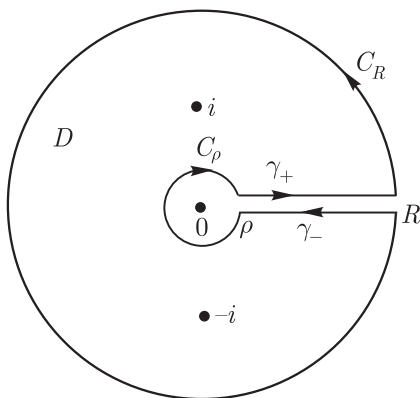


Рис. 68

Поэтому

$$|I_\rho| \leq \frac{2\pi\rho}{\sqrt{\rho}(1-\rho^2)} \rightarrow 0 \quad \text{при} \quad \rho \rightarrow 0.$$

2) Аналогично

$$\left| \int_{C_R} \frac{f(z)dz}{z^2+1} \right| \leq \frac{2\pi R}{\sqrt{R}(R^2-1)} \rightarrow 0 \quad \text{при} \quad R \rightarrow \infty.$$

3) Если $z \in \gamma_+$, то $\varphi = 0$ и $f(z) = f(x+i0) = \frac{1}{\sqrt{x}}$. Поэтому

$$I_1 = \int_{\gamma_+} \frac{f(z)dz}{z^2+1} = \int_{\rho}^R \frac{dx}{(x^2+1)\sqrt{x}}.$$

Отметим, что при $\rho \rightarrow 0$, $R \rightarrow \infty$ этот интеграл стремится к исходному интегралу (18).

4) Если $z \in \gamma_-$, то $\varphi = 2\pi$ и $f(z) = f(x-i0) = \frac{1}{\sqrt{x}}e^{-\pi i}$, поэтому

$$\int_{\gamma_-} \frac{f(z)dz}{z^2+1} = -e^{-\pi i} \int_{\rho}^R \frac{dx}{(x^2+1)\sqrt{x}} = I_1.$$

5) Правая часть равенства (19) не зависит от ρ , R и равна

$$\begin{aligned} 2\pi i \left[\frac{f(z)}{2z} \Big|_{z=i} + \frac{f(z)}{2z} \Big|_{z=-i} \right] &= 2\pi i \left[\frac{1}{2i} e^{-\frac{\pi i}{4}} - \frac{1}{2i} e^{-\frac{3\pi i}{4}} \right] = \\ &= \pi (e^{-\frac{\pi i}{4}} + e^{\frac{\pi i}{4}}) = 2\pi \cos \frac{\pi}{4}. \end{aligned}$$

В результате из равенства (19) при $\rho \rightarrow 0$, $R \rightarrow \infty$ получаем

$$2I = 2\pi \cos \frac{\pi}{4}, \quad I = \frac{\pi\sqrt{2}}{2}.$$

Обратимся к интегралу, при вычислении которого используется понятие регулярной ветви функции $\text{Ln } z$.

Пример 10. Вычислим интеграл

$$J = \int_0^{\infty} \frac{\ln x}{(x+1)(x+2)^2} dx. \quad (20)$$

В комплексной плоскости с разрезом по лучу $[0, +\infty)$ функция $\ln z = \ln |z| + i\varphi$, $0 < \varphi < 2\pi$ является регулярной ветвью аналитической функции $\text{Ln } z$ (§ 18).

Обозначим $R(z) = \frac{1}{(z+1)(z+2)^2}$, $f(z) = R(z) \ln^2 z$ и рассмотрим область D , граница которой Γ показана на рис. 68, где $0 < \rho < 1$, $R > 2$. В этой области функция $f(z)$ регулярна, за исключением точек $z = -1$, $z = -2$, и непрерывна вплоть до Γ . По теореме о вычетах (§ 21, теорема 2) получаем

$$\begin{aligned} \int_{C_\rho} f(z) dz + \int_{C_R} f(z) dz + \int_{\gamma_+} f(z) dz + \int_{\gamma_-} f(z) dz = \\ = 2\pi i \left[\text{res}_{z=-1} f(z) + \text{res}_{z=-2} f(z) \right]. \end{aligned} \quad (21)$$

Рассмотрим поочередно члены этого равенства. Так как $|\ln z| \leq |\ln |z|| + 2\pi$, то

$$\begin{aligned} \left| \int_{C_\rho} f(z) dz \right| &= \left| \int_{C_\rho} \frac{\ln^2 z dz}{(z+1)(z+2)^2} \right| \leq \frac{(|\ln \rho| + 2\pi)^2 2\pi \rho}{(1-\rho)(2-\rho)^2} \rightarrow 0 \quad \text{при } \rho \rightarrow 0, \\ \left| \int_{C_R} f(z) dz \right| &= \left| \int_{C_R} \frac{\ln^2 z dz}{(z+1)(z+2)^2} \right| \leq \frac{(\ln R + 2\pi)^2 2\pi R}{(R-1)(R-2)^2} \rightarrow 0 \quad \text{при } R \rightarrow \infty. \end{aligned}$$

Если $z \in \gamma_+$, то $\ln z = \ln x$, а если $z \in \gamma_-$, то $\ln z = \ln x + 2\pi i$. Так как сумма интегралов по γ_+ и γ_- в левой части (21) равна

$$\int_{\rho}^R \ln^2 x R(x) dx - \int_{\rho}^R (\ln x + 2\pi i)^2 R(x) dx = -4\pi i \int_{\rho}^R \ln x R(x) dx + 4\pi^2 \int_{\rho}^R R(x) dx,$$

то переходя в левой части равенства к пределу при $\rho \rightarrow 0$, $R \rightarrow \infty$, получаем $-4\pi i J + 4\pi^2 J_1$, где $J_1 = \int_0^{+\infty} \frac{dx}{(x+1)(x+2)^2}$. Интеграл J_1 можно вычислить, представив подынтегральную функцию в виде

суммы простых дробей $\frac{A}{x+1} + \frac{B}{x+2} + \frac{C}{(x+2)^2}$. Тогда

$$\begin{aligned} J_1 &= \int_0^{+\infty} \left[\frac{1}{x+1} - \frac{1}{x+2} - \frac{1}{(x+2)^2} \right] dx = \\ &= \ln \left| \frac{x+1}{x+2} \right| \Big|_0^{+\infty} + \frac{1}{x+2} \Big|_0^{+\infty} = \ln 2 - \frac{1}{2}. \end{aligned}$$

Найдем значение правой части (21), которая не зависит от ρ и R . Так как $z = -1$ — полюс первого порядка, а $z = -2$ — полюс второго порядка функции $f(z)$, то

$$\begin{aligned} \operatorname{res}_{z=-1} f(z) &= \frac{\ln^2 z}{(z+2)^2} \Big|_{z=-1} = (i\pi)^2 = -\pi^2, \\ \operatorname{res}_{z=-2} f(z) &= \left(\frac{\ln^2 z}{z+1} \right)' \Big|_{z=-2} = \left[\frac{2 \ln z}{z(z+1)} - \frac{\ln^2 z}{(z+1)^2} \right] \Big|_{z=-2} = \\ &= \ln 2 + i\pi - (\ln 2 + i\pi)^2 = \pi^2 + \ln 2 - \ln^2 2 + i\pi(1 - 2 \ln 2). \end{aligned}$$

Из равенства (21) следует, что

$$-4\pi i J + 4\pi^2 \left(\ln 2 - \frac{1}{2} \right) = 2\pi i [\pi^2 + \ln 2 - \ln^2 2 + i\pi(1 - 2 \ln 2)],$$

откуда находим $J = \frac{1}{2}(\ln^2 2 - \ln 2 - \pi^2)$.

5. Вычисление интегралов $\int_a^b (x-a)^\alpha (b-x)^\beta R(x) dx$

Покажем на примерах способ вычисления с помощью теории вычетов интеграла

$$\int_a^b (x-a)^\alpha (b-x)^\beta R(x) dx,$$

где $R(x)$ — рациональная функция, $a < b$, α, β — действительные числа такие, что степенная функция $(z-a)^\alpha (b-z)^\beta$ имеет регулярные ветви в плоскости с разрезом по отрезку $[a, b]$.

Пример 11. Вычислим интеграл

$$I = \int_0^2 \frac{\sqrt[3]{x^2(2-x)}}{x+1} dx. \quad (22)$$

В комплексной плоскости с разрезом по отрезку $[0, 2]$ функция

$$f(z) = \sqrt[3]{|z^2(2-z)|} e^{\frac{i}{3}(2\Delta\varphi_1 + \Delta\varphi_2)} \quad (23)$$

является регулярной ветвью аналитической функции $\sqrt[3]{z^2(2-z)}$, такой, что $f(x+i0) = \sqrt[3]{x^2(2-x)} > 0$ при $0 < x < 2$ (§ 19, п. 4, пример 5), $\Delta\varphi_1$, $\Delta\varphi_2$ находятся по рис. 69.

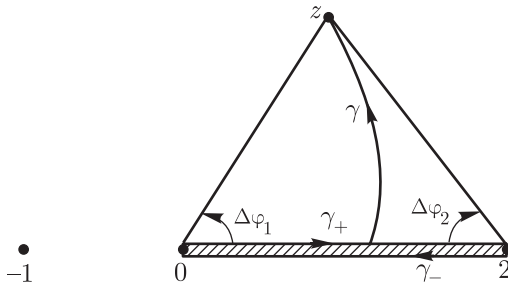


Рис. 69

Рассмотрим область D — внешность кривой Γ , состоящей из верхнего берега разреза γ_+ и нижнего берега γ_- (рис. 69). В этой области функция $\frac{f(z)}{z+1}$ регулярна, за исключением точки $z = -1$, и непрерывна вплоть до Γ . По теореме о вычетах (§ 21) получаем

$$\int_{\gamma_+} \frac{f(z)dz}{z+1} + \int_{\gamma_-} \frac{f(z)dz}{z+1} = 2\pi i \left[\operatorname{res}_{z=-1} \frac{f(z)}{z+1} + \operatorname{res}_{z=\infty} \frac{f(z)}{z+1} \right]. \quad (24)$$

Рассмотрим поочередно члены этого равенства.

1) Если $z \in \gamma_+$, то $f(x+i0) = \sqrt[3]{x^2(2-x)}$, поэтому

$$I_1 = \int_{\gamma_+} \frac{f(z)dz}{z+1} = \int_0^2 \frac{\sqrt[3]{x^2(2-x)}}{x+1} dx = I.$$

2) Если $z \in \gamma_-$, то по формуле (23) находим $f(x - i0) = e^{\frac{4\pi i}{3}} \sqrt[3]{x^2(2-x)}$, поэтому

$$I_2 = \int_{\gamma_-} \frac{f(z)dz}{z+1} = -e^{\frac{4\pi i}{3}} \int_0^2 \frac{\sqrt[3]{x^2(2-x)}}{x+1} dx = -e^{\frac{4\pi i}{3}} I.$$

Следовательно,

$$I_1 + I_2 = \left(1 - e^{\frac{4\pi i}{3}}\right) I.$$

В § 19, п. 4 (пример 5) было установлено, что $f(-1) = \sqrt[3]{3}e^{\frac{2\pi i}{3}}$, поэтому $\operatorname{res}_{z=-1} \frac{f(z)}{z+1} = f(-1) = \sqrt[3]{3}e^{\frac{2\pi i}{3}}$.

4) Разложим функцию $\frac{f(z)}{z+1}$ в ряд Лорана в кольце $2 < |z| < \infty$. Находим

$$\frac{1}{z+1} = \frac{1}{z} \frac{1}{1 + \frac{1}{z}} = \frac{1}{z} - \frac{1}{z^2} + \frac{1}{z^3} + \dots$$

В § 19, п. 4, пример 5 показано, что если $2 < |z| < \infty$, то

$$f(z) = e^{-\frac{\pi i}{3}} \left(z - \frac{2}{3} - \frac{4}{9z} + \dots\right).$$

Перемножая эти ряды, получаем

$$\frac{f(z)}{z+1} = e^{-\frac{\pi i}{3}} \left(1 - \frac{5}{3z} + \frac{1}{z^2} + \dots\right).$$

Следовательно, $\operatorname{res}_{z=\infty} \frac{f(z)}{z+1} = \frac{5}{3}e^{-\frac{\pi i}{3}} = -\frac{5}{3}e^{\frac{2\pi i}{3}}$.

В результате из равенства (24) находим $\left(1 - e^{\frac{4\pi i}{3}}\right) I = 2\pi i e^{\frac{2\pi i}{3}} \left(\sqrt[3]{3} - \frac{5}{3}\right)$, откуда

$$\begin{aligned} I &= \frac{1}{1 - e^{\frac{4\pi i}{3}}} \cdot 2\pi i \cdot e^{\frac{2\pi i}{3}} \left(\sqrt[3]{3} - \frac{5}{3}\right) = \pi \left(\frac{5}{3} - \sqrt[3]{3}\right) \cdot \frac{1}{\frac{e^{\frac{2\pi i}{3}} - e^{-\frac{2\pi i}{3}}}{2i}} = \\ &= \pi \left(\frac{5}{3} - \sqrt[3]{3}\right) \frac{1}{\sin \frac{2\pi}{3}} = \frac{2\pi}{\sqrt{3}} \left(\frac{5}{3} - \sqrt[3]{3}\right). \end{aligned}$$

Пример 12. Вычислим интеграл

$$I = \int_1^2 \frac{1}{x^2} \sqrt{\frac{x-1}{2-x}} dx. \quad (25)$$

В комплексной плоскости с разрезом по отрезку $[1, 2]$ функция

$$f(z) = \sqrt{\left| \frac{z-1}{2-z} \right|} e^{\frac{i}{2}(\Delta\varphi_1 - \Delta\varphi_2)} \quad (26)$$

является регулярной ветвью аналитической функции $\sqrt{\frac{z-1}{2-z}}$ такой, что $f(x+i0) = \sqrt{\frac{x-1}{2-x}} > 0$ при $1 < x < 2$ (§ 19), где $\Delta\varphi_1, \Delta\varphi_2$ находятся по рис. 70.

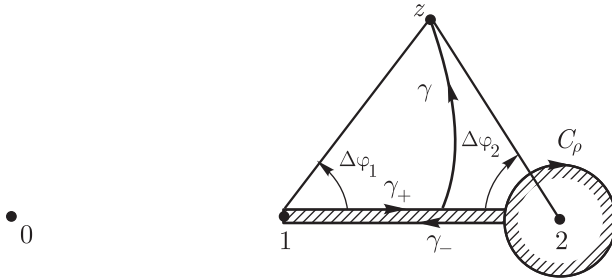


Рис. 70

Рассмотрим область D — внешность кривой Γ , показанной на рис. 70. В этой области функция $\frac{f(z)}{z^2}$ регулярна, за исключением точки $z = 0$, и непрерывна вплоть до Γ . По теореме о вычетах (§ 21, теорема 2) получаем

$$\int_{\gamma_+} \frac{f(z)}{z^2} dz + \int_{\gamma_-} \frac{f(z)}{z^2} dz + \int_{C_\rho} \frac{f(z)}{z^2} dz = 2\pi i \left[\operatorname{res}_{z=0} \frac{f(z)}{z^2} + \operatorname{res}_{z=\infty} \frac{f(z)}{z^2} \right]. \quad (27)$$

Рассмотрим члены этого равенства.

1) Пусть $z \in C_\rho : |z-2| = \rho$. Тогда $|z-1| = |(z-2)+1| \leq |z-2|+1 = \rho+1$, $|z|^2 = |(z-2)+2|^2 \geq ||z-2|-2|^2 = (2-\rho)^2$, поэтому

$\frac{1}{|z|^2} \leq \frac{1}{(2-\rho)^2}$. Следовательно,

$$\left| \int_{C_\rho} \frac{f(z)}{z^2} dz \right| \leq \frac{\sqrt{\rho+1} \cdot 2\pi\rho}{(2-\rho)^2 \sqrt{\rho}} \rightarrow 0 \quad \text{при } \rho \rightarrow 0.$$

2) Если $z \in \gamma_-$, то по формуле (26) находим

$$f(x-i0) = \sqrt{\frac{x-1}{2-x}} e^{\pi i} = -\sqrt{\frac{x-1}{2-x}},$$

поэтому

$$\begin{aligned} \int_{\gamma_+} \frac{f(z)}{z^2} dz + \int_{\gamma_-} \frac{f(z)}{z^2} dz &= \int_1^{2-\rho} \frac{1}{x^2} \sqrt{\frac{x-1}{2-x}} dx - \int_1^{2-\rho} \frac{1}{x^2} \cdot (-1) \sqrt{\frac{x-1}{2-x}} dx = \\ &= 2 \int_1^{2-\rho} \frac{1}{x^2} \sqrt{\frac{x-1}{2-x}} dx \rightarrow 2I \quad \text{при } \rho \rightarrow 0. \end{aligned}$$

3) Как и в § 20, находим $f'(z) = \frac{1}{2\sqrt{\frac{z-1}{2-z}}} \left(\frac{z-1}{2-z} \right)'$, откуда

$$f'(z) = \frac{f(z)}{2(z-1)(2-z)}, \quad \text{поэтому}$$

$$\operatorname{res}_{z=0} \frac{f(z)}{z^2} = f'(z)|_{z=0} = \frac{f(z)}{2(z-1)(2-z)} \Big|_{z=0} = \frac{i}{\sqrt{2} \cdot 2 \cdot (-1) \cdot 2} = \frac{-i\sqrt{2}}{8}.$$

4) Из формулы (26) следует, что при $|z| > 2$ функция $f(z)$ ограничена, поэтому

$$\frac{f(z)}{z^2} = \frac{c_{-2}}{z^2} + \frac{c_{-3}}{z^3} + \dots$$

$$\text{и } \operatorname{res}_{z=\infty} \frac{f(z)}{z^2} = 0.$$

В результате, переходя к пределу в равенстве (27) при $\rho \rightarrow 0$, получаем $2I = 2\pi i \frac{-i\sqrt{2}}{8}$, откуда $I = \frac{\pi\sqrt{2}}{8}$.

Пример 13. Вычислим интеграл

$$I = \int_{-1}^2 \frac{dx}{(x+2)\sqrt[4]{(x+1)(2-x)^3}}. \quad (28)$$

В комплексной плоскости с разрезом по отрезку $[-1, 2]$ функция

$$f(z) = \frac{1}{\sqrt[4]{|(z+1)(2-z)^3|}} e^{-\frac{i}{4}(\Delta\varphi_1 + 3\Delta\varphi_2)} \quad (29)$$

является регулярной ветвью аналитической функции $\frac{1}{\sqrt[4]{(z+1)(2-z)^3}}$

такой, что $f(x+i0) = \frac{1}{\sqrt[4]{(x+1)(2-x)^3}}$ при $-1 < x < 2$ (§ 19, п. 4, пример 4), где $\Delta\varphi_1$, $\Delta\varphi_2$ находятся по рис. 71.

Рассмотрим область D — внешность кривой Γ , показанной на рис. 71. В этой области функция $\frac{f(z)}{z+2}$ регулярна, за исключением точки $z = -2$, и непрерывна вплоть до Γ . По теореме о вычетах (§ 21) получаем

$$\begin{aligned} \int_{C_\rho} \frac{f(z)dz}{z+2} + \int_{C_{\rho_1}} \frac{f(z)dz}{z+2} + \int_{\gamma_+} \frac{f(z)dz}{z+2} + \int_{\gamma_-} \frac{f(z)dz}{z+2} = \\ = 2\pi i \left[\operatorname{res}_{z=-2} \frac{f(z)}{z+2} + \operatorname{res}_{z=\infty} \frac{f(z)}{z+2} \right]. \end{aligned} \quad (30)$$

Рассмотрим члены этого равенства.

1) Пусть $z \in C_\rho : |z+1| = \rho$. Тогда $|z+2| = |(z+1)+1| \geq ||z+1|-1| = 1-\rho$, поэтому $\frac{1}{|z+2|} \leq \frac{1}{1-\rho}$, $|2-z| = |3-(z+1)| \geq |3-|z+1|| = 3-\rho$,

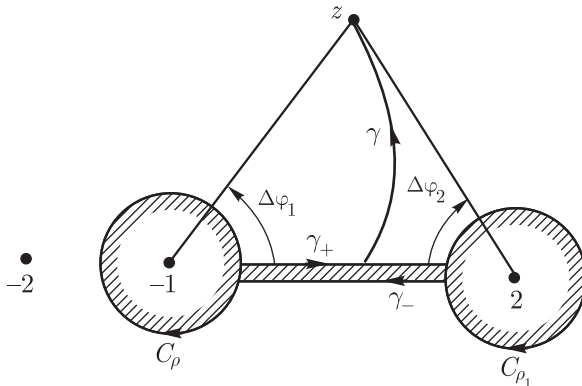


Рис. 71

поэтому $\frac{1}{|2-z|} \leq \frac{1}{3-\rho}$. Следовательно,

$$\left| \int_{C_\rho} \frac{f(z)}{z+2} dz \right| \leq \frac{2\pi\rho}{(1-\rho)\sqrt[4]{\rho}\sqrt[4]{(3-\rho)^3}} \rightarrow 0 \quad \text{при} \quad \rho \rightarrow 0.$$

2) Аналогично доказывается, что

$$\int_{C_{\rho_1}} \frac{f(z)}{z+2} dz \rightarrow 0 \quad \text{при} \quad \rho_1 \rightarrow 0.$$

3) При $z \in \gamma_-$ по формуле (29) находим

$$f(x-i0) = \frac{1}{\sqrt[4]{(x+1)(2-x)^3}} e^{-\frac{2\pi i}{4}}.$$

Поэтому

$$\begin{aligned} & \int_{\gamma_+} \frac{f(z)dz}{z+2} + \int_{\gamma_-} \frac{f(z)dz}{z+2} = \\ & = (1 - e^{-\frac{2\pi i}{4}}) \int_{-1+\rho}^{2-\rho_1} \frac{dx}{(x+2)\sqrt[4]{(x+1)(2-x)^3}} \rightarrow (1 - e^{-\frac{2\pi i}{4}})I \end{aligned}$$

при $\rho \rightarrow 0, \rho_1 \rightarrow 0$.

4) По формуле (29) находим

$$f(-2) = \frac{1}{\sqrt[4]{|(-1)4^3|}} e^{-\frac{\pi i}{4}} = \frac{\sqrt{2}}{4} e^{-\frac{\pi i}{4}},$$

поэтому

$$\operatorname{res}_{z=-2} \frac{f(z)}{z+2} = f(-2) = \frac{\sqrt{2}}{4} e^{-\frac{\pi i}{4}}.$$

5) При $z \rightarrow \infty$ получаем $f(z) \rightarrow 0$ и $\frac{1}{z+2} \rightarrow 0$, поэтому

$$\frac{f(z)}{z+2} = \frac{c_{-2}}{z^2} + \frac{c_{-3}}{z^3} + \dots \quad \text{при} \quad |z| > 2. \quad \text{Следовательно,}$$

$$\operatorname{res}_{z=\infty} \frac{f(z)}{z+2} = 0.$$

В результате, переходя в равенстве (30) к пределу при $\rho \rightarrow 0, \rho_1 \rightarrow 0$, получаем

$$(1 - e^{-\frac{2\pi i}{4}})I = 2\pi i \frac{\sqrt{2}}{4} e^{-\frac{\pi i}{4}},$$

откуда

$$I = \frac{\pi\sqrt{2}}{4} \frac{1}{\frac{e^{\frac{\pi i}{4}} - e^{-\frac{\pi i}{4}}}{2i}} = \frac{\pi\sqrt{2}}{4 \sin \frac{\pi}{4}} = \frac{\pi}{2}.$$

6. Вычисление интегралов $\int_0^{+\infty} R(x)dx$

Рассмотрим способ вычисления интегралов от рациональных функций, не являющихся четными (в отличие от рациональной функции из примера 4). В этом случае теорию вычетов применяют к функции $R(z) \ln z$, где $\ln z$ — регулярная ветвь функции $\operatorname{Ln} z$ в плоскости с разрезом по лучу $[0; +\infty)$.

Пример 14. Вычислим интеграл

$$J = \int_0^{+\infty} \frac{dx}{(x^3 + 1)^2}.$$

Пусть $\ln z$ — регулярная ветвь функции $\operatorname{Ln} z$ в плоскости с разрезом по лучу $[0; +\infty)$ такая, что $\ln z = \ln |z| + i\varphi$, где $0 < \varphi < 2\pi$. Тогда на верхнем берегу разреза $z = x + i0$ ($x > 0$), $\varphi = 0$, $\ln(x + i0) = \ln x$, а на нижнем берегу разреза $z = x - i0$ ($x > 0$), $\varphi = 2\pi$ и $\ln(x - i0) = \ln x + 2\pi i$.

Обозначим $R(z) = \frac{1}{(z^3 + 1)^2}$, $f(z) = \ln z R(z)$, $I_\Gamma = \int_\Gamma f(z) dz$, где Γ — контур, указанный на рис. 68. Тогда

$$I_\Gamma = \int_\rho^R \ln x R(x) dx + \int_R^\rho (\ln x + 2\pi i) R(x) dx + \int_{C_\rho} f(z) dz + \int_{C_R} f(z) dz. \quad (31)$$

Функция $f(z)$ имеет внутри контура Γ полюсы в точках $z_k = e^{\frac{(2k+1)\pi i}{3}}$, $k = 1, 2, 3$, которые являются нулями функции $z^3 + 1$. По теореме о вычетах

$$I_\Gamma = 2\pi i \sum_{k=1}^3 \operatorname{res}_{z=z_k} f(z). \quad (32)$$

Как и в примере 10, нетрудно показать, что

$$\int_{C_\rho} f(z) dz \rightarrow 0 \quad \text{при} \quad \rho \rightarrow 0, \quad \int_{C_R} f(z) dz \rightarrow 0 \quad \text{при} \quad R \rightarrow \infty.$$

Переходя в равенствах (31) и (32) к пределу при $\rho \rightarrow 0$, $R \rightarrow \infty$, получаем

$$-2\pi i \int_0^{+\infty} \frac{dx}{(x^3+1)^2} = 2\pi i \sum_{k=1}^3 \operatorname{res}_{z=z_k} f(z),$$

откуда

$$J = -2\pi i \sum_{k=1}^3 \operatorname{res}_{z=z_k} f(z). \quad (33)$$

Так как z_1 — полюс второго порядка для функции $f(z)$, то

$$\begin{aligned} \operatorname{res}_{z=z_1} f(z) &= \left[\frac{\ln z}{(z-z_2)^2(z-z_3)^2} \right]'_{z=z_1} = \\ &= \frac{1}{z_1(z_1-z_2)^2(z_1-z_3)^2} - \frac{2[2z_1-(z_2+z_3)] \ln z_1}{(z_1-z_2)^3(z_1-z_3)^3}. \end{aligned}$$

Используя равенства $\ln z_1 = \pi i$, $(z_1-z_2)(z_1-z_3) = (z^3+1)'_{z=z_1} = 3z_1^2$, $z_1^3 = -1$, $z_1 + z_2 + z_3 = 0$, получаем

$$\operatorname{res}_{z=z_1} f(z) = \frac{z_1}{9} (1 - 2\pi i).$$

Аналогично, учитывая, что $\ln z_2 = \frac{5}{3}\pi i$, $\ln z_2 = \frac{\pi i}{3}$, находим

$$\operatorname{res}_{z=z_2} f(z) = \frac{z_2}{9} \left(1 - \frac{10}{3} \pi i \right), \quad \operatorname{res}_{z=z_3} f(z) = \frac{z_3}{9} \left(1 - \frac{2}{3} \pi i \right).$$

По формуле (33) находим

$$J = \frac{\pi i}{9} \left(2z_1 + \frac{10}{3} z_2 + \frac{2}{3} z_3 \right) = \frac{4\pi\sqrt{3}}{27}.$$

Более подробная информация о вычислении несобственных интегралов с помощью вычетов содержится в [8, 11].

§ 23. Принцип аргумента. Теорема Руше

1. Принцип аргумента

Теорема 1. Пусть функция $f(z)$ регулярна в ограниченной односвязной области D , за исключением конечного числа полюсов, функции $f(z)$, $f'(z)$ непрерывны в области D вплоть до ее границы Γ

и $f(z)|_{z \in \Gamma} \neq 0$. Тогда

$$\frac{1}{2\pi i} \int_{\Gamma} \frac{f'(z)}{f(z)} dz = N - P, \quad (1)$$

где N — число нулей, P — число полюсов функции $f(z)$ в области D . При этом каждый нуль функции $f(z)$ считается столько раз, какова его кратность, а каждый полюс столько раз, каков его порядок.

О Покажем, что число нулей функции $f(z)$ в области D конечно. Если функция $f(z)$ имеет бесконечное число нулей, то существует их предельная точка $z_0 \in D$, так как $f(z)|_{z \in \Gamma} \neq 0$. Тогда по теореме единственности $f(z) \equiv 0$, что противоречит условию $f(z)|_{z \in \Gamma} \neq 0$.

Таким образом, функция $F(z) = \frac{f'(z)}{f(z)}$ имеет в области D конечное число полюсов — это полюсы и нули функции $f(z)$. По теореме о вычетах левая часть формулы (1) равна $\sum_k \operatorname{res}_{z=z_k} F(z)$, где z_k — полюсы функции $F(z)$. Найдем эти вычеты.

В проколотой окрестности точки z_k имеем

$$f(z) = (z - z_k)^{n_k} f_k(z), \quad (2)$$

где $n_k > 0$, если z_k — нуль функции $f(z)$ кратности n_k , или $n_k < 0$, где n_k — порядок полюса z_k функции $f(z)$, функция $f_k(z)$ регулярна в точке z_k и $f_k(z_k) \neq 0$.

Из формулы (2) получаем

$$F(z) = \frac{f'(z)}{f(z)} = \frac{n_k}{z - z_k} + \frac{f'_k(z)}{f_k(z)}.$$

Отсюда находим $\operatorname{res}_{z=z_k} F(z) = n_k$. Таким образом, левая часть формулы (1) равна $\sum_k n_k$, в которой сумма положительных n_k равна N , а сумма отрицательных n_k равна $-P$. ●

Теорема 2 (принцип аргумента). При условиях теоремы 1 справедливо равенство

$$\frac{1}{2\pi} \Delta_{\Gamma} \arg f(z) = N - P. \quad (3)$$

○ Пусть Γ — гладкая замкнутая кривая, заданная уравнением

$$z = z(t), \quad \alpha \leq t \leq \beta,$$

и пусть Γ' — образ кривой Γ при отображении $w = f(z)$. Тогда

$$J = \int_{\Gamma} \frac{f'(z)}{f(z)} dz = \int_{\Gamma'} \frac{dw}{w} = \int_{\alpha}^{\beta} \frac{f(z(t))z'(t)}{f(z(t))} dt. \quad (4)$$

Если $w = re^{i\varphi}$, $r = r(t)$, $\varphi = \varphi(t)$, $w = f(z(t))$, то

$$\begin{aligned} dw &= e^{i\varphi} dr + rie^{i\varphi} d\varphi, \\ J &= \int_{\Gamma'} \frac{dw}{w} = \int_{\alpha}^{\beta} \frac{e^{i\varphi} dr + rie^{i\varphi} d\varphi}{re^{i\varphi}} = \int_{\alpha}^{\beta} \frac{dr}{r} + i \int_{\alpha}^{\beta} d\varphi. \end{aligned}$$

Так как $\int_{\alpha}^{\beta} \frac{dr}{r} = \ln r(t) \Big|_{t=\alpha}^{t=\beta} = \ln |f(z(t))| \Big|_{\alpha}^{\beta} = 0$, то

$$J = i \int_{\alpha}^{\beta} d\varphi = i\Delta_{\Gamma'} \arg w = i\Delta_{\Gamma} \arg f(z). \quad (5)$$

Из (1), (4) и (5) получаем

$$i\Delta_{\Gamma} \arg f(z) = 2\pi i(N - P),$$

откуда следует равенство (3). ●

Формула (3) носит название «принцип аргумента».

Следствие. Если функция $f(z)$ регулярна в ограниченной односвязной области D , непрерывна вплоть до ее границы Γ и $f(z) \neq 0$ при $\forall z \in \Gamma$, то

$$N = \frac{1}{2\pi} \Delta_{\Gamma} \arg f(z). \quad (6)$$

Выясним геометрический смысл формулы (6).

Пусть Γ' — образ кривой Γ при отображении $w = f(z)$ (рис. 72). Тогда $\frac{1}{2\pi} \Delta_{\Gamma} \arg f(z) = \frac{1}{2\pi} \Delta_{\Gamma'} \arg w$, поэтому N — число оборотов кривой Γ' вокруг точки $w = 0$.

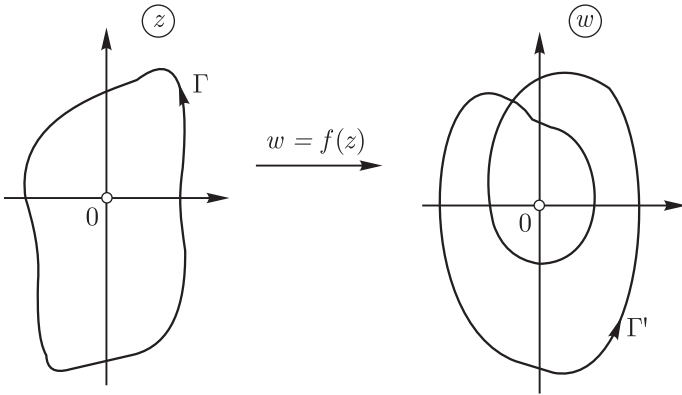


Рис. 72

2. Теорема Руше

Теорема 3 (Руше). Пусть функции $f(z)$ и $g(z)$ регулярны в ограниченной односвязной области D , непрерывны вплоть до ее границы Γ и при $z \in \Gamma$ выполняется неравенство

$$|f(z)| > |g(z)|. \quad (7)$$

Тогда функции $f(z)$ и $F(z) = f(z) + g(z)$ имеют в области D одинаковое число нулей.

○ Пусть N_F и N_f — числа нулей соответственно функций $F(z)$ и $f(z)$ в области D . Из условия (6) следует, что при $z \in \Gamma$ выполняются неравенства

$$|f(z)| > 0, \quad |F(z)| \geq ||f(z)| - |g(z)|| > 0.$$

По формуле (5) и свойствам приращения аргумента получаем

$$\begin{aligned} N_F &= \frac{1}{2\pi} \Delta_{\Gamma} \arg F(z) = \frac{1}{2\pi} \Delta_{\Gamma} \arg \left[f(z) \left(1 + \frac{g(z)}{f(z)} \right) \right] = \\ &= \frac{1}{2\pi} \Delta_{\Gamma} \arg f(z) + \frac{1}{2\pi} \Delta_{\Gamma} \arg \left(1 + \frac{g(z)}{f(z)} \right) = \\ &= N_f + \frac{1}{2\pi} \Delta_{\Gamma} \arg \left(1 + \frac{g(z)}{f(z)} \right). \end{aligned}$$

Покажем, что

$$\frac{1}{2\pi} \Delta_{\Gamma} \arg \left(1 + \frac{g(z)}{f(z)} \right) = 0. \quad (8)$$

Пусть Γ' — образ кривой Γ при отображении $w = 1 + \frac{g(z)}{f(z)}$ (рис. 73). Так как при $z \in \Gamma$ выполняется неравенство

$$|w - 1| = \frac{|g(z)|}{|f(z)|} < 1,$$

то кривая Γ' принадлежит кругу $|w - 1| < 1$ (рис. 73), поэтому число оборотов кривой Γ' вокруг точки $w = 0$ равно нулю и справедливо равенство (8). ●

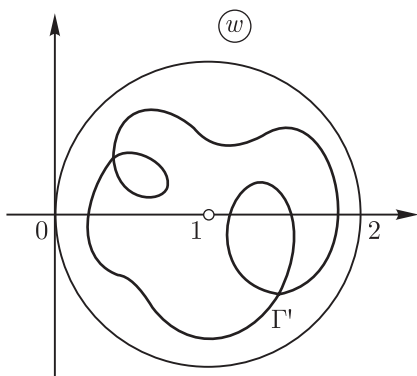


Рис. 73

Пример 1. Найдем число корней уравнения

$$z^9 + 6z^4 + 3z - 1 = 0$$

внутри круга $|z| < 1$.

Обозначим $f(z) = 6z^4$, $g(z) = z^9 + 3z - 1$. Если $z \in \Gamma : |z| = 1$, то $|f(z)| = 6$, $|g(z)| \leq |z|^9 + 3|z| + 1 = 5$, откуда $|f(z)| > |g(z)|$ при $z \in \Gamma$. По теореме Руше число корней исходного уравнения в круге $|z| < 1$ совпадает с числом корней уравнения $6z^4 = 0$, т. е. равно 4.

Пример 2. Докажем, что уравнение

$$z + \lambda - e^z = 0, \quad \lambda > 1, \quad (9)$$

в полуплоскости $\operatorname{Re} z < 0$ имеет единственный и притом действительный корень.

Рассмотрим полукруг $D : \operatorname{Re} z < 0$, $|z| < R$, где $R > \lambda + 1$. Граница Γ области D состоит из отрезка $\gamma : [-iR, iR]$ и полуокружности $C_R : |z| < R$, $\operatorname{Re} z \leq 0$. Обозначим $f(z) = z + \lambda$, $g(z) = e^z$.

Если $z \in \gamma$, т. е. $z = iy$, $-R \leq y \leq R$, то $|f(z)| \geq |\lambda - |z|| \geq \lambda > 1$, а $|g(z)| = |e^{iy}| = 1$. Если $z \in C_R$, то $|f(z)| \geq ||z| - \lambda| \geq R - \lambda > 1$, $|g(z)| = e^x \leq 1$, так как $x \leq 0$.

По теореме Руше в области D число корней уравнения (9) равно числу корней уравнения $z + \lambda = 0$, т. е. равно 1. Этот корень уравнения (9) является действительным, так как левая часть уравнения (9) непрерывна при $z = x$, $x \leq 0$, положительна при $x \leq 0$ и стремится к $-\infty$ при $x \rightarrow -\infty$.

В § 14 доказано, что многочлен

$$P(z) = a_0 z^n + a_1 z^{n-1} + \dots + a_{n-1} z + a_n \quad (10)$$

с комплексными коэффициентами, где $a_0 \neq 0$, n — натуральное число, имеет в комплексной плоскости хотя бы один нуль. Докажем более общее утверждение.

Теорема 4 (основная теорема высшей алгебры). Многочлен (10) в комплексной плоскости имеет ровно n нулей.

○ Обозначим $f(z) = a_0 z^n$, $g(z) = a_1 z^{n-1} + \dots + a_{n-1} z + a_n$. Тогда

$$P(z) = f(z) + g(z).$$

Так как $\lim_{z \rightarrow \infty} \frac{g(z)}{f(z)} = 0$, то существует такое число $R_0 > 0$, что $\frac{|g(z)|}{|f(z)|} < 1$ при $|z| \geq R_0$.

По теореме Руше многочлен $P(z)$ имеет в любом круге $|z| < R \leq R_0$ одинаковое число нулей с функцией $f(z) = z^n$, т. е. n . ●

Замечание. Если число R_0 такое, что $\frac{|g(z)|}{|f(z)|} < 1$ при $|z| \geq R_0$, то все нули функции $P(z)$ находятся в круге $|z| < R_0$.

§ 24. Мероморфные функции

Определение 1. Функция $f(z)$ называется мероморфной, если она регулярна в комплексной области (не расширенной), за исключением полюсов, число которых может быть бесконечным, но в каждой ограниченной области их должно быть конечное число.

Например, мероморфными являются функции $R(z)$, $\operatorname{tg} z$, $\operatorname{ctg} z$, $\frac{1}{\sin z}$, $\frac{1}{1 - e^z}$.

Рациональная функция $R(z) = \frac{P_n(z)}{Q_m(z)}$ равна сумме многочлена и элементарных дробей [8]. Например, если полюсы $R(z)$ простые, т. е.

первого порядка, и $n \geq m$, то

$$R(z) = M_{n-m}(z) + \sum_{k=1}^m \frac{A_k}{z - z_k}, \quad (1)$$

где M_{n-m} — многочлен степени $n - m$, z_k , $k = 1, 2, \dots, m$, — нули функции $Q_m(z)$. Если же $n < m$, то

$$R(z) = \sum_{k=1}^m \frac{A_k}{z - z_k}. \quad (2)$$

Отметим, что числа A_k можно находить по формулам

$$A_k = \operatorname{res}_{z=z_k} R(z) = \lim_{z \rightarrow z_k} \frac{(z - z_k)P_n(z)}{Q_m(z)} = \frac{P_n(z_k)}{Q'_m(z_k)},$$

поэтому нет необходимости находить эти числа методом неопределенных коэффициентов.

В общем случае мероморфная функция $f(z)$ представляется в виде суммы многочлена и бесконечной суммы элементарных дробей при некоторых условиях на поведение $f(z)$ при $z \rightarrow \infty$. Рассмотрим простой из этих случаев (в более общем случае см. [3]).

1. Разложение мероморфной функции на элементарные дроби

Теорема. Пусть мероморфная функция $f(z)$ регулярна в точке $z = 0$, ее полюсы z_k , $k = 1, 2, \dots$, простые, занумерованные в порядке неубывания их модулей: $|z_1| \leq |z_2| \leq \dots$, $A_k = \operatorname{res}_{z=z_k} f(z)$. И пусть существует последовательность окружностей $C_\nu : |z| = r_\nu$, $0 < r_1 < r_2 < \dots$ такая, что $\lim_{\nu \rightarrow \infty} r_\nu = \infty$ и функция $f(z)$ ограничена на этой последовательности: $|f(z)| \leq M$ при $z \in C_\nu$, $\nu = 1, 2, \dots$. Тогда

$$f(z) = f(0) + \sum_{k=1}^{\infty} A_k \left(\frac{1}{z - z_k} + \frac{1}{z_k} \right) \quad (3)$$

при $z \neq z_k$, причем в (3) сначала суммируются все члены суммы, для которых $|z| < r_1$, затем все члены, для которых $r_1 < |z_k| < r_2$ и т. д. Ряд (3) сходится равномерно в каждой ограниченной области D с выколотыми в ней полюсами функции $f(z)$.

О Рассмотрим интеграл

$$I_\nu(z) = \frac{1}{2\pi i} \oint_{C_\nu} \frac{zf(\zeta)}{\zeta(\zeta - z)} d\zeta, \quad (4)$$

где $|z| < r_\nu$, $z \neq z_k$.

Обозначим $F(\zeta) = \frac{zf(\zeta)}{\zeta(\zeta - z)}$. По теореме о вычетах

$$I_\nu(z) = \operatorname{res}_{\zeta=0} F(\zeta) + \operatorname{res}_{\zeta=z} F(\zeta) + \sum_{|z_k| < r_\nu} \operatorname{res}_{\zeta=z_k} F(\zeta). \quad (5)$$

Найдем вычеты в этой формуле:

$$\operatorname{res}_{\zeta=0} F(\zeta) = \left. \frac{zf(\zeta)}{\zeta - z} \right|_{\zeta=0} = -f(0),$$

$$\operatorname{res}_{\zeta=z} F(\zeta) = \left. \frac{zf(\zeta)}{\zeta} \right|_{\zeta=z} = f(z),$$

$$\begin{aligned} \operatorname{res}_{\zeta=z_k} F(\zeta) &= \left. \frac{z}{\zeta(\zeta - z)} \right|_{\zeta=z_k} \cdot \operatorname{res}_{\zeta=z_k} f(\zeta) = \\ &= \frac{z}{z_k(z_k - z)} \cdot A_k = -A_k \left(\frac{1}{z - z_k} + \frac{1}{z_k} \right). \end{aligned}$$

В результате из равенства (5) получаем

$$f(z) = f(0) + \sum_{|z_k| < r_\nu} A_k \left(\frac{1}{z - z_k} + \frac{1}{z_k} \right) + I_\nu(z). \quad (6)$$

Оценим интеграл $I_\nu(z)$. Пусть D — ограниченная область, не содержащая точки z_k , $k = 1, 2, \dots$. Тогда существует круг $K : |z| < R$ такой, что $D \subset K$. Если $r_\nu \geq R$, то для всех $z \in D$ получаем

$$|I_\nu(z)| \leq \frac{RM2\pi r_\nu}{2\pi r_\nu(r_\nu - R)} = \frac{RM}{r_\nu - R} \rightarrow 0 \quad \text{при } r_\nu \rightarrow \infty.$$

Так как эта оценка не зависит от $z \in D$, то, переходя в равенстве (6) к пределу при $\nu \rightarrow \infty$, получаем равномерно сходящийся ряд (3). ●

Замечание. В теореме условие ограниченности функции $f(z)$ на окружностях C_ν можно заменить условием ограниченности этой функции на *правильной* последовательности кривых Γ_ν (см. [12]). В частности, Γ_ν может быть границей квадрата с вершинами в точках $r_\nu(\pm 1 \pm i)$, $0 < r_1 < r_2 < \dots$, $\lim_{\nu \rightarrow \infty} r_\nu = \infty$ (рис. 74).

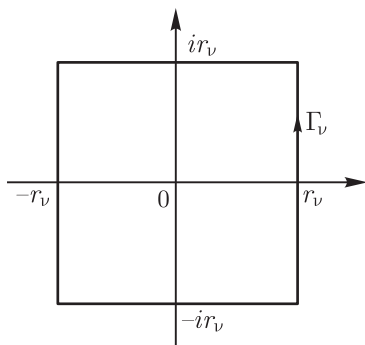


Рис. 74

Пример 1. Разложим на элементарные дроби функцию $\operatorname{ctg} z$.

Покажем, что для функции $f(z) = \operatorname{ctg} z - \frac{1}{z}$ выполняются все условия теоремы.

1) Если точка z принадлежит проколотой окрестности точки $z = 0$, то

$$f(z) = \frac{z \cos z - \sin z}{z \sin z} = \frac{z^3 \left(-\frac{1}{3} + c_1 z + \dots \right)}{z^2 (1 + b_1 z + \dots)} \rightarrow 0 \quad \text{при } z \rightarrow 0,$$

т. е. функция $f(z)$ регулярна в точке $z = 0$ и $f(0) = 0$.

2) Точки $z_k = \pi k$, $k = \pm 1, \pm 2, \dots$ — простые полюсы функции $f(z)$ и

$$A_k = \operatorname{res}_{z=z_k} f(z) = \operatorname{res}_{z=\pi k} \frac{\cos z}{\sin z} = \frac{\cos z}{(\sin z)'} \bigg|_{z=\pi k} = 1.$$

3) Покажем, что на сторонах Γ_ν квадратов с вершинами в точках $\left(\frac{\pi}{2} + \pi\nu\right)(\pm 1 \pm i)$, $\nu = 1, 2, \dots$, функция $f(z)$ ограничена. При $z \in \Gamma_\nu$ получаем $\left|\frac{1}{z}\right| \leq \frac{2}{3\pi}$.

Пусть $z = \left(\frac{\pi}{2} + \pi\nu\right)i + x$. Тогда

$$|\operatorname{ctg} z| = \frac{|1 + e^{2iz}|}{|1 - e^{2iz}|} \leq \frac{1 + e^{-\pi - 2\pi\nu}}{1 - e^{-\pi - 2\pi\nu}} \leq \frac{2}{1 - e^{-\pi}}.$$

Так как $\operatorname{ctg}(-z) = -\operatorname{ctg} z$, то $|\operatorname{ctg} z| \leq \frac{2}{1 - e^{-\pi}}$ при $z = -\left(\frac{\pi}{2} + \pi\nu\right)i + x$.

Если $z = \frac{\pi}{2} + \pi\nu + iy$, то $|\operatorname{ctg} z| = |\operatorname{tg} iy| = \left| \frac{e^y - e^{-y}}{e^y + e^{-y}} \right| \leq 1$.

Следовательно, функция $f(z)$ ограничена на Γ_ν , $\nu = 1, 2, \dots$

В результате по формуле (3), учитывая порядок суммирования ряда (3), получаем

$$f(z) = \sum_{k=1}^{\infty} \left(\frac{1}{z - \pi k} + \frac{1}{\pi k} + \frac{1}{z + \pi k} - \frac{1}{\pi k} \right) = \sum_{k=1}^{\infty} \frac{2z}{z^2 - \pi^2 k^2},$$

откуда

$$\operatorname{ctg} z = \frac{1}{z} + \sum_{k=1}^{\infty} \frac{2z}{z^2 - \pi^2 k^2}. \quad (7)$$

По теореме ряд (7) равномерно сходится в каждой ограниченной области, не содержащей точки $z_k = \pi k$, $k = 0, \pm 1, \pm 2, \dots$

Пример 2. Разложим на элементарные дроби функцию $g(z) = \frac{1}{\sin^2 z}$.

Из примера 1 (или из формулы (7)) следует, что

$$\operatorname{ctg} z = \frac{1}{z} + \sum_{\substack{k=-\infty \\ k \neq 0}}^{\infty} \left(\frac{1}{z - \pi k} + \frac{1}{\pi k} \right). \quad (8)$$

Так как $\frac{1}{\sin^2 z} = -(\operatorname{ctg} z)'$, то дифференцируя ряд (8), по второй теореме Вейерштрасса, получаем

$$\frac{1}{\sin^2 z} = \frac{1}{z^2} + \sum_{\substack{k=-\infty \\ k \neq 0}}^{\infty} \frac{1}{(z - \pi k)^2} = \sum_{k=-\infty}^{\infty} \frac{1}{(z - \pi k)^2}.$$

2. Разложение целой функции на элементарные множители

Определение 2. Бесконечное произведение $(1 + c_1)(1 + c_2) \dots (1 + c_n) \dots$ обозначается

$$\prod_{n=1}^{\infty} (1 + c_n) \quad (9)$$

и называется *сходящимся*, если существует предел

$$\lim_{N \rightarrow \infty} \prod_{n=1}^N (1 + c_n) \neq 0. \quad (10)$$

Из этого определения следует, что для сходимости произведения (9) необходимо, чтобы $c_n \neq -1$, $n = 1, 2, \dots$ и $\lim_{n \rightarrow \infty} c_n = 0$.

Из формулы (10) получается, что сходимость произведения (9) эквивалентна сходимости ряда

$$\sum_{n=1}^{\infty} \operatorname{Ln}(1 + c_n), \quad (11)$$

где $\operatorname{Ln}(1 + c_n) \sim c_n$ при $n \rightarrow \infty$. Поэтому сходимость произведения (9) эквивалентна сходимости ряда

$$\sum_{n=1}^{\infty} c_n.$$

Таким образом, исследование свойств сходящихся бесконечных произведений сводится к исследованию свойств сходящихся рядов.

Например, произведение (9) сходится абсолютно, т. е. сходится произведение

$$\prod_{n=1}^{\infty} |1 + c_n|,$$

если сходится ряд

$$\sum_{n=1}^{\infty} |c_n|.$$

Покажем на примере, как можно разложить целую функцию на элементарные множители.

Пример 3. Разложим функцию

$$g(z) = \sin z$$

на элементарные множители.

Пусть $f(z) = \frac{\sin z}{z}$. Тогда

$$\frac{f'(z)}{f(z)} = \operatorname{ctg} z - \frac{1}{z} = \sum_{k=1}^{\infty} \frac{2z}{z^2 - \pi^2 k^2}. \quad (12)$$

Интегрируя этот ряд почленно от точки $z = 0$ до точки z по кривой γ , не проходящей через точки $z = \pi k$, $k = \pm 1, \pm 2, \dots$,

получаем

$$\operatorname{Ln} f(\zeta) \bigg|_{\zeta=0}^{\zeta=z} = \sum_{k=1}^{\infty} \operatorname{Ln} (\zeta^2 - \pi^2 k^2) \bigg|_{\zeta=0}^{\zeta=z},$$

откуда, учитывая, что $f(0) = 1$, получаем

$$\operatorname{Ln} f(z) = \sum_{k=1}^{\infty} [\operatorname{Ln} (z^2 - \pi^2 k^2) - \operatorname{Ln} (-\pi^2 k^2)] = \operatorname{Ln} \prod_{k=1}^{\infty} \left(1 - \frac{z^2}{\pi^2 k^2} \right),$$

$$f(z) = \prod_{k=1}^{\infty} \left(1 - \frac{z^2}{\pi^2 k^2} \right),$$

$$\sin z = z \prod_{k=1}^{\infty} \left(1 - \frac{z^2}{\pi^2 k^2} \right).$$

Общие теоремы о разложении целых функций на элементарные дроби см. в [3, 6, 8].

КОНФОРМНЫЕ ОТОБРАЖЕНИЯ

§ 25. Геометрический смысл производной

1. Линейное растяжение и угол поворота кривой в точке

Пусть функция $w = f(z) = u(x, y) + iv(x, y)$ определена в окрестности точки $z_0 = x_0 + iy_0$, где $u(x, y)$, $v(x, y)$ — гладкие, т. е. непрерывно дифференцируемые в окрестности точки (x_0, y_0) функции (здесь условия Коши–Римана могут не выполняться). И пусть якобиан отображения

$$u = u(x, y), \quad v = v(x, y), \quad (1)$$

т. е. определитель

$$J(x, y) = \begin{vmatrix} \frac{\partial u}{\partial x} & \frac{\partial u}{\partial y} \\ \frac{\partial v}{\partial x} & \frac{\partial v}{\partial y} \end{vmatrix} = \frac{\partial u}{\partial x} \frac{\partial v}{\partial y} - \frac{\partial u}{\partial y} \frac{\partial v}{\partial x}$$

не равен нулю в точке (x_0, y_0) и ее окрестности. Тогда отображение (1) является взаимно однозначным в окрестности точки (x_0, y_0) (см. [9]).

Рассмотрим на плоскости z гладкую кривую γ с началом в точке z_0 (рис. 75, а). Пусть точка $z \in \gamma$, $z \neq z_0$. Обозначим $\Delta z = z - z_0$, $\varphi = \arg \Delta z$, l — касательный вектор к кривой γ в точке z_0 , $\varphi_0 = \arg l$.

Образом кривой γ при отображении $w = f(z)$ является гладкая кривая γ' на плоскости w с началом в точке $w_0 = f(z_0)$. Если точка $z \in \gamma$, $z \neq z_0$, то точка $w = f(z)$ принадлежит кривой γ' , $w \neq w_0$ (рис. 75, б). Обозначим $\Delta w = w - w_0$, $\theta = \arg \Delta w$, l' — касательный вектор к кривой γ' в точке w_0 , $\theta_0 = \arg l'$.

В курсе математического анализа число $k = \lim_{\substack{z \rightarrow z_0 \\ z \in \gamma}} \frac{|\Delta w|}{|\Delta z|}$ называют *линейным растяжением кривой γ в точке z_0* , а разность $\theta_0 - \varphi_0$

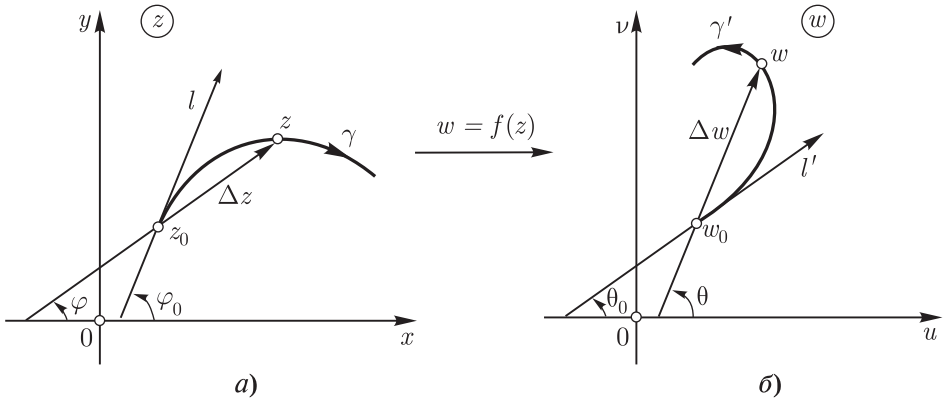


Рис. 75

называют *углом поворота кривой γ в этой точке* при отображении $w = f(z)$.

Отметим, что при гладком отображении (1) и линейное растяжение, и угол поворота в точке z_0 могут быть различными для различных кривых γ с началом в этой точке.

2. Геометрический смысл модуля и аргумента производной

Пусть теперь (и далее) функция $w = f(z)$ регулярна в точке $z_0 \neq \infty$ и $f'(z_0) \neq 0$. Тогда

$$\lim_{z \rightarrow z_0} \frac{f(z) - f(z_0)}{z - z_0} = f'(z),$$

где $z \rightarrow z_0$ любым «способом», в частности по любой кривой с началом в точке z_0 . Отсюда, используя обозначения п. 1, получаем

$$\lim_{\substack{z \rightarrow z_0 \\ z \in \gamma}} \left(\frac{|\Delta w|}{|\Delta z|} e^{i(\theta - \varphi)} \right) = |f'(z_0)| e^{i \arg f'(z_0)},$$

$$\lim_{\substack{z \rightarrow z_0 \\ z \in \gamma}} \frac{|\Delta w|}{|\Delta z|} = |f'(z_0)|, \quad (2)$$

$$\theta_0 - \varphi_0 = \arg f'(z_0). \quad (3)$$

Постоянство растяжений. Правая часть формулы (2) не зависит от вида и направления кривой γ (направления вектора l), т. е. линейное растяжение в точке z_0 одно и то же для всех кривых γ с нача-

лом в точке z_0 и равно $|f'(z_0)|$. Это свойство называется *свойством постоянства растяжений отображения $w = f(z)$ в точке z_0* .

Таким образом, геометрический смысл модуля производной состоит в том, что $|f'(z_0)|$ — это *линейное растяжение в точке z_0* .

Из формулы (2) следует также, что

$$|\Delta w| = |f'(z_0)| |\Delta z| + o(|\Delta z|),$$

т. е. при отображении $w = f(z)$ окружность $|z - z_0| = \rho$ с точностью до $o(\rho)$ переходит в окружность $|w - w_0| = \rho |f'(z_0)|$. Поэтому свойство постоянства растяжений называют также *круговым свойством отображения $w = f(z)$ в точке z_0* .

Сохранение угла между кривыми. Правая часть формулы (3) не зависит от вида и направления кривой γ , т. е. угол поворота в точке z_0 один и тот же для всех кривых с началом в точке z_0 и равен $\arg f'(z_0)$.

Таким образом, геометрический смысл аргумента производной состоит в том, что $\arg f'(z_0)$ — это *угол поворота кривых в точке z_0* .

Углом между кривыми γ_1, γ_2 с началом в точке z_0 называют угол между касательными к ним векторами в этой точке (рис. 76, а). При рассматриваемом отображении $w = f(z)$ все кривые с началом в точке z_0 поворачиваются на один и тот же угол, равный $\arg f'(z_0)$. Отсюда получается следующее *свойство сохранения углов*: при отображении $w = f(z)$ угол между кривыми γ_1, γ_2 в точке z_0 равен углу между образами этих кривых соответственно γ'_1, γ'_2 в точке $w_0 = f(z_0)$ как по абсолютной величине, так и по направлению отсчета (рис. 76, б).

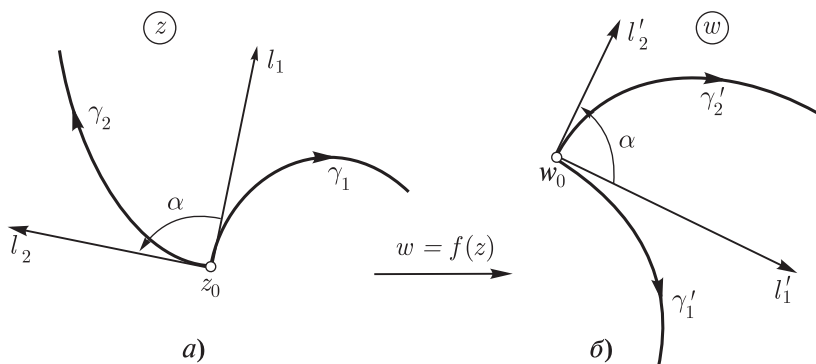


Рис. 76

Коэффициент растяжения областей. Якобиан отображения (1) называют *коэффициентом растяжения областей*. Если функция $w = f(z) = u(x, y) + iv(x, y)$ регулярна в области D , то из условий Коши–Римана следует, что якобиан отображения (1) равен

$$J(x, y) = \frac{\partial u}{\partial x} \frac{\partial v}{\partial y} - \frac{\partial u}{\partial y} \frac{\partial v}{\partial x} = \left(\frac{\partial u}{\partial x} \right)^2 + \left(\frac{\partial u}{\partial y} \right)^2, \quad \text{т. е.}$$

$$J(z) = J(x, y) = |f'(z)|^2. \quad (4)$$

Пусть функция $w = f(z)$ регулярна в области D и осуществляет взаимно однозначное отображение области D на область G плоскости w . Тогда из формулы (4) следует, что площадь области G равна

$$S(G) = \iint_G du dv = \iint_D |J(x, y)| dx dy = \iint_D |f'(z)|^2 dx dy.$$

Если при этом кривая γ принадлежит области D и γ' — ее образ при отображении $w = f(z)$, то длина кривой γ' равна

$$l(\gamma') = \int_{\gamma'} |dw| = \int_{\gamma} |f'(z)| |dz|.$$

§ 26. Локальные свойства отображений регулярными функциями

1. Теорема об n -значной обратной функции

В § 13 доказана теорема об обратной функции к функции $f(z)$, регулярной в точке z_0 , в случае, когда $f'(z_0) \neq 0$. Рассмотрим случай, когда $f'(z_0) = 0$.

Теорема. Пусть функция $w = f(z)$ регулярна в точке $z_0 \neq \infty$ и

$$f'(z_0) = f''(z_0) = \dots = f^{(n-1)}(z_0) = 0, \quad f^{(n)}(z_0) \neq 0, \quad (1)$$

где $n \geq 2$. Тогда существуют окрестности U , V точек z_0 , $w_0 = f(z_0)$ соответственно и функция $z = \psi(w)$ такие, что:

а) уравнение

$$f(z) = w \quad (2)$$

(относительно z) при каждом $w \in V$, $w \neq w_0$, имеет ровно n различных решений $z = \psi(w) \in U$,

б) функция $z = \psi(w)$ аналитична в области V , $w \neq w_0$, и

$$f(\psi(w)) = w \quad \forall w \in V. \quad (3)$$

○ Из (1) следует, что точка z_0 является нулем функции $f(z) - f(z_0)$ порядка n . Поэтому (§ 14, п. 1)

$$w - w_0 = f(z) - f(z_0) = (z - z_0)^n h(z), \quad h(z_0) \neq 0, \quad (4)$$

где функция $h(z)$ регулярна в точке z_0 .

Полагая

$$w - w_0 = \zeta^n, \quad (5)$$

из (4) получаем $\zeta^n = (z - z_0)^n h(z)$, откуда

$$\zeta = (z - z_0) \sqrt[n]{h(z)}. \quad (6)$$

Так как $h(z_0) \neq 0$ и функция $h(z)$ регулярна в точке z_0 , то $h(z) \neq 0$ в некоторой окрестности точки z_0 . Поэтому (§ 19, п. 4) функция $\sqrt[n]{h(z)}$ распадается в окрестности точки z_0 на регулярные ветви.

Пусть $h_1(z)$ — одна из этих ветвей и

$$\zeta = \zeta(z) = (z - z_0) h_1(z), \quad h_1(z_0) \neq 0, \quad (7)$$

где $h_1(z)$ — функция, регулярная в точке z_0 .

Функция $\zeta(z)$, определяемая формулой (7), удовлетворяет условиям теоремы об обратной функции (§ 13), так как

$$\zeta'(z_0) = h_1(z_0) \neq 0.$$

По этой теореме существует окрестность U точки z_0 , которую функция $\zeta = \zeta(z)$ взаимно однозначно отображает на некоторый круг $K = \{\zeta: |\zeta| < \rho\}$, $\zeta_0 = \zeta(z_0) = 0$.

При этом обратной к функции $\zeta = \zeta(z)$, $z \in U$, является функция $z = g(\zeta)$, регулярная в круге K .

Функция $\zeta_1 = \zeta^n$ отображает проколотую окрестность точки $\zeta = 0$ (круг радиуса δ) на проколотую окрестность точки $\zeta_1 = 0$ (круг радиуса δ^n) n -листно, так как каждый сектор радиуса δ с углом $\frac{2\pi}{n}$ при отображении $\zeta_1 = \zeta^n$ переходит в круг радиуса δ^n (§ 13, п. 2).

Из (5) и (7) следует, что

$$f(z) = w_0 + \zeta^n(z), \quad \zeta(z) = (z - z_0) h(z).$$

Поэтому для каждого $w \in K = \{|w - w_0| < \delta^n, w \neq w_0\}$ уравнение (2) имеет ровно n решений в круге $\tilde{K} = \{|z - z_0| < \delta\}$. ●

Пример 1. Пусть точка z_0 — полюс функции $f(z)$ порядка n . Покажем, что существуют такая проколотая окрестность K точки z_0 и такое число $\alpha > 0$, что для каждого комплексного числа A , $A > \alpha$, уравнение

$$f(z) = A \quad (8)$$

имеет ровно n корней $z \in K$.

1) Пусть $z_0 \neq \infty$. Тогда функция $w = g(z) = \frac{1}{f(z)}$ регулярна в точке z_0 , $g(z_0) = g'(z_0) = \dots = g^{(n-1)}(z_0) = 0$, $g^{(n)}(z_0) \neq 0$. По теореме получаем, что для каждого $w = \frac{1}{A}$ из некоторой проколотой окрестности точки $w_0 = 0$ уравнение $g(z) = \frac{1}{A}$ имеет ровно n корней, принадлежащих проколотой окрестности точки z_0 .

2) Пусть $z_0 = \infty$. Рассмотрим взаимно однозначное отображение $\zeta = \frac{1}{z}$ окрестности точки $z = \infty$ на окрестность точки $\zeta = 0$. Тогда функция $w = h(\zeta) = f\left(\frac{1}{\zeta}\right)$ имеет полюс в точке $\zeta = 0$ порядка n . Как и в случае 1), уравнение $h(\zeta) = A$ имеет ровно n корней в окрестности точки $\zeta = 0$, поэтому уравнение (8) имеет ровно n корней в окрестности точки $z = \infty$.

§ 27. Принцип сохранения области

Теорема (принцип сохранения области). Пусть функция $f(z)$ регулярна в области D и $f(z) \not\equiv \text{const}$. Тогда при отображении $w = f(z)$ образом области D является область G .

○ Пусть G — образ области D при отображении $w = f(z)$.

1) Покажем, что G — открытое множество. Пусть точка $w_0 \in G$, т. е. $w_0 = f(z_0)$, где $z_0 \in D$. Так как $f(z) \not\equiv \text{const}$, то существует производная $f^{(n)}(z_0) \neq 0$, $n \geq 1$. По теоремам § 13 и § 26 для любой точки w из окрестности точки w_0 существует такая точка z из окрестности точки z_0 , что $w = f(z)$, т. е. окрестность точки w_0 принадлежит множеству G .

2) Связность множества G следует из непрерывности отображения $w = f(z)$, так как при этом отображении образом кривой $\gamma \in D$ является непрерывная кривая $\gamma' \in G$. ●

§ 28. Принцип максимума для регулярной и гармонической функций

Теорема 1 (принцип максимума модуля регулярной функции). Пусть функция $w = f(z)$ регулярна в области D и $f(z) \not\equiv \text{const}$. Тогда $|f(z)|$ не может достигать своего максимума (ни локального, ни абсолютного) во внутренней точке области D .

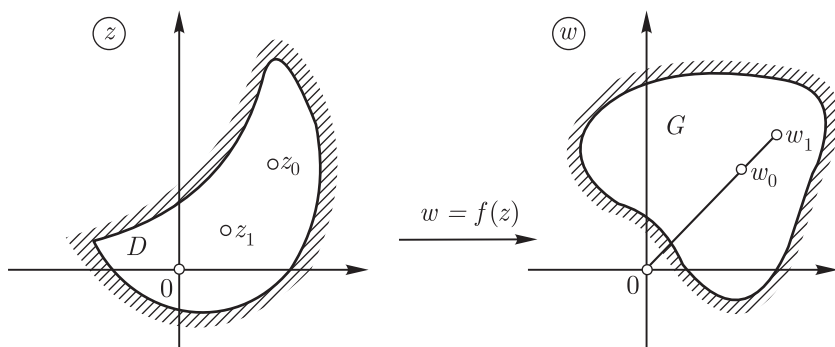


Рис. 77

○ Согласно принципу сохранения области (§ 27) образом области D является область G (рис. 77). Пусть $z_0 \in D$. Покажем, что существует точка $z_1 \in D$ в окрестности точки z_0 такая, что $|f(z_1)| > |f(z_0)|$.

Образом точки z_0 при отображении $w = f(z)$ является точка $w_0 = f(z_0)$. Поэтому на прямой, проходящей через точки 0 , w_0 , существует точка w_1 в окрестности точки w_0 такая, что $|w_1| > |w_0|$ (рис. 77). Так как прообразом точки w_1 является точка z_1 из окрестности точки z_0 , т. е. $f(z_1) = w_1$, то $|f(z_1)| > |f(z_0)|$. ●

Следствие. Пусть функция $f(z)$ регулярна в ограниченной области D , непрерывна вплоть до границы этой области и $f(z) \neq \text{const}$. Тогда максимум модуля этой функции

$$\max_{z \in \overline{D}} |f(z)|$$

достигается только на границе области D .

Теорема 2 (принцип максимума и минимума гармонической функции). Гармоническая в области D функция $u(x, y) \neq \text{const}$ не может достигать ни своего максимума, ни своего минимума (ни локального, ни абсолютного) во внутренней точке области D .

○ Предположим, что функция $u(x, y)$ достигает своего максимума в точке $z_0 = x_0 + iy_0 \in D$. Так как в окрестности точки z_0 существует (см. § 12) функция $v(x, y)$, сопряженно гармоническая с функцией $u(x, y)$, и регулярная функция $f(z) = u(x, y) + iv(x, y)$, то функция $g(z) = e^{f(z)}$ также регулярна в окрестности точки z_0 и $|g(z)| = e^{u(x, y)}$ достигает своего максимума в точке z_0 . По теореме 1 получаем $g(z) \equiv \text{const}$, поэтому $u(z, y) \equiv \text{const}$, что противоречит условиям теоремы.

Если функция $u(x, y)$ достигает своего минимума в точке $z_0 \in D$, то функция $-u(x, y)$ также является гармонической и достигает своего максимума в точке z_0 , а по доказанному это невозможно. ●

§ 29. Однолистные функции

Понятие однолистности было введено в § 13, п. 1.

Ранее рассматривались области, состоящие из конечных точек. Сформулируем определение области на расширенной комплексной плоскости (на сфере Римана).

Определение 1. Пусть области D , состоящей из конечных точек, принадлежит проколота окрестность $R < |z| < \infty$ точки $z = \infty$. Тогда множество $D_1 = D \cup \{z = \infty\}$ также будем называть областью.

Поэтому в дальнейшем (если не оговорено противное) будем считать, что, в частности, может быть, что $z = \infty$, $w = \infty$ и т. д.

Определение 2. Функция $f(z)$ называется однолистной в области D , если $f(z_1) \neq f(z_2)$ для любых точек $z_1 \in D$, $z_2 \in D$, $z_1 \neq z_2$.

Таким образом, функция $f(z)$ является однолистной в области, если она обратима, т. е. обратная ей функция однозначна.

Отображение однолистной функцией $w = f(z)$ является взаимно однозначным.

Определение 3. Функция $f(z)$, определенная в области D , называется однолистной в точке $z_0 \in D$, если она однолисна в некоторой окрестности точки z_0 .

Из определений 2, 3 следует, что однолистной в области функция является однолистной в каждой точке этой области. В дальнейшем будут рассмотрены примеры, когда однолистные в каждой точке области функции не являются однолиственными во всей области.

Теорема (критерий однолистности функции в конечной регулярной точке). Для однолистности функции $f(z)$ в регулярной точке $z_0 \neq \infty$ необходимо и достаточно, чтобы выполнялось условие $f'(z_0) \neq 0$.

О Необходимости. Пусть $f'(z) = 0$ и $f(z) \neq \text{const}$. Тогда по теореме § 26 функция, обратная к $f(z)$, неоднозначна в проколоте окрестности точки $w_0 = f(z_0)$, поэтому функция $f(z)$ не является однолистной в точке z_0 .

Если $f(z) \equiv \text{const}$, то $f(z_1) = f(z_2)$ для любых точек $z_1 \neq z_2$ из окрестности точки z_0 , т. е. функция $f(z)$ не является однолистной в точке z_0 .

Достаточность. Если $f'(z_0) \neq 0$, то по теореме § 13 функция, обратная к $f(z)$, однозначна в окрестности точки $w_0 = f(z_0)$, поэтому функция $f(z)$ однолистка в точке z_0 . ●

Следствие 1. Пусть функция $f(z)$ регулярна в точке $z = \infty$, т. е.

$$f(z) = c_0 + \frac{c_{-1}}{z} + \frac{c_{-2}}{z^2} + \dots \quad \text{при} \quad |z| > R > 0.$$

Тогда для однолистности функции $f(z)$ в точке $z = \infty$ необходимо и достаточно, чтобы выполнялось условие

$$c_{-1} = -\operatorname{res}_{z=\infty} f(z) \neq 0.$$

○ Функцию $w = f(z)$ можно представить как суперпозицию двух функций

$$\zeta = \frac{1}{z} \quad \text{и} \quad w = f\left(\frac{1}{\zeta}\right).$$

Так как функция $\zeta = \frac{1}{z}$ взаимно однозначно отображает окрестность $|z| > R$ точки $z = \infty$ на окрестность $|\zeta| < \frac{1}{R}$ точки $\zeta = 0$, то для однолистности функции $f(z)$ в точке $z = \infty$ необходимо и достаточно, чтобы функция

$$\varphi(\zeta) = f\left(\frac{1}{\zeta}\right) = c_0 + c_{-1}\zeta + c_{-2}\zeta^2 + \dots, \quad |\zeta| < \frac{1}{R},$$

была однолистной в точке $\zeta = 0$. Следовательно, по критерию однолистности должно выполняться условие

$$\varphi'(0) = c_{-1} \neq 0. \quad \bullet$$

Следствие 2. Пусть точка z_0 является полюсом функции $f(z)$. Тогда для однолистности функции $f(z)$ в точке z_0 необходимо и достаточно, чтобы порядок этого полюса равнялся единице.

○ 1) Пусть $z_0 \neq \infty$, тогда

$$f(z) = \frac{h(z)}{(z - z_0)^n},$$

где функция $h(z)$ регулярна в точке z_0 , $h(z_0) \neq 0$, n — натуральное число. Функцию $w = f(z)$ можно представить как суперпозицию двух

функций

$$\zeta = \frac{1}{f(z)} \quad \text{и} \quad w = \frac{1}{\zeta}.$$

Так как функция $w = \frac{1}{\zeta}$ взаимно однозначно отображает окрестность точки $\zeta = 0$ на окрестность точки $w = \infty$, то для однолистности функции $f(z)$ в точке z_0 необходимо и достаточно, чтобы функция

$$\zeta(z) = \frac{1}{f(z)} = \frac{(z - z_0)^n}{h(z)} \quad (1)$$

была однолистной в точке z_0 . По критерию однолистности должно выполняться условие $\zeta'(z_0) \neq 0$, а из формулы (1) следует, что это условие выполняется только при $n = 1$.

2) Пусть $z_0 = \infty$, тогда

$$f(z) = z^n h(z),$$

где функция $h(z)$ регулярна в точке $z = \infty$, $h(\infty) \neq 0$, n — натуральное число. Функцию $w = f(z)$ можно представить как суперпозицию двух функций

$$\zeta = \frac{1}{z} \quad \text{и} \quad w = f\left(\frac{1}{\zeta}\right).$$

Так как функция $\zeta = \frac{1}{z}$ взаимно однозначно отображает окрестность точки $z = \infty$ на окрестность точки $\zeta = 0$, то для однолистности функции $f(z)$ в точке $z = \infty$ необходимо и достаточно, чтобы функция

$$w(\zeta) = \frac{1}{\zeta^n} h\left(\frac{1}{\zeta}\right)$$

была однолистной в точке $\zeta = 0$. По доказанному в п. 1) должно выполняться условие $n = 1$. ●

Пример 1. Функция $f(z) = e^z$ однолистка в каждой точке $z \neq \infty$, так как $f'(z) = e^z \neq 0$. Однако эта функция не является однолистной в области $|z| < \infty$, так как, например, $e^{2\pi ki} = 1$, $k = 0, \pm 1, \pm 2, \dots$

Пример 2. Функция $f(z) = z^2$ является однолистной в каждой точке кольца $K: 1 < |z| < 3$, так как $f'(z) = 2z \neq 0$ при $z \in K$. Однако эта функция не является однолистной в кольце K , так как, например, $f(z) = f(-z)$ при $z \in K$.

Замечание 1. Пусть функция $f(z)$ регулярна в области D , за исключением двух полюсов в точках $z_1 \in D$, $z_2 \in D$, $z_1 \neq z_2$. Тогда эта функция не является однолистной в области D , так как $f(z_1) = f(z_2) = \infty$.

Замечание 2. Если z_0 — существенно особая точка функции $f(z)$, то эта функция не является однолистной в точке z_0 , так как по теореме Пикара (§ 16) уравнение $f(z) = A$ имеет бесконечное число корней в проколотой окрестности точки z_0 для любого комплексного числа A , кроме, быть может, одного.

Итак, если функция $f(z)$ регулярна в области D , за исключением конечного числа точек, то для однолистности этой функции в области D необходимо, чтобы выполнялись следующие условия:

- 1) функция $f(z)$ должна быть регулярной в области D , за исключением, быть может, одной точки — полюса первого порядка;
- 2) в каждой конечной регулярной точке $z \in D$ функции $f(z)$ должно выполняться условие $f'(z) \neq 0$;
- 3) Если точка $z = \infty$ принадлежит области D и в этой точке функция $f(z)$ регулярна, то должно выполняться условие

$$c_{-1} = -\operatorname{res}_{z=\infty} f(z) \neq 0.$$

Замечание 3. В примерах 1, 2 показано, что условия 1)–3) могут быть не достаточными для однолистности функции в области.

§ 30. Определение и общие свойства конформных отображений

Определение 1. Отображение $w = f(z)$ области D расширенной комплексной плоскости z называется конформным, если:

- 1) функция $f(z)$ регулярна в области D , за исключением, быть может, одного полюса первого порядка;
- 2) функция $f(z)$ однолисна в области D .

Рассмотрим некоторые свойства конформных отображений.

Свойство 1. При конформном отображении $w = f(z)$ образом области D является область расширенной комплексной плоскости w (§ 27).

Из определения 1 непосредственно получаются следующие свойства 2, 3.

Свойство 2. Отображение, обратное к конформному отображению, также является конформным.

Свойство 3. Суперпозиция (последовательное выполнение) конформных отображений также является конформным.

Из определения 1 и § 28 следует, что при конформном отображении $w = f(z)$ области D выполняется условие $f'(z) \neq 0$ при $z \in D$, $z \neq \infty$. Поэтому справедливо следующее

Свойство 4 (постоянство растяжений, т. е. круговое свойство). При конформном отображении $w = f(z)$ области D в каждой конечной точке $z_0 \in D$ линейное растяжение одинаково для всех гладких кривых с началом в точке z_0 и равно $|f'(z_0)|$, т. е. образом окружности $|z - z_0| = \rho$ с точностью до $o(\rho)$ является окружность $|w - w_0| = \rho|f'(z_0)|$, где $w_0 = f(z_0)$ (§ 25).

Сформулируем определение угла между кривыми в точке $z = \infty$.

Определение 2. Углом между кривыми γ_1, γ_2 с концами в точке $z = \infty$ называется угол между образами этих кривых при отображении $\zeta = \frac{1}{z}$ в точке $\zeta = 0$.

Пример 1. Пусть два луча γ_1, γ_2 выходят из одной и той же конечной точки z_0 . Покажем, что тогда угол между лучами γ_1, γ_2 в точке $z = \infty$ равен углу между этими лучами в точке z_0 , взятому с противоположным знаком.

Ограничимся случаем, когда $z_0 = 0$. Пусть γ_j — луч: $\arg z = \varphi_j$ ($j = 1, 2$). Тогда угол между γ_1, γ_2 (в направлении от γ_1 к γ_2) в точке $z = 0$ равен $\alpha = \varphi_2 - \varphi_1$ (рис. 78). Образом луча γ_j при отображении $\zeta = \frac{1}{z}$ является луч $\tilde{\gamma}_j$: $\arg \zeta = -\varphi_j$ ($j = 1, 2$) и поэтому угол между $\tilde{\gamma}_1, \tilde{\gamma}_2$ в точке $\zeta = 0$ равен $(-\varphi_2) - (-\varphi_1) = -\alpha$ (рис. 78). Следовательно, по определению 2 угол между лучами γ_1, γ_2 в точке $z = \infty$ равен $-\alpha$.

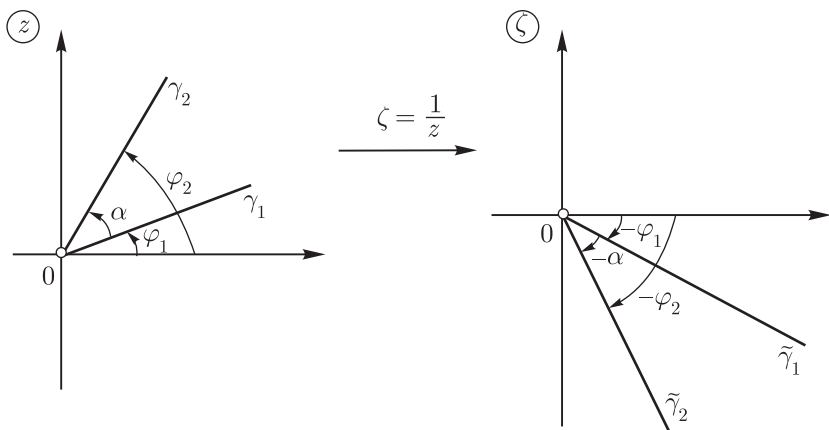


Рис. 78

Замечание 1. Отображение $\zeta = \frac{1}{z}$ является поворотом сферы Римана на 180° вокруг диаметра с концами в точках $z = \pm 1$ (их образами при стереографической проекции $\zeta = \frac{1}{z}$). Следовательно, при этом отображении сохраняются углы между кривыми в каждой точке сферы Римана.

Из определения 2 и § 25 получается следующее

Свойство 5 (сохранение углов). При конформном отображении $w = f(z)$ области D углы между кривыми сохраняются в каждой точке $z_0 \in D$: угол между кривыми с началом в точке $z_0 \in D$, $z_0 \neq \infty$, или с концом в точке $z_0 = \infty$ равен углу между образами этих кривых в точке $w_0 = f(z_0)$; при этом если $z_0 \neq \infty$, то угол поворота всех кривых с началом в точке z_0 равен $\arg f'(z_0)$.

Теорема 1 (принцип соответствия границ). Пусть D — ограниченная односвязная область плоскости z с границей Γ , G — ограниченная односвязная область плоскости w с границей $\tilde{\Gamma}$ и пусть функция $w = f(z)$ конформно отображает область D на область G . Тогда функция $w = f(z)$ является непрерывной в области D вплоть до границы Γ и отображает кривую Γ на кривую $\tilde{\Gamma}$ взаимно однозначно с сохранением ориентации.

Доказательство этой теоремы содержится в [4].

Докажем теорему, обратную теореме 1.

Теорема 2 (критерий однолиственности функции в области). Пусть D — ограниченная односвязная область плоскости z с границей Γ , G — ограниченная односвязная область плоскости w с границей $\tilde{\Gamma}$ и пусть функция $w = f(z)$ регулярна в области D , непрерывна вплоть до границы Γ и отображает кривую Γ на кривую $\tilde{\Gamma}$ взаимно однозначно с сохранением ориентации. Тогда функция $w = f(z)$ однолистка в области D и отображает конформно область D на область G .

О Покажем, что для каждой точки $w_0 \in G$ существует только одна точка $z \in D$ такая, что $f(z) = w_0$, причем функция $f(z) - w_0$ имеет ровно один нуль в области D .

По условию теоремы функция $f(z) - w_0$ не обращается в нуль на Γ , так как при $z \in \Gamma$ точка $w = f(z) \in \tilde{\Gamma}$, $w_0 \in G$. По принципу аргумента

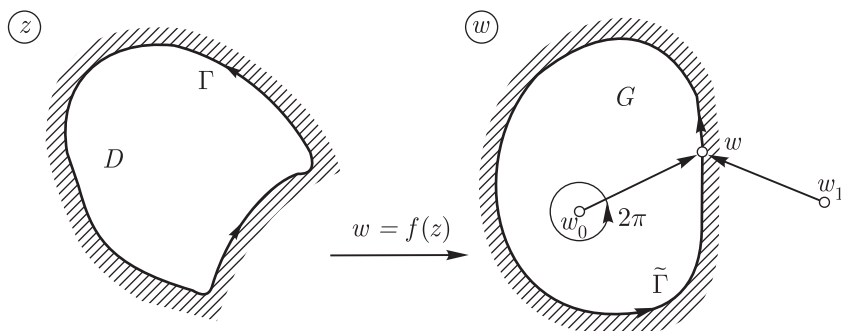


Рис. 79

(§ 23) число нулей функции $f(z) - w_0$ в области D равно

$$N = \frac{1}{2\pi} \Delta_{\Gamma} \arg[f(z) - w_0] = \frac{1}{2\pi} \Delta_{\tilde{\Gamma}} \arg(w - w_0).$$

Так как точка $w_0 \in G$, то $\Delta_{\tilde{\Gamma}} \arg(w - w_0) = 2\pi$ и $N = 1$ (рис. 79).

Аналогично, если точка w_1 принадлежит внешности кривой $\tilde{\Gamma}$, то $\Delta_{\tilde{\Gamma}} \arg(w - w_1) = 0$ (рис. 79) и уравнение $f(z) = w_1$ не имеет корней в области D . ●

Замечание 2. Теоремы 1, 2 справедливы и для областей расширенной комплексной плоскости (и не только для односвязных): при конформном отображении граница области переходит в границу образа этой области взаимно однозначно с сохранением ориентации.

Фундаментальной теоремой теории конформных отображений является следующая

Теорема 3 (Римана). Пусть D — односвязная область расширенной комплексной плоскости, граница которой состоит более чем из одной точки, G — односвязная область расширенной комплексной плоскости w , граница которой также состоит более чем из одной точки. Тогда существует конформное отображение $w = f(z)$ области D на область G .

Исключительными являются следующие области:

- 1) вся расширенная комплексная плоскость — ее можно конформно отобразить только на всю расширенную комплексную плоскость;
- 2) вся расширенная комплексная плоскость с одной выколотой точкой — ее можно отобразить только на всю расширенную комплексную плоскость с одной выколотой точкой.

Отметим, что конформное отображение односвязной области D на односвязную область G не единственно. Для единственности достаточ-

но, например, выполнения условий

$$f(z_0) = w_0, \quad \arg f'(z_0) = \alpha, \quad (1)$$

где $z_0 \in D$, $w_0 \in G$, α — действительное число.

Условия (1) называют *условиями нормировки* конформного отображения $w = f(z)$. Эти условия содержат три произвольных действительных параметра: если точка $z_0 \in D$ задана, то точка $w_0 \in G$ содержит два действительных параметра $\operatorname{Re} w_0$, $\operatorname{Im} w_0$ и, кроме этого, условия (1) содержат еще один действительный параметр α .

Геометрически условия (1) будем изображать так, как показано на рис. 80.

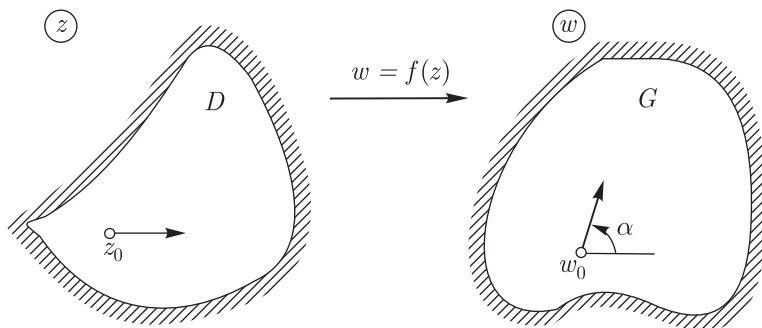


Рис. 80

Условия нормировки конформных отображений могут быть и другими, например:

$$f(z_0) = w_0, \quad f(z_1) = w_1,$$

где $z_0 \in D$, $w_0 \in G$, а точки z_1 , w_1 принадлежат соответственно границам областей D и G :

$$f(z_k) = w_k, \quad k = 1, 2, 3,$$

где z_k , w_k — точки соответственно границ областей D , G , взятых в направлении ориентации этих границ.

Рассмотрим конформные отображения, задаваемые конкретными элементарными функциями.

§ 31. Дробно-линейные отображения

Дробно-линейной называется функция

$$w = \frac{az + b}{cz + d}, \quad ad - bc \neq 0, \quad (1)$$

где a, b, c, d — заданные комплексные числа. Условие $ad - bc \neq 0$ означает, что $w \neq \text{const}$. Отображение, осуществляемое функцией (1), называется *дробно-линейным*. При этом предполагается, что если $c \neq 0$, то $w\left(-\frac{d}{c}\right) = \infty$, а если $c = 0$, то $w(\infty) = \infty$. В частности, если $c = 0$, то функция (1) является линейной, а отображение, осуществляемое линейной функцией, называется *линейным*.

Рассмотрим основные свойства дробно-линейных отображений.

1. Конформность

Теорема 1. *Дробно-линейная функция конформно отображает расширенную комплексную плоскость на расширенную комплексную плоскость.*

○ Функция (1) регулярна во всей расширенной комплексной плоскости, за исключением одного полюса первого порядка.

Решая уравнение (1) относительно z , находим функцию

$$z = \frac{dw - b}{-cw + a}, \quad ad - bc \neq 0, \quad (2)$$

обратную к функции (1). Так как функция (2) однозначна, то функция (1) однолистка. ●

Замечание 1. В § 16 доказано, что если функция $f(z)$ регулярна в расширенной комплексной плоскости, за исключением одного полюса первого порядка, то эта функция является дробно-линейной. Следовательно, любое конформное отображение расширенной комплексной плоскости на расширенную комплексную плоскость является дробно-линейным.

2. Групповое свойство

Теорема 2. *Совокупность дробно-линейных отображений образует группу, т. е.*

1) суперпозиция (произведение) дробно-линейных отображений является дробно-линейным отображением;

2) отображение, обратное к дробно-линейному, также является дробно-линейным.

○ Свойство 2) доказано в п.1. Докажем свойство 1). Пусть

$$\zeta = \frac{a_1 z + b_1}{c_1 z + d_1}, \quad a_1 d_1 - b_1 c_1 \neq 0, \quad (3)$$

$$w = \frac{a_2 \zeta + b_2}{c_2 \zeta + d_2}, \quad a_2 d_2 - b_2 c_2 \neq 0. \quad (4)$$

Подставляя (3) в (4), получаем

$$w = \frac{az + b}{cz + d}, \quad (5)$$

где $ad - bc = (a_1 d_1 - b_1 c_1)(a_2 d_2 - b_2 c_2) \neq 0$, т. е. отображение является дробно-линейным. ●

Замечание 2. Группа дробно-линейных отображений некоммутативна. Например, если $w(z) = 1/z$, $\zeta(z) = z + 1$, то

$$w = (\zeta(z)) = \frac{1}{z+1},$$

$$\zeta(w(z)) = \frac{1}{z} + 1,$$

$$w(\zeta(z)) \neq \zeta(w(z)).$$

3. Круговое свойство

Теорема 3. При дробно-линейном отображении образом любой окружности или прямой является окружность или прямая.

○ Сначала рассмотрим линейное отображение $w = az + b$, $a \neq 0$, которое можно представить как последовательное выполнение следующих отображений:

$\zeta = |a|z$ — подобие с центром в точке $z = 0$ и коэффициентом $|a|$;

$\eta = \zeta e^{i\alpha}$, $\alpha = \arg a$ — поворот плоскости ζ вокруг точки $\zeta = 0$ на угол α ;

$w = \eta + b$ — параллельный перенос плоскости η на вектор b .

Из курса аналитической геометрии известно, что при каждом из этих отображений образом прямой является прямая (причем образами параллельных прямых также являются параллельные прямые), образом окружности также является окружность, и каждая фигура переходит в подобную ей фигуру.

Пусть теперь дробно-линейная функция $w = \frac{az+b}{cz+d}$ не является линейной, т. е. $c \neq 0$. Тогда

$$w = A + \frac{B}{z+z_0}, \quad (6)$$

где $A = a/c$, $B = (bc - ad)/c^2$, $z_0 = d/c$. Поэтому отображение (6) сводится к последовательному выполнению следующих отображений:

$$\zeta = z + z_0, \quad \eta = \frac{1}{\zeta}, \quad w = A + B\eta. \quad (7)$$

Первое и третье отображения (7) обладают круговым свойством, так как они линейные. Остается доказать, что второе отображение (7), т. е. отображение

$$w = \frac{1}{z}, \quad (8)$$

также обладает круговым свойством.

Рассмотрим уравнение окружности или прямой на действительной плоскости (x, y) :

$$\alpha(x^2 + y^2) + \beta x + \gamma y + \delta = 0 \quad (9)$$

(если $\alpha = 0$, то (9) — уравнение прямой). Так как

$$x^2 + y^2 = |z|^2 = z\bar{z}, \quad x = \frac{1}{2}(z + \bar{z}), \quad y = \frac{1}{2i}(z - \bar{z}),$$

то уравнение (9) таково:

$$\alpha z\bar{z} + Dz + \overline{D}\bar{z} + \delta = 0, \quad (10)$$

где $D = \frac{1}{2}(\beta - i\gamma)$. Подставляя в (10) $z = 1/w$, получаем

$$\delta w\bar{w} + \overline{D}w + D\bar{w} + \alpha = 0. \quad (11)$$

Следовательно, образом окружности (10) (прямой, если $\alpha = 0$) при отображении (8) является окружность (11) (прямая, если $\delta = 0$). ●

Отметим, что дробно-линейное отображение $w = \frac{az+b}{cz+d}$ переводит окружности и прямые, проходящие через точку $z = -d/c$, в прямые, а остальные окружности и прямые — в окружности.

В дальнейшем будем считать, что прямая — окружность бесконечного радиуса. Поэтому круговое свойство можно коротко сформулировать так: при дробно-линейном отображении окружности переходят в окружности.

4. Свойство сохранения симметрии

Понятие симметрии (инверсии) относительно окружности определяется в элементарной геометрии следующим образом. Пусть Γ — окружность радиуса R с центром в точке O .

Определение. Точки M и M^* называются симметричными относительно окружности Γ , если они лежат на одном луче, выходящем из точки O , и $OM \cdot OM^* = R^2$ (рис. 81).

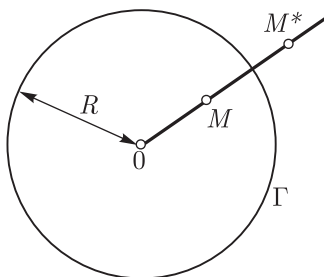


Рис. 81

В частности, каждая точка окружности Γ является симметричной сама себе относительно этой окружности.

Таким образом, на комплексной плоскости точки z и z^* являются симметричными относительно окружности Γ : $|z - z_0| = R$, если они лежат на одном луче, выходящем из точки z_0 и $|z - z_0||z^* - z_0| = R^2$. Точка $z = \infty$ считается симметричной относительно окружности Γ с точкой z_0 — центром этой окружности.

Из этого определения следует, что симметричные относительно окружности $|z| = R$ точки z , z^* связаны соотношением

$$z^* = \frac{R^2}{\bar{z}}. \quad (12)$$

В частности, симметричные относительно единичной окружности $|z| = 1$ (рис. 82) точки z , z^* связаны соотношением

$$z^* = \frac{1}{\bar{z}}. \quad (13)$$

Так как точки z и \bar{z} симметричны относительно действительной оси, то из (13) следует, что точка $1/\bar{z}$ получается из точки z двойной симметрией: относительно действительной оси и относительно единичной окружности (в любом порядке) (рис. 82).

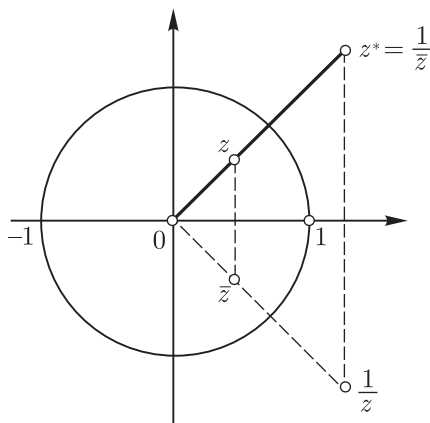


Рис. 82

Из (12) получается, что симметричные относительно окружности $|z - z_0| = R$ точки z , z^* связаны соотношением

$$z^* = z_0 + \frac{R^2}{\overline{z - z_0}}. \quad (14)$$

Дробно-линейное отображение обладает следующим свойством *сохранения симметрии*.

Теорема 4. При дробно-линейном отображении пара точек, симметричных относительно окружности, переходит в пару точек, симметричных относительно образа этой окружности.

Здесь «окружность», в частности, может быть прямой.

Для доказательства теоремы 4 предварительно докажем следующую лемму.

Лемма. Точки M и M^* являются симметричными относительно окружности Γ тогда и только тогда, когда любая окружность γ , проходящая через эти точки, пересекается с окружностью Γ под прямым углом.

О Необходимость. Пусть точки M , M^* симметричны относительно окружности Γ радиуса R с центром в точке O (рис. 83). Рассмотрим окружность γ , проходящую через точки M , M^* . Проведем из точки O прямую, касающуюся окружности γ в точке P . По теореме элементарной геометрии (квадрат касательной равен произведению секущей на ее внешнюю часть) $OP^2 = OM \cdot OM^*$. Это произведение равно R^2 , так как точки M , M^* симметричны относительно окружности Γ . Значит, $OP = R$, т. е. точка P лежит на окружности Γ . Таким образом, касательная к окружности γ является радиусом окружности Γ и,

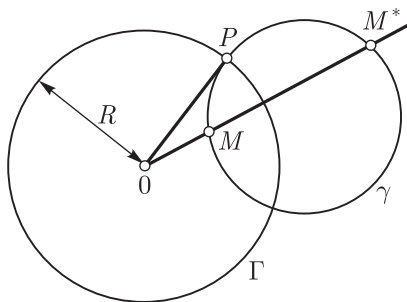


Рис. 83

следовательно, окружности γ , Γ пересекаются в точке P под прямым углом.

Достаточность. Пусть любая окружность γ , проходящая через точки M , M^* , пересекается с окружностью Γ под прямым углом (рис. 83). Тогда прямая (частный случай окружности), проходящая через точки M , M^* , также пересекается с окружностью Γ под прямым углом, т. е. эта прямая проходит через центр O окружности Γ . Более того, точки M , M^* лежат на одном луче, исходящем из точки O , так как в противном случае окружность радиуса $\frac{1}{2}MM^*$, проходящая через точки M , M^* , не пересекается с Γ под прямым углом.

Остается доказать, что $OM \cdot OM^* = R^2$. Пусть окружность γ , проходящая через точки M , M^* , пересекается с Γ в точке P (рис. 83). Тогда OP — касательная к γ и, следовательно, $OP^2 = OM \cdot OM^*$ по теореме о квадрате касательной (см. необходимость). ●

Доказательство теоремы 4. Пусть точки z и z^* симметричны относительно окружности Γ , и пусть дробно-линейное отображение $w = f(z)$ переводит окружность Γ в $\tilde{\Gamma}$, а точки z , z^* — в точки w , w^* соответственно. В силу кругового свойства $\tilde{\Gamma}$ — окружность. Нужно доказать, что точки w , w^* симметричны относительно $\tilde{\Gamma}$. Для этого в силу леммы достаточно доказать, что любая окружность $\tilde{\gamma}$, проходящая через точки w , w^* , пересекается с $\tilde{\Gamma}$ под прямым углом,

Прообразом окружности $\tilde{\gamma}$ при дробно-линейном отображении $w = f(z)$ является окружность γ , проходящая через точки z , z^* . Эта окружность γ пересекается с Γ также под прямым углом. Следовательно, $\tilde{\gamma}$ пересекается с $\tilde{\Gamma}$ под прямым углом, так как дробно-линейное отображение является конформным во всей расширенной комплексной плоскости и поэтому сохраняет углы между кривыми в каждой точке. ●

5. Дробно-линейное отображение, переводящее три точки в три точки

Теорема 5. Существует единственное дробно-линейное отображение, при котором три различные точки z_1, z_2, z_3 переходят соответственно в три различные точки w_1, w_2, w_3 . Это отображение определяется формулой

$$\frac{w - w_1}{w - w_2} \cdot \frac{w_3 - w_2}{w_3 - w_1} = \frac{z - z_1}{z - z_2} \cdot \frac{z_3 - z_2}{z_3 - z_1}. \quad (15)$$

○ Из теоремы 1 следует, что функция $w = f(z)$, определяемая соотношением (15), является дробно-линейной и $w_k = f(z_k)$, $k = 1, 2, 3$.

Докажем, что если дробно-линейная функция $w = f_1(z)$ удовлетворяет тем же условиям, что и функция $w = f(z)$, а именно $w_k = f_1(z_k)$ ($k = 1, 2, 3$), то $f_1(z) \equiv f(z)$. Пусть $z = f^{-1}(w)$ — функция, обратная к функции $w = f(z)$. Тогда $f^{-1}(f_1(z))$ — дробно-линейная функция:

$$f^{-1}(f_1(z)) = \frac{az + b}{cz + d}$$

и $f^{-1}(f_1(z_k)) = z_k$, т. е.

$$\frac{az_k + b}{cz_k + d} = z_k, \quad k = 1, 2, 3.$$

Отсюда получаем

$$cz_k^2 + (d - a)z_k - b = 0,$$

т. е. квадратное уравнение $cz^2 + (d - a)z - b = 0$ имеет три различных корня. Следовательно, $c = 0$, $d = a$, $b = 0$ и $f^{-1}(f_1(z)) \equiv z$, откуда $f_1(z) \equiv f(z)$. ●

Следствие. Функция $w = f(z)$, определяемая формулой (15), конформно отображает круг, граница которого проходит через точки z_k ($k = 1, 2, 3$), на круг, граница которого проходит через точки w_k ($k = 1, 2, 3$).

Здесь и далее «круг» — внутренность окружности, или внешность окружности, или полуплоскость. Будет доказано (см. п. 6, пример 5), что любое конформное отображение круга на круг является дробно-линейным.

Замечание 3. В теореме 4 и ее следствии не предполагается, что все точки z_k, w_k ($k = 1, 2, 3$) являются конечными. Например, при

$w_3 = \infty$ формулу (15) можно записать так:

$$\frac{w - w_1}{w - w_2} = \frac{z - z_1}{z - z_2} \cdot \frac{z_3 - z_2}{z_3 - z_1}.$$

Замечание 4. Из доказательства теоремы 4 следует, что дробно-линейное отображение $w = w(z)$ может иметь не более двух неподвижных точек z_1, z_2 , т. е. таких, что $w(z_k) = z_k$ ($k = 1, 2$), если $w(z) \neq z$. Дробно-линейное отображение, имеющее две неподвижные точки z_1, z_2 , определяется формулой

$$\frac{w - z_1}{w - z_2} = A \frac{z - z_1}{z - z_2},$$

где A — некоторое комплексное число.

Пример 1. Если дробно-линейное отображение переводит точку z_1 в точку $w = 0$, а точку z_2 — в точку $w = \infty$, то

$$w = A \frac{z - z_1}{z - z_2}, \quad (16)$$

где A — некоторое комплексное число.

6. Примеры дробно-линейных отображений

Пример 2. Дробно-линейное (и любое конформное) отображение полуплоскости $\operatorname{Im} z > 0$ на круг $|w| < 1$ имеет вид

$$w = \frac{z - z_0}{z - \bar{z}_0} e^{i\alpha}, \quad (17)$$

где $\operatorname{Im} z_0 > 0$, α — действительное число.

Пусть дробно-линейная функция $w = w(z)$ отображает полуплоскость $\operatorname{Im} z > 0$ на круг $|w| < 1$ так, что $w(z_0) = 0$ ($\operatorname{Im} z_0 > 0$). Тогда по теореме 4 $w(\bar{z}_0) = \infty$ и по формуле (16)

$$w = A \frac{z - z_0}{z - \bar{z}_0}. \quad (18)$$

Покажем, что $|A| = 1$. Так как точки действительной оси переходят в точки единичной окружности, т. е. $|w| = 1$ при действительных $z = x$, то из (18) получаем

$$1 = \left| A \frac{x - z_0}{x - \bar{z}_0} \right| = |A| \left| \frac{x - z_0}{x - \bar{z}_0} \right| = |A|,$$

т. е. $A = e^{i\alpha}$, где α — действительное число.

Найдем угол поворота кривых в точке z_0 при отображении (17). Из формулы (17) получаем

$$w'(z_0) = \frac{1}{z_0 - \bar{z}_0} e^{i\alpha} = \frac{1}{2i \operatorname{Im} z_0} e^{i\alpha}.$$

Так как $\operatorname{Im} z_0 > 0$, то $\arg w'(z_0) = \alpha - \frac{\pi}{2}$, т. е. при отображении (17) угол поворота кривых в точке z_0 равен $\alpha - \frac{\pi}{2}$ (рис. 84).

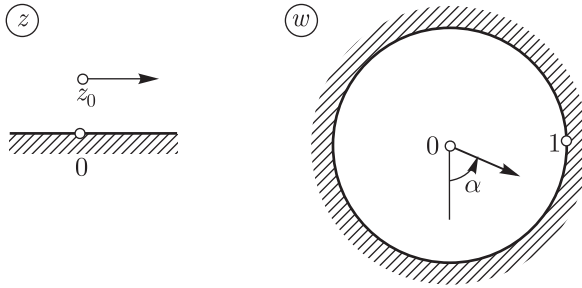


Рис. 84

Пример 3. Дробно-линейное отображение круга $|z| < 1$ на круг $|w| < 1$ имеет вид

$$w = \frac{z - z_0}{1 - z\bar{z}_0} e^{i\alpha}, \quad (19)$$

где $|z_0| < 1$, α — действительное число.

Пусть дробно-линейная функция $w = w(z)$ отображает круг $|z| < 1$ на круг $|w| < 1$ так, что $w(z_0) = 0$ ($|z_0| < 1$). Тогда по теореме 3 $w(1/\bar{z}_0) = \infty$ и по формуле (16)

$$w = A \frac{z - z_0}{1 - z\bar{z}_0}. \quad (20)$$

Покажем, что $|A| = 1$. По условию точки единичной окружности переходят в точки единичной окружности, т. е. $|w| = 1$ при $z = e^{i\varphi}$. Поэтому из (20) находим

$$1 = \left| A \frac{e^{i\varphi} - z_0}{1 - e^{i\varphi}\bar{z}_0} \right| = |A| \frac{|e^{i\varphi} - z_0|}{|e^{i\varphi}| |e^{-i\varphi} - \bar{z}_0|} = |A|,$$

$$\text{так как } |e^{i\varphi} - z_0| = |\overline{e^{i\varphi} - z_0}| = |e^{-i\varphi} - \bar{z}_0|.$$

Следовательно, $A = e^{i\alpha}$ и из (20) получаем формулу (19).

Найдем угол поворота кривых в точке z_0 при отображении (19). Из формулы (19) следует, что

$$w'(z_0) = \frac{1}{1 - |z_0|^2} e^{i\alpha}.$$

Так как $|z_0| < 1$, то $\arg w'(z_0) = \alpha$, т. е. при отображении (19) угол поворота кривых в точке z_0 равен α (рис. 85).

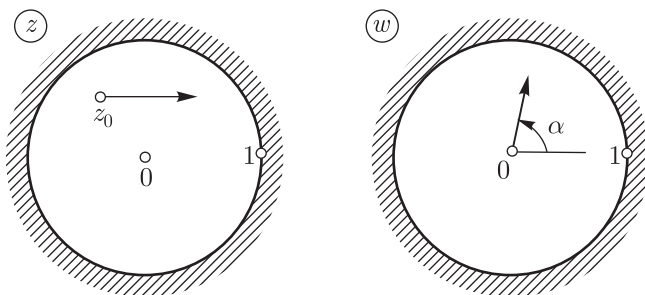


Рис. 85

Пример 4. Дробно-линейное отображение полуплоскости $\operatorname{Im} z > 0$ на полуплоскость $\operatorname{Im} w > 0$ имеет вид

$$w = \frac{az + b}{cz + d}, \quad (21)$$

где a, b, c, d — действительные числа и $ad - bc > 0$.

Пусть дробно-линейная функция $w = w(z)$ отображает полуплоскость $\operatorname{Im} z > 0$ на полуплоскость $\operatorname{Im} w > 0$. Рассмотрим три различные точки z_1, z_2, z_3 границы области $\operatorname{Im} z > 0$, т. е. z_k — различные действительные числа. Образы этих точек являются граничными точками области $\operatorname{Im} w > 0$, т. е. $w_k = w(z_k)$ — действительные числа. Тогда функция $w = w(z)$ определяется формулой (15), откуда получаем формулу (21), где a, b, c, d — действительные числа.

Покажем, что $ad - bc > 0$. По принципу соответствия границ (§ 30, теорема 1) конформное отображение $w = w(z)$ переводит действительную ось $\operatorname{Im} z = 0$ в действительную ось $\operatorname{Im} w = 0$ с сохранением ориентации. Следовательно, $\arg w'(x) = 0$ при действительных $z = x$, т. е.

$$w'(x) = \frac{ad - bc}{(cx + d)^2} > 0,$$

откуда $ad - bc > 0$.

Пример 5. Конформное отображение $w = w(z)$ круга $|z| < 1$ на круг $|w| < 1$, удовлетворяющее условиям $w(z_0) = w_0$, $\arg w'(z_0) = \alpha$,

определяется формулой

$$\frac{w - w_0}{1 - \overline{w} \overline{w}_0} = \frac{z - z_0}{1 - \overline{z} \overline{z}_0} e^{i\alpha}. \quad (22)$$

Функция

$$\zeta = g(z) = \frac{z - z_0}{1 - \overline{z} \overline{z}_0} e^{i\alpha}$$

отображает круг $|z| < 1$ на круг $|\zeta| < 1$ так, что $g(z_0) = 0$ и $\arg g'(z_0) = \alpha$ (пример 3). Функция

$$\zeta = h(w) = \frac{w - w_0}{1 - \overline{w} \overline{w}_0}$$

отображает круг $|w| < 1$ на тот же круг $|\zeta| < 1$ так, что $h(w_0) = 0$ и $\arg h'(w_0) = 0$ (пример 3). Следовательно, функция $w = w(z)$, определяемая формулой (22), отображает круг $|z| < 1$ на круг $|w| < 1$ так, что $w(z_0) = w_0$ и $\arg w'(z_0) = \alpha$.

Пример 6. Конформное отображение $w = w(z)$ полуплоскости $\operatorname{Im} z > 0$ на полуплоскость $\operatorname{Im} w > 0$, удовлетворяющее условиям $w(z_0) = w_0$, $\arg w'(z_0) = \alpha$, определяется формулой

$$\frac{w - w_0}{w - \overline{w}_0} = \frac{z - z_0}{z - \overline{z}_0} e^{i\alpha}.$$

Доказательство этого утверждения аналогично доказательству формулы (22).

§ 32. Конформные отображения элементарными функциями

1. Функция $w = z^2$

Однолистность. Функция $w = w(z) = z^2$ однолистка в каждой конечной точке $z \neq 0$, так как в этих точках $w'(z) = 2z \neq 0$; не однолистка в точке $z = 0$, так как $w'(0) = 0$; не однолистка в точке $z = \infty$, так как $z = \infty$ — полюс функции $w = z^2$ второго порядка.

Выясним, в каких областях эта функция однолистка, используя определение однолистности. Пусть $z_1 \neq z_2$ и $z_1^2 = z_2^2$. Тогда $z_1 = -z_2$, т. е. точки z_1, z_2 симметричны относительно точки $z = 0$. Таким образом, функция $w = z^2$ является однолистной в области, если эта область не содержит ни одной пары точек, симметричных относительно точки $z = 0$. Например, функция $w = z^2$ однолистка в любой полуплоскости, границей которой является прямая, проходящая через точку $z = 0$ (а также в любой части такой полуплоскости).

Рассмотрим отображение координатной сетки функцией $w = z^2$ для случаев полярной и декартовой систем координат.

Образы лучей $\arg z = \alpha$ и окружностей $|z| = \rho$. Равенство $w = z^2$ означает, что $|w| = |z|^2$, $\arg w = 2 \arg z$. Следовательно, отображение $w = z^2$ переводит:

- 1) луч $\arg z = \alpha$ в луч $\arg w = 2\alpha$ взаимно однозначно;
- 2) окружность $|z| = \rho$ в окружность $|w| = \rho^2$, проходящую дважды;
- 3) дугу окружности $|z| = \rho$, $\alpha \leq \arg z \leq \beta$, где $\beta - \alpha < \pi$, в дугу окружности $|w| = \rho^2$, $2\alpha \leq \arg w \leq 2\beta$, взаимно однозначно.

Пример 1. Найдем образ верхней полуплоскости $\operatorname{Im} z > 0$ при отображении $w = z^2$.

Отметим, что это отображение является конформным, так как функция $w = z^2$ регулярна и однолистка в полуплоскости $\operatorname{Im} z > 0$.

Будем вращать луч $\arg z = \alpha$, непрерывно увеличивая α , $0 < \alpha < \pi$. Тогда этот луч опишет всю полуплоскость $\operatorname{Im} z > 0$ (рис. 86). При этом луч $\arg w = 2\alpha$ опишет всю плоскость w за исключением луча $\arg w = 0$, т. е. луча $[0; +\infty)$ (рис. 86).

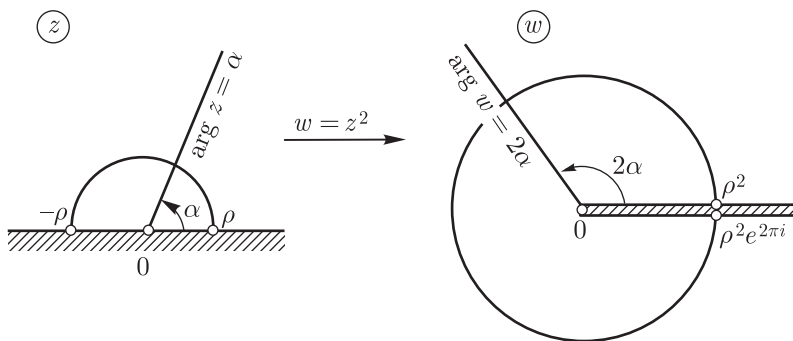


Рис. 86

Таким образом, функция $w = z^2$ конформно отображает полуплоскость $\operatorname{Im} z > 0$ на всю плоскость w с разрезом по лучу $[0, +\infty)$ (рис. 86).

При этом луч $[0, +\infty)$ плоскости z переходит в верхний берег разреза, а луч $(-\infty, 0]$ — в нижний берег разреза плоскости w по лучу $[0, +\infty)$. Точка $z = \rho$ ($\rho > 0$) переходит в точку $w = \rho^2$ верхнего берега разреза, а точка $z = -\rho$ переходит в точку $w = \rho^2 e^{2\pi i} = \rho^2$ нижнего берега разреза (рис. 86).

Отметим также, что функция $w = z^2$ конформно отображает кольцевой сектор S : $\rho_1 < |z| < \rho_2$, $0 < \arg z < \alpha \leq \pi$, где

$0 \leq \rho_1 < \rho_2 \leq \infty$, на кольцевой сектор \tilde{S} : $\rho_1^2 < |w| < \rho_2^2$, $0 < \arg w < 2\alpha$ (рис. 87).

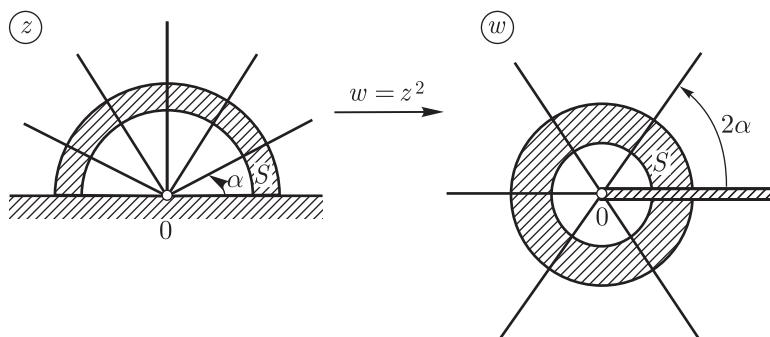


Рис. 87

Пример 2. Как и в примере 1, получается, что функция $w = z^2$ конформно отображает:

1) нижнюю полуплоскость $\operatorname{Im} z < 0$ на плоскость w с разрезом по лучу $[0, +\infty)$ (рис. 88);

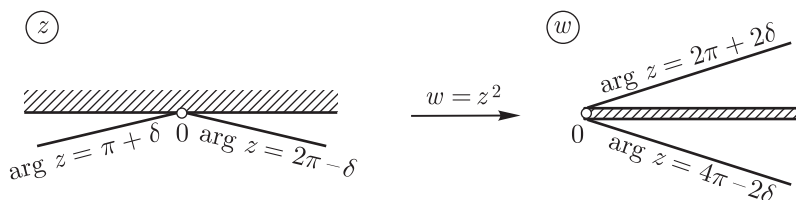


Рис. 88

2) правую полуплоскость $\operatorname{Re} z > 0$ на плоскость w с разрезом по лучу $(-\infty, 0]$ (рис. 89);

3) левую полуплоскость $\operatorname{Re} z < 0$ также на плоскость w с разрезом по лучу $(-\infty, 0]$ (рис. 89).

Замечание 1. При отображении $w = z^2$ углы между кривыми в точке $z = 0$ увеличиваются в два раза. Можно доказать, что вообще если функция $w = f(z)$ регулярна в точке $z_0 \neq \infty$, $f'(z_0) = 0$, $f''(z_0) \neq 0$, то при отображении $w = f(z)$ углы между кривыми в точке z_0 увеличиваются в два раза.

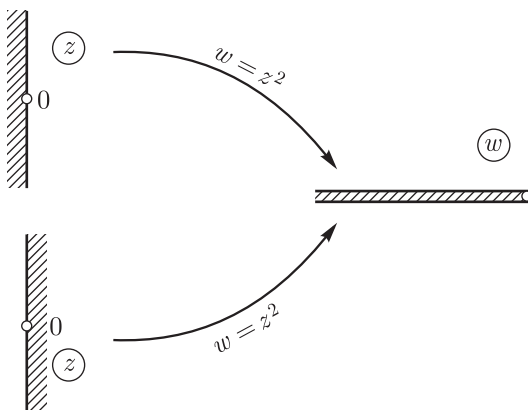


Рис. 89

Образы прямых $\operatorname{Re} z = C$ и $\operatorname{Im} z = C$. Полагая, как обычно, $z = x + iy$, $w = u + iv$, получаем

$$w = u + iv = z^2 = (x + iy)^2 = x^2 - y^2 + 2xyi, \quad \text{т. е.}$$

$$u = x^2 - y^2, \quad v = 2xy.$$

Отсюда следует, что отображение $w = z^2$ взаимно однозначно переводит:

- 1) прямую $\operatorname{Re} z = x = C \neq 0$ в параболу

$$u = C^2 - y^2, \quad v = 2Cy, \quad -\infty < y < \infty, \quad (1)$$

уравнение которой можно также записать (исключая y из уравнений (1)) в виде

$$v^2 = 2p \left(\frac{p}{2} - u \right), \quad (2)$$

где $p = 2C^2$;

- 2) прямую $\operatorname{Im} z = y = C \neq 0$ в параболу

$$u = x^2 - C^2, \quad v = 2xC, \quad -\infty < x < \infty, \quad (3)$$

уравнение которой можно также записать в виде

$$v^2 = 2p \left(u + \frac{p}{2} \right), \quad (4)$$

где $p = 2C^2$.

Пример 3. Функция $w = z^2$ конформно отображает прямоугольник со сторонами, параллельными действительной и мнимой осям, лежащий в верхней полуплоскости $\operatorname{Im} z > 0$, на криволинейный четырехугольник, ограниченный дугами парабол (2), (4) (рис. 90).

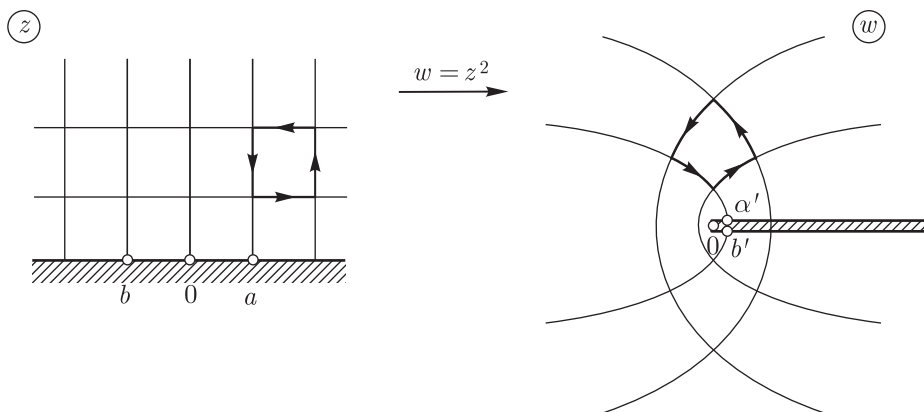


Рис. 90

В частности функция $w = z^2$ конформно отображает полуплоскость $\operatorname{Im} z > C > 0$ (и полуплоскость $\operatorname{Im} z < -C$) на *внешность параболы* (4), т. е. на область $v^2 > 2p \left(u + \frac{p}{2}\right)$, где $p = 2C^2$ (рис. 91).

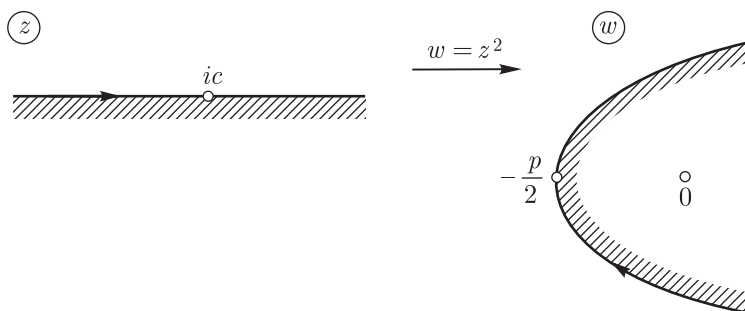


Рис. 91

Отметим, что точка $w = 0$ является фокусом всех парабол (2), (4) и любая парабола (2) пересекается с любой параболой (4) под прямым углом по свойству сохранения углов при конформном отображении.

Если $C = 0$, то парабола (1) вырождается в луч $(-\infty, 0]$, проходимый дважды (пример 2), а парабола (3) — в луч $[0, +\infty)$, проходимый дважды (пример 1).

2. Функция $w = \sqrt{z}$

Напомним, что аналитическая функция $w = \sqrt{z}$ распадается на две регулярные ветви в плоскости z с разрезом по кривой, соединяющей точки $z = 0$ и $z = \infty$. Отметим, что если в области D плоскости z можно выделить регулярную ветвь $w = f(z)$ функции $w = \sqrt{z}$, то функция $f(z)$ однолистна в области D , так как обратная к ней функция $z = w^2$ однозначна. Поэтому отображение области D функцией $w = f(z)$ является конформным и обратным к соответствующему отображению функцией $w = z^2$ (см. § 13).

Пример 4. Пусть D — плоскость с разрезом по лучу $[0, +\infty)$. В этой области функция \sqrt{z} распадается на две регулярные ветви $f_1(z)$ и $f_2(z) = -f_1(z)$, где $f_1(-1) = i$, $f_2(-1) = -i$. Из примеров 1, 2 (рис. 86, 87) получаем, что функция $w = f_1(z)$ конформно отображает область D на верхнюю полуплоскость $\operatorname{Im} z > 0$, а функция $w = f_2(z)$ — на нижнюю полуплоскость $\operatorname{Im} z < 0$ (рис. 92).

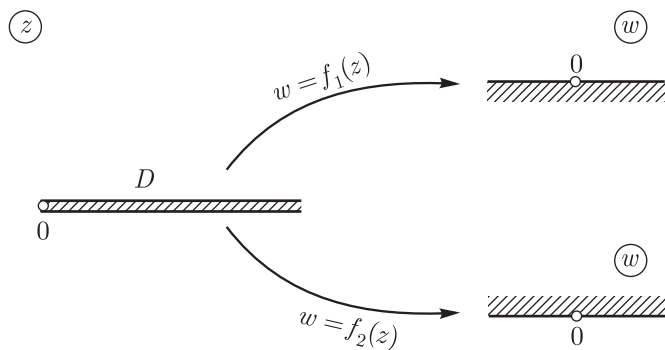


Рис. 92

В таких случаях обычно выбирают только одну из регулярных ветвей многозначной функции и эту ветвь обозначают так же, как и саму многозначную функцию. При этом с помощью рисунка (или его описания) можно установить, какой является выбранная регулярная ветвь.

Так, вместо того, чтобы подробно описывать ситуацию примера 4, говорят коротко: «Функция $w = \sqrt{z}$ конформно отображает область D на верхнюю полуплоскость $\operatorname{Im} z > 0$ (рис. 93)». Эта фраза и рис. 93 означают, что в области D можно выделить такую регулярную ветвь $w = f(z)$ функции $w = \sqrt{z}$, которая осу-

ществляет данное отображение; функция $f(z)$ удовлетворяет условию $f(-1) = i$.

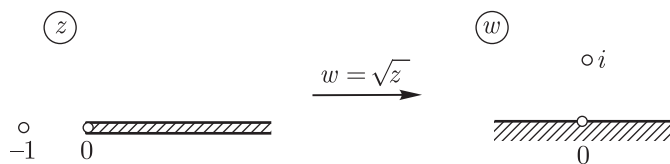


Рис. 93

Пример 5. Функция $w = \sqrt{z}$ такая, что $w(1) = 1$, конформно отображает:

1) плоскость z с разрезом по лучу $(-\infty, 0]$ на правую полуплоскость $\operatorname{Re} z > 0$ (рис. 94) — это следует из примера 2, рис. 89;

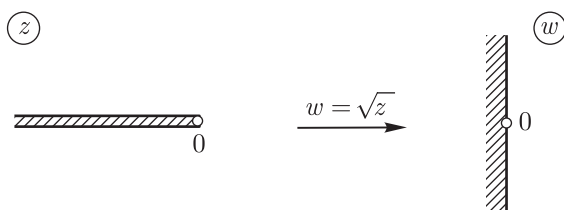


Рис. 94

2) внешность параболы $y^2 = 2p \left(x + \frac{p}{2}\right)$, где $p > 0$, т. е. область $y^2 > 2p \left(x + \frac{p}{2}\right)$, на полуплоскость $\operatorname{Im} w > \sqrt{\frac{p}{2}}$ (рис. 95) — это следует из примера 3, рис. 91.

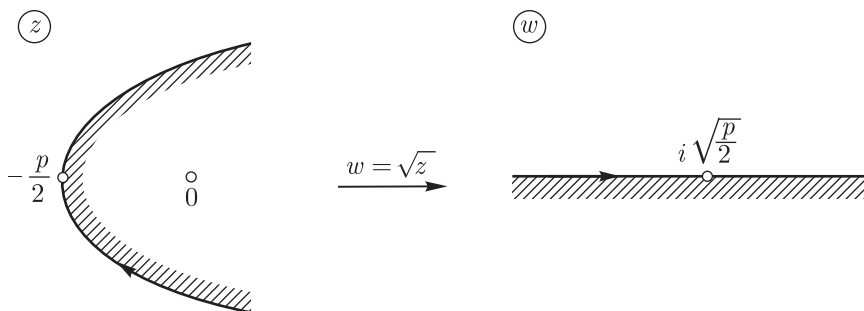


Рис. 95

Пример 6. Пусть D — полуплоскость $\operatorname{Im} z > 0$ с разрезом по отрезку $[0, ih]$ ($h > 0$) (рис. 96). Найдём конформное отображение области D на верхнюю полуплоскость $\operatorname{Im} w > 0$.

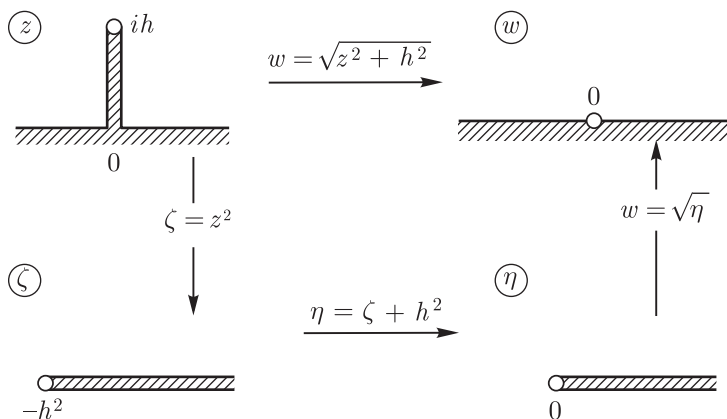


Рис. 96

1) Функция $\zeta = z^2$ конформно отображает область D на область D_1 — плоскость ζ с разрезом по лучу $[-h^2, +\infty)$ (рис. 96).

2) Функция $\eta = \zeta + h^2$ (сдвиг) конформно отображает область D_1 на область D_2 — плоскость η с разрезом по лучу $[0, +\infty)$ (рис. 96).

3) Функция $w = \sqrt{\eta}$ такая, что $w(-1) = i$, конформно отображает область D на полуплоскость $\operatorname{Im} w > 0$.

Следовательно, суперпозиция отображений 1)–3), т. е. функция $w = \sqrt{z^2 + h^2}$ конформно отображает область D на полуплоскость $\operatorname{Im} w > 0$ (рис. 96).

3. Функция $w = z^\alpha$

Здесь и в дальнейшем $\alpha > 0$,

$$z^\alpha = |z|^\alpha e^{i\alpha \arg z}, \quad 0 < \arg z < 2\pi.$$

Функция $w = z^\alpha$ конформно отображает сектор $0 < \arg z < \beta$, где $\beta \leq 2\pi/\alpha$, на сектор $0 < \arg w < \alpha\beta$ (рис. 97).

В частности, функция $w = z^{\frac{\pi}{\beta}}$ конформно отображает сектор $0 < \arg z < \beta$ на верхнюю полуплоскость $\operatorname{Im} w > 0$.

Пример 7. Рассмотрим область D , ограниченную двумя дугами окружностей, пересекающихся в точках a и b под углом α (рис. 98). Эта область называется *луночкой*. Покажем, что луночку D можно

конформно отобразить на верхнюю полуплоскость с помощью дробно-линейной и степенной функций.

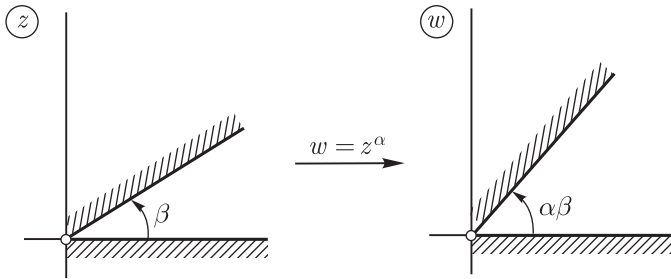


Рис. 97

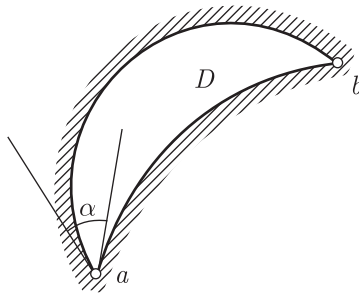


Рис. 98

Применим дробно-линейное отображение $\zeta = \frac{z-a}{z-b}$, при котором $\zeta(a) = 0$, $\zeta(b) = \infty$. Это отображение переводит дуги, ограничивающие D , в лучи, пересекающиеся в точке $\zeta = 0$ под углом α . Следовательно, образом луночки D является угол $\beta < \arg \zeta < \beta + \alpha$, где β — некоторое число.

Этот угол поворотом $\eta = \zeta e^{-i\beta}$ отображается на угол $0 < \arg \eta < \alpha$, который функция $w = \eta^{\frac{\pi}{\alpha}}$ отображает на полуплоскость $\operatorname{Im} w > 0$. Таким образом, функция

$$w = \left(\frac{z-a}{z-b} e^{-i\beta} \right)^{\pi/\alpha}$$

конформно отображает луночку D на верхнюю полуплоскость.

Пример 8. Конформные отображения областей, указанных на рис. 99, на верхнюю полуплоскость осуществляются следующими

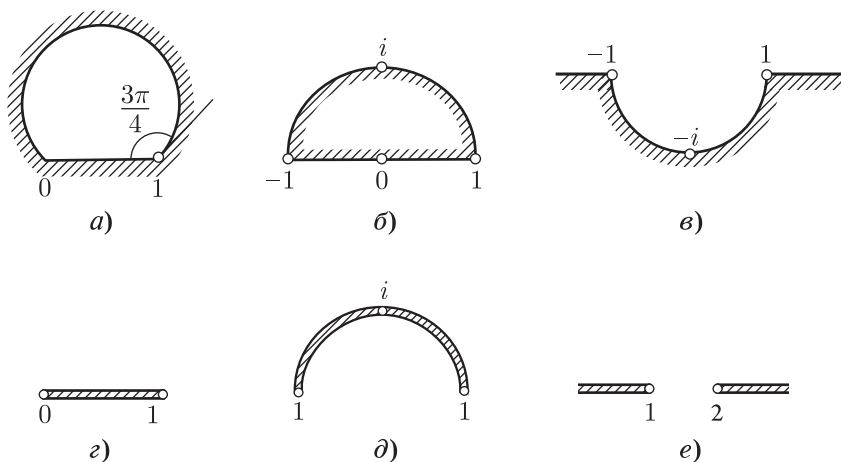


Рис. 99

функциями:

$$\begin{aligned} \text{а) } w &= \left(\frac{z}{1-z} \right)^{4/3}; & \text{б) } w &= \left(\frac{1-z}{1+z} \right)^{2/3}; & \text{в) } w &= \left(\frac{z-1}{1+z} \right)^{2/3}; \\ \text{г) } w &= \sqrt{\frac{z}{1-z}}; & \text{д) } w &= \sqrt{i \frac{1+z}{z-1}}; & \text{е) } w &= \sqrt{\frac{z-1}{z-2}}. \end{aligned}$$

4. Функция e^z

Однолистность. Функция $w = e^z$ однолистка в каждой точке $z \neq \infty$, так как $(e^z)' = e^z \neq 0$; не однолистка в точке $z = \infty$, так как $z = \infty$ — существенно особая точка функции $w = e^z$.

Выясним, в каких областях эта функция однолистка. Пусть $z_1 \neq z_2$ и $e^{z_1} = e^{z_2}$. Тогда

$$z_1 - z_2 = 2\pi ki, \quad k = \pm 1, \pm 2, \dots \quad (5)$$

Таким образом, функция $w = e^z$ является однолистной в области, если эта область не содержит ни одной пары точек, связанных соотношением (5). Например, функция $w = e^z$ однолистка в любой горизонтальной полосе шириной 2π (§ 13), т. е. в полосе $h < \operatorname{Im} z < h + 2\pi$ (а также в любой части такой полосы).

Образы прямых $\operatorname{Re} z = c$, $\operatorname{Im} z = c$. Равенство $w = e^z = e^{x+iy}$ означает, что $|w| = e^x$, $\arg w = y$. Следовательно, отображение $w = e^z$ взаимно однозначно переводит:

- 1) отрезок $\operatorname{Re} z = a$, $0 \leq \operatorname{Im} z \leq 2\pi$ в окружность $|w| = e^a$, $a \leq \arg w \leq b$;
- 2) прямую $\operatorname{Im} z = c$ в луч $\arg w = c$.

Пример 9. Из приведенных свойств получается, что функция $w = e^z$ конформно отображает прямоугольник $c_1 < \operatorname{Re} z < c_2$, $a < \operatorname{Im} z < b$, где $-\infty \leq c_1 < c_2 \leq +\infty$, $b - a \leq 2\pi$, на кольцевой сектор $e^{c_1} < |w| < e^{c_2}$, $a < \arg w < b$.

Частным случаем такого «прямоугольника» является полоса $0 < \operatorname{Im} z < 2\pi$ (рис. 100).

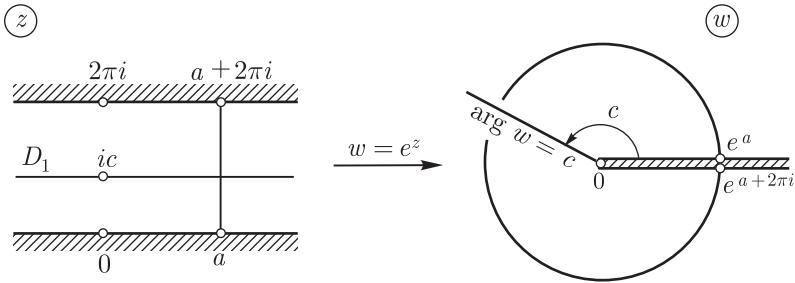


Рис. 100

Пример 10. Найдем образ полосы $0 < \operatorname{Im} z < 2\pi$ при отображении $w = e^z$.

Отметим, что это отображение является конформным, так как функция $w = e^z$ регулярна и однолистка в полосе $0 < \operatorname{Im} z < 2\pi$.

Будем двигать прямую $z = x + ic$ параллельно действительной оси, непрерывно увеличивая c , $0 < c < 2\pi$. Тогда эта прямая опишет всю полосу $0 < \operatorname{Im} z < 2\pi$ (рис. 100). При этом луч $\arg w = c$ опишет всю комплексную плоскость w , за исключением луча $[0, +\infty)$ (рис. 100).

Таким образом, функция $w = e^z$ отображает конформно полосу $0 < \operatorname{Im} z < 2\pi$ на всю плоскость w с разрезом по лучу $[0, +\infty)$ (рис. 100).

При этом:

прямая $\operatorname{Im} z = 0$ переходит в верхний берег разреза, а прямая $\operatorname{Im} z = 2\pi$ — в нижний берег разреза по лучу $[0, +\infty)$;

точка $z = a$ действительной оси переходит в точку e^a верхнего берега разреза, а точка $a + 2\pi i$ — в точку $e^{a+2\pi i} = e^a$ нижнего берега разреза;

интервал $\operatorname{Re} z = a$, $0 < \operatorname{Im} z < 2\pi$ переходит в окружность $|w| = e^a$ с выколотой точкой $w = e^a$ (рис. 100).

Другие частные случаи конформных отображений «прямоугольников» функцией $w = e^z$ показаны на рис. 101.

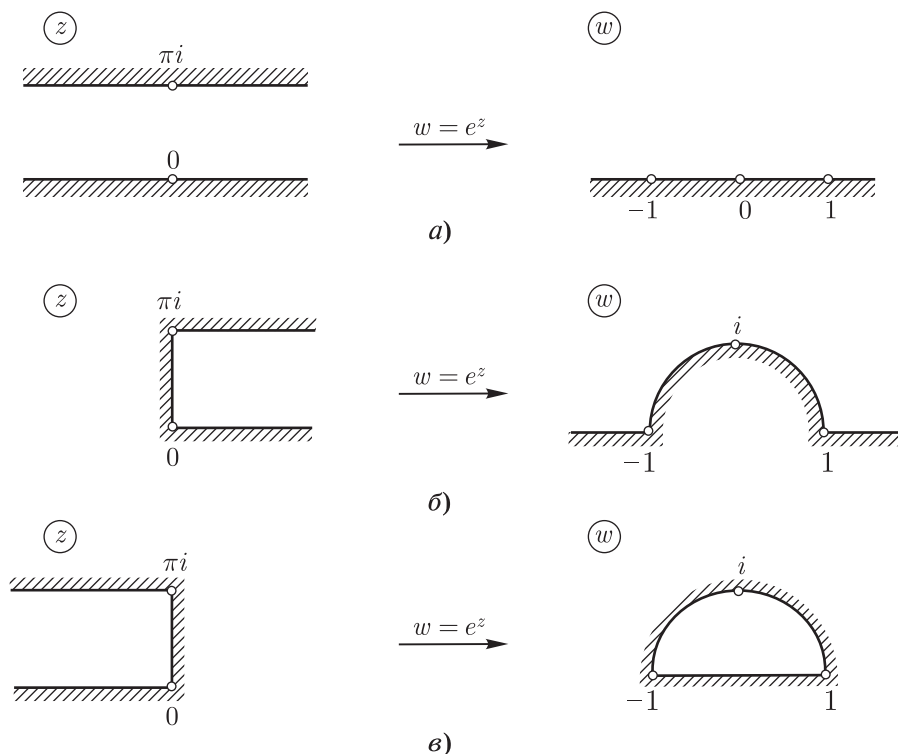


Рис. 101

5. Функция $w = \text{Ln } z$

Напомним, что аналитическая функция $w = \text{Ln } z$ распадается на регулярные ветви в плоскости z с разрезом по кривой, соединяющей точки $z = 0$ и $z = \infty$. Отметим, что если в области D можно выделить регулярную ветвь $w = f(z)$ функции $w = \text{Ln } z$, то функция $f(z)$ однолистка в области D , так как обратная к функции $w = f(z)$ функция $z = e^w$ однозначна (в любой области плоскости w). Поэтому отображение области D функцией $w = f(z)$ является конформным и обратным к соответствующему отображению функцией $w = e^z$.

Пример 11. Из примера 10 (рис. 100) следует, что функция $w = \text{Ln } z$ конформно отображает плоскость z с разрезом по лучу $[0, +\infty)$ на полосу $0 < \text{Im } w < 2\pi$ (рис. 102). Подробнее это означает, что в плоскости z с разрезом по лучу $[0, +\infty)$ можно выделить регулярную ветвь $w = f(z)$ функции $\text{Ln } z$, которая конформно отображает эту область на полосу $0 < \text{Im } w < 2\pi$. Рисунок 102 по-

казывает, что эта регулярная ветвь такова, что, $f(x + i0) = \ln x$, $f(x - i0) = \ln x + 2\pi i$ (при $x > 0$), $f(-1) = \pi i$.

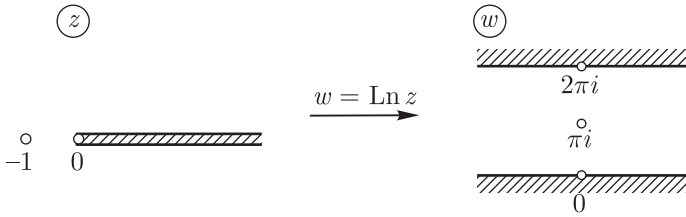


Рис. 102

Пример 12. Из рис. 101, б получается, что функция $w = \operatorname{Ln} z$ конформно отображает область $\operatorname{Im} z > 0$, $|z| > 1$ на полуполосу $0 < \operatorname{Im} w < \pi$, $\operatorname{Re} w > 0$ (рис. 103).

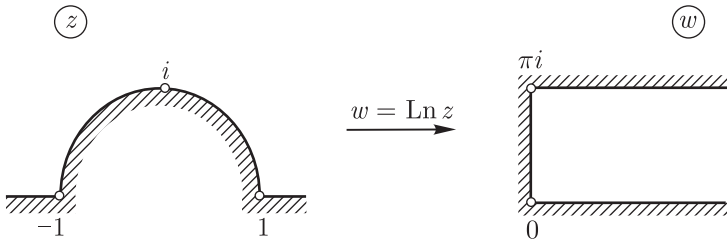


Рис. 103

6. Функция Жуковского

Функция

$$w = \frac{1}{2} \left(z + \frac{1}{z} \right) \quad (6)$$

называется *функцией Жуковского*. Эта функция:

1) при действительных значениях $z = x \neq 0$ принимает действительные значения $w(x) = \frac{1}{2} \left(x + \frac{1}{x} \right)$, причем $w(1) = 1$, $w(-1) = -1$, $w(x) > 1$ при $x > 0$, $x \neq 1$, $w(x) < -1$ при $x < 0$, $x \neq -1$;

2) при $z = iy \neq 0$ принимает значения $w(iy) = \frac{i}{2} \left(y - \frac{1}{y} \right)$, в частности, $w(i) = w(-i) = 0$;

3) при $z = e^{i\varphi}$, $0 \leq \varphi \leq 2\pi$, принимает значения $w(e^{i\varphi}) = \cos \varphi$, т. е. точки единичной окружности переходят в точки отрезка $[-1, 1]$ на плоскости w .

Однолистность. Функция Жуковского (6) регулярна в точках $z \neq 0, \infty$, причем $w'(z) = \frac{1}{2}\left(1 - \frac{1}{z^2}\right)$, а в точках $z = 0$ и $z = \infty$ имеет полюсы первого порядка.

Так как $w'(z) \neq 0$ при $z \neq \pm 1$, то *функция Жуковского однолистка в каждой точке расширенной комплексной плоскости, кроме точек $z = \pm 1$, и не однолистка в точках $z = \pm 1$* , так как $w'(\pm 1) = 0$.

Таким образом, при отображении функцией Жуковского (6):

1) углы между кривыми сохраняются в каждой точке $z \neq \pm 1$ расширенной комплексной плоскости z ;

2) в каждой из точек $z = \pm 1$ углы между кривыми удваиваются, так как $w'(\pm 1) = 0$, а $w''(\pm 1) = \frac{1}{z^3}\Big|_{z=\pm 1} = \pm 1 \neq 0$.

Выясним, в каких областях функция Жуковского (6) является однолистной. Пусть $z_1 \neq z_2$ и $\frac{1}{2}\left(z_1 + \frac{1}{z_1}\right) = \frac{1}{2}\left(z_2 + \frac{1}{z_2}\right)$. Тогда $(z_1 - z_2)\left(1 - \frac{1}{z_1 z_2}\right) = 0$, откуда

$$z_1 z_2 = 1. \quad (7)$$

Геометрически равенство (7) означает, что точка $z_2 = \frac{1}{z_1}$ получается из точки z_1 двойной симметрией относительно окружности $|z| = 1$ и относительно прямой $\operatorname{Im} z = 0$ в любом порядке.

Таким образом, *функция Жуковского (6) однолистка в области, если эта область не содержит ни одной пары различных точек, которые получаются одна из другой двойной симметрией: относительно единичной окружности и относительно действительной оси.*

Пример 13. Функция Жуковского $w = \frac{1}{2}\left(z + \frac{1}{z}\right)$ однолистка в следующих областях:

- 1) $|z| > 1$ — внешность единичного круга,
- 2) $|z| < 1$ — единичный круг,
- 3) $\operatorname{Im} z > 0$ — верхняя полуплоскость,
- 4) $\operatorname{Im} z < 0$ — нижняя полуплоскость.

Замечание 2. Пусть \tilde{D} — область, состоящая из точек $1/z$, где $z \in D$. Тогда функция Жуковского однолистка в области D , если области D и \tilde{D} не имеют общих точек. При отображении $w = \frac{1}{2}\left(z + \frac{1}{z}\right)$ образами областей D и \tilde{D} является одна и та же область, так как $w(z) = w(1/z)$.

Образы окружностей и лучей. Найдём образы окружностей $|z| = \rho$ и лучей $\arg z = \alpha$ (полярная координатная сетка) при отображении функцией Жуковского. Полагая в (6) $z = re^{i\varphi}$, $w = u + iv$, получаем $u + iv = \frac{1}{2} \left(re^{i\varphi} + \frac{1}{re^{i\varphi}} \right)$, откуда

$$u = \frac{1}{2} \left(r + \frac{1}{r} \right) \cos \varphi, \quad v = \frac{1}{2} \left(r - \frac{1}{r} \right) \sin \varphi. \quad (8)$$

Рассмотрим окружность

$$z = \rho e^{i\varphi}, \quad 0 \leq \varphi \leq 2\pi \quad (9)$$

($\rho > 0$ — фиксировано). Из (8) следует, что при отображении функцией Жуковского образом окружности (9) является эллипс

$$u = \frac{1}{2} \left(\rho + \frac{1}{\rho} \right) \cos \varphi, \quad v = \frac{1}{2} \left(\rho - \frac{1}{\rho} \right) \sin \varphi, \quad 0 \leq \varphi \leq 2\pi, \quad (10)$$

с полуосями $a_\rho = \frac{1}{2} \left(\rho + \frac{1}{\rho} \right)$, $b_\rho = \frac{1}{2} \left| \rho - \frac{1}{\rho} \right|$ и с фокусами в точках $w = \pm 1$ (так как $a_\rho^2 - b_\rho^2 = 1$). Исключая из уравнений (10) параметр φ , при $\rho \neq 1$ уравнение эллипса можно записать в каноническом виде

$$\frac{u^2}{a_\rho^2} + \frac{v^2}{b_\rho^2} = 1. \quad (11)$$

Отметим, что при замене ρ на $1/\rho$ ($\rho \neq 1$) эллипс остается тем же самым, но его ориентация меняется на противоположную. На рис. 104 показаны окружности $|z| = \rho$, $\rho > 1$, ориентированные по часовой стрелке, и их образы — эллипсы (11); из (10) видно, что эти эллипсы ориентированы также по часовой стрелке. На рис. 105 показаны окружности $|z| = \rho$ при $0 < \rho < 1$ и их образы — эллипсы (11); при этом ориентация меняется на противоположную: окружность $|z| = \rho$, ориентированная против часовой стрелки, переходит в эллипс (11), ориентированный по часовой стрелке.

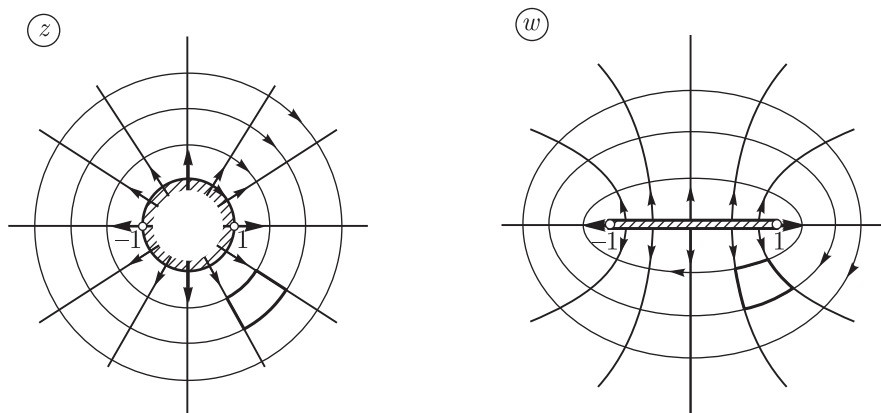


Рис. 104

При $\rho = 1$ эллипс (10) вырождается в отрезок $[-1, 1]$, проходимый дважды, т. е. окружность $|z| = 1$ переходит в отрезок $[-1, 1]$, проходимый дважды (рис. 104, 105).

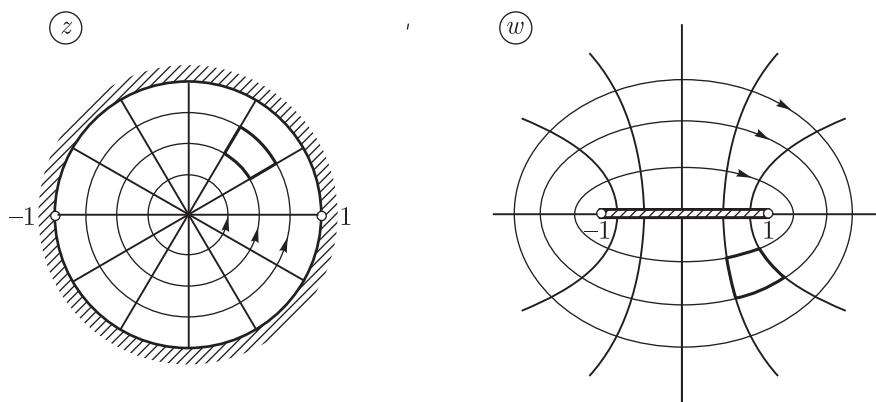


Рис. 105

Рассмотрим луч

$$z = re^{i\alpha}, \quad 0 < r < +\infty \quad (12)$$

(α — фиксировано). При отображении функцией Жуковского образом этого луча (см. (8)) является кривая

$$u = \frac{1}{2} \left(r + \frac{1}{r} \right) \cos \alpha, \quad v = \frac{1}{2} \left(r - \frac{1}{r} \right) \sin \alpha, \quad 0 < r < \infty. \quad (13)$$

Исключая из уравнений (13) параметр r , при $\alpha \neq k\pi/2$ (k — целое), получаем

$$\frac{u^2}{\cos^2 \alpha} - \frac{v^2}{\sin^2 \alpha} = 1. \quad (14)$$

Кривая (14) — гипербола с фокусами в точках $w = \pm 1$ и с асимптотами $v = \pm u \operatorname{tg} \alpha$.

Если $0 < \alpha < \frac{\pi}{2}$, то кривая (13) является правой ветвью гиперболы (14), т. е. луч (12) при $0 < \alpha < \frac{\pi}{2}$ переходит в правую ветвь гиперболы (14) (ориентация показана на рис. 106). При замене в (13) α на $\pi - \alpha$ получается левая ветвь той же гиперболы (14), поэтому луч (12) при $\pi/2 < \alpha < \pi$ переходит в левую ветвь гиперболы (14) (рис. 106). Отметим также, что при замене в (13) α на $-\alpha$ получается та же ветвь гиперболы (14), но ее ориентация меняется на противоположную.

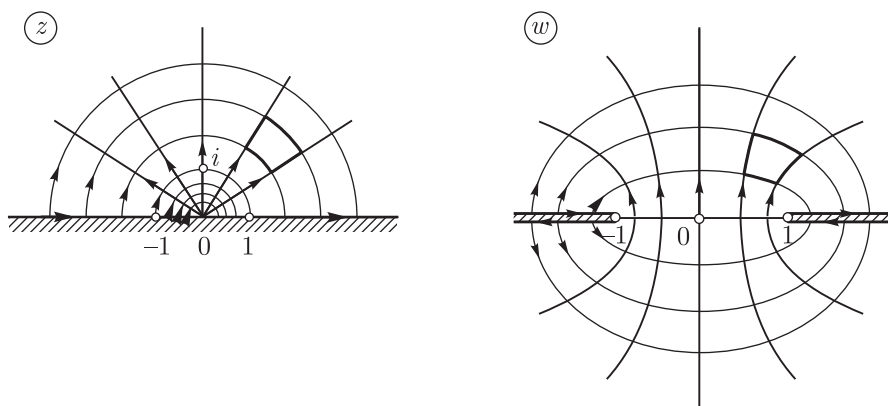


Рис. 106

Рассмотрим лучи (12) при $\alpha = \pi k/2$ (k — целое). Из (13) следует, что луч $\arg z = \frac{\pi}{2}$ переходит в мнимую ось $\operatorname{Re} w = 0$ (рис. 106). Луч $\arg z = \frac{3\pi}{2}$ также переходит в мнимую ось $\operatorname{Re} w = 0$. При $\alpha = 0$ кривая (13) вырождается в луч $[1, +\infty)$, проходимый дважды (сложенный вдвое) (рис. 106), т. е. луч $\arg z = 0$ переходит в луч $[1, +\infty)$, проходимый дважды; луч $[1, +\infty)$ переходит в луч $[1, +\infty)$ и полуинтервал $(0, 1]$ в луч $(+\infty, 1]$ (рис. 106). Аналогично, луч $\arg z = \pi$ переходит в луч $(-\infty, -1]$, проходимый дважды (рис. 106).

Таким образом, функция Жуковского $w = \frac{1}{2}\left(z + \frac{1}{z}\right)$ переводит окружности $|z| = \rho$ в эллипсы (11), а лучи $\arg z = \alpha$ — в ветви гипербол (14); фокусы всех эллипсов (11) и гипербол (14) расположены в точках $w = \pm 1$; любой эллипс (11) пересекается с любой гиперболой (14) под прямым углом.

Конформные отображения областей функцией Жуковского. Покажем на примерах, как с помощью установленных свойств функции Жуковского находятся образы областей при отображении (6).

Пример 14. Пусть $D: |z| > 1$ — внешность единичного круга (рис. 107).

Отображение области D функцией Жуковского $w = \frac{1}{2}\left(z + \frac{1}{z}\right)$ является конформным, так как эта функция регулярна в области D , за исключением одного полюса первого порядка — точки $z = \infty$, и однолистка в этой области.

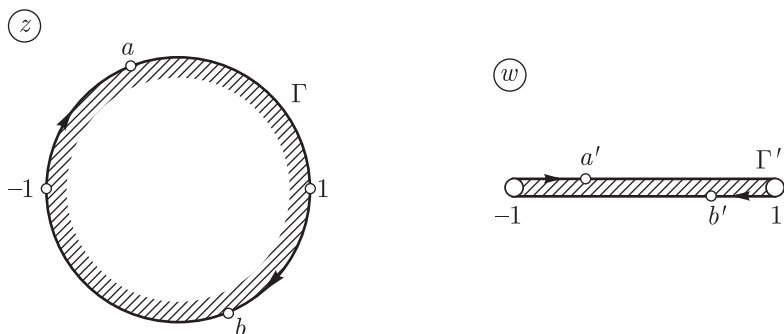


Рис. 107

Найдем образ области D при отображении функцией Жуковского.

Способ 1. Окружности $|z| = \rho$, $\rho > 1$, заполняют всю область D . Образы этих окружностей — эллипсы (11) заполняют всю плоскость w с разрезом по отрезку $[-1; 1]$ (рис. 104). Следовательно, функция Жуковского конформно отображает внешность единичного круга на внешность отрезка $[-1; 1]$ (рис. 107).

Способ 2. Луч

$$z = re^{i\alpha}, \quad 1 < r < +\infty, \quad (15)$$

переходит в кривую

$$u = \frac{1}{2}\left(r + \frac{1}{r}\right) \cos \alpha, \quad v = \frac{1}{2}\left(r - \frac{1}{r}\right) \sin \alpha, \quad 1 < r < +\infty, \quad (16)$$

которая является частью (половиной) ветви гиперболы (13).

При изменении α от 0 до 2π лучи (15) заполняют всю область D , их образы — кривые (16) — заполняют всю область w с разрезом по отрезку $[-1; 1]$ (рис. 104). Следовательно, функция Жуковского конформно отображает внешность единичного круга на внешность отрезка $[-1; 1]$.

Способ 3. Воспользуемся принципом соответствия границ при конформных отображениях. Границей области D является окружность $\Gamma: |z| = 1$, ориентированная по часовой стрелке. Пусть D' — образ области D при отображении функцией Жуковского, Γ' — граница области D' . Тогда при этом отображении кривая Γ переходит в кривую Γ' взаимно однозначно с сохранением направления ориентации.

Найдем уравнение кривой Γ' . Так как $\Gamma: z = e^{-i\varphi}$, $0 \leq \varphi < 2\pi$, то $\Gamma': w = \frac{1}{2}(e^{-i\varphi} + e^{i\varphi}) = \cos \varphi$, $0 \leq \varphi < 2\pi$. Таким образом, окружность Γ переходит в отрезок $[-1; 1]$, проходимый дважды, т. е. в два берега разреза по отрезку $[-1; 1]$. При этом, когда точка b движется по нижней полуокружности $|z| = 1$, $\operatorname{Im} z \leq 0$ от точки $z = 1$ до точки $z = -1$, ее образ — точка b' движется по нижнему берегу разреза от точки $w = 1$ до точки $w = -1$ (рис. 107). При дальнейшем движении точки (точка a) по верхней полуокружности ее образ (точка a') движется по верхнему берегу разреза (рис. 107). Образно говоря, окружность $|z| = 1$ «сжимается» в разрез по отрезку $[-1; 1]$ с сохранением направления ориентации. Следовательно, D' — это вся комплексная плоскость w с разрезом по отрезку $[-1; 1]$, т. е. функция Жуковского конформно отображает внешность единичного круга на внешность отрезка $[-1; 1]$.

Отметим, что именно третьим способом обычно находят образ области при заданном конформном отображении. В частности, таким способом можно было найти образы областей при конформных отображениях, рассмотренных в примерах 2–13.

Пример 15. Как и в примере 14, получаем, что функция Жуковского $w = \frac{1}{2}\left(z + \frac{1}{z}\right)$ конформно отображает единичный круг $|z| < 1$ на внешность отрезка $[-1; 1]$ (рис. 108).

Отметим, что при этом отображении окружность $|z| = 1$, ориентированная против часовой стрелки (граница круга $|z| < 1$), переходит в разрез по отрезку $[-1; 1]$, ориентированный по часовой стрелке. Подробнее: полуокружность $|z| = 1$, $\operatorname{Im} z \geq 0$ переходит

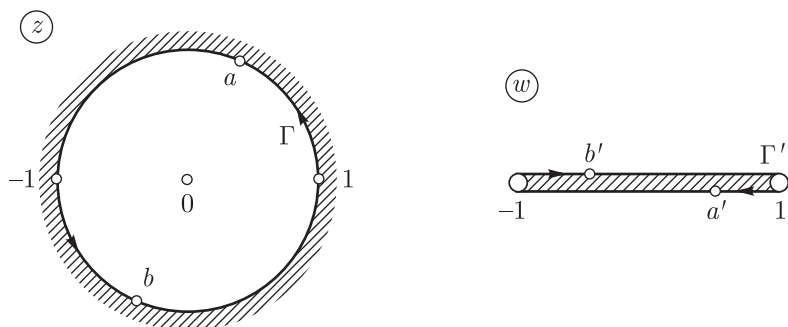


Рис. 108

в нижний берег разреза, а полуокружность $|z| = 1$, $\operatorname{Im} z \leq 0$ — в верхний берег разреза (рис. 108).

Пример 16. Как и в примере 14, получаем, что функция Жуковского $w = \frac{1}{2}\left(z + \frac{1}{z}\right)$ конформно отображает верхнюю полуплоскость $\operatorname{Im} z > 0$ на плоскость w с разрезами по лучам $(-\infty, -1]$ и $[1, +\infty)$ (рис. 109). При этом отображении луч $(-\infty, -1]$ переходит в верхний берег разреза по лучу $(-\infty, -1]$, полуинтервал $[-1, 0]$ — в нижний берег разреза $(-\infty, 1]$, полуинтервал $(0, 1]$ — в нижний берег разреза $[1, +\infty)$, луч $[1, +\infty)$ — в верхний берег разреза $[1, +\infty)$ (рис. 109).



Рис. 109

Пример 17. Из примера 16 следует, что функция Жуковского $w = \frac{1}{2}\left(z + \frac{1}{z}\right)$ конформно отображает нижнюю полуплоскость $\operatorname{Im} z < 0$ на плоскость w с разрезами по лучам $(-\infty, -1]$ и $[1, +\infty)$.

На рис. 105–106 жирными линиями отмечены кольцевые секторы на плоскости z и их образы на плоскости w при отображении функцией Жуковского. Следующие частные случаи таких отображений часто встречаются в практике конформных отображений.

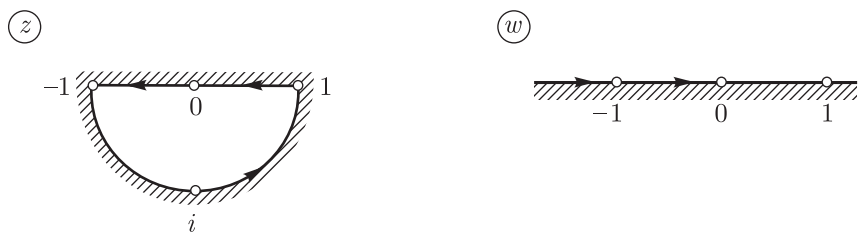
Пример 18. Функция Жуковского $w = \frac{1}{2}\left(z + \frac{1}{z}\right)$ конформно отображает:

1) область $\operatorname{Im} z > 0$, $|z| > 1$ на верхнюю полуплоскость $\operatorname{Im} w > 0$ (рис. 110);

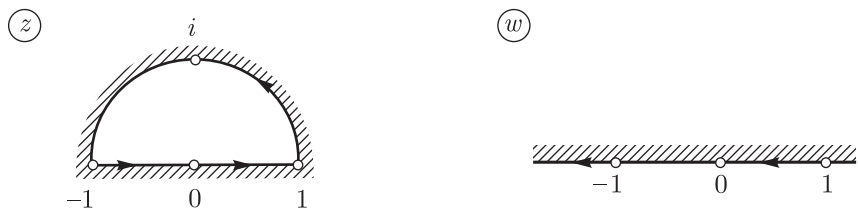


Рис. 110

2) полуокруг $|z| < 1$, $\operatorname{Im} z < 0$ на верхнюю полуплоскость $\operatorname{Im} w > 0$; полуокруг $|z| < 1$, $\operatorname{Im} z > 0$ на нижнюю полуплоскость $\operatorname{Im} w < 0$ (рис. 111);



а)



б)

Рис. 111

3) область $|z| > \rho > 1$ на внешность эллипса (11) (рис. 112); круг $|z| < \rho < 1$ на внешность эллипса (11) (рис. 112);

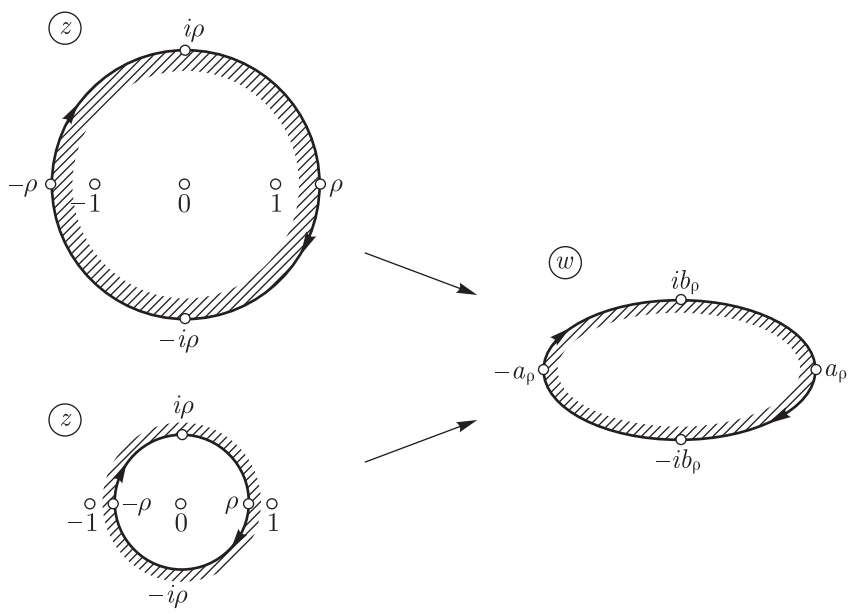


Рис. 112

4) сектор $\alpha < \arg z < \pi - \alpha$, где $0 < \alpha < \pi/2$, на внешность гиперболы (14) (рис. 113).

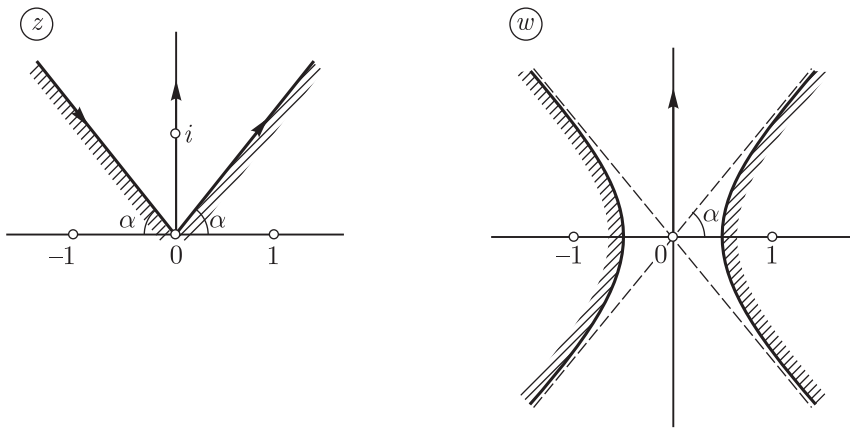


Рис. 113

5) сектор $0 < \arg z < \alpha$, где $0 < \alpha < \pi/2$, на внутренность правой ветви гиперболы (14) с разрезом по лучу $[1, +\infty)$ (рис. 114).

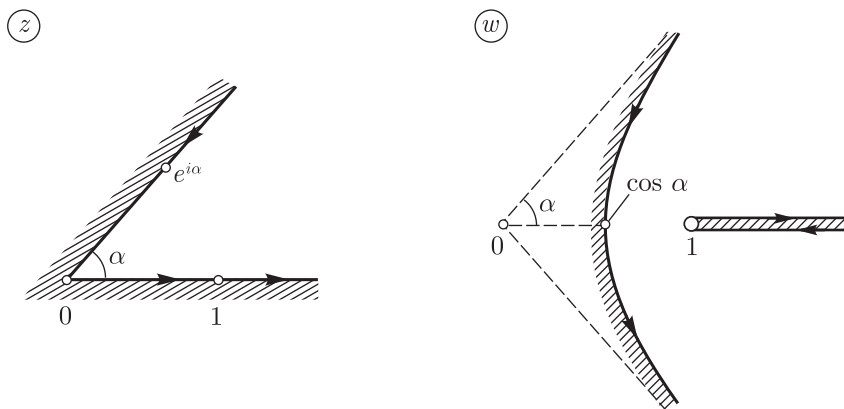


Рис. 114

6) сектор $0 < \arg z < \alpha$, $|z| > 1$, где $0 < \alpha < \pi/2$, на область $\frac{u^2}{\cos^2 \alpha} - \frac{v^2}{\sin^2 \alpha} > 1$, $u > 0$, $v > 0$ ($w = u + iv$) (рис. 115).

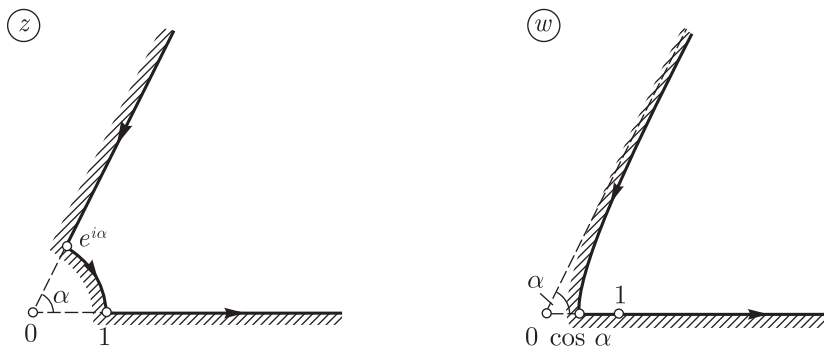


Рис. 115

7. Функция $w = z + \sqrt{z^2 - 1}$, обратная к функции Жуковского

Решая уравнение $w = z + \frac{1}{z}$ относительно z , находим $z = w + \sqrt{w^2 - 1}$, т. е. функция

$$w = z + \sqrt{z^2 - 1} \quad (17)$$

является обратной к функции Жуковского.

Аналитическая функция (17) в плоскости z с разрезом по кривой, соединяющей точки $z = \pm 1$, распадается на две регулярные ветви.

Отметим, что если в области D плоскости z можно выделить регулярную ветвь $w = f(z)$ функции (17), то функция $f(z)$ однолистка в области D , так как обратная к функции $w = f(z)$ функция Жуковского $w = \frac{1}{2}\left(z + \frac{1}{z}\right)$ однозначна (в любой области плоскости w). Поэтому отображение области D функцией $w = f(z)$ является конформным и обратным к соответствующему отображению функцией Жуковского.

Пример 19. Пусть D — плоскость z с разрезом по отрезку $[-1, 1]$ (рис. 116). Из примеров 14, 15 следует, что в области D функция $z + \sqrt{z^2 - 1}$ распадается на две регулярные ветви $f_1(z)$, $f_2(z)$, такие, что функция $w = f_1(z)$ конформно отображает область D на внешность единичного круга, а функция $f_2(z)$ — на круг $|w| < 1$ (рис. 116). Отметим, что $f_1(\infty) = \infty$, $f_2(\infty) = 0$.

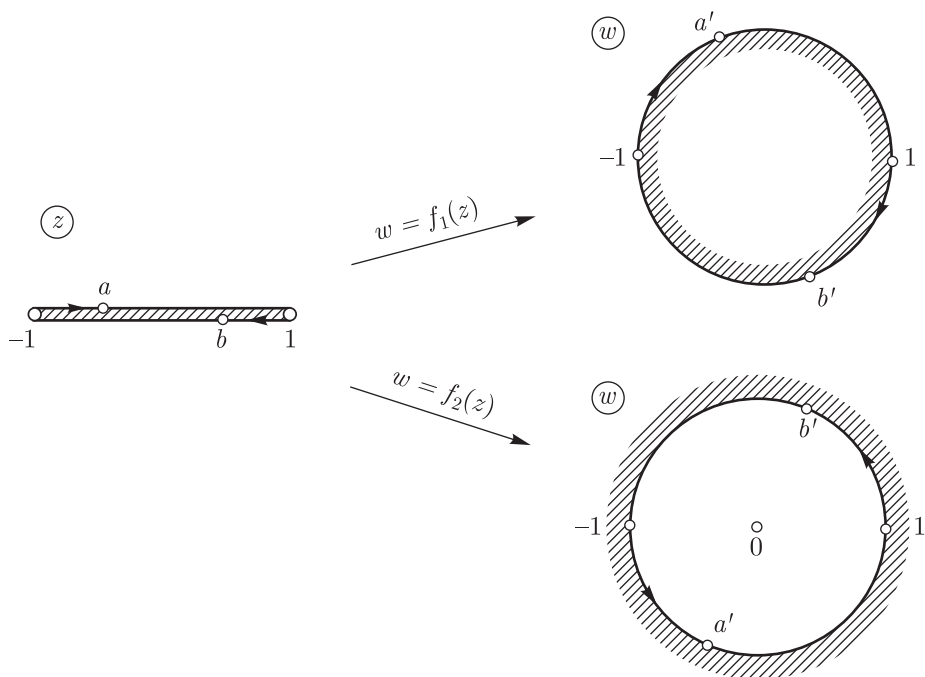


Рис. 116

Пример 20. Пусть D — плоскость z с разрезами по лучам $(-\infty, -1]$ и $[1, +\infty)$ (рис. 117). Эти два луча на расширенной комплексной плоскости (сфере Римана) образуют один «отрезок», соединяющий точки $z = \pm 1$ и проходящий через точку $z = \infty$. Из примеров 16, 17 получается, что в области D функция $z + \sqrt{z^2 - 1}$

распадается на две регулярные ветви $f_1(z)$, $f_2(z)$, где функция $w = f_1(z)$ конформно отображает область D на верхнюю полуплоскость $\text{Im } w > 0$, а функция $w = f_2(z)$ — на нижнюю полуплоскость $\text{Im } w < 0$ (рис. 117). Отметим, что $f_1(0) = i$, $f_2(0) = -i$.

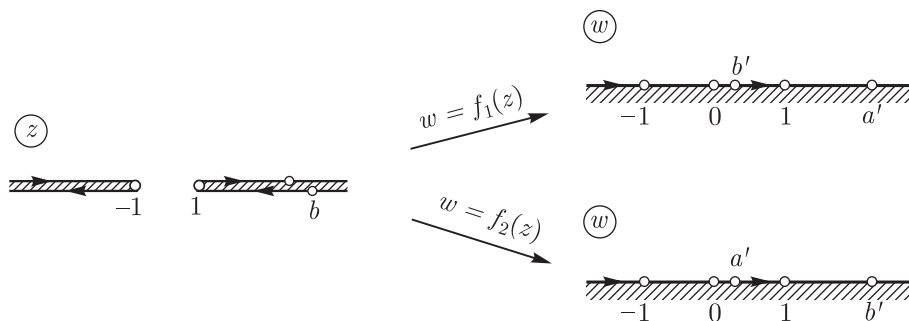


Рис. 117

Пример 21. Пусть D — полуплоскость $\text{Im } z > 0$ (рис. 118). Из примера 18 получается, что в области D функция $z + \sqrt{z^2 - 1}$ распадается на две регулярные ветви $f_1(z)$, $f_2(z)$, где функция $w = f_1(z)$ конформно отображает верхнюю полуплоскость $\text{Im } z > 0$ на область $\text{Im } w > 0$, $|w| > 1$, а функция $w = f_2(z)$ — на полукруг $|w| < 1$, $\text{Im } w < 0$ (рис. 118).

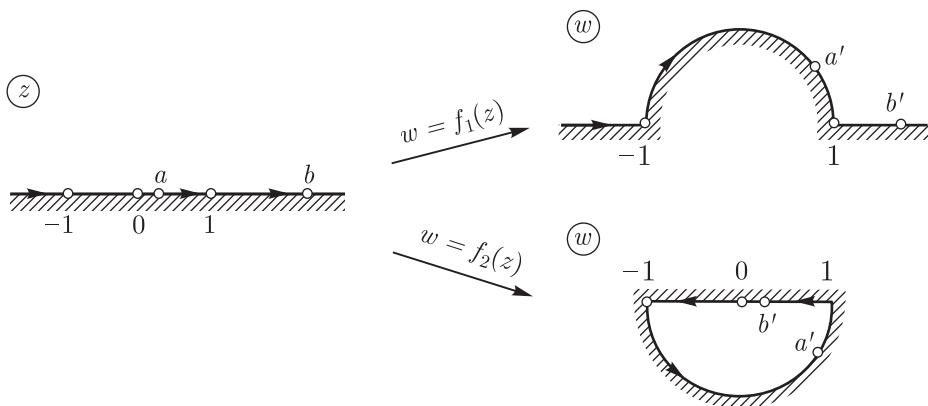


Рис. 118

8. Тригонометрические и гиперболические функции

Рассмотрим примеры конформных отображений тригонометрическими и гиперболическими функциями.

Пример 22. Покажем, что функция $w = \operatorname{ch} z$ конформно отображает полуполосу $0 < \operatorname{Im} z < \pi$, $\operatorname{Re} z > 0$ на верхнюю полуплоскость $\operatorname{Im} w > 0$ (рис. 119).

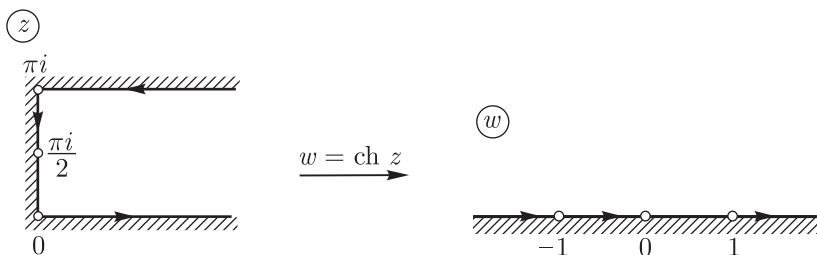


Рис. 119

Функция $w = \operatorname{ch} z = \frac{1}{2}(e^z + e^{-z})$ является суперпозицией двух функций:

$$\zeta = e^z, \quad w = \frac{1}{2} \left(\zeta + \frac{1}{\zeta} \right).$$

В результате последовательного выполнения отображения $\zeta = e^z$ (рис. 101) и затем отображения $w = \frac{1}{2} \left(\zeta + \frac{1}{\zeta} \right)$ (рис. 110) получаем отображение рис. 119.

Пример 23. Покажем, что функция $w = \cos z$ конформно отображает полуполосу $-\pi < \operatorname{Re} z < 0$, $\operatorname{Im} z > 0$ на верхнюю полуплоскость $\operatorname{Im} w > 0$.

Так как $\cos z = \operatorname{ch}(-iz)$, то, выполняя сначала отображение $\zeta = -iz$ (поворот вокруг точки $z = 0$ на угол $-\pi/2$), а затем отображение $w = \operatorname{ch} \zeta$ (рис. 119), получаем отображение рис. 120.

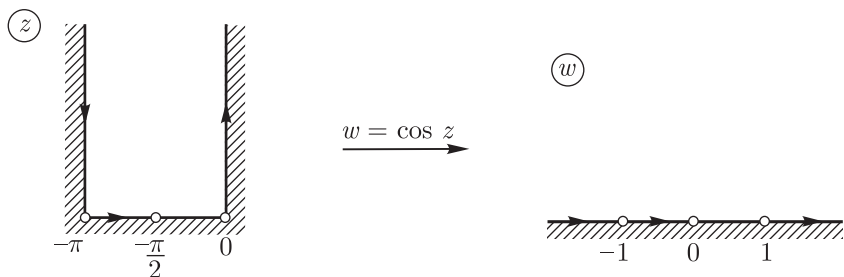


Рис. 120

Пример 24. Покажем, что функция $w = \sin z$ конформно отображает полуполосу $-\pi/2 < \operatorname{Re} z < \pi/2$, $\operatorname{Im} z > 0$ на верхнюю полуплоскость $\operatorname{Im} w > 0$.

Так как $\sin z = \cos\left(\zeta - \frac{\pi}{2}\right)$, то, выполняя сначала отображение $\zeta = z - \frac{\pi}{2}$ (сдвиг), а затем отображение $w = \cos \zeta$, получаем отображение рис. 121.

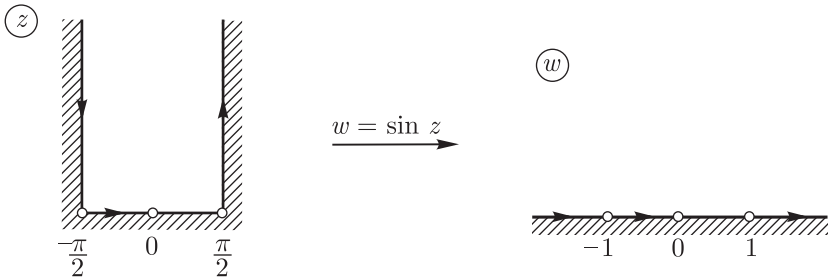


Рис. 121

Пример 25. Покажем, что функция $w = \operatorname{tg} z$ конформно отображает полосу $-\pi/4 < \operatorname{Re} z < \pi/4$ на единичный круг $|w| < 1$.

Так как

$$\operatorname{tg} z = \frac{\sin z}{\cos z} = \frac{1}{i} \frac{e^{iz} - e^{-iz}}{e^{iz} + e^{-iz}} = (-i) \frac{e^{2iz} - 1}{e^{2iz} + 1},$$

то отображение $w = \operatorname{tg} z$ можно рассматривать как суперпозицию трех отображений:

$$\zeta = 2iz, \quad \eta = e^\zeta, \quad w = (-i) \frac{\eta - 1}{\eta + 1}.$$

Выполняя последовательно эти отображения, получаем отображение рис. 122.

Отметим, что отображение $w = \operatorname{tg} z$ удовлетворяет условиям $w(0) = 0$, $\arg w'(0) = 0$ (рис. 122).

Рассмотренные примеры (22–25) показывают, что отображения тригонометрическими и гиперболическими функциями сводятся к последовательному выполнению отображений, изученных ранее.

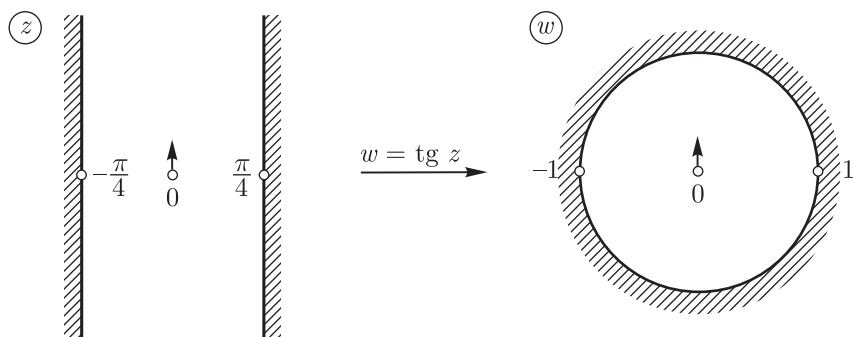


Рис. 122

9. Разные примеры

Конформные отображения, рассмотренные ранее, являются «табличными». С их помощью находятся конформные отображения других областей.

Приведем примеры конформных отображений $w = w(z)$ заданной области D плоскости z на *верхнюю полуплоскость* $\text{Im } w > 0$.

Пример 26. Пусть D — плоскость z с разрезами по лучам $(-\infty, a]$ и $[b, +\infty)$, где $-\infty < a < b < +\infty$ (рис. 123).

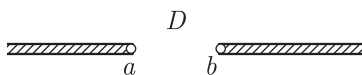


Рис. 123

Способ 1. Как и в примере 8 (рис. 99, е), находим

$$w = \sqrt{\frac{z-a}{z-b}}, \quad \text{где} \quad w = \left(\frac{a+b}{2}\right) = i.$$

Способ 2. Линейная функция $\zeta = \left(z - \frac{a+b}{2}\right) \frac{2}{b-a}$ (сдвиг и растяжение) отображает область D на плоскость ζ с разрезами по лучам $(-\infty, -1]$ и $[1, +\infty)$. Затем, как и в примере 20 (рис. 117), $w = \zeta + \sqrt{\zeta^2 - 1}$, где $w|_{\zeta=0} = i$.

Пример 27. Пусть D — полуплоскость $\text{Im } z > 0$ с разрезом по дуге $|z| = 1$, $0 \leq \arg z \leq \alpha$, где $0 < \alpha < \pi$ (рис. 124).

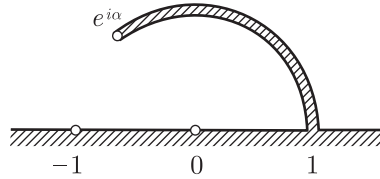


Рис. 124

Функция Жуковского $\zeta = \frac{1}{2}\left(z + \frac{1}{z}\right)$ отображает область D на плоскость ζ с разрезами по лучам $(-\infty, -1]$ и $[\cos \alpha, +\infty)$. Далее см. пример 26.

Пример 28. Пусть D — полоса $0 < \operatorname{Im} z < \pi$ с разрезом по отрезку $[0, id]$, где $0 < d < \pi$ (рис. 125).

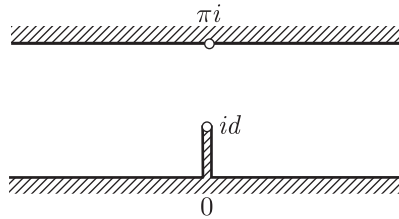


Рис. 125

Функция $\zeta = e^z$ отображает область D на область рис. 124. Далее см. пример 27.

Пример 29. Пусть D — полоса $-\pi < \operatorname{Im} z < \pi$ с разрезом по лучу $[a, +\infty)$, где a — действительное число (рис. 126).

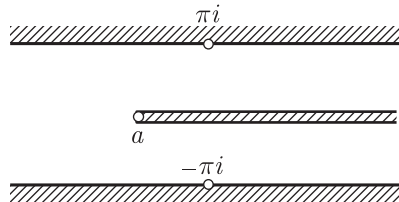


Рис. 126

Функция $\zeta = e^z$ отображает область D на плоскость ζ с разрезами по лучам $(-\infty, 0]$ и $[e^a, +\infty)$. Далее см. пример 26.

Пример 30. Пусть D — полуполоса $0 < \operatorname{Im} z < \pi$, $\operatorname{Re} z > 0$ с разрезом по отрезку $\left[\frac{\pi i}{2}, \alpha + \frac{\pi i}{2}\right]$, где $\alpha > 0$ (рис. 127).

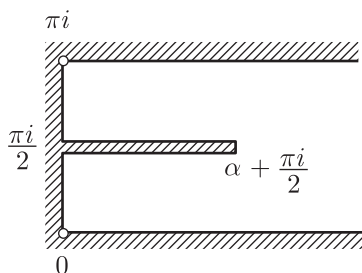


Рис. 127

Функция $\zeta = \operatorname{ch} z$ отображает область D на полуплоскость $\operatorname{Im} \zeta > 0$ с разрезом по отрезку $[0, i \operatorname{sh} \alpha]$. Далее см. пример 6.

Пример 31. Пусть D — область $\operatorname{Re} z > 0$, $|z - 1| > 1$ с разрезом по отрезку $[2, 3]$ (рис. 128).

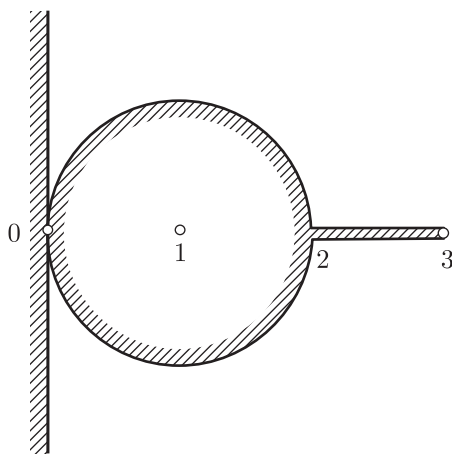


Рис. 128

Функция $\zeta = 1/z$ отображает область D на область D_1 — полосу $0 < \operatorname{Re} \zeta < 1/2$ с разрезом по отрезку $[1/3, 1/2]$. Область D_1 линейной функцией можно отобразить на область рис. 125. Далее см. пример 28.

Пример 32. Пусть D — область $|z - 1| > 1$, $|z - 2| < 2$, $\operatorname{Im} z < 0$ (рис. 129).

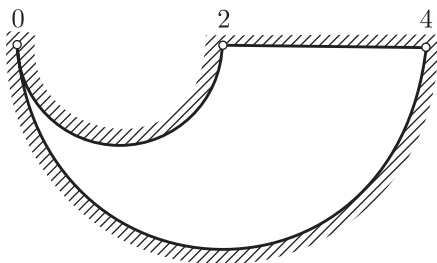


Рис. 129

Функция $\zeta = 1/z$ отображает область D на полуполосу D_1 : $1/4 < \operatorname{Re} \zeta < 1/2$, $\operatorname{Im} \zeta > 0$. Область D_1 линейной функцией можно отобразить на область рис. 119. Далее см. пример 22.

Приведем примеры конформных отображений $w = w(z)$ заданной области D плоскости z на *единичный круг* $|w| < 1$.

Пример 33. Пусть D — плоскость z с разрезом по отрезку $[a, b]$, где $-\infty < a < b < +\infty$ (рис. 130).

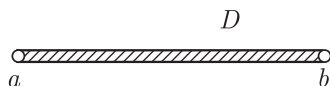


Рис. 130

Линейная функция $\zeta = \left(z - \frac{a+b}{2}\right) \frac{2}{b-a}$ (сдвиг и растяжение) отображает область D на внешность отрезка $[-1, 1]$. Затем, как и в примере 19, $w = \zeta + \sqrt{\zeta^2 - 1}$, где $w(\infty) = 0$.

Пример 34. Пусть D — круг $|z| < 1$ с разрезом по отрезку $[-1, a]$, где $-1 < a < 0$ (рис. 131).

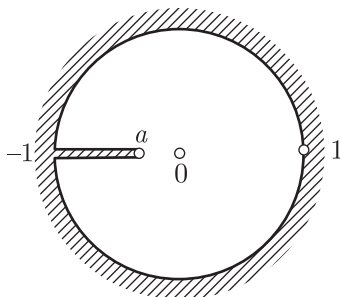


Рис. 131

Функция Жуковского $\zeta = \frac{1}{2}\left(z + \frac{1}{z}\right)$ отображает область D на плоскость ζ с разрезом по отрезку $\left[\frac{1}{2}\left(a + \frac{1}{a}\right); 1\right]$. Далее см. пример 33.

Пример 35. Пусть D — область $|z| > 1$ с разрезами по лучам $[a, -1]$ и $[1, b]$, где $-\infty < a < -1$, $1 < b < +\infty$ (рис. 132).

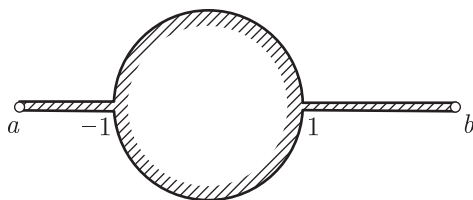


Рис. 132

Функция Жуковского $\zeta = \frac{1}{2}\left(z + \frac{1}{z}\right)$ отображает область D на внешность отрезка $[a', b']$, где $a' = \frac{1}{2}\left(a + \frac{1}{a}\right)$, $b' = \frac{1}{2}\left(b + \frac{1}{b}\right)$. Далее см. пример 33.

Пример 36. Пусть D — круг $|z| < 1$ с разрезом по отрезку $[0, 1]$ (рис. 133).

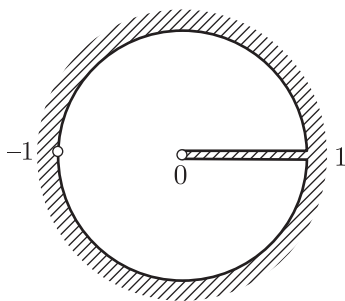


Рис. 133

Функция Жуковского $\zeta = \frac{1}{2}\left(z + \frac{1}{z}\right)$ отображает область D на область D_1 : плоскость ζ с разрезом по лучу $[-1, +\infty)$. Функция $\eta = \sqrt{\zeta + 1}$, где $\eta|_{\zeta=-5} = 2i$, отображает область D_1 на полуплоскость $\text{Im } \eta > 0$. Наконец, функция $w = (\eta - i)/(\eta + i)$ отображает полуплоскость $\text{Im } \eta > 0$ на круг $|w| < 1$.

Разнообразные примеры конформных отображений элементарными функциями содержатся в [11].

Пример 37. Пусть D — область $\operatorname{Im} z < 0$, $|z + il| > R$, где $l > R > 0$ (рис. 134). Эту область можно назвать неконцентрическим кольцом (прямая — окружность бесконечного радиуса). Найдём конформное отображение области D на концентрическое кольцо.

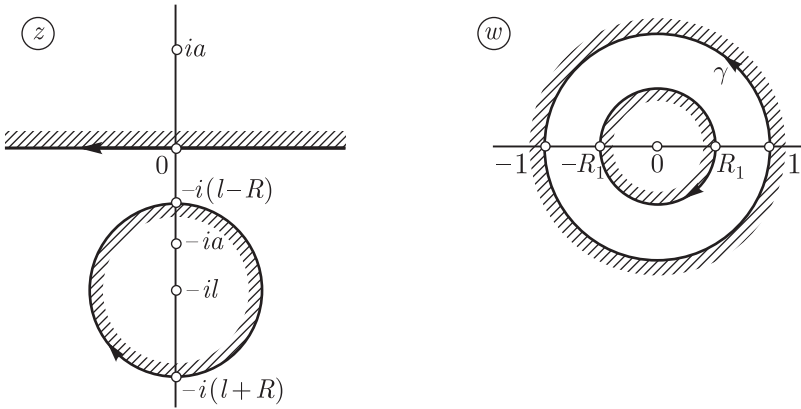


Рис. 134

Найдём две точки, симметричные одновременно относительно прямой $\operatorname{Im} z = 0$ и относительно окружности $|z + il| = R$. Эти точки должны лежать на общем перпендикуляре к прямой и к окружности, т. е. на мнимой оси. Из симметрии относительно прямой $\operatorname{Im} z = 0$ следует, что это точки $\pm ia$, где $a > 0$. Из симметрии относительно окружности $|z + il| = R$ получаем $(l + a)(l - a) = R^2$, откуда $a = \sqrt{l^2 - R^2}$. Покажем, что функция

$$w = \frac{z + ia}{z - ia} \quad (18)$$

осуществляет искомое отображение. При этом отображении прямая $\operatorname{Im} z = 0$ переходит в окружность γ . По свойству сохранения симметрии точки $z = \pm ia$ переходят в точки $w = 0$, $w = \infty$, симметричные относительно окружности γ . Следовательно, $w = 0$ — центр окружности γ . Так как точка $w(0) = -1$ принадлежит γ , то γ — окружность $|w| = 1$ (рис. 134). Аналогично доказывается, что окружность $|z + il| = R$ при отображении (18) переходит в окружность $|w| = R_1$, где $R_1 = \frac{R + l - a}{R + l + a}$. В силу соответствия границ функция (18) конформно отображает область D на концентрическое кольцо $R_1 < |w| < 1$ (рис. 134).

Пример 38. Пусть D — область $|z - ih| > \sqrt{1 + h^2}$, где h — действительное число. Граница этой области — окружность γ с центром в точке

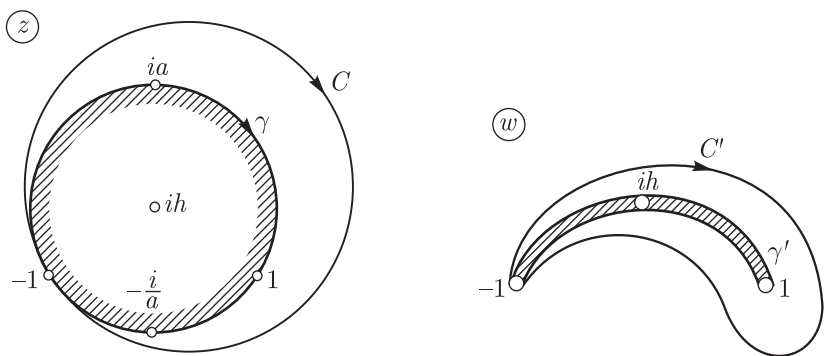


Рис. 135

ih , проходящая через точки $z = \pm 1$, $z = ia$, $z = -\frac{i}{a}$, $a = h + \sqrt{1 + h^2}$ (рис. 135). Покажем, что функция Жуковского $w = \frac{1}{2}\left(z + \frac{1}{z}\right)$ однолистка в области D .

Рассмотрим отображение $\zeta = 1/z$, причем точки ζ будем изображать на той же плоскости z . При этом отображении точки $z = \pm 1$ остаются на месте, а точка $z = ia$ переходит в точку $z = -\frac{i}{a}$, поэтому окружность γ переходит сама в себя. Кроме того, точка $z = \infty$ переходит в точку $\zeta = 0$, лежащую внутри γ . Следовательно, внешность D окружности γ переходит во внутренность D этой окружности. Так как области D и \tilde{D} не имеют общих точек, то функция Жуковского однолистка в области D (и в области \tilde{D}).

Найдем образ области D при отображении функцией Жуковского. Заметим, что соотношение $w = \frac{1}{2}\left(z + \frac{1}{z}\right)$ можно записать в виде $\frac{w-1}{w+1} = \left(\frac{z-1}{z+1}\right)^2$. Поэтому функцию Жуковского можно рассматривать как суперпозицию двух функций:

$$w = \frac{1+\zeta}{1-\zeta}, \quad \zeta = \left(\frac{z-1}{z+1}\right)^2.$$

При отображении $\zeta = \left(\frac{z-1}{z+1}\right)^2$ окружность γ переходит в разрез по некоторому лучу $\tilde{\gamma}$, соединяющему точки $\zeta = 0$ и $\zeta = \infty$. При отображении $w = \frac{1+\zeta}{1-\zeta}$ луч $\tilde{\gamma}$ переходит в дугу окружности γ' с концами в точках $w = \pm 1$. Так как точка $z = ia$ при отображении функцией Жуковского переходит в точку $w = \frac{1}{2}\left(ia - \frac{i}{a}\right) = ih$,

то дуга γ' проходит через точку $w = ih$. Следовательно, функция Жуковского конформно отображает внешность окружности γ на внешность дуги окружности γ' с концами в точках $w = \pm 1$, проходящей через точку $w = ih$ (рис. 135).

Отметим, что при отображении функцией Жуковского окружность C , близкая к γ и касающаяся γ в точке $z = -1$, переходит в кривую C' (рис. 135), напоминающую профиль крыла самолета. Кривые C' (профили Жуковского) были использованы Н. Е. Жуковским для расчета подъемной силы крыла самолета [3].

§ 33. Принцип симметрии

В этом параграфе рассматривается способ аналитического продолжения с помощью симметрии относительно прямой или окружности. Этот способ называют *принципом симметрии Римана–Шварца*. Будет показано, как с помощью принципа симметрии можно решать задачи о нахождении конформных отображений областей, симметричных относительно прямой или окружности.

1. Симметрия относительно действительной оси

В следующей теореме граница области D , лежащей в верхней полуплоскости $\operatorname{Im} z > 0$, содержит интервал γ действительной оси, D^* — область, симметричная с областью D относительно действительной оси (рис. 136).

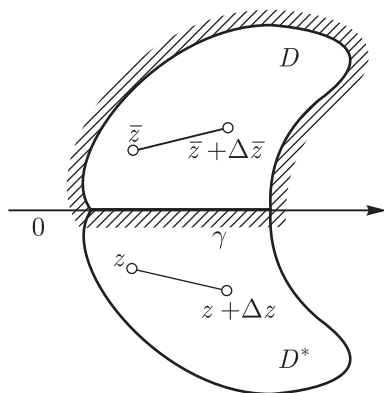


Рис. 136

Теорема (принцип симметрии). Пусть функция $f(z)$ регулярна в области D , непрерывна вплоть до γ и принимает действительные значения на интервале γ , т. е. $\operatorname{Im} f(x) = 0$ при $x \in \gamma$. Тогда функцию $f(z)$ можно аналитически продолжить в область $D_0 = D \cup \gamma \cup D^*$ и это продолжение находится по формуле

$$F(z) = \begin{cases} f(z), & z \in D \cup \gamma, \\ \overline{f(\bar{z})}, & z \in D^*. \end{cases} \quad (1)$$

○ Докажем, что функция

$$f_1(z) = \overline{f(\bar{z})}, \quad z \in D^*, \quad (2)$$

имеет производную $f_1'(z)$ в каждой точке $z \in D^*$. Рассмотрим отношение

$$\frac{f_1(z + \Delta z) - f_1(z)}{\Delta z} = \frac{\overline{f(z + \Delta z)} - \overline{f(\bar{z})}}{\Delta z} = \overline{\left[\frac{f(\bar{z} + \overline{\Delta z}) - f(\bar{z})}{\overline{\Delta z}} \right]}, \quad (3)$$

где $z \in D^*$ и $z + \Delta z \in D^*$. Тогда $\bar{z} \in D$, $\bar{z} + \overline{\Delta z} \in D$ (рис. 136) и, следовательно, при $\overline{\Delta z} \rightarrow 0$ предел отношения (3) существует и равен $\overline{f'(\bar{z})}$, т. е. $f_1'(z) = \overline{f'(\bar{z})}$ при $z \in D^*$. Таким образом, функция $f_1(z)$ дифференцируема и, следовательно, регулярна в области D^* .

Из непрерывности функции $f(z)$ вплоть до γ и формулы (2) следует, что функция $f_1(z)$ также непрерывна вплоть до γ и $f_1(x) = \overline{f(x)}$ при $x \in \gamma$. А так как $\operatorname{Im} f(x)|_{x \in \gamma} = 0$, то $f_1(x) = f(x)$ при $x \in \gamma$, т. е. значения функций $f(z)$ и $f_1(z)$ на интервале γ совпадают. Следовательно, по лемме об устранимой особенности (§ 11) функция $F(z)$ регулярна в области D_0 и является аналитическим продолжением функции $f(z)$ из области D в область D_0 . ●

Замечание 1. В теореме интервал γ может быть неограниченным, в частности, лучом действительной оси $\operatorname{Im} z = 0$, или интервалом, содержащим точку $z = \infty$, или всей действительной осью.

Замечание 2. Из формулы (1) следует, что для любой точки $z \in D_0$ выполняется равенство

$$F(\bar{z}) = \overline{F(z)}. \quad (4)$$

Пример 1. Если целая функция $f(z)$ принимает действительные значения на действительной оси, то для любого z имеет место равенство $\overline{f(\bar{z})} = f(z)$. Например, $e^{\bar{z}} = \overline{e^z}$, $\sin \bar{z} = \overline{\sin z}$, $\cos \bar{z} = \overline{\cos z}$, $\operatorname{sh} \bar{z} = \overline{\operatorname{sh} z}$, $\operatorname{ch} \bar{z} = \overline{\operatorname{ch} z}$.

2. Применения принципа симметрии

Пусть область D такая же, как и в п. 1. И пусть область G плоскости w лежит в верхней полуплоскости $\operatorname{Im} w > 0$, а граница области G содержит интервал γ' действительной оси $\operatorname{Im} w = 0$ (рис. 137). Из принципа симметрии получается

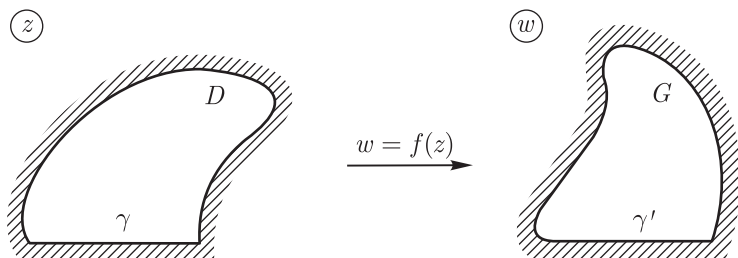


Рис. 137

Следствие. Пусть функция $w = f(z)$ конформно отображает область D на область G так, что образом интервала γ является интервал γ' . Тогда функция $w = F(z)$, определенная формулой (1), конформно отображает область $D_0 = D \cup \gamma \cup D^*$ на область $G_0 = G \cup \gamma' \cup G^*$, где G^* — область, симметричная с областью G относительно действительной оси $\operatorname{Im} w = 0$ (рис. 138).

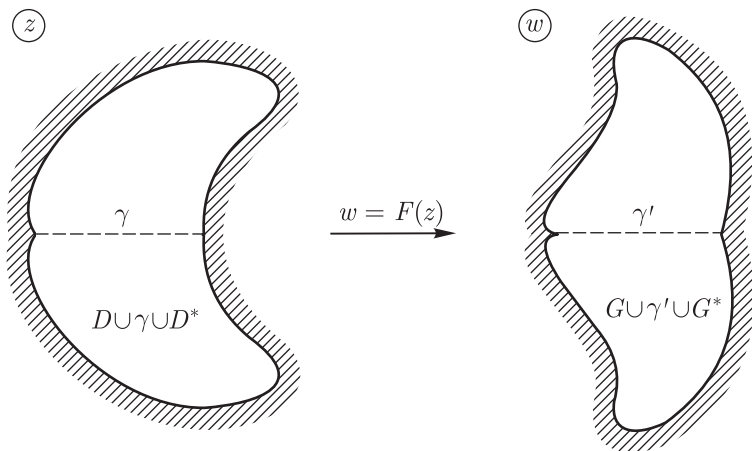


Рис. 138

О По условию функция $w = f(z)$ регулярна и однолистка в области D , а в теореме доказано, что функция $w = F(z)$ регулярна в области D_0 . Из формулы (1) получается, что при отображении $w = F(z)$

точки z , \bar{z} , симметричные относительно действительной оси $\operatorname{Im} z = 0$, переходят в точки w , \bar{w} , симметричные относительно действительной оси $\operatorname{Im} w = 0$. Следовательно, функция $w = F(z)$ однолистка в области D_0 и конформно отображает область D_0 на область G_0 . ●

Пример 2. Отображение внешности креста на полуплоскость.

Пусть D_0 — плоскость z с разрезами по лучу $[-4, +\infty)$ и отрезку $[-3i, 3i]$ (рис. 139). Найдём конформное отображение области D_0 на верхнюю полуплоскость $\operatorname{Im} w > 0$.

На первый взгляд кажется, что естественно воспользоваться отображением $\eta = z^2$. Но это отображение не является конформным, так как функция z^2 не однолистка в области D_0 (например, $(4i)^2 = (-4i)^2 = -16$). Поэтому рассмотрим сначала «половину» области D_0 . Пусть D — верхняя полуплоскость $\operatorname{Im} z > 0$ с разрезом по отрезку $[0, 3i]$ (рис. 140). В этой области функция $\eta = z^2$ однолистка.

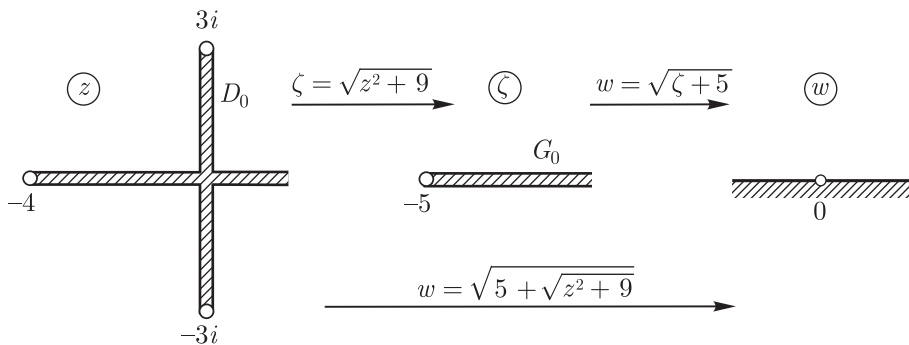


Рис. 139

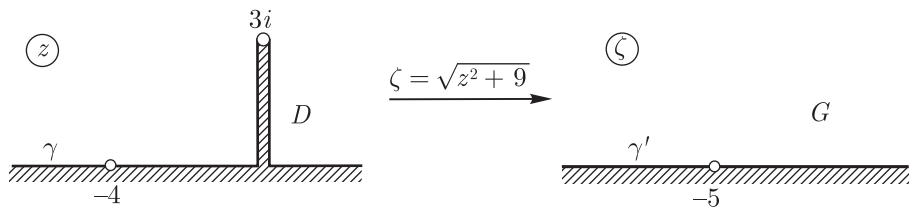


Рис. 140

Функция $\zeta = f(z) = \sqrt{z^2 + 9}$ конформно отображает область D на область G : $\operatorname{Im} \zeta > 0$ так, что интервал γ : $(-\infty, -4)$ переходит в интервал γ' : $(-\infty, -5)$ (рис. 140).

По следствию из принципа симметрии функция $\zeta = F(z) = \sqrt{z^2 + 9}$ конформно отображает область $D_0 = D \cup \gamma \cup D^*$ на область $G_0 = G \cup \gamma' \cup G^*$, G_0 — плоскость ζ с разрезом по лучу $[-5, +\infty)$ (рис. 139). Здесь $F(z)$ — аналитическое продолжение функции $f(z)$ в область D_0 , т. е. $F(z)$ — регулярная ветвь функции $\sqrt{z^2 + 9}$ в области D_0 такая, что $F(x + 0i) > 0$ при $x > 0$.

Отображая область G_0 функцией $w = \sqrt{\zeta + 5}$ на полуплоскость $\text{Im } w > 0$, окончательно находим конформное отображение $w = \sqrt{5 + \sqrt{z^2 + 9}}$ области D_0 на полуплоскость $\text{Im } w > 0$ (рис. 139).

Пример 3. Отображение внутренней параболы на полуплоскость. Пусть D_0 — область $y^2 < 2p(x + p/2)$, где $z = x + iy$, $p > 0$ (рис. 141). Найдем конформное отображение области D_0 на полуплоскость $\text{Im } w > 0$.

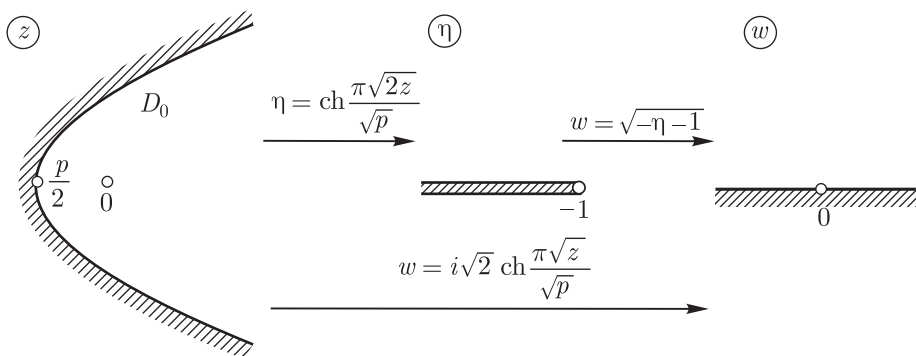


Рис. 141

Парабола $y^2 = 2p(x + p/2)$ переходит в прямую при отображении $\zeta = \sqrt{z}$. Но область D_0 содержит точку ветвления $z = 0$ функции \sqrt{z} . Поэтому рассмотрим половину области D_0 ; пусть D — область $y^2 < 2p(x + p/2)$, $y > 0$ (рис. 142). Найдем конформное отображение области D на верхнюю полуплоскость.

Функция $\zeta = \sqrt{z}$ конформно отображает область D на полуполосу Π : $0 < \text{Im } \zeta < \sqrt{p/2}$, $\text{Re } \zeta > 0$.

Функция $\eta = \text{ch } \frac{\pi\sqrt{2}\zeta}{\sqrt{p}}$ конформно отображает полуполосу Π на полуплоскость $\text{Im } \eta > 0$.

Таким образом, функция $\eta = \text{ch } \frac{\pi\sqrt{2}z}{\sqrt{p}}$ конформно отображает область D на полуплоскость $\text{Im } \eta > 0$ так, что интервал $\gamma : (-p/2, +\infty)$ переходит в интервал $\gamma' : (-1; +\infty)$ (рис. 142).

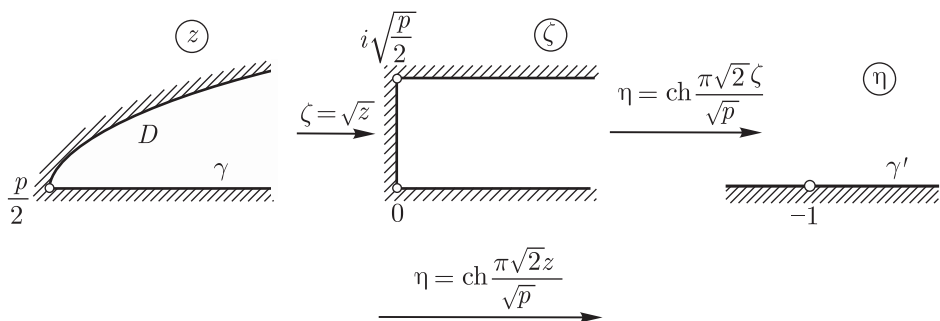


Рис. 142

По следствию из принципа симметрии функция $\eta = \operatorname{ch} \frac{\pi\sqrt{2}z}{\sqrt{p}}$ конформно отображает область D_0 на плоскость η с разрезом по лучу $(-\infty, -1]$ (рис. 141).

Функция $w = \sqrt{-\eta - 1}$ отображает плоскость η с разрезом по лучу $(-\infty, -1]$ на полуплоскость $\operatorname{Im} w > 0$.

Окончательно получаем: функция $w = i\sqrt{2} \operatorname{ch} \frac{\pi\sqrt{z}}{\sqrt{p}}$ конформно отображает область D_0 на полуплоскость $\operatorname{Im} w > 0$ (рис. 141).

Пример 4. Отображение внутренности правой ветви гиперболы на полуплоскость. Найдём конформное отображение области $\frac{x^2}{\cos^2 \alpha} - \frac{y^2}{\sin^2 \alpha} > 1$, $x > 0$ (область D_0 , рис. 143), где $z = x + iy$, $0 < \alpha < \pi/2$, на полуплоскость $\operatorname{Im} w > 0$.

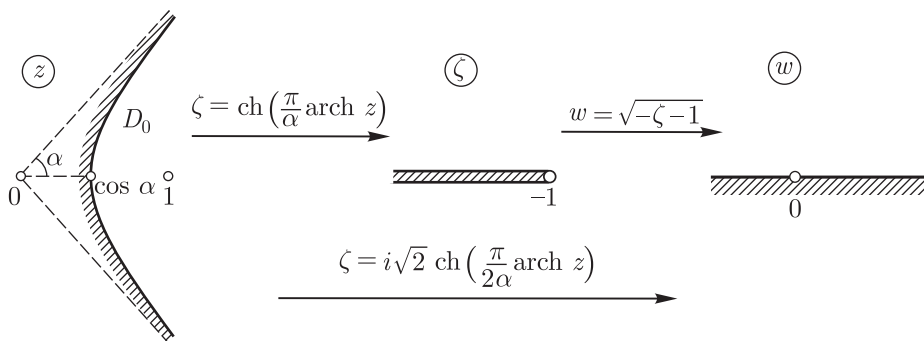


Рис. 143

Гипербола «распрямляется» при отображении функцией $\tau = z + \sqrt{z^2 - 1}$, обратной к функции Жуковского. Но область D_0

содержит точку ветвления $z = 1$ этой функции. Поэтому рассмотрим половину области D_0 . Пусть D — область $\frac{x^2}{\cos^2 \alpha} - \frac{y^2}{\sin^2 \alpha} > 1$, $x > 0$, $y > 0$ (рис. 144). Найдём конформное отображение области D на верхнюю полуплоскость.

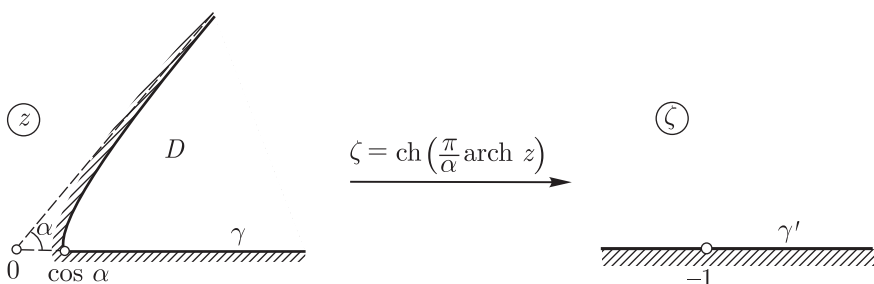


Рис. 144

Выполняя последовательно отображения:

$$\tau = z + \sqrt{z^2 - 1} = e^{\operatorname{arch} z}, \quad \eta = \tau^{\pi/\alpha}, \quad \zeta = \frac{1}{2} \left(\eta + \frac{1}{\eta} \right),$$

получаем, что функция $\zeta = \operatorname{ch} \left(\frac{\pi}{\alpha} \operatorname{arch} z \right)$ конформно отображает область D на полуплоскость $\operatorname{Im} \zeta > 0$, причем интервал $\gamma : (\cos \alpha, +\infty)$ переходит в интервал $\gamma' : (-1, +\infty)$. По следствию принципа симметрии функция $\zeta = \operatorname{ch} \left(\frac{\pi}{\alpha} \operatorname{arch} z \right)$ конформно отображает область D_0 на область G_0 — плоскость ζ с разрезом по лучу $(-\infty; -1]$ (рис. 143).

Функция $w = \sqrt{-\zeta - 1}$ отображает область G_0 на полуплоскость $\operatorname{Im} w > 0$. Таким образом, функция $w = i\sqrt{2} \operatorname{ch} \left(\frac{\pi}{2\alpha} \operatorname{arch} z \right)$ конформно отображает область D_0 на полуплоскость $\operatorname{Im} w > 0$ (рис. 143).

3. Симметрия относительно окружности

Принцип симметрии и следствие из него можно перенести на случай, когда γ и γ' — дуги окружностей (в частности, интервалы любых прямых). При этом области D и D^* должны быть симметричными относительно окружности, которой принадлежит дуга γ , а области G и G^* — симметричными относительно окружности, которой принадлежит дуга γ' . Для этого нужно дробно-линейным отображением перевести γ и γ' в интервалы действительной оси и воспользоваться свойством сохранения симметрии при дробно-линейном отображении.

Пример 5. Отображение круга на круг. Докажем, что любое конформное отображение круга на круг является дробно-линейным. Здесь «круг» может быть внешностью окружности или полуплоскостью.

Пусть функция $w = f(z)$ конформно отображает круг D с границей γ на круг G с границей γ' . Тогда $D_0 = D \cup \gamma \cup D^*$ — вся расширенная комплексная плоскость z , $G_0 = G \cup \gamma' \cup G^*$ — вся расширенная комплексная плоскость w (D^* — область, симметричная с областью D относительно окружности γ , G^* — область, симметричная с областью G относительно окружности γ').

По принципу симметрии функцию $w = f(z)$ можно аналитически продолжить в область D_0 и в результате этого продолжения получится функция $w = F(z)$, которая конформно отображает всю расширенную комплексную плоскость z на всю расширенную комплексную плоскость w . Следовательно, $F(z)$ (и $f(z) = F(z)$ при $z \in D$) — дробно-линейная функция.

Пример 6. Отображение концентрического кольца на концентрическое кольцо. Выясним, в каких случаях существует конформное отображение кольца $K : \rho < |z| < R$ на кольцо $K' : \rho' < |w| < R'$, и найдем это отображение.

Пусть функция $w = f(z)$ конформно отображает кольцо K на кольцо K' . Тогда по принципу соответствия границ возможны два случая:

- 1) окружность $|z| = \rho$ переходит в окружность $|w| = \rho'$, окружность $|z| = R$ — в окружность $|w| = R'$;
- 2) окружность $|z| = \rho$ переходит в окружность $|w| = R'$, окружность $|z| = R$ — в окружность $|w| = \rho'$.

Рассмотрим первый случай. По принципу симметрии существует аналитическое продолжение $F_1(z)$ функции $f(z)$ в кольцо $K_1 : \rho_1 < |z| < R$, где $\rho_1 = \rho^2/R$. Функция $w = F_1(z)$ конформно отображает кольцо K_1 на кольцо $K'_1 : \rho'_1 < |w| < R'$, где $\rho'_1 = (\rho')^2/R'$, так, что окружность $|z| = \rho_1$ переходит в окружность $|w| = \rho'_1$. Аналогично, существует аналитическое продолжение $F_2(z)$ функции $F_1(z)$ (и $f(z)$) в кольцо $K_2 : \rho_2 < |z| < R$, где $\rho_2 = \rho^4/R^3$ и т. д. Таким образом, получаем аналитическое продолжение $F(z)$ функции $f(z)$ в кольцо $0 < |z| < R$, причем $\lim_{z \rightarrow 0} F(z) = 0$. Тогда точка $z = 0$ является устранимой особой точкой функции $F(z)$, т. е. функция $w = F(z)$ конформно отображает круг $|z| < R$ на круг $|w| < R'$, причем $F(0) = 0$. Следовательно, $F(z)$ — дробно-линейная

функция и $F(\infty) = \infty$, т. е.

$$f(z) = Az, \quad A \neq 0. \quad (5)$$

Аналогично, во втором случае получаем

$$f(z) = \frac{A}{z}, \quad A \neq 0. \quad (6)$$

В обоих случаях из формул (5), (6) получается, что

$$\frac{\rho}{\rho'} = \frac{R}{R'},$$

т. е. кольца K и K' подобны.

Итак, конформное отображение кольца K на кольцо K' существует только тогда, когда эти кольца подобны, и все эти отображения можно найти по формулам (5), (6).

§ 34. Отображения многоугольников

В этом параграфе формулируются без доказательства некоторые сведения о конформных отображениях верхней полуплоскости $\text{Im } z > 0$ на многоугольники Π плоскости w (подробнее см. в [8]).

Пусть функция $w = f(z)$ конформно отображает верхнюю полуплоскость $\text{Im } z > 0$ на ограниченный многоугольник Π плоскости w (такое отображение существует по теореме Римана). Введем следующие обозначения: A_k — последовательные вершины (рис. 145) многоугольника Π , $k = 1, 2, \dots, n$; $\pi\alpha_k$ — угол многоугольника Π в вершине A_k , $\sum_{k=1}^n \alpha_k = n - 2$; a_k — прообраз вершины A_k при отображении

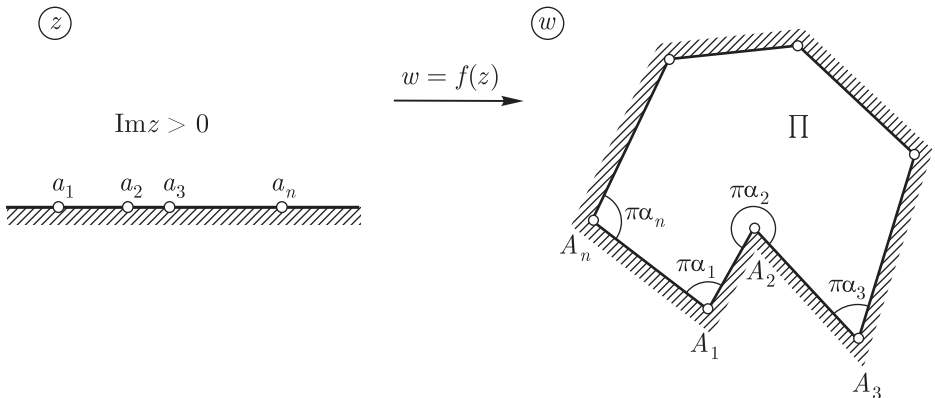


Рис. 145

$w = f(z)$, т. е. $f(a_k) = A_k$, где $a_k \neq \infty$. Тогда справедлива следующая теорема Кристоффеля–Шварца.

Теорема. Конформное отображение полуплоскости $\text{Im } z > 0$ на многоугольник Π определяется формулой Кристоффеля–Шварца:

$$w = f(z) = c \int_{z_0}^z (\zeta - a_1)^{\alpha_1-1} (\zeta - a_2)^{\alpha_2-1} \dots (\zeta - a_n)^{\alpha_n-1} d\zeta + c_1, \quad (1)$$

где c, c_1 — постоянные и интеграл берется по кривой, лежащей в полуплоскости $\text{Im } z > 0$.

Замечание 1. Если, например, $a_n = \infty$, то формула (1) изменяется так:

$$w = f(z) = c \int_{z_0}^z (\zeta - a_1)^{\alpha_1-1} (\zeta - a_2)^{\alpha_2-1} \dots (\zeta - a_{n-1})^{\alpha_{n-1}-1} d\zeta + c_1. \quad (2)$$

Пример 1. Отображение полуплоскости на треугольник.

Функция

$$w = \frac{1}{B(\alpha_1, \alpha_2)} \int_0^z \zeta^{\alpha_1-1} (1 - \zeta)^{\alpha_2-1} d\zeta,$$

где $B(\alpha_1, \alpha_2) = \int_0^1 x^{\alpha_1-1} (1 - x)^{\alpha_2-1} dx$ — бета-функция, конформно отображает верхнюю полуплоскость $\text{Im } z > 0$ на ограниченный треугольник Π с вершинами A_1, A_2, A_3 , где $A_1 = 0, A_2 = 1, \text{Im } A_3 > 0$ (рис. 146) так, что $w(0) = 0, w(1) = 1, w(\infty) = A_3$.

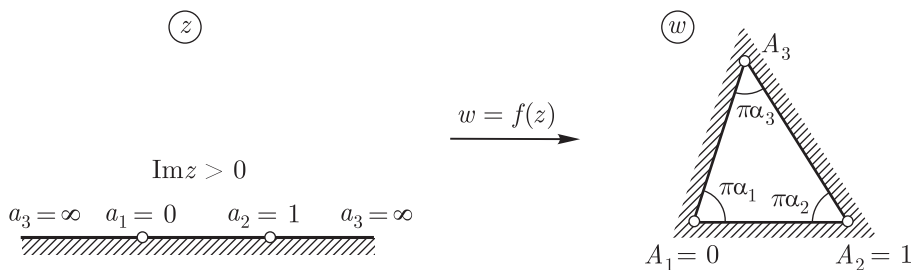


Рис. 146

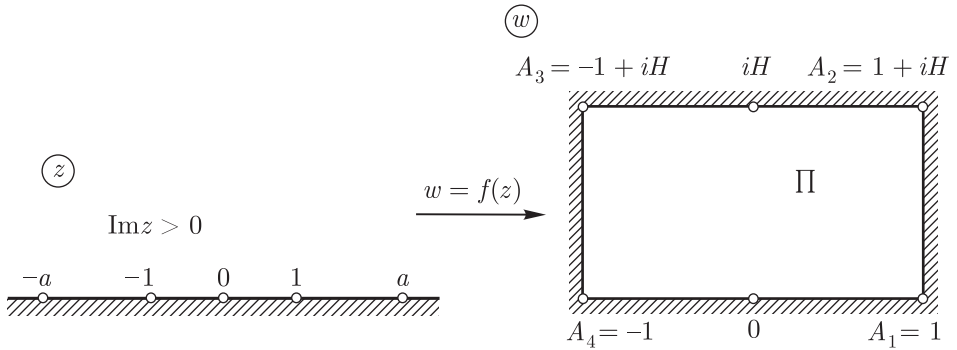
Пример 2. Отображение полуплоскости на четырехугольник.

Функция

$$w = f(z) = A \int_0^z \frac{d\zeta}{\sqrt{(1-\zeta^2)(1-k^2\zeta^2)}} \quad (3)$$

конформно отображает верхнюю полуплоскость $\operatorname{Im} z > 0$ на четырехугольник Π (рис. 147) так, что $f(0) = 0$, $f(\pm 1) = \pm 1$, $f(\pm a) = \pm 1 + iH$, $f(\infty) = iH$. Здесь $a > 1$, $H > 0$, $k = \frac{1}{a}$ и параметры k , A , H связаны равенствами

$$\int_0^1 \frac{dt}{\sqrt{(1-t^2)(1-k^2t^2)}} = \frac{1}{A}, \quad \int_0^{1/k} \frac{dt}{\sqrt{(t^2-1)(1-k^2t^2)}} = \frac{H}{A}.$$

**Рис. 147**

Интеграл (3) при $A = 1$ называется *эллиптическим интегралом Лежандра первого рода*. Функция $z = \psi(w)$, обратная к функции (3), называется *эллиптической функцией Якоби*. Эта функция конформно отображает четырехугольник Π на полуплоскость $\operatorname{Im} z > 0$.

Отметим, что с помощью эллиптических функций можно найти конформное отображение внутренности эллипса на полуплоскость.

Замечание 2. Формулы (1), (2) сохраняются и в случае, когда многоугольник Π плоскости w является неограниченным, но не содержит внутри себя точку $w = \infty$. При этом одна или несколько «вершин» многоугольника Π могут быть расположены в точке $w = \infty$.

Пример 3. Пусть четырехугольник Π — полоса $0 < \operatorname{Im} w < \pi$ с разрезом по лучу $(-\infty + \pi hi, \pi hi]$, $0 < h < 1$ (рис. 148). Здесь $A_1 = \pi hi$, $A_2 = \infty$, $A_3 = \infty$, $A_4 = \infty$, $\alpha_1 = 2$, $\alpha_2 = \alpha_3 = \alpha_4 = 0$. Функция

$$w = f(z) = \int_0^z \frac{\zeta d\zeta}{(\zeta - 1)(\zeta + b)} + \pi hi = \operatorname{Ln} \left[(z - 1)^h \left(1 + \frac{hz}{1 - h} \right)^{1-h} \right],$$

где $b = \frac{1}{h} - 1$, конформно отображает верхнюю полуплоскость $\operatorname{Im} z > 0$ на четырехугольник Π так, что $f(0) = \pi hi$, $f(1) = \infty$, $f(\infty) = \infty$, $f(-b) = \infty$ (рис. 148).

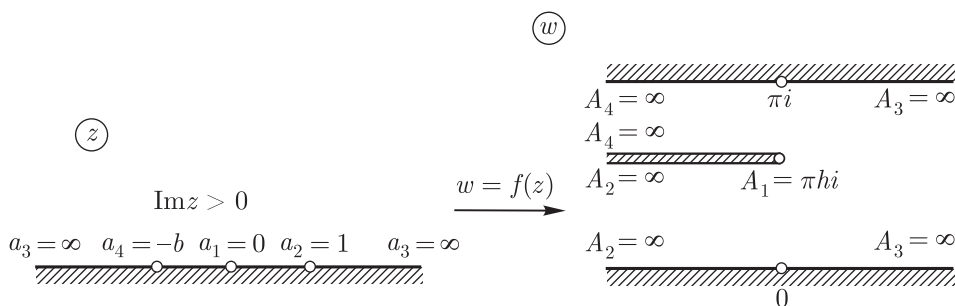


Рис. 148

Заметим, что функция $\zeta = e^w$ конформно отображает четырехугольник Π на область G — полуплоскость $\operatorname{Im} \zeta > 0$ с разрезом по отрезку $[0, e^{i\pi h}]$ (рис. 149). Следовательно, функция

$$\zeta = (z - 1)^h = \left(1 + \frac{hz}{1 - h} \right)^{1-h}$$

конформно отображает полуплоскость $\operatorname{Im} z > 0$ на область G .

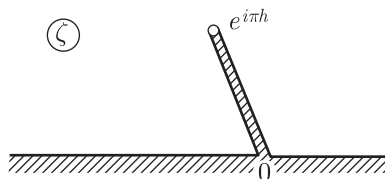


Рис. 149

§ 35. Задача Дирихле

Широкий класс стационарных физических задач сводится к отысканию гармонических функций, удовлетворяющих некоторым граничным условиям. В этом параграфе рассматривается метод решения таких задач с помощью конформных отображений.

1. Постановка задачи Дирихле.

Существование и единственность решения

Пусть на границе Γ ограниченной области D задана функция $u_0(z)$, непрерывная на каждой замкнутой кривой $\Gamma_k \subset \Gamma$.

Классическая задача Дирихле для уравнения Лапласа состоит в следующем: найти функцию $u(z)$, гармоническую в области D , непрерывную вплоть до границы Γ и принимающую на Γ значения $u_0(z)$:

$$\Delta u = 0, \quad z \in D, \quad u|_{z \in \Gamma} = u_0(z). \quad (1)$$

Здесь и далее $u(z) = u(x, y)$, $u_0(z) = u_0(x, y)$ — действительные функции, $\Delta = \frac{\partial^2}{\partial x^2} + \frac{\partial^2}{\partial y^2}$ — оператор Лапласа.

Решение классической задачи Дирихле (1) существует и единственно. Доказательство существования решения содержится в [12]. Докажем единственность решения.

О Пусть $u_1(z)$, $u_2(z)$ — гармонические в области D функции, непрерывные вплоть до границы Γ и $u_1|_{z \in \Gamma} = u_2|_{z \in \Gamma}$. Тогда разность $u_1(z) - u_2(z)$ — гармоническая в области D функция, непрерывная вплоть до Γ и равная нулю при $z \in \Gamma$. По принципу максимума и минимума для гармонических функции получаем $u_1(z) - u_2(z) \equiv 0$ при $z \in D$, т. е. $u_1(z) \equiv u_2(z)$, $z \in D$. ●

Наряду с классической задачей (1) будем рассматривать также и более общую задачу Дирихле, когда функция $u_0(z)$ ограничена и имеет конечное число точек разрыва. Требуется найти гармоническую в области D функцию $u(z)$, *ограниченную* в D , непрерывную вплоть до границы Γ во всех точках непрерывности функции $u_0(z)$ и в этих точках удовлетворяющую граничному условию $u(z)|_{z \in \Gamma} = u_0(z)$. При этом область D может быть неограниченной.

Решение этой задачи Дирихле существует и единственно [12].

Следующий пример показывает, что если в постановке задачи Дирихле отказаться от требования ограниченности искомой функции $u(z)$, то теорема единственности будет неверна.

Пример 1. 1) Функция $u(x, y) = y$, гармоническая в полуплоскости $y > 0$, непрерывна вплоть до границы и равна нулю при $y = 0$ ($x \neq \infty$). Функция, тождественно равная нулю, также удовлетворяет всем этим условиям.

2) Функция $u(x, y) = \frac{1 - x^2 - y^2}{(x + 1)^2 + y^2} = \operatorname{Re} \frac{1 + z}{1 - z}$, гармоническая в круге $x^2 + y^2 < 1$, непрерывна вплоть до границы этого круга, за исключением точки $(1, 0)$, и равна нулю во всех точках окружности $x^2 + y^2 = 1$, кроме точки $(1, 0)$. Функция, тождественно равная нулю, также удовлетворяет всем этим условиям.

2. Инвариантность уравнения Лапласа относительно конформных отображений

Теорема 1. Пусть регулярная функция $z = g(\zeta)$ конформно отображает область G на область D и $u(z)$ — гармоническая в области D функция. Тогда функция $\tilde{u}(\zeta) = u(g(\zeta))$ — гармоническая в области G .

О Рассмотрим односвязную область $G_1 \subset G$. Образом области G_1 при конформном отображении $z = g(\zeta)$ является односвязная область $D_1 \subset D$. Пусть $f(z)$ — регулярная в области D_1 функция такая, что $\operatorname{Re} f(z) = u(z)$. Тогда функция $\tilde{f}(\zeta) = f(g(\zeta))$ регулярна в области G_1 и поэтому $\tilde{u}(\zeta) = \operatorname{Re} \tilde{f}(\zeta)$ — гармоническая в G_1 функция. Так как G_1 — произвольная односвязная подобласть области G , то $\tilde{u}(\zeta)$ — гармоническая в области G функция. ●

Теорему 1 можно также доказать следующим образом. Обозначим $x(\xi, \eta) = \operatorname{Re} g(\zeta)$, $y(\xi, \eta) = \operatorname{Im} g(\zeta)$, где $\zeta = \xi + i\eta$. Тогда отображение $z = g(\zeta)$ ($z = x + iy$) можно записать в виде

$$x = x(\xi, \eta), \quad y = y(\xi, \eta). \quad (2)$$

Так как $g(\zeta)$ — регулярная функция, то функции $x(\xi, \eta)$, $y(\xi, \eta)$ удовлетворяют условиям Коши–Римана. Поэтому при замене переменных (2) непосредственно получается формула

$$\frac{\partial^2 \tilde{u}}{\partial \xi^2} + \frac{\partial^2 \tilde{u}}{\partial \eta^2} = \left(\frac{\partial^2 u}{\partial x^2} + \frac{\partial^2 u}{\partial y^2} \right) |g'(\zeta)|^2. \quad (3)$$

Из формулы (3) следует, что если $u(z)$ — гармоническая функция по переменным x, y , то $\tilde{u}(\zeta) = u(g(\zeta))$ — гармоническая функция по переменным ξ, η , т. е. уравнение Лапласа инвариантно относительно конформных отображений. Этот факт лежит в основе метода решения задачи Дирихле с помощью конформных отображений.

Пример 2. Пусть D — область $\operatorname{Im} z < 0$, $|z + il| > R$, где $l > R > 0$ (рис. 134, с. 263). Решим задачу Дирихле

$$\Delta u = 0, \quad z \in D; \quad (4)$$

$$u|_{\operatorname{Im} z = 0} = 0, \quad u|_{|z + il| = R} = T \equiv \text{const}. \quad (5)$$

Рассмотрим конформное отображение $\zeta = h(z) = \frac{z + ia}{z - ia}$ области D на концентрическое кольцо K : $R_1 < |\zeta| < 1$, где $a = \sqrt{l^2 - R^2}$, $R_1 = (R + l - a)/(R + l + a)$. При этом отображении прямая $\operatorname{Im} z = 0$ переходит в окружность $|\zeta| = 1$, а окружность $|z + il| = R$ — в окружность $|\zeta| = R_1$. Пусть $z = g(\zeta)$ — функция, обратная к функции $\zeta = h(z)$. По теореме 1 $\tilde{u}(\zeta) = u(g(\zeta))$ — гармоническая в кольце K функция:

$$\Delta \tilde{u} = 0, \quad \zeta \in K. \quad (6)$$

Из условий (5) получаем

$$\tilde{u}|_{|\zeta|=1} = 0, \quad \tilde{u}|_{|\zeta|=R_1} = T. \quad (7)$$

Таким образом, задача (4)–(5) свелась к задаче Дирихле (6)–(7). Решим эту задачу.

Пусть $\zeta = \xi + i\eta = \rho e^{i\theta}$. После замены $\xi = \rho \cos \theta$, $\eta = \rho \sin \theta$ уравнение Лапласа (6) запишется в виде

$$\frac{\partial^2 \tilde{u}}{\partial \rho^2} + \frac{1}{\rho} \frac{\partial \tilde{u}}{\partial \rho} + \frac{1}{\rho^2} \frac{\partial^2 \tilde{u}}{\partial \theta^2} = 0.$$

Так как граничные функции в условиях (7) не зависят от θ , то естественно предположить, что и решение задачи (6)–(7) не зависит от θ , т. е. функция $\tilde{u}(\zeta)$ является функцией только от одной переменной ρ . Найдем такое решение — тем самым, по теореме единственности решения задачи Дирихле будет показано, что решение задачи (6)–(7) не зависит от θ . В случае, когда функция $\tilde{u}(\zeta)$ не зависит от θ , уравнение Лапласа (6) является обыкновенным диф-

ференциальным уравнением:

$$\frac{d^2 \tilde{u}}{d\rho^2} + \frac{1}{\rho} \frac{d\tilde{u}}{d\rho} = 0.$$

Общее решение этого уравнения $\tilde{u}(\zeta) = c_1 + c_2 \ln \rho = c_1 + c_2 \ln |\zeta|$. Из условий (7) находим $c_1 = 0$, $c_2 = T/\ln R_1$, т. е. функция

$$\tilde{u}(\zeta) = \frac{T}{\ln R_1} \ln |\zeta|$$

является решением задачи (6)–(7). Для нахождения решения задачи (4)–(5) остается перейти к координатам $z = x + iy$. Так как $u(z) = \tilde{u}(h(z))$ и

$$|\zeta| = |h(z)| = \left| \frac{z + ia}{z - ia} \right| = \frac{|x^2 + y^2 - a^2 + i2ax|}{x^2 + (y - a)^2},$$

то решением задачи (4)–(5) является функция

$$u(x, y) = \frac{T}{\ln R_1} \ln \frac{\sqrt{(x^2 + y^2 - a^2)^2 + 4a^2 x^2}}{x^2 + (y - a)^2},$$

где $a = \sqrt{l^2 - R^2}$, $R_1 = (R + l - a)/(R + l + a)$.

3. Задача Дирихле для уравнения Лапласа в круге

Теорема 2. Пусть функция $u(z)$, гармоническая в круге $|z| < 1$, непрерывна в замкнутом круге $|z| \leq 1$. Тогда справедлива **формула Пуассона**

$$u(re^{i\varphi}) = \frac{1}{2\pi} \int_0^{2\pi} \frac{1 - r^2}{1 - 2r \cos(\varphi - \theta) + r^2} u(e^{i\theta}) d\theta, \quad (8)$$

где $z = re^{i\varphi}$, $0 \leq r < 1$.

О Зафиксируем точку $z_0 = r_0 e^{i\varphi}$, $0 \leq r_0 < 1$, и рассмотрим конформное отображение

$$\zeta = h(z) = \frac{z - z_0}{1 - \bar{z}z_0} \quad (9)$$

круга $|z| < 1$ на круг $|\zeta| < 1$, $h(z_0) = 0$. Из (9) находим

$$z = g(\zeta) = \frac{\zeta + z_0}{1 + \bar{\zeta}z_0}. \quad (10)$$

Функция $z = g(\zeta)$ конформно отображает круг $|\zeta| < 1$ на круг $|z| < 1$, так что $g(0) = z_0$.

Функция $u(z)$, гармоническая в круге $|z| < 1$, непрерывна в замкнутом круге $|z| \leq 1$. Следовательно, функция $\tilde{u}(\zeta) = u(g(\zeta))$ является

гармонической в круге $|\zeta| < 1$ (теорема 1) и непрерывной в замкнутом круге $|\zeta| \leq 1$. По теореме о среднем для гармонических функций находим

$$u(z_0) = \tilde{u}(0) = \frac{1}{2\pi} \int_0^{2\pi} \tilde{u}(e^{i\psi}) d\psi. \quad (11)$$

Вернемся к прежним переменным. В интеграле (11) сделаем замену

$$e^{i\psi} = h(e^{i\theta}) = \frac{e^{i\theta} - z_0}{1 - e^{i\theta} \bar{z}_0}. \quad (12)$$

Тогда $\tilde{u}(e^{i\psi}) = \tilde{u}(h(e^{i\theta})) = u(e^{i\theta})$. Из (12) находим

$$d\psi = \frac{1 - |z_0|^2}{(e^{i\theta} - z_0)(e^{-i\theta} - \bar{z}_0)} d\theta = \frac{1 - r_0^2}{1 - 2r_0 \cos(\varphi_0 - \theta) + r_0^2} d\theta. \quad (13)$$

Заменяя $z_0 = r_0 e^{i\varphi_0}$ на $z = r e^{i\varphi}$, из (11)–(13) получаем формулу (8). ●

Замечание 1. Теорема о среднем справедлива для гармонических и ограниченных функций в круге, непрерывных вплоть до границы круга, за исключением конечного числа точек. Поэтому для таких функций справедлива и формула Пуассона.

Рассмотрим задачу

$$\Delta u = 0, \quad |z| < 1; \quad u|_{|z|=1} = u_0(z), \quad (14)$$

где $u_0(z)$ — непрерывная на окружности $|z| = 1$ функция.

Непосредственной проверкой можно доказать, что классическое решение задачи (14) существует и находится по формуле Пуассона

$$u(z) = u(re^{i\varphi}) = \frac{1}{2\pi} \int_0^{2\pi} \frac{1 - r^2}{1 - 2r \cos(\varphi - \theta) + r^2} u_0(e^{i\theta}) d\theta. \quad (15)$$

Пример 3. Пусть в задаче (14) $u_0(z) = u_0(e^{i\varphi}) = \frac{\sin \varphi}{5 + 4 \cos \varphi}$.

Вычисляя интеграл (15), получаем, что в этом случае классическим решением задачи (14) является функция

$$u(re^{i\varphi}) = \frac{r \sin \varphi}{r^2 + 4r \cos \varphi + 4}.$$

Замечание 2. Существование решения задачи (1) для односвязной области D можно доказать следующим образом. Отобразим конформно область D на круг $|\zeta| < 1$ функцией $\zeta = \zeta(z)$. Задача (1)

перейдет в задачу

$$\Delta \tilde{u}(\zeta) = 0, \quad |\zeta| < 1; \quad \tilde{u}(\zeta)|_{|\zeta|=1} = u_0(z(\zeta)).$$

Решение $\tilde{u}(\zeta)$ этой задачи существует. Поэтому функция $u(z) = \tilde{u}(\zeta(z))$ является решением задачи (1).

4. Задача Дирихле для уравнения Лапласа в полуплоскости

Теорема 3. Пусть функция $u(z)$, гармоническая и ограниченная в полуплоскости $\operatorname{Im} z > 0$, непрерывна вплоть до прямой $\operatorname{Im} z = 0$, за исключением, быть может, конечного числа точек. Тогда справедлива формула Пуассона

$$u(z) = \frac{1}{\pi} \int_{-\infty}^{+\infty} \frac{yu(t)}{(t-x)^2 + y^2} dt, \quad (16)$$

где $z = x + iy$, $y > 0$.

О Зафиксируем точку $z_0 = x_0 + iy_0$, $y_0 > 0$, и рассмотрим конформное отображение

$$\zeta = h(z) = \frac{z - z_0}{z - \bar{z}_0} \quad (17)$$

полуплоскости $\operatorname{Im} z > 0$ на круг $|\zeta| < 1$, $h(z_0) = 0$. Из (17) находим

$$z = g(\zeta) = \frac{\zeta \bar{z}_0 - z_0}{\zeta - 1}. \quad (18)$$

Функция $z = g(\zeta)$ конформно отображает круг $|\zeta| < 1$ на полуплоскость $\operatorname{Im} z > 0$ так, что $g(0) = z_0$. По теореме 1 $\tilde{u}(\zeta) = u(g(\zeta))$ — гармоническая в круге $|\zeta| < 1$ функция. Из условий теоремы следует, что функция $\tilde{u}(\zeta)$ ограничена в круге $|\zeta| < 1$ и непрерывна вплоть до его границы $|\zeta| = 1$ (за исключением конечного числа точек). По теореме о среднем получаем

$$u(z_0) = \tilde{u}(0) = \frac{1}{2\pi} \int_0^{2\pi} \tilde{u}(e^{i\psi}) d\psi. \quad (19)$$

Вернемся к прежним переменным. В интеграле (19) сделаем замену

$$e^{i\psi} = h(t) = \frac{t - z_0}{t - \bar{z}_0}. \quad (20)$$

Так как $\tilde{u}(e^{i\psi}) = \tilde{u}(h(t)) = u(t)$, то из (20) находим

$$d\psi = \frac{z_0 - \bar{z}_0}{i|t - z_0|^2} dt = \frac{2y_0}{(t - x_0)^2 + y_0^2} dt. \quad (21)$$

Заменяя $z_0 = x_0 + iy_0$ на $z = x + iy$, из (19)–(21) получаем формулу (16). ●

Пример 4. Найдем решение задачи

$$\Delta u = 0, \quad y > 0, \quad u|_{y=0} = \frac{1}{1+x^2}.$$

Вычисляя интеграл (16) при $u(t) = \frac{1}{1+t^2}$, находим

$$u(x, y) = \frac{y+1}{x^2 + (y+1)^2}.$$

5. Функция Грина задачи Дирихле

Функцией Грина задачи Дирихле для оператора Лапласа в области D называется функция

$$G(z, \zeta) = \frac{1}{2\pi} \ln |z - \zeta| + g(z, \zeta), \quad z \in D, \quad \zeta \in D, \quad (22)$$

где $g(z, \zeta)$ удовлетворяет следующим условиям:

1) при каждом $\zeta \in D$ функция $g(z, \zeta)$ является гармонической в области D , т. е.

$$\frac{\partial^2 g}{\partial x^2} + \frac{\partial^2 g}{\partial y^2} = 0, \quad z = x + iy \in D; \quad (23)$$

2) при каждом $\zeta \in D$ функция $g(z, \zeta)$ непрерывна вплоть до границы Γ области D и

$$g(z, \zeta)|_{z \in \Gamma} = -\frac{1}{2\pi} \ln |z - \zeta| \Big|_{z \in \Gamma}. \quad (24)$$

Из (24) следует, что

$$G(z, \zeta)|_{z \in \Gamma} = 0.$$

Таким образом, при каждом $\zeta \in D$ функция $g(z, \zeta)$ является решением задачи Дирихле (23)–(24). Из теоремы существования и единственности решения задачи Дирихле следует, что функция Грина существует и единственна для любой ограниченной области. Покажем, что задача о нахождении функции Грина для односвязной области сводится к отысканию конформного отображения этой области на единичный круг.

Теорема 4. Пусть D — ограниченная односвязная область и пусть функция $w = w(z, \zeta)$, $z \in D$, $\zeta \in D$, при каждом $\zeta \in D$ конформно отображает область D на круг $|w| < 1$ так, что точка $z = \zeta$ переходит в точку $w = 0$: $w(\zeta, \zeta) = 0$. Тогда

$$G(z, \zeta) = \frac{1}{2\pi} \ln |w(z, \zeta)|. \quad (25)$$

О Зафиксируем точку $\zeta \in D$. Так как отображение $w = w(z, \zeta)$ конформно, т. е. функция $w(z, \zeta)$ регулярна и однолистка в области D , то $\frac{dw(z, \zeta)}{dz} \neq 0$ при $z \in D$. Из условия $w(\zeta, \zeta) = 0$ следует, что $w(z, \zeta) \neq 0$ при $z \neq \zeta$. Следовательно,

$$w(z, \zeta) = (z - \zeta)\psi(z, \zeta), \quad (26)$$

где функция $\psi(z, \zeta)$ регулярна в области D и $\psi(z, \zeta) \neq 0$ при $z \in D$. Из (26) получаем

$$\frac{1}{2\pi} \ln |w(z, \zeta)| = \frac{1}{2\pi} \ln |z - \zeta| + g(z, \zeta), \quad (27)$$

где $g(z, \zeta) = \frac{1}{2\pi} \ln |\psi(z, \zeta)|$ — гармоническая в области D функция как действительная часть регулярной в области D функции — регулярной ветви функции $\frac{1}{2\pi} \operatorname{Ln} \psi(z, \zeta)$.

Далее, если $z \in \Gamma = \partial D$, то $|w(z, \zeta)| = 1$ и из (27) получается условие (24). Следовательно, функция (27) является функцией Грина. ●

Замечание 3. Если $w = w(z)$ — какое-нибудь конформное отображение области D на круг $|w| < 1$, то функция $w(z, \zeta)$ находится по формуле

$$w(z, \zeta) = \frac{w(z) - w(\zeta)}{1 - \overline{w(\zeta)}w(z)}. \quad (28)$$

Функция Грина обладает следующими свойствами:

1) симметрична

$$G(z, \zeta) = G(\zeta, z); \quad (29)$$

2) при каждом $z \in D$ является гармонической по переменным ξ, η ($\zeta = \xi + i\eta$) в области D с выколотой точкой $\zeta = z$;

3) при каждом $z \in D$ непрерывна вплоть до границы Γ области D

и

$$G(z, \zeta)|_{\zeta \in \Gamma} = 0.$$

Свойства 2) и 3) получаются из свойства 1) и определения функции Грина. Докажем свойство 1) для односвязной области.

○ Из (28) имеем $|w(\zeta, z)| = |w(z, \zeta)|$, и поэтому из (25) следует (29). ●

С помощью функции Грина можно находить решение задачи Дирихле для уравнения Пуассона

$$\Delta u = F(z), \quad z \in D, \quad (30)$$

с граничным условием

$$u|_{\Gamma} = u_0(z). \quad (31)$$

При достаточно широких предположениях можно доказать, что решение задачи (30)–(31) имеет вид

$$u(z) = \iint_D G(z, \zeta) F(\zeta) d\xi d\eta + \int_{\Gamma} \frac{\partial G(z, \zeta)}{\partial n} u_0(\zeta) |d\zeta|,$$

где $\zeta = \xi + i\eta$, символ $\frac{\partial}{\partial n}$ означает дифференцирование по направлению внешней нормали к границе Γ области D по переменной ζ .

ОПЕРАЦИОННОЕ ИСЧИСЛЕНИЕ

§ 36. Преобразование Лапласа

1. Оригинал и его изображение

Определение 1. *Оригиналом* называют комплекснозначную функцию $f(t)$ действительного переменного t , если:

- 1) $f(t) = 0$ при $t < 0$;
- 2) на каждом отрезке полуоси $t \geq 0$ функция $f(t)$ непрерывна, кроме, быть может, конечного числа точек разрыва первого рода;
- 3) существуют такие действительные числа $M > 0$ и α , что для всех $t \geq 0$ выполняется неравенство

$$|f(t)| \leq Me^{\alpha t}. \quad (1)$$

Определение 2. *Изображением* оригинала $f(t)$ называют комплекснозначную функцию

$$F(p) = \int_0^{+\infty} e^{-pt} f(t) dt \quad (2)$$

комплексного переменного p .

Интеграл (2) называют *преобразованием Лапласа* функции $f(t)$. Из неравенства (1) и свойств интеграла, зависящего от параметра [8], следует, что функция (2) регулярна в полуплоскости $\operatorname{Re} p > \alpha$ и $\lim_{\operatorname{Re} p \rightarrow +\infty} F(p) = 0$.

Связь между оригиналом $f(t)$ и его изображением $F(p)$ записывают так:

$$f(t) \doteq F(p) \quad \text{или} \quad F(p) \doteq f(t).$$

Пример 1. Функция Хевисайда

$$\theta(t) = \begin{cases} 0 & \text{при } t < 0, \\ 1 & \text{при } t \geq 0 \end{cases}$$

является оригиналом. Для нее неравенство (1) выполняется при $M = 1$, $\alpha = 0$. Найдем изображение этой функции.

Вычисляя интеграл (2) при $f(t) = \theta(t)$, $\operatorname{Re} p > 0$, находим $F(p) = \frac{1}{p}$. Следовательно,

$$\theta(t) \doteq \frac{1}{p}. \quad (3)$$

Замечание 1. Пусть функция $g(t)$ удовлетворяет условиям 2, 3 определения 1. Тогда функция $f(t) = \theta(t)g(t)$ является оригиналом. Обычно множитель $\theta(t)$ опускают. Например, вместо $\theta(t)$, $\theta(t)t^2$, $\theta(t)\sin t$ пишут соответственно 1 , t^2 , $\sin t$, формулу (3) записывают так:

$$1 \doteq \frac{1}{p}.$$

Пример 2. Вычисляя интеграл (2) для функции $f(t) = e^{at}$, где a — комплексное число, получаем

$$e^{at} \doteq \frac{1}{p-a}. \quad (4)$$

2. Свойства преобразования Лапласа

Линейность. Из свойств интеграла (2) следует, что если

$$f(t) \doteq F(p), \quad g(t) \doteq G(p),$$

то

$$af(t) + bg(t) \doteq aF(p) + bG(p), \quad (5)$$

где a , b — любые комплексные числа.

Пример 3. Найдём изображения функций $\sin \omega t$, $\cos \omega t$, $\operatorname{sh} \omega t$, $\operatorname{ch} \omega t$, где ω — комплексное число.

Из равенства $\sin \omega t = \frac{1}{2i}(e^{i\omega t} - e^{-i\omega t})$ и формул (4), (5) находим

$$\begin{aligned} \sin \omega t &\doteq \frac{1}{2\pi} \left(\frac{1}{p-i\omega} - \frac{1}{p+i\omega} \right) = \frac{\omega}{p^2 + \omega^2}, \quad \text{т. е.} \\ \sin \omega t &\doteq \frac{\omega}{p^2 + \omega^2}. \end{aligned}$$

Аналогично получаем

$$\cos \omega t \doteq \frac{p}{p^2 + \omega^2}, \quad \operatorname{sh} \omega t \doteq \frac{\omega}{p^2 - \omega^2}, \quad \operatorname{ch} \omega t \doteq \frac{p}{p^2 - \omega^2}.$$

Подобие. Если $f(t) \doteq F(p)$ и $\beta > 0$, то

$$f(\beta t) \doteq \frac{1}{\beta} F\left(\frac{p}{\beta}\right).$$

○ Из интеграла (2) заменой $t = \frac{\tau}{\beta}$ получаем

$$\int_0^{+\infty} f(\beta t) e^{-pt} dt = \frac{1}{\beta} \int_0^{+\infty} f(\tau) e^{-\frac{p}{\beta} \tau} d\tau = \frac{1}{\beta} F\left(\frac{p}{\beta}\right). \quad \bullet$$

Дифференцирование оригинала. Если $f(t), f'(t), \dots, f^{(n)}(t)$ — оригиналы и $f(t) \doteq F(p)$, то

$$f^{(n)}(t) \doteq p^n F(p) - p^{n-1} f(0) - p^{n-2} f'(0) - \dots - p f^{(n-2)}(0) - f^{(n-1)}(0), \quad (6)$$

где $f^{(k)}(0) = \lim_{t \rightarrow +0} f^{(k)}(t)$, $k = 0, 1, \dots, n-1$.

○ Из формулы (2) интегрированием по частям получаем

$$f'(t) \doteq pF(p) - f(0).$$

При $n \geq 2$ формула (6) доказывается по индукции. ●

Замечание 2. Если $f^{(k)}(0) = 0$ при $k = 0, 1, \dots, n-1$, то

$$f^{(n)}(t) \doteq p^n F(p), \quad (7)$$

т. е. дифференцированию оригинала соответствует умножение на p его изображения.

Дифференцирование изображения. Если $F(p) \doteq f(t)$, то

$$F^{(n)}(p) \doteq (-t)^n f(t). \quad (8)$$

○ Дифференцируя интеграл (2) по параметру p , получаем

$$F'(p) = \int_0^{+\infty} e^{-pt} (-t) f(t) dt \doteq (-t) f(t).$$

При $n \geq 2$ формула (8) доказывается по индукции. ●

Пример 4. По формулам (3), (4), (8) находим

$$t^n \doteq \frac{n!}{p^{n+1}}, \quad t^n e^{at} \doteq \frac{n!}{(p-a)^{n+1}},$$

$$t \sin \omega t \doteq \frac{2p\omega}{(p^2 + \omega^2)^2}, \quad t \cos \omega t \doteq \frac{p^2 - \omega^2}{(p^2 + \omega^2)^2}.$$

Интегрирование оригинала. Если $f(t) \doteq F(p)$, то

$$\int_0^t f(\tau) d\tau \doteq \frac{F(p)}{p}. \quad (9)$$

○ Так как $f(t)$ — оригинал, то по определению 1 функция $g(t) = \int_0^t f(\tau) d\tau$ также является оригиналом, причем $g'(t) = f(t)$, $g(0) = 0$. Если $g(t) \doteq G(p)$, то по формуле (7) получаем

$$g'(t) \doteq pG(p), \quad \text{т. е.} \quad F(p) = pG(p),$$

откуда следует формула (9). ●

Интегрирование изображения. Если $f(t) \doteq F(p)$ и $\frac{1}{t}f(t)$ — оригинал, то

$$\frac{1}{t}f(t) \doteq \int_p^\infty F(\zeta) d\zeta, \quad (10)$$

где (p, ∞) — горизонтальный луч, принадлежащий полуплоскости $\operatorname{Re} p > \alpha$, от точки p до точки $\operatorname{Re} p = +\infty$.

○ Пусть $\frac{1}{t}f(t) \doteq G(p)$. Тогда по формуле (8) получаем $G'(p) \doteq -f(t) \doteq -F(p)$, откуда

$$G(\infty) - G(p) = - \int_p^\infty F(\zeta) d\zeta$$

и из равенства $G(\infty) = 0$ (п. 1) следует формула (10). ●

Пример 5. Найдем изображение интегрального синуса

$$\operatorname{si} t = \int_0^t \frac{\sin \tau}{\tau} d\tau.$$

Из примера 3 и формулы (10) следует, что

$$\frac{\sin t}{t} \doteq \int_p^\infty \frac{d\zeta}{1 + \zeta^2} = \frac{\pi}{2} - \operatorname{arctg} p = \operatorname{arcctg} p,$$

откуда по формуле (9) находим

$$\operatorname{si} t \doteq \frac{1}{p} \cdot \operatorname{arcctg} p.$$

Запаздывание оригинала. Если $f(t) \doteq F(p)$ и $f(t) = 0$ при $t < \tau$, где $\tau > 0$, то

$$f(t - \tau) \doteq e^{-p\tau} F(p). \quad (11)$$

○ По формуле (2)

$$f(t - \tau) \doteq \int_0^{+\infty} f(t - \tau) e^{-pt} dt,$$

откуда заменой $t = \tau + \alpha$ получаем

$$f(t - \tau) \doteq \int_0^{+\infty} f(\alpha) e^{-p(\tau+\alpha)} d\alpha = e^{-p\tau} F(p). \quad \bullet$$

Пример 6. Найдем изображение ступенчатой функции

$$f(t) = h[\theta(t) + \theta(t - \tau) + \dots + \theta(t - k\tau) + \dots],$$

где $\tau > 0$.

По формулам (3), (11) получаем

$$f(t) \doteq h \left[\frac{1}{p} + \frac{1}{p} e^{-p\tau} + \dots + \frac{1}{p} e^{-kp\tau} + \dots \right] = \frac{h}{p(1 - e^{-p\tau})}.$$

Смещение изображения. Если $f(t) \doteq F(p)$, то для любого комплексного числа a

$$f(t)e^{at} \doteq F(p - a). \quad (12)$$

○ По формуле (2) получаем

$$f(t)e^{at} \doteq \int_0^{+\infty} f(t)e^{-(p-a)t} dt = F(p - a). \quad \bullet$$

Пример 7. Из примера 3 и формулы (12) следует, что

$$e^{at} \sin \omega t \doteq \frac{\omega}{(p - a)^2 + \omega^2}, \quad e^{at} \cos \omega t \doteq \frac{p - a}{(p - a)^2 + \omega^2}.$$

В заключение приведем таблицу оригиналов и их изображений.

Оригинал	Изображение
1	$\frac{1}{p}$
t^n	$\frac{n!}{p^{n+1}}$
e^{at}	$\frac{1}{p-a}$
$t^n e^{at}$	$\frac{n!}{(p-a)^{n+1}}$
$\sin \omega t$	$\frac{\omega}{p^2 + \omega^2}$
$\cos \omega t$	$\frac{p}{p^2 + \omega^2}$
$\text{sh } \omega t$	$\frac{\omega}{p^2 - \omega^2}$
$\text{ch } \omega t$	$\frac{p}{p^2 - \omega^2}$
$t \sin \omega t$	$\frac{2\omega p}{(p^2 + \omega^2)^2}$
$t \cos \omega t$	$\frac{p^2 - \omega^2}{(p^2 + \omega^2)^2}$
$e^{at} \sin \omega t$	$\frac{\omega}{(p-a)^2 + \omega^2}$
$e^{at} \cos \omega t$	$\frac{p-a}{(p-a)^2 + \omega^2}$

§ 37. Восстановление оригинала по его изображению

1. Формула обращения преобразования Лапласа

Теорема 1. Пусть $F(p) \doteq f(t)$, где функция $f(t)$ непрерывна при $t \geq 0$. Тогда

$$f(t) \doteq \frac{1}{2\pi i} \int_{b-i\infty}^{b+i\infty} F(p) e^{pt} dp, \quad (1)$$

где $b \geq \alpha$ (см. (1), § 36).

Более подробную формулировку этой теоремы и ее доказательство см. в [8].

Пример 1. С помощью формулы (1) можно показать, что

$$\frac{1}{p} e^{-\alpha\sqrt{p}} = \operatorname{Erf} f \left(\frac{\alpha}{2\sqrt{t}} \right),$$

$$\text{где } \alpha > 0, \operatorname{Erf} f(x) = 1 - \frac{2}{\sqrt{\pi}} \int_0^x e^{-\tau^2} d\tau.$$

2. Теорема разложения

Теорема 2. Пусть функция $F(p)$ регулярна в точке $p = \infty$ и $F(\infty) = 0$, т. е.

$$F(p) = \sum_{n=1}^{\infty} \frac{c_n}{p^n} \quad \text{при } |p| > R.$$

Тогда оригиналом функции $F(p)$ является функция

$$f(t) = \sum_{n=0}^{\infty} \frac{c_{n+1}}{n!} t^n. \quad (2)$$

Доказательство теоремы 2 см. в [8].

Пример 2. Найдем оригинал функции

$$F(p) = \sum_{n=0}^{\infty} (3 + (-2)^n) \frac{1}{p^n}.$$

По формуле (2) получаем

$$f(t) = \sum_{n=0}^{\infty} (3 + (-2)^n) \frac{t^n}{n!} = 3e^t - 2^{-2t}.$$

Замечание. Результат примера 2 можно получить, если показать, что

$$F(p) = \frac{3}{p-1} - \frac{2}{p+2},$$

и воспользоваться таблицей § 36.

§ 38. Применение преобразования Лапласа к решению дифференциальных уравнений

Способ решения задач для дифференциальных уравнений с помощью преобразования Лапласа (а также с помощью преобразований Фурье и др.) называют *операционным исчислением*. Приведем примеры решения задачи Коши для обыкновенных дифференциальных уравнений и их систем.

Пример 1. Решим задачу Коши для уравнения

$$x''(t) - 3x'(t) + 2x(t) = 6e^{-t} \quad (1)$$

с начальными условиями $x(0) = 2$, $x'(0) = 0$.

В курсе дифференциальных уравнений доказано, что искомая функция $x(t)$ является оригиналом. Пусть $x(t) \doteq X(p)$, тогда (см. § 36):

$$\begin{aligned} x'(t) &\doteq pX(p) - x(0) = pX(p) - 2, \\ x''(t) &\doteq p^2X(p) - px(0) - x'(0) = p^2X(p) - 2p. \end{aligned}$$

Поэтому, переходя в уравнении (1) к изображениям, получаем

$$p^2X(p) - 2p - 3(pX(p) - 2) + 2X(p) = \frac{6}{p+1},$$

откуда $X(p) = \frac{2p}{p^2 - 1}.$

По свойству линейности интеграла Лапласа и таблице (§ 36) находим $x(t) = 2 \operatorname{ch} t$.

Как и в этом примере, задача Коши для линейного дифференциального уравнения с постоянными коэффициентами сводится к алгебраическому уравнению относительно образа искомой функции. Оригинал по изображению находится с помощью свойств преобразования Лапласа, часто по таблице (§ 36).

Пример 2. Найдем решение задачи Коши для уравнения

$$x'''(t) + x' = \cos t$$

с начальными условиями $x(0) = 0$, $x'(0) = -2$, $x''(0) = 0$.

Пусть $x(t) \doteq X(p)$. Тогда $x'(t) \doteq pX(p)$, $x'''(t) \doteq p^2X(p) + 2p$. Переходя в уравнении к изображениям, получаем

$$(p^3 + p)X(p) + 2p = \frac{p}{p^2 + 1},$$

откуда

$$X(p) = -\frac{1}{2} \frac{p^2 - 1}{(p^2 + 1)^2} - \frac{3}{2} \frac{1}{(p^2 + 1)}.$$

По свойству линейности преобразования Лапласа и таблице (§ 36) находим

$$x(t) = -\frac{1}{2} t \cos t - \frac{3}{2} \sin t.$$

Пример 3. Найдем решение задачи Коши для уравнения

$$x^{(IV)}(t) + 2x'' + x(t) = \sin t$$

с нулевыми начальными условиями: $x(0) = 0$, $x'(0) = 0$, $x''(0) = 0$, $x'''(0) = 0$.

Пусть $x(t) \doteq X(p)$. Тогда $x^{(IV)}(t) \doteq p^4 X(p)$, $x''(t) \doteq p^2 X(p)$. Переходя в уравнении к изображениям, получаем

$$(p^4 + 2p^2 + 1)X(p) = \frac{1}{p^2 + 1},$$

откуда $X(p) = \frac{1}{(p^2 + 1)^3}$.

По свойствам преобразования Лапласа и таблице (§ 36) находим

$$x(t) = \frac{3}{8} \sin t - \frac{3}{8} t \cos t - \frac{1}{8} t^2 \sin t.$$

Замечание. Оригинал $f(t)$ можно рассматривать и для $t < 0$ в предположении, что $f(t) = 0$ при $t > 0$. Поэтому в каждом из примеров 1–3 найдено решение уравнения при всех t , удовлетворяющее заданным условиям при $t = 0$.

Пример 4. Решим задачу Коши для системы уравнений

$$\begin{cases} x'(t) + y'(t) + x(t) + y(t) = t, \\ x''(t) - y'(t) + 2x(t) = 3(e^{-t} - 1), \end{cases}$$

с начальными условиями $x(0) = y(0) = 0$, $x'(0) = -1$.

Пусть $x(t) \doteq X(p)$, $y(t) \doteq Y(p)$. Тогда $x'(t) \doteq pX(p)$, $x''(t) \doteq p^2 X(p)$, $y'(t) \doteq pY(p)$. Переходя к изображениям в системе уравнений, получаем

$$\begin{cases} pX(p) + pY(p) + X(p) + Y(p) = \frac{1}{p^2}, \\ p^2 X(p) + 1 - pY(p) + 2X(p) = 3\left(\frac{1}{p+1} - \frac{1}{p}\right). \end{cases}$$

Решая эту систему, находим

$$X(p) = \frac{1}{p+1} - \frac{1}{p}, \quad Y(p) = \frac{1}{p^2},$$

откуда $x(t) = e^{-t} - 1$, $y(t) = t$.

Операционное исчисление часто применяется при решении задач для дифференциальных уравнений с частными производными, а также для решения интегральных уравнений (см. [8]).

ЛИТЕРАТУРА

1. *Бицадзе А. В.* Основы теории аналитических функций. — М.: Наука, 1972.
2. *Евграфов М. А.* Аналитические функции. — М.: Наука, 1968.
3. *Лаврентьев М. А., Шабат Б. В.* Методы теории функций комплексного переменного. — М.: Наука, 1973.
4. *Маркушевич А. И.* Теория аналитических функций. — М.: Наука, Т. 1, 1967, Т. 2, 1968.
5. *Половинкин Е. С.* Курс лекций по теории функций комплексного переменного. — М.: Физматкнига, 2003.
6. *Привалов И. И.* Введение в теорию функций комплексного переменного. — М.: Наука, 1967.
7. *Свешников А. Г., Тихонов А. Н.* Теория функций комплексного переменного. — М.: Наука, 1979.
8. *Сидоров Ю. В., Федорюк М. В., Шабунин М. И.* Лекции по теории функций комплексного переменного. — М.: Наука, 1989.
9. *Тер-Крикоров А. М., Шабунин М. И.* Курс математического анализа. — М.: БИНОМ. Лаборатория знаний, 2013.
10. *Шабат Б. В.* Введение в комплексный анализ. Ч. I, II. — М.: Наука, 1985.
11. *Шабунин М. И., Половинкин Е. С., Карлов М. И.* Сборник задач по теории функций комплексного переменного. — М.: БИНОМ. Лаборатория знаний, 2011.
12. *Владимиров В. С.* Уравнения математической физики. — М.: Наука, 1988.

ОГЛАВЛЕНИЕ

Предисловие	3
Глава 1. Введение	5
§ 1. Комплексные числа	5
1. Определение комплексного числа	5
2. Комплексно сопряженные числа	6
3. Модуль комплексного числа	7
4. Свойства арифметических операций над комплексными числами	8
5. Геометрическая интерпретация комплексного числа ..	9
6. Тригонометрическая форма комплексного числа	11
7. Показательная форма комплексного числа	12
8. Извлечение корня	14
§ 2. Последовательности и ряды комплексных чисел	15
1. Предел последовательности	15
2. Расширенная комплексная плоскость	17
§ 3. Кривые и области на комплексной плоскости	19
1. Непрерывные кривые	19
2. Кусочно-гладкие кривые	22
3. Области	24
4. Непрерывная деформация кривой	28
§ 4. Непрерывные функции комплексного переменного	28
1. Предел функции	28
2. Непрерывность функции в точке и в области	29
3. Непрерывность функции на кривой	30
4. Непрерывность функции в области вплоть до границы	31
5. Показательная, тригонометрические и гиперболические функции	33
§ 5. Интегрирование функций комплексного переменного	37
1. Определение интеграла	37
2. Свойства интегралов	40
3. Оценки интегралов	40
§ 6. Функция $\operatorname{Arg} z$	42
1. Полярные координаты	42
2. Приращение аргумента вдоль кривой	43
3. Непрерывные ветви функции $\operatorname{Arg} z$	46

Глава 2. Регулярные функции	50
§ 7. Дифференцируемые функции. Условия Коши–Римана	50
1. Производная	50
2. Условия Коши–Римана	52
§ 8. Интегральная теорема Коши	55
1. Теорема Коши	55
2. Следствия и дополнения к интегральной теореме Коши	56
3. Первообразная	59
§ 9. Регулярные функции. Степенные ряды	62
§ 10. Интегральная формула Коши	66
§ 11. Свойства регулярных функций	69
1. Свойства функций, дифференцируемых в области ...	69
2. Примеры разложения регулярных функций в ряды Тейлора	70
3. Достаточные условия регулярности функции в области	71
4. Лемма об устранимой особенности (о стирании пунктира)	72
§ 12. Гармонические функции. Теоремы о среднем	74
§ 13. Обратная функция	79
1. Понятие обратной функции	79
2. Однолистные функции	81
3. Функция $w = z^n$, $n \in \mathbb{N}$, и обратная к ней	81
4. Функция $w = e^z$ и обратная к ней	84
§ 14. Теорема единственности	85
1. Нули регулярной функции	85
2. Теорема единственности	88
§ 15. Ряд Лорана	91
1. Разложение регулярной функции в ряд Лорана	91
2. Единственность разложения функции в ряд Лорана ..	95
3. Примеры разложений рациональных функций в ряды Лорана	95
§ 16. Изолированные особые точки однозначного характера	98
1. Классификация изолированных особых точек	98
2. Устранимая особая точка	98
3. Полус	99
4. Существенно особая точка	102
5. Исследование особых точек с помощью рядов Лорана	104
6. Ряд Лорана в окрестности точки $z = \infty$	106
7. Теорема Лиувилля	109

Глава 3. Многозначные аналитические функции	111
§ 17. Понятие аналитической функции и ее регулярной ветви ...	111
1. Аналитическое продолжение вдоль цепочки областей .	111
2. Аналитическое продолжение вдоль кривой	114
3. Суперпозиция аналитических функций	116
4. Определение аналитической в области функции	116
5. Аналитические и регулярные ветви полных аналитических функций	117
§ 18. Логарифмическая функция	119
1. Определение логарифмической функции	119
2. Свойства логарифмической функции	120
3. Регулярные ветви функции $\operatorname{Ln} z$	128
4. Регулярные ветви функции $\operatorname{Ln} f(z)$	129
5. Арифметические операции над аналитическими функциями	136
§ 19. Степенная функция	139
1. Определение степенной функции	139
2. Свойства степенной функции	139
3. Регулярные ветви функции $\sqrt[n]{z}$	144
4. Регулярные ветви функции $\sqrt[n]{f(z)}$	145
5. Римановы поверхности функций $\operatorname{Ln} z$ и \sqrt{z}	149
§ 20. Особые точки аналитических функций. Граничные особые точки	151
1. Особые точки аналитических функций	151
2. Точки ветвления	151
3. Граничные особые точки регулярных функций	159
Глава 4. Теория вычетов и ее применения	162
§ 21. Теоремы о вычетах	162
1. Определение вычета	162
2. Вычисление вычета в полюсе $z_0 \neq \infty$ и в регулярной точке $z = \infty$	164
3. Формулы для вычисления интегралов с помощью вычетов	167
§ 22. Применение теории вычетов к вычислению интегралов	172
1. Вычисление интегралов $\int_0^{2\pi} R(\sin \varphi, \cos \varphi) d\varphi$	172
2. Вычисление интегралов от регулярных ветвей аналитических функций	174
3. Вычисление интегралов $\int_{-\infty}^{\infty} f(x) dx$	175
4. Вычисление интегралов $\int_0^{\infty} x^{\alpha} R(x) dx$	181

5. Вычисление интегралов $\int_a^b (x-a)^\alpha (b-x)^\beta R(x)dx$	186
6. Вычисление интегралов $\int_0^{+\infty} R(x)dx$	193
§ 23. Принцип аргумента. Теорема Руше	194
1. Принцип аргумента	194
2. Теорема Руше	197
§ 24. Мероморфные функции	199
1. Разложение мероморфной функции на элементарные дроби	200
2. Разложение целой функции на элементарные множители	203
Глава 5. Конформные отображения	206
§ 25. Геометрический смысл производной	206
1. Линейное растяжение и угол поворота кривой в точке ..	206
2. Геометрический смысл модуля и аргумента производной	207
§ 26. Локальные свойства отображений регулярными функциями	209
1. Теорема об n -значной обратной функции	209
§ 27. Принцип сохранения области	211
§ 28. Принцип максимума для регулярной и гармонической функций	211
§ 29. Однолистные функции	213
§ 30. Определение и общие свойства конформных отображений ..	216
§ 31. Дробно-линейные отображения	221
1. Конформность	221
2. Групповое свойство	221
3. Круговое свойство	222
4. Свойство сохранения симметрии	224
5. Дробно-линейное отображение, переводящее три точки в три точки	227
6. Примеры дробно-линейных отображений	228
§ 32. Конформные отображения элементарными функциями	231
1. Функция $w = z^2$	231
2. Функция $w = \sqrt{z}$	236
3. Функция $w = z^\alpha$	238
4. Функция e^z	240
5. Функция $w = \operatorname{Ln} z$	242
6. Функция Жуковского	243
7. Функция $w = z + \sqrt{z^2 - 1}$, обратная к функции Жуковского	253
8. Тригонометрические и гиперболические функции	256
9. Разные примеры	258

§ 33. Принцип симметрии	265
1. Симметрия относительно действительной оси	265
2. Применения принципа симметрии	267
3. Симметрия относительно окружности	271
§ 34. Отображения многоугольников	273
§ 35. Задача Дирихле	277
1. Постановка задачи Дирихле. Существование и единственность решения	277
2. Инвариантность уравнения Лапласа относительно конформных отображений	278
3. Задача Дирихле для уравнения Лапласа в круге	280
4. Задача Дирихле для уравнения Лапласа в полуплоскости	282
5. Функция Грина задачи Дирихле	283
Глава 6. Операционное исчисление	286
§ 36. Преобразование Лапласа	286
1. Оригинал и его изображение	286
2. Свойства преобразования Лапласа	287
§ 37. Восстановление оригинала по его изображению	291
1. Формула обращения преобразования Лапласа	291
2. Теорема разложения	292
§ 38. Применение преобразования Лапласа к решению дифференциальных уравнений	292
Литература	295

Минимальные системные требования определяются соответствующими требованиями программ Adobe Reader версии не ниже 11-й либо Adobe Digital Editions версии не ниже 4.5 для платформ Windows, Mac OS, Android и iOS; экран 10"

Учебное электронное издание

Шабунин Михаил Иванович
Сидоров Юрий Викторович

ТЕОРИЯ ФУНКЦИЙ КОМПЛЕКСНОГО ПЕРЕМЕННОГО

Ведущий редактор *М. С. Стригунова*

Художник *В. Е. Шжерин*

Оригинал-макет подготовлен *Е. Г. Ивлевой* в пакете L^AT_EX 2_ε

Подписано к использованию 24.03.20.

Формат 145×225 мм

Издательство «Лаборатория знаний»
125167, Москва, проезд Аэропорта, д. 3

Телефон: (499) 157-5272

e-mail: info@pilotLZ.ru, <http://www.pilotLZ.ru>

Учебник по теории функций комплексного переменного написан авторами на основе многолетнего опыта преподавания этого предмета в Московском физико-техническом институте.

Изложение теоретического материала подкреплено большим количеством примеров с решениями.

Содержание настоящего учебника тесно связано с книгой М. И. Шабунина, Е. С. Половинкина, М. И. Карлова «Сборник задач по теории функций комплексного переменного».

Для студентов инженерно-физических и физико-технических вузов, а также для студентов университетов.